



Høgskulen på Vestlandet

Bacheloroppgave

ELE350

Predefinert informasjon

Startdato:	08-05-2023 09:00 CEST	Termin:	2023 VÅR
Sluttdato:	22-05-2023 14:00 CEST	Vurderingsform:	Norsk 6-trinns skala (A-F)
Eksamensform:	Bacheloroppgave		
Flowkode:	203 ELE350 1 O 2023 VÅR		
Intern sensor:	Endre Håland		

Deltaker

Navn:	Lars Askild Skauhellen Aarvik
Kandidatnr.:	202
HVL-id:	587850@hvl.no

Informasjon fra deltaker

Egenerklæring *: Ja
Inneholder besvarelsen Nei
konfidensielt
materiale?:
Jeg bekrefter at jeg har Ja
registrert
oppgavetittelen på
norsk og engelsk i
StudentWeb og vet at
denne vil stå på
uitnemålet mitt *:

Gruppe

Gruppenavn:	BO23EB-37
Gruppenummer:	31
Andre medlemmer i gruppen:	Sander Vatne Andersen

Jeg godkjenner autalen om publisering av bacheloroppgaven min *

Ja

Er bacheloroppgaven skrevet som del av et større forskningsprosjekt ved HVL? *

Nei



Høgskulen på Vestlandet

BACHELOROPPGAVE: BO23EB-37 Bølgesimulering og evaluering av metoder for aktiv hiv kompensering

Sander Vatne Andersen
Lars Askild Skavhellen Aarvik

22.05.2023

Dokumentkontroll

Rapportens tittel: BO23EB-37 Bølgesimulering og evaluering av metoder for aktiv hiv kompensering.	Dato/versjon: 22.Mai.2023/1.4
	Rapportnummer: BO23EB-37
Forfatter(e): Sander Vatne Andersen Lars Askild Skavhellen Aarvik	Studieretning: Automatisering og robotikk Antall sider m/vedlegg: 242
Høgskolens veileder(e): Endre Håland	Gradering: Åpen
Eventuelle merknader: Vi tillater at oppgaven kan publiseres.	
Oppdragsgiver: Scantrol AS	Oppdragsgivers referanse:
Oppdragsgivers kontaktperson(er) (inklusiv kontaktinformasjon): Espen Karlsen (espen@scantrol.com, 977 78 043) Øystein Aase (oystein@scantrol.com)	

Revisjon	Dato	Status	Utført av
1.0	27.03.2023	Avklart rammeverk	Sander Vatne Andersen, Lars Askild Skavhellen Aarvik
1.1	12.05.2023	Første utkast	Sander Vatne Andersen, Lars Askild Skavhellen Aarvik
1.2	19.05.2023	Andre utkast	Sander Vatne Andersen, Lars Askild Skavhellen Aarvik
1.3	20.05.2023	Korreksjonslesing	Sander Vatne Andersen, Lars Askild Skavhellen Aarvik
1.4	21.05.2023	Ferdigstilt rapport	Sander Vatne Andersen, Lars Askild Skavhellen Aarvik

Forord

Vi er nå ferdig med tre år ved Høgskulen på Vestlandet, og i dette siste semesteret har vi skrevet vår avsluttende bacheloroppgave i Automatisering med Robotikk. Oppgaven har vært både praktisk og teoretisk. Arbeidet har omhandlet å utvikle et styresystem for en bevegelsesplattform med to frihetsgrader og en vinsj som er benyttet for å evaluere metoder for aktiv hiv kompensering.

Vi ønsker å gi en stor takk til Scantrol AS for muligheten til å jobbe på ett så spennende og lærerikt prosjekt. Læringskurven vår har vært bratt dette semesteret og vi sitter igjen med mye ny kunnskap og gode erfaringer i automasjonsfaget. Vi ønsker også å takke vår veileder Endre Håland ved HVL og interne veiledere hos Scantrol, Øystein Aase og Espen Karlsen for gode diskusjoner og oppfølging underveis i prosjektet.

Bergen 22. mai 2023
Sander V. Andersen og Lars Askild S. Aarvik

Sammendrag

Dette bachelorprosjektet er utført i samarbeid med Scantrol AS og Høgskulen på Vestlandet. Prosjektet har gått ut på å fornye styresystem og brukergrensesnitt for en ferdig konstruert bevegelsesplattform med to frihetsgrader, en motor og en vinsj.

Oppgaven er inndelt i tre hoveddeler:

Del 1: Oppgradering og erstatning av styring for bevegelsesplattformen.

Del 2: Utarbeidelse av styring for fastmontert vinsj på plattformen.

Del 3: Evaluering av ulike metoder for aktiv hiv kompensering.

Alle kravene fra Scantrol om brukergrensesnittet som betjener og styrer systemet er implementert. Det er også lagt inn flere tilleggsfunksjoner som lar bruker betjene systemet i ulike moduser. To ulike metoder for aktiv hiv kompensering ble evaluert, hvor den første metoden var beregnet aktiv hiv kompensering og den andre var å benytte Scantrol sitt egenutviklede stereokamera for aktiv hiv kompensering.

Beregnet aktiv hiv kompensering gav gode resultater ved evaluering. Ved bruk av denne metoden stod vinsjen tilnærmet i ro da plattformen simulerte bølgebevegelser. Aktiv hiv kompensering med bruk av stereokamera gav ikke optimale resultater. Utførte tester viste at dette var grunnet uklare signaler og treg data fra stereokameraet.

Videre, etter oppgradering av styresystemet for plattformen og vinsjen i tillegg til evaluering av metoder for aktiv hiv kompensering, er systemet klart for at Scantrol kan benytte det til ytterligere videreutvikling av aktiv hiv kompensering.

Abstract

This bachelor's project is performed in collaboration with Scantrol AS and Høgskulen på Vestlandet. The project has involved renewing the control system and user interface for a fully constructed movement platform with two degrees of freedom, a motor, and a winch.

The project is divided in three main parts:

Part 1: Upgrading and replacing the motion platform control.

Part 2: Control for fixed winch on the platform.

Part 3: Evaluation of different methods for active heave compensation.

All the requirements from Scantrol regarding the user interface that operates and controls the system have been implemented. Further, several additional functions have been added to allow the user to operate the system in different modes. Two different methods for active heave compensation were evaluated. The first method was calculated active heave compensation and the second method was to use Scantrol's own developed stereo camera for active heave compensation.

Calculated active heave compensation gave good results in the evaluation. When using this method, the winch was almost at rest when the platform simulated wave movements. Active heave compensation with the use of a stereo camera, did not give optimal results. Tests carried out showed that this was due to unclear signals and slow data from the stereo camera.

Furthermore, after upgrading the control system for the platform and winch in addition to an evaluation of methods for active heave compensation, the system is ready for Scantrol to use the platform for further development and testing of new methods for active heave compensation.

Innhold

Dokumentkontroll	2
Forord	3
Sammendrag	4
Abstract	5
1 Innledning	9
1.1 Oppdragsgiver	9
1.2 Problemstilling	9
1.3 Systemoversikt	10
1.4 Opgavebeskrivelse	12
1.5 Forkortelser og ordforklaringer	13
2 Bevegelsesplattform	14
2.1 Valg av hardware	14
2.1.1 Inkrementell enkoder	15
2.2 Testoppsett	16
2.3 Lastavhengighet	16
2.4 Optimalisering av prosess	17
2.4.1 Posisjonsregulering	17
2.4.1.1 Ziegler Nichols første metode	17
2.4.1.2 P-regulator og steprespons	18
2.4.1.3 Valg av posisjonsregulator	18
2.4.2 Hastighetsregulering	19
2.4.2.1 Feedforward regulator	19
2.4.2.2 Hastighetskalibrering	19
2.4.3 Valg av regulator	21
2.5 Overgang til bevegelsesplattform	22
2.6 Beregning av sylinderposisjonssettspunkt	23
2.7 Beregning av sylinderhastighet	24
2.8 Brukergrensesnitt	24
2.9 Kommunikasjon	25
2.10 Operasjonsmodus plattform	25
2.10.1 Reset-kommando	25
2.10.2 Manuell modus	25
2.10.2.1 Brukergrensesnitt	25
2.10.2.2 Styring	26
2.10.3 Simulert bølgemodus	26
2.10.3.1 Brukergrensesnitt	26
2.10.3.2 Styring	27
2.10.4 Loggfilmodus	27
2.10.4.1 Brukergrensesnitt	27
2.10.4.2 Beregninger	27
2.10.4.3 Skalering	28
2.10.4.4 Styring	28
2.11 Begrensninger og tester	30
2.11.1 Posisjonsbegrensninger	30
2.11.2 Hastighetsbegrensninger	30
2.11.3 Begrensningstest	30
2.11.4 Loggfilmodus test	31
2.11.5 Simulert bølgemodus test	31
3 Vinsj styring	32
3.1 Hardware	32
3.1.1 Frekvensomformer	32
3.1.2 Elektrisk motor	32
3.1.3 Beregning av vinsjposisjon	33
3.1.4 Operatørpanel	33

3.2	Kommunikasjon	34
3.3	Brukergrensesnitt	34
3.4	Posisjons- og hastighetsregulering av vinsj	35
3.4.1	Hastighetskalibrering og tuning av vinsj	35
3.4.2	Vektorkontroll	36
3.5	Tuning av vinsj	37
4	Evaluering av metoder for aktiv hiv kompensering	38
4.1	Ramping av vinsj	38
4.2	Brukergrensesnitt	38
4.3	Implementasjon av AHC	38
4.4	Teori knyttet til aktuelle metoder for AHC	39
4.4.1	Beregnet AHC	39
4.4.1.1	Beregning av bevegelse	39
4.4.2	AHC ved bruk av stereokamera	40
4.4.2.1	Aruco-kode	40
4.4.2.2	Montering	41
4.4.2.3	Kalibrering	41
4.4.2.4	Tracking	42
4.5	Tester av ulike metoder for AHC	43
4.5.1	Tuning av AHC	43
4.5.2	Test av metode «Beregnet AHC»	44
4.5.3	Tester for stereokamera	45
4.6	Evaluering av metoder for AHC	46
5	HMS	47
5.1	Nødstopp	47
5.1.1	Bevegelsesplattform	47
5.1.2	Vinsj	47
5.2	Andre sikkerhetsfunksjoner	48
5.2.1	Torque limit	48
5.2.2	Kommunikasjonsfeil	48
5.2.3	AHC	48
5.2.4	Alarmer i HMI	48
6	Prosjektutførelse	49
7	Konklusjon	50
7.1	Forslag til forbedringer	50
7.1.1	Forbedre stereokamera	50
7.1.2	Forbedre sikkerhet	50
7.2	Videreutvikling	50
7.2.1	Benytte radarsensor for AHC	50
8	Referanser	51
9	Appendiks A - Youtube spilleliste	52
10	Appendiks B - Prosjektledelse og styring	53
10.1	Github link	53
10.2	Fremdriftsplan	53
10.3	Timelister	53
10.4	Møtereferat	62
10.5	Arbeidslogg	64
10.6	Materialliste	80
11	Appendiks C - Kommunikasjonsprotokoller	81
11.1	Kommunikasjonsprotokoll Plattform UI	81
11.2	Kommunikasjonsprotokoll Vacon NXP drive	87
11.3	Kommunikasjonsprotokoll Operatørpanel	92
12	Appendiks D - Tuning	97

12.1 Lastavhengighet	97
12.2 Hastighetskalibrering cylindre	97
12.3 Hastighetskalibrering vinsj	97
12.4 Ziegler Nichols første metode	97
13 Appendiks E - Bruksanvisning Plattform UI	99
14 Appendiks F - Elektriske tegninger	105
15 Appendiks G - Kildekode HMI(C#)	115
15.1 PlattformUI.xaml.cs	115
15.2 PLC_Com.cs	127
15.3 DataFromPLC.cs	131
15.4 DataToPLC.cs	132
15.5 Logfile.cs	134
16 Appendiks H - Kildekode PLS	140

1 Innledning

1.1 Oppdragsgiver

Oppdragsgiveren for denne oppgaven er Scantrol AS, videre i rapporten referer vi til firmaet som Scantrol. Scantrol er lokalisert i Sandviken i Bergen og har omtrent 20 ansatte. De er en uavhengig leverandør av overvåknings- og kontrollsystemer innenfor maritim industri, og leverer primært automatiske fiske- og trålesystemer i tillegg til *active heave compensation* (AHC) systemer til offshore applikasjoner. Scantrol leverer systemer til skip over hele verden og har fokus på effektive systemer som har høy brukerverdi. Referanse [2] henviser til Scantrol sin hjemmeside.

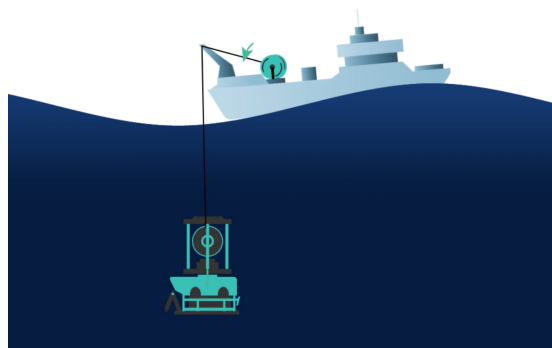
1.2 Problemstilling

Scantrol hadde en delvis fungerende, egenutviklet bevegelsesplattform med to frihetsgrader, som har blitt brukt til testing og optimalisering av *motion reference unit* (MRU) og AHC systemer.

AHC er en teknikk for å minimere innflytelsen bølger har på offshore applikasjoner. Denne teknikken blir mye brukt på offshore båter med kraner, fjernstyrte undervannsfarkoster (ROVer), annet utstyr som opererer nærmest havbunnen eller der det er viktig at lasten står i ro. AHC blir vanligvis implementert ved at en MRU sensor måler bølgebevegelsene, og at et kontrollsistem både regner ut hvor fort og hvor mye vinsjen må rotere for å motvirke denne bølgebevegelsen. Systemet gjør at vinsjen til enhver tid jobber mot bølgene, slik at lasten tilkoblet vinsjen holder seg mest mulig i ro, dette blir illustrert i figur 1.1.

Scantrol ønsket å se på muligheten for å benytte AHC ved flytting av en last fra et fartøy til et annet, eller fra en stasjonær plattform til et fartøy. Slike systemer finnes allerede i dag, men er gjerne mer komplekse enn vanlige AHC systemer. Ved flytting av en last fra et fartøy til et annet, er bevegelsene i hvert fartøy uavhengig av hverandre. I det tilfellet er det bevegelsene i fartøyet som tar i mot lasten som er interessant for AHC systemet. Systemene som brukes i dag tar gjerne i mot MRU signaler trådløst fra fartøyet som skal motta lasten, og bruker dette til å kompensere for bevegelsene til fartøyet. Scantrol ønsket å se på muligheten for å benytte alternative måle- og reguleringssmetoder, som blant annet baserte seg på bruk av avstandsmåling og visjonsteknologi for å løse dette problemet.

Oppdraget fra Scantrol var å fornye styringen av bevegelsesplattformen, i tillegg til styringen av fastmontert vinsj. Videre skulle mulighetene for bruk av avstandsmåling og visjonsteknologi for å styre vinsjen montert på bevegelsesplattformen med AHC undersøkes.



Figur 1.1: Illustrasjon av aktiv hiv kompensering.
Hentet fra [1], 01.05.2023.

1.3 Systemoversikt

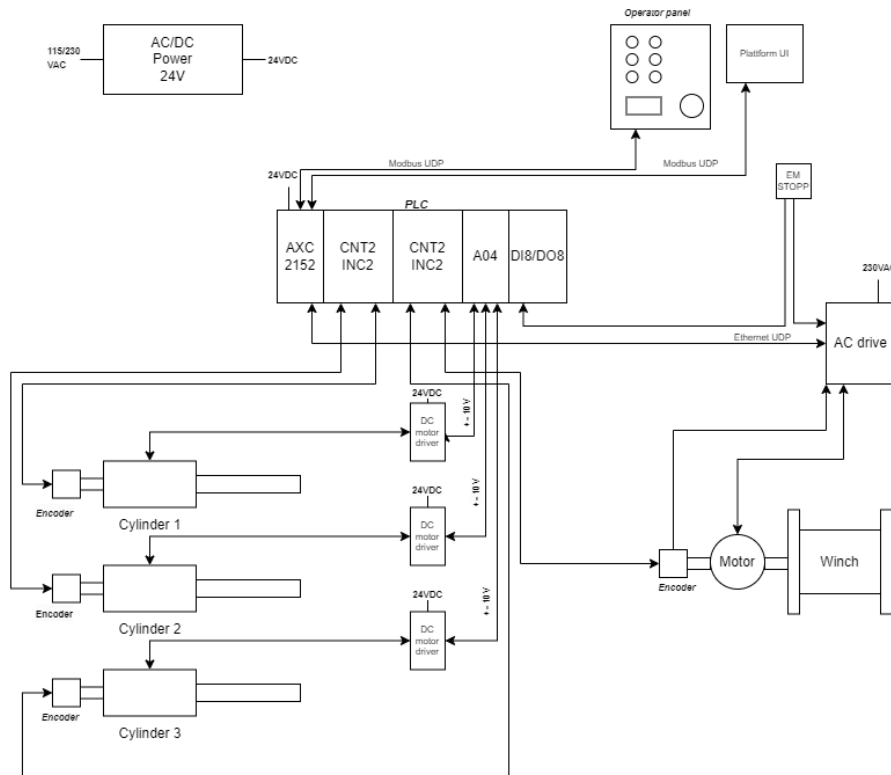
Scantrol hadde en forenklet, konstruert bevegelsesplattform, men til dette prosjektet ble all *hardware*- og styring byttet ut. Det eksisterende systemet besto av en bevegelsesplattform med påmontert motor og vinsj. Bilde 1.2 viser det oppgraderte systemet med alle tilhørende komponenter. Systemet skulle brukes til dette prosjektet og videre arbeid hos Scantrol. Det skal kunne benyttes for å utvikle og teste ulike metoder for AHC, i tillegg til å demonstrere Scantrol sine AHC systemer for kunder og lignende. Bevegelsesplattformen skal simulere bølgebevegelsene til et fartøy i sjøen. Det er både billigere og enklere å utvikle og teste systemer på en nedskalert modell enn på ett ekte fartøy. Plattform og vinsj har følgende spesifikasjoner:

- **Tre cylindre:** Plattformen har tre lineært aktuerte cylindre med 30[cm] cylinderutslag.
- **To frihetsgrader:** Plattformen har to frihetsgrader, *heave* og *roll*. Det vil si at de to fremste sylinderne alltid skal gå synkront.
- **Motor/vinsj:** Det er montert en 0.37[kW] tre fase asynkron induksjonsmotor som er koblet på en vinsj via en $\frac{1}{10}$ girkasse.
- **Operatørpanel:** For styring av vinsj.
- **HMI:** Utviklet til dette prosjektet for styring og monitorering av plattform og vinsj.



Figur 1.2: Oversiktsbilde over bevegelsesplattform med vinsj, operatørpanel og HMI.

En oversikt over komponentene i systemet blir illustrert i blokkskjemaet i figur 1.3.



Figur 1.3: Blokkskjema over PLS, sylinder, operatørpanel, frekvensomformer, motor og vinsj.

Tabell 1 viser en oversikt over utførte oppgaver i prosjektet og hvem som har gjort hva.

Utførte oppgaver:	Utført av studenter	Utført av Scantrol	Kort oppgavebeskrivelse:
Bygget fysisk plattform modell		X	Plattformen og vinsj er ferdigbygget fra tidligere. Fjernet gammel hardware.
Ny hardware og oppkobling	X		Valg av komponenter for ny styring av plattform. Koblet nytt system.
Software HMI og PLS kode	X		Laget helt nytt brukergrensesnitt i C#, WPF design. Laget helt ny software og styring av plattform/vinsj, PLS-kode er egenutviklet med unntak av tre stk funksjonsblokker "fbRampingV1_01", "fbSpeedV1_02", "fbEncoderCountV1_01".
Dokumentasjon	X		Dokumentasjon av tester, protokoller, tuning, tegninger, formler, etc... Har benyttet Scantrol sitt standard protokoll dokument for kommunikasjon, innholdet er utført av oss.
Evaluert metoder for AHC	X		Testet metode for beregnet AHC og AHC med stereokamera.

Tabell 1: Oversikt over utførte oppgaver i prosjektet.

1.4 Oppgavebeskrivelse

Bacheloroppgaven består av tre hoveddeler i tillegg til ett kapittel om HMS. Del 1 omhandler oppgradering og erstattning av styringen for bevegelsesplattformen, Del 2 dreier seg om utarbeidelse av styring for fastmontert vinsj på plattformen, Del 3 tar for seg evaluering av ulike metoder for aktiv hiv kompensasjon. Foruten om dette er det utviklet software for HMI som er lagt ved som vedlegg 15 og for Phoenix PLC next som vedlegg 16. Detaljert oppgavebeskrivelse fra Scantrol er som følger:

Del 1:

Utvikle et styresystem for en cylinderstyrt bevegelsesplattform med to frihetsgrader, tilt og hiv, herunder:

- Valg av drivere for styring av sylindermotorer.
- Lese sylinderposisjon fra inkrementelle enkodere for å beregne hastighet og posisjon.
- Sette sammen og koble opp PLS og IO moduler for sylinderstyring.
- Lage reguleringssløyfe for posisjon- og hastighetskontroll av sylinder, samt synkronisering av bevegelse mellom sylinder.
- Lage programvare for å styre plattformen med ulike bevegelser, både ved parametrisering og ved lesing av loggfil fra bølgebevegelser fra skip. Programmet må også fremstille plattformens bevegelse og nøyaktigheten til regulatoren som benyttes.

Del 2:

Lage et PLS-program for styring av en elektrisk vinsj som er montert på bevegelsesplattformen. Denne har en motor koblet til en Vacon frekvensomformer:

- Koble opp frekvensomformer og inkrementell enkoder til PLS.
- Kommunisere med frekvensomformer over nettverk med UDP.
- Styre hastighet og dreiemoment på vinsj.
- Måle posisjon på vinsj basert på inkrementell enkoder.
- Forklare prinsippet bak elektrisk motor og frekvensomformer.
- Benytte standard operatørpanel med joystick, knapper og potensiometer for å styre vinsj.

Del 3:

Teste ut ulike metoder for å hivkompensere vinsjen når plattformen følger forskjellige bevegelser. Dette kan inkludere å utvikle regulatorer for ulike metoder. Nøyaktigheten til de ulike metodene skal dokumenteres og diskuteres. Relevante metoder kan være, men er ikke begrenset til:

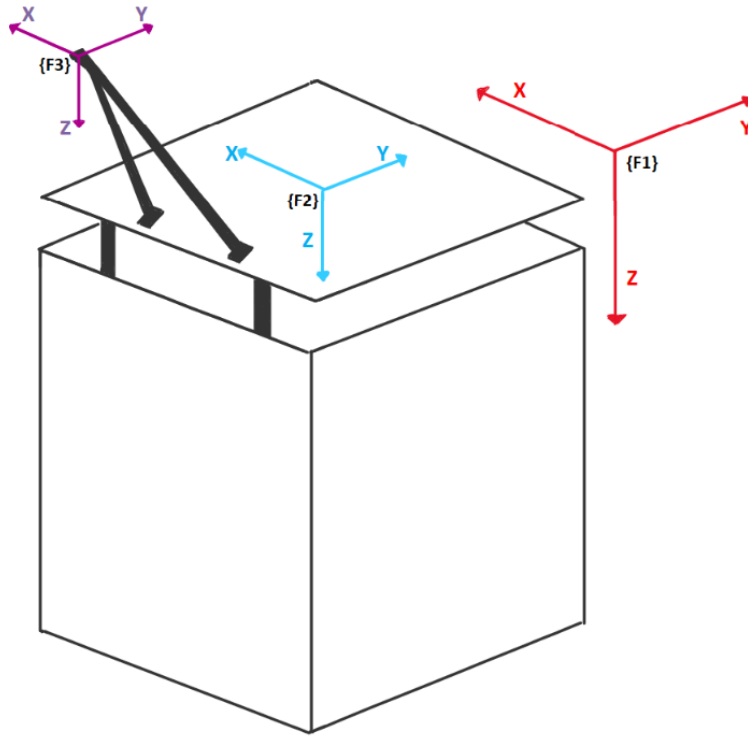
- Benytte Scantrol AS sin mTrack AHC controller.
- Benytte radarsensor eller laser for å måle avstand fra last i krok til gulv.
- Benytte Scantrol AS sitt stereokamera for å bestemme avstand fra last til gulv.

1.5 Forkortelser og ordforklaringer

- AHC – Aktiv hiv kompensering.
- Feedforward – Foroverkopling, regulering uten tilbakemelding.
- GUI – Graphical user interface.
- Heave position – bevegelse langs Z - akse.
- HMI – Human machine interface.
- HMS – Helse, miljø og sikkerhet.
- MP – Measuring point.
- MRU – Motion reference unit.
- Pitch angle – rotasjon rundt Y - akse.
- PLS – Programmerbar logisk styring.
- Roll angle – rotasjon rundt X - akse.
- PPS – Pulses per second.
- PPR – Pulses per revolution.
- K_k – Ziegler Nichols kritisk forsterkning.
- T_k – Ziegler Nichols kritisk periodetid.
- WPF – Windows presentation foundation.

2 Bevegelsesplattform

Figur 2.1 viser en illustrasjon av bevegelsesplattformen med tre forskjellige koordinatsystem, *world-frame* (F1), *plattform frame* (F2) og *crane-tip frame* (F3). Videre i rapporten omtales rotasjon rundt X-aksen som *roll angle* og bevegelse langs Z-aksen som *heave position*. Positiv rotasjon rundt aksene er definert mot klokken, negativ rotasjon er definert med klokken. Senterpunktet for simulerte bølgene er 15[cm] *heave position*, dette er halvparten av fullt sylinderutslag.



Figur 2.1: Illustrasjon av bevegelsesplattformen med tilhørende koordinatsystem.

2.1 Valg av hardware

Plattformsystemet består av en del hardware for styring og monitorering. Detaljert materialliste med kilder til komponentene er dokumentert i vedlegg 10.6.

- **Strømforsyning**

Ettersom styringselektronikken og cylindrene går på 24[V] ble det benyttet en 20[A], 24[V] strømforsyning, denne er stor nok for å drive cylindrene og resten av styresystemet.

- **Kontroller**

Systemet blir kontrollert av en PLCnext ax2152 kontroller. Dette er PLSen som Scantrol vanligvis bruker for styring.

- **I/O**

Det er benyttet diverse I/O moduler for innganger og utganger fra PLSen til systemet.

- **CNT2/INC2**

Det er benyttet to «CNT2 INC2» moduler, som brukes som inngang for enkodere. De har to enkoder-innganger hver, som gir mulighet for tre enkodere fra cylindre og en fra vinsj.

- **AO4**

Det er benyttet en «AO4» modul som har fire analoge utganger, hvor tre av dem benyttes for analog hastighetskommando til cylindrenes motordrivere som styres med et $\pm 10[V]$ signal.

- DI8/DO8

Det er benyttet en «DI8/DO8» inngangs-/utgangsmodul. Denne har åtte digitale innganger og åtte digitale utganger. Her benyttes blant annet aktivering av enable rele og inngang for nødstopp.

• Motordriver

Sylinderene er av typen *linear actuator* som styres av en elektrisk DC motor. Denne var tidligere styrt av en DC motordriver, som ikke kunne gjenbrukes fordi den analoge inngangen for hastighetstyringen var $\pm 12[V]$. PLSen som benyttes kan kun gi ut $\pm 10[V]$, derfor ble motordriverne byttet ut med et tilsvarende alternativ som styres med riktig spennning.

• Enable rele

Siden motordriverene styres ved $\pm 10[V]$ signal var det hensiktsmessig å installere enable rele på analogutgangen. Hensikten med disse releene var å kunne sette referanse inngangen på motordriveren til $0[V]$ ved behov. Dette gjør at man unngår at sylinderne «drifter» når PLSen sender 0% i hastighetskommando, da den i praksis kan sende små spenninger uansett. Når releene er aktive sendes hastighetssignal fra PLs, og når de er innaktive sendes $0[V]$.

• Nødstopp rele

For å ivareta sikkerheten i systemet, ble det montert nødstopp. Denne er *normally closed* (NC), slik at eventuelle feil på kabling og lignende blir oppdaget. Nødstoppbryteren ble direkte koblet til et 3polt rele. Dersom nødstoppen blir aktivert kuttes strømmen til releet, som igjen kutter strømmen til sylinderne motordrivere. Dette medfører at plattformen stopper tilnærmet momentant. Som følge av at sylinderne er styrt av en DC motor som er induktiv, ble det montert diode-rekkeklemmer på tilførselen til motordriverne, disse kan brenne vekk eventuell strøm fra motorene over diodene i motsatt retning ved strømbrudd.

2.1.1 Inkrementell enkoder

Det ble benyttet inkrementelle enkodere i dette systemet for posisjons og hastighetsmåling av sylinderne og vinsj. Enkoderen har to kanaler, A og B, som sender ut pulser når akselen roterer. Enkoderne som er benyttet i dette systemet har også kanalene A^{-1} og B^{-1} som er invertert av A og B. Kanalene A og B sender ut pulstog som er 90° faseforskjøvet i forhold til hverandre. Basert på om de er positivt eller negativt faseforskjøvet kan man tolke retningen akselen roterer. Ved å telle antall pulser kan man vite posisjonen til utstyret som er koblet sammen med enkoderen, hyppigheten av pulsene gjør at man kan beregne rotasjonshastigheten. Nøyaktigheten av posisjons- og hastighetsmålinger er avhengig av oppløsningen til enkoderen. Jo flere pulser det er per rotasjon, desto bedre oppløsning og nøyaktighet oppnås. Inkrementelle enkodere har, til forskjell fra absolutt enkodere, ingen data på hvor de befinner seg. PLSen må dermed selv telle og beregne hvor sylinderne/vinsjen befinner seg til enhver tid. Det er viktig at systemet har gode muligheter for å resette posisjonen sin slik at PLSen har et referansepunkt å beregne riktig posisjon fra.

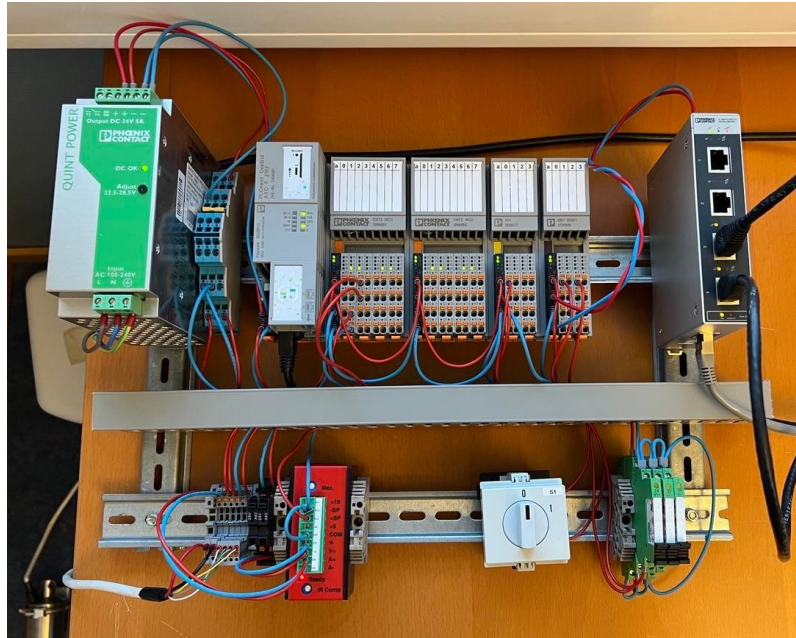
For sylinderne i dette systemet ble det ikke oppgitt hvor mange pulser per rotasjon enkoderene hadde, istedet ble det målt hvor mange pulser som ble mottatt på hele cylinderutslaget. Resultatet ble 800 pulser på $30[\text{cm}]$, dette gir en oppløsning på $0.375[\text{mm}/\text{puls}]$. I PLSen ble det implementert en funksjonsblokk 1 som signalbehandler enkoderpulsene som input-signal og gir output-signal posisjon[m].

```
1 //*****
2 //Code information:
3 //Function block that scales pulses given from encoder to position in meter.
4 //
5 //Author: Sander V. Andersen and Lars Askild S. Aarvik
6 //Date: 14.02.2023
7 //*****
8
9
10 udiRawDataUDINT      :=      TO_UDINT(dwRawDataEncoder); // For calculation
11
12 rOutValueInMeter     :=      TO_REAL(udiRawDataUDINT) * (rDistance/rPulses); // Outvalue -
    position[m]
```

Listing 1: Funksjonsblokk som skalerer pulser fra enkoder til sylinder posisjon i meter.

2.2 Testoppsett

Figur 2.2 viser bilde av testoppkoblingen for en cylinder. Figur 2.3 viser sylinderen alle innledende tester ble utført på, denne testsylinderen er av samme modell som sylinderne montert på plattformen. Tester og kalibreringer vil bli beskrevet i kapittel 2.3 og 2.4.



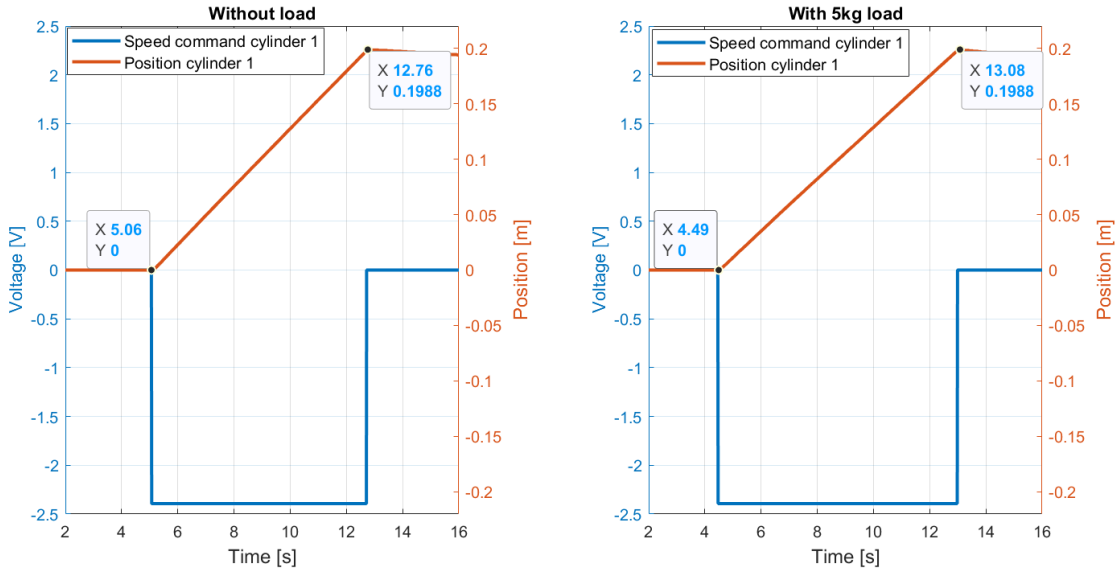
Figur 2.2: Hardware oppkobling for testoppsett av en cylinder.



Figur 2.3: Testsylinder. Alle innledende tester og kalibreringer ble utført på denne testsylinderen.

2.3 Lastavhengighet

Det ble utført diverse lasttester på sylinderne for å avdekke en eventuell lastavhengighet. Dette var viktig med tanke på hvordan systemet skulle designes videre. Dersom sylinderne var veldig lastavhengige, ville karakteristikken til sylinderne endret seg basert på lasten, som igjen går ut over posisjonsreguleringen. På testoppsettet ble det utført flere tester der sylinderen kjørte fra 0[cm] til 20[cm] med fast hastighetskommando (-2.3[V]). Testene ble utført en gang uten last og en gang med et 5[kg] lodd festet til sylinderen. Figur 2.4 viser resultatene av de utførte testene. Tidsdifferansen var 7.7[s] uten last og 8.59[s] med 5[kg] last. Resultatet viste at sylinderen med last brukte 0.89[s] lengre tid på samme avstand og ved samme hastighetskommando enn sylinderen uten last. Gjennomsnittlig hastighetsforskjell for sylinderen med og uten last var på ca. 0.0027[m/s], dette ble tatt hensyn til for videre valg av regulator for systemet.



Figur 2.4: Last-avhengighetstest av sylinder med og uten 5[kg] last, hvor sylinder har kjørt 20[cm] med fast hastighetskommando[V]. Resultatet viste at sylinder med last bruker 0.89[s] lengre tid på samme avstand og hastighetskommando enn sylinder uten last.

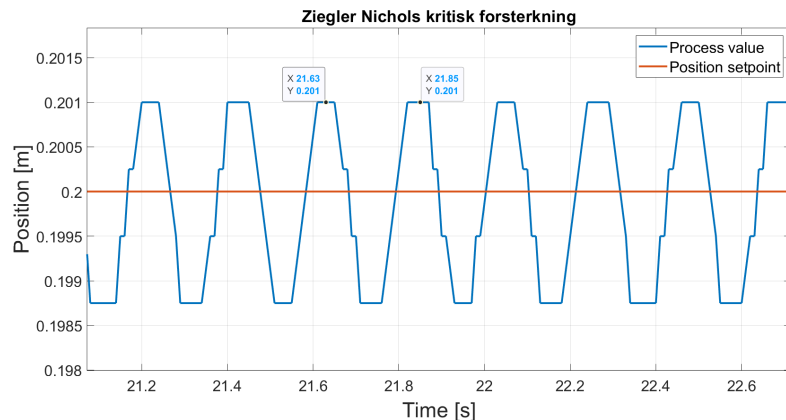
2.4 Optimalisering av prosess

2.4.1 Posisjonsregulering

Sylindrene plattformen er utstyrt med har bevegelighet på 30[cm] og blir regulert etter posisjon i [m] ved bruk av en posisjonsregulator. En posisjonsregulator mottar tilbakemelding av sylinderposisjonen og sammenligner den med ønsket posisjon. Deretter korrigerer regulatoren prosessen med en kalkulert forsterkning[7]. Videre i kapittelet vil optimaliseringsprosessen av regulatorene til plattformen bli beskrevet.

2.4.1.1 Ziegler Nichols første metode Ziegler Nichols første metode baserer seg på å finne systemets kritiske forsterkning, der prosessen beveger seg i harmoniske svingninger[7]. Denne metoden ble brukt for å finne ett utgangspunkt til forsterkning for videre optimalisering av P-regulatoren. Figur 2.5 viser at systemet går i harmoniske svingninger med en tilført forsterkning K_k på 50 000[V/m]. Figur 2.5 gir følgende informasjon:

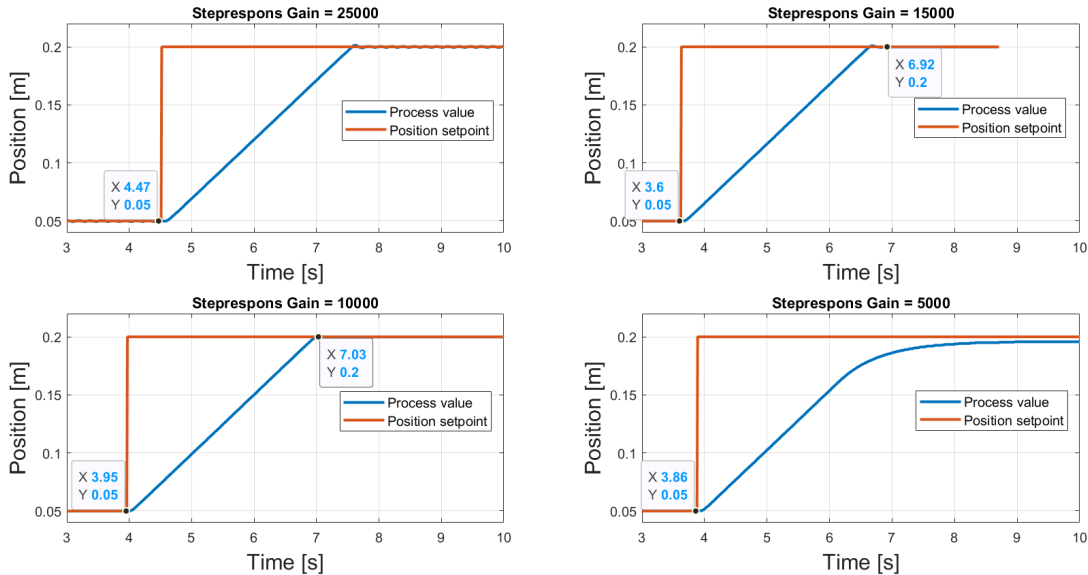
- $T_k = 0,22[s]$



Figur 2.5: Plot som viser stabile harmoniske svingninger under utførelse av Ziegler Nichols første metode, det er harmoniske svingninger ved en periodetid på 0.22[s] og en forsterkning på 50 000[V/m].

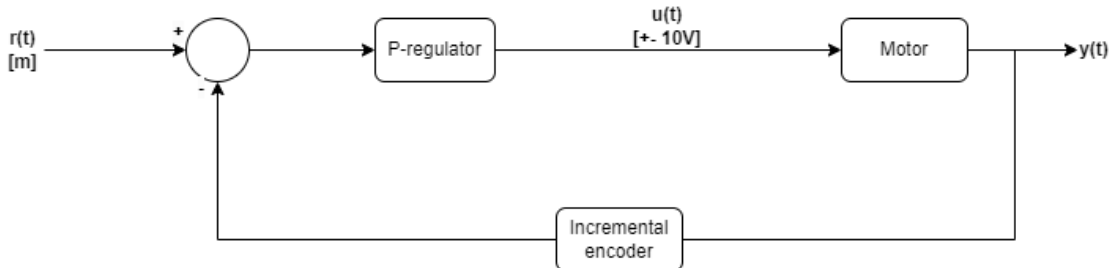
2.4.1.2 P-regulator og steprespons Etter gjennomført Ziegler Nichols metode, ble posisjonsregulatoren optimalisert med ulike forsterkninger for å finne raskest mulig stigetid uten statisk avvik. Ved å bruke formel 1 der K er forsterkningen, ble det beregnet en forsterkning på 25 000[V/m] som utgangspunkt for P-regulatoren[7]. Figur 2.6 viser stepresponser ved ulike forsterkninger. Forsterkning på 10 000[V/m] ga raskest responstid uten statisk avvik mellom ønsket-verdi og er-verdi. Forsterkningen ga også god stabilitet uten oversving, som var ønskelig i prosessen. Denne forsterkningen ble benyttet videre for P-regulatoren.

$$K = K_k \cdot 0.5 \quad (1)$$



Figur 2.6: Steprespons av testsylinder ved forskjellige forsterkninger, steg fra 0.05[m] til 0.20[m]

Reguleringsløyfen for P-regulatoren som ble benyttet under stepresponsene ovenfor er illustrert i figur 2.7.



Figur 2.7: Blokkskjema som illustrerer reguleringsløyfen til en enkel P-regulator.

Ligning 2 beskriver pådragsignalet beregnet av P-regulatoren, hvor $e(t)$ er avviket mellom er-verdi og ønsket-verdi og $u(t)$ er pådragssignalet $\pm 10[V]$.

$$u(t) = K \cdot e(t) \quad (2)$$

2.4.1.3 Valg av posisjonsregulator Bevegelsesplattformen har hele tiden ett flyttende referanse-settpunkt, det vil dermed ikke bygges opp et statisk avvik over tid, I-leddet benyttes dermed ikke. D-leddet baserer seg på å bruke den deriverte av feilen til prosessen, raske endringer i settpunkt kan dermed medføre raske endringer i feilen, den deriverte av dette vil kunne føre til en uønsket forsterkning på systemet[7]. Ettersom en enkel P-regulator viste gode resultater med rask stigetid og et akseptabelt, statisk avvik, ble dette vurdert som en god regulator for prosessen.

2.4.2 Hastighetsregulering

Ettersom en P-regulator venter på tilbakemelding fra prosessen, vil den kunne bli hengende etter settpunktet sitt, og det vil kunne oppstå statisk avvik i prosessen. Dermed ble det utarbeidet en foroverkoppling som kan forutse posisjonsendringene i settpunktet før de skjer, og gi ett pådrag basert på dette. Ved å derivere posisjonssettpunktet får man et hastighetssettpunkt i [m/s] som kan brukes til å styre cylindrene. Kjente hastigheter ved et gitt pådrag kan benyttes for å styre cylindrene direkte uten å vente på tilbakemelding fra prosessen. Det vil kunne gi en raskere prosess som følger settpunktet sitt bedre, enn ved en ren P-regulator.

2.4.2.1 Feedforward regulator Foroverkoppling forutsier prosessens endringer før de oppstår, i motsetning til en regulator med tilbakekobling som reagerer på prosessens endring[7]. Ved riktig kalibrering kan man dermed oppnå en rask og nøyaktig regulering. Ettersom en foroverkoppling ikke mottar tilbakemelding om prosessens oppførsel, vil systemet lett kunne påvirkes av for eksempel lastendringer, og begynne å «drifte» ut av ønsket posisjon.

2.4.2.2 Hastighetskalibrering For å kunne oppnå ønsket regulering med Feed-Forward regulatoren, ble cylindrene hastighetskalibrert hver for seg. Ved å utføre denne kalibreringen vet PLSSen hvilket pådrag som gir hvilken hastighet. Hastigheten til cylindrene ble beregnet ved å kjøre hver cylinder 20[cm] med forskjellige hastigheter og ta tiden cylinderen brukte på distansen. Dette ble gjort med hastighetskommandoer fra -10[V] til +10[V].

Kodeutklipp 2 viser implementert funksjonsblokk i PLS som er brukt for å utføre hastighetskalibreringen av cylindrene.

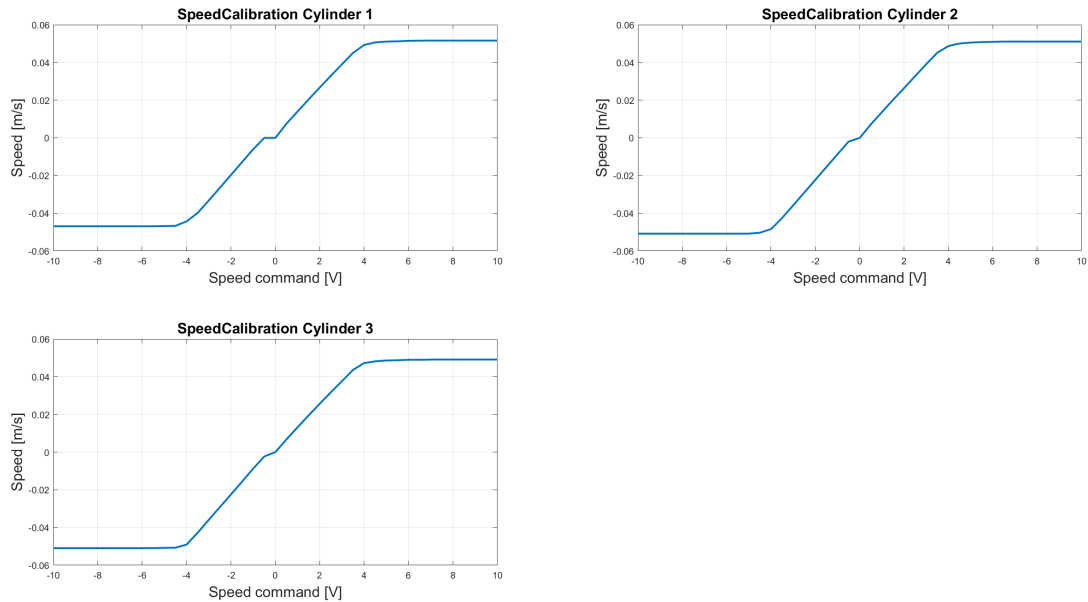
```

1 //*****
2 //Code information:
3 //Function block that calculates cylinders average velocity with a given speed command [V].
4 //
5 //Author: Sander V. Andersen and Lars Askild S. Aarvik
6 //Date: 01.02.2023
7 //*****
8
9 IF(xActivate) THEN // Bool that activates the function block
10
11   IF((ABS(rCylinderPos - rStartPos) < rTestRunLength) AND NOT(xPosReached)) THEN
12     rSpeedCmdOut      := rSpeedCmd;
13     xEnableRelay      := TRUE;
14     iTimerCount        := iTimerCount + 1;
15     iTimeElapsed       := iTimerCount * 10;
16
17   ELSE
18
19     rSpeedCmdOut      := 0;
20     xEnableRelay      := FALSE;
21     iTimeElapsed       := iTimerCount * 10;
22     if(NOT(xPosReached))THEN
23       rAvgVelocity     := 1000.0* ABS(rCylinderPos - rStartPos)/(TO_REAL(iTimeElapsed)
24 *0.001); // Avg cylinder vel in [m/s]
25     END_IF;
26     xPosReached       := TRUE;
27     END_IF;
28
29 ELSE // Resetting the current measurement
30   iTimerCount          := 0;
31   rStartPos            := rCylinderPos;
32   rAvgVelocity         := 0;
33   iTimeElapsed         := 0;
34   rSpeedCmdOut         := 0;
35   xEnableRelay         := FALSE;
36   xPosReached          := FALSE;
37   END_IF;

```

Listing 2: Funksjonsblokk for hastighetskalibrering av cylindrene.

Figur 2.8 viser et plot av hastighetskommando $\pm 10[V]$ mot faktisk hastighet for hver sylinder. Merk dødbåndet rundt 0[V] hastighetskommando og at maksimal hastighet i hver retning er nådd allerede ved omtrent $\pm 5[V]$. Resultat av detaljerte hastighetskalibreringer er dokumentert i tabell 12.2.



Figur 2.8: Plot som viser sammenhengen mellom hastighetskommando og hastighet for hver sylinder.

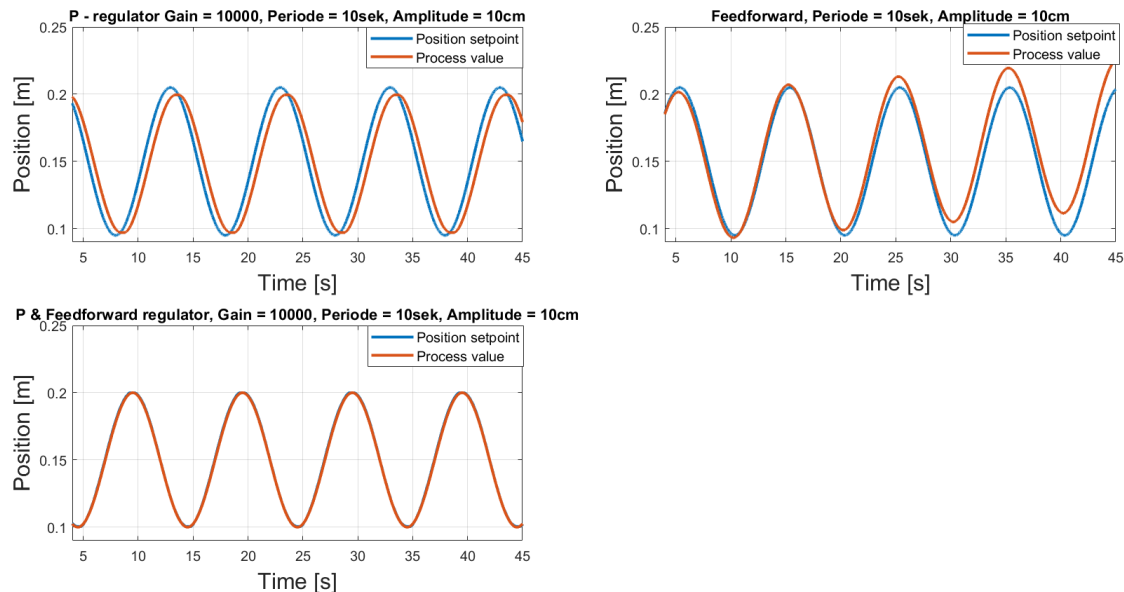
Resultatene av kalibreringen brukes videre i funksjoner laget i PLSen. Funksjonene har ønsket hastighet i [m/s] som inngangsargument (Speed_SP), og returnerer hastighetskommando til gitt sylinder som et $\pm 10[V]$ signal. I funksjonen er det lagt inn 20 konstanter som tilsvarer de kalibrerte verdiene fra hastighetskalibreringen. Mellom hvert punkt er det lineært interpolert, dette medfører at dersom ønsket hastighet ligger mellom to punkter, returneres det et punkt som ligger på den lineære linjen mellom dem, slik som vist i figur 2.8. Formel 3 viser beregningen som er benyttet for å lineært interpolere mellom punktene.

- SP – Hastighetssettspunkt i [m/s].
- Cmd – $\pm 10[V]$ hastighetskommando til sylinderne.
- x – Hastighetskommando ved ett gitt punkt [V].
- y – Hastighet ved ett gitt punkt i [m/s].

$$Cmd = \frac{x_1 - x}{y_1 - y} \cdot (SP - y_1) + x_1 \quad (3)$$

2.4.3 Valg av regulator

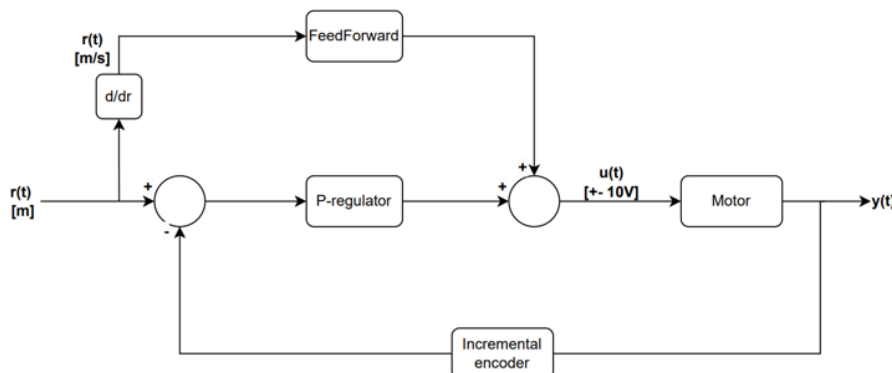
For å oppnå en optimal regulering av sylinderne i systemet, ble det valgt en kombinasjon av en hastighetsregulator (feedforward) og en posisjonsregulator (P - regulator). Plottet øverst til venstre i figur 2.9 viser at prosessen henger etter settpunktet ved bruk av en P - regulator alene. Systemet sliter også med å nå topp og bunn, spesielt ved endring i last, grunnet lastavhengigheten til sylinderne. Plottet øverst til høyre i figur 2.9 viser at prosessen kan «drifte» ved en ren hastighetsregulering (feedforward). Ettersom PLSen ikke får tilbakemelding om hva som faktisk skjer i prosessen, klarer ikke regulatoren å rette opp eventuelle feil som oppstår underveis. Plottet nederst i figur 2.9 viser en kombinasjon av disse to regulatorene, her kan man se at posisjon og posisjonssett punktet følger hverandre optimalt.



Figur 2.9: Plot som viser resultat av forskjellige regulatorer for sylinderstyring.

Blokkskjemaet i figur 2.10 viser reguleringsløyfen for den implementerte regulatoren for systemet. Formel 4 viser utregning av pådragsignalet for P- og feedforwardregulatoren der $d(t)$ er avviket mellom er-verdi og ønsket-verdi, FF representerer pådraget fra feedforwardregulatoren og $u(t)$ er pådragssignalet til sylinderne $\pm 10[V]$.

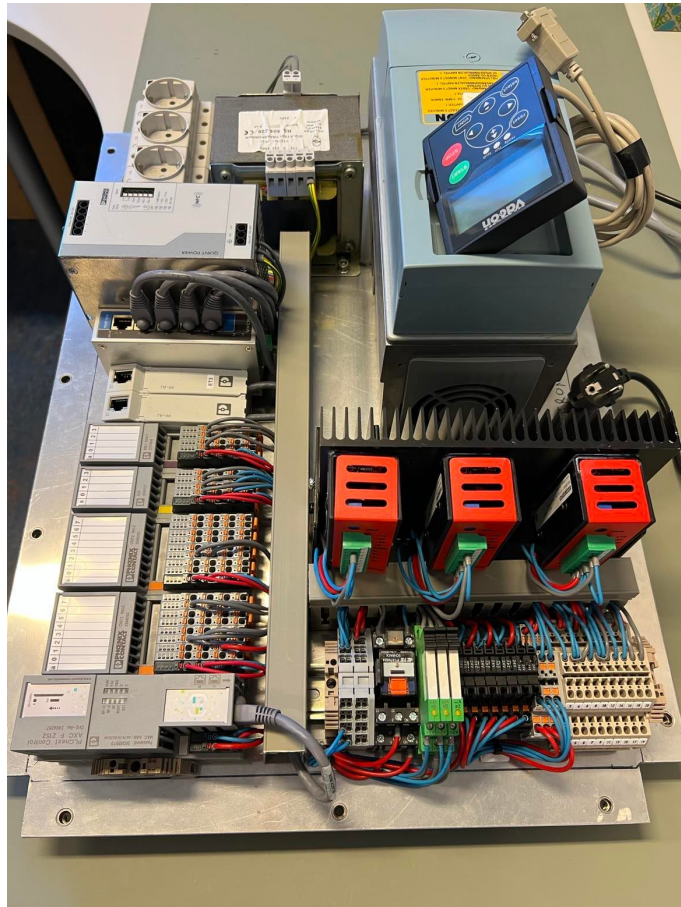
$$u(t) = K \cdot d(t) + FF \quad (4)$$



Figur 2.10: Blokkskjema av reguleringsløyfe med FeedForward og P-regulator for regulering av bevegelsesplattform etter posisjon og hastighet.

2.5 Overgang til bevegelsesplattform

Etter arbeidet i kapittel 2.3 og 2.4, som omhandlet optimalisering og regulering av testsylinderen, startet overgangen til bevegelsesplattformen. Her startet arbeidet med å fjerne systemets tidligere hardware. Videre i prosessen tegnet vi elektriske tegninger for nytt egenutviklet styresystem i «*haBit software*», disse er dokumentert i vedlegg 14. Ferdig oppkobling av ny hardware er vist i figur 2.11. Etter oppkoblingen ble PLS software utvidet fra å styre en cylinder til tre sylinder.



Figur 2.11: Bilde som viser ferdig oppkobling av hardwarekomponenter, platen er fastmontert helt i bunnen av bevegelsesplattformen.

2.6 Beregning av sylinderposisjonssettpunkt

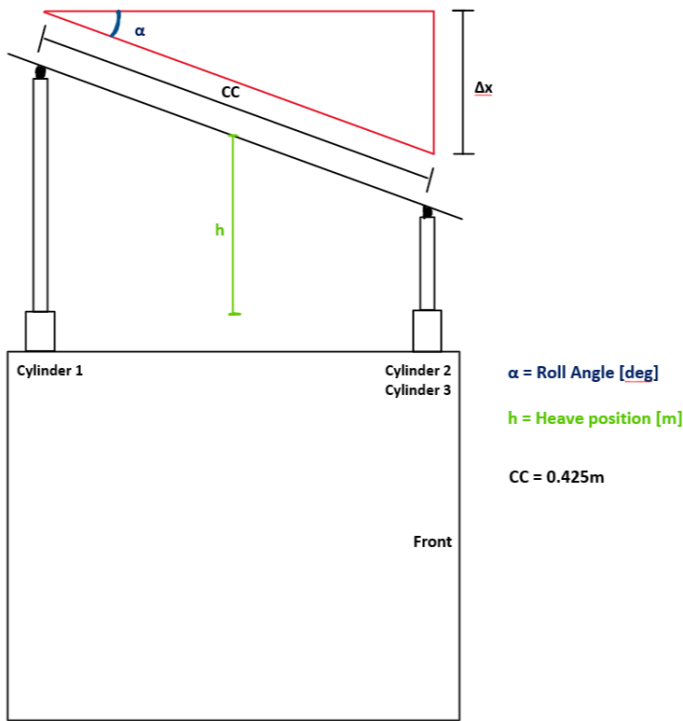
Figur 2.12 viser kinematikken til bevegelsesplattformen. Plattformen består av 3 cylindre, som hver kan bevege seg fra 0-30[cm]. Cylinder 2 og 3 skal bevege seg synkront, dette innebærer at plattformen får to frihetsgrader, *heave* og *roll*. MRU logfilene plattformen skal bevege seg etter inneholder *heave position* og *roll angle* data. Det må dermed beregnes sylinderposisjoner for en gitt *heave* og *roll*. Formel 5 viser utregning av sylinder 1 sitt posisjonssettpunkt gitt *heave position* og *roll angle*. Formel 6 viser utregning av sylinder 2 og 3 sitt posisjonssettpunkt gitt *heave position* og *roll angle*.

- $CC = 0.425[\text{m}]$
- $h - \text{Heave position } [\text{m}]$.
- Syl_{SP} – Sylinderposisjonssettpunkt.

$$Syl1_{SP} = h + \frac{\Delta X}{2} \quad (5)$$

$$Syl2_3_{SP} = h - \frac{\Delta X}{2} \quad (6)$$

$$\Delta X = \sin(\alpha) \cdot CC \quad (7)$$



Figur 2.12: Illustrasjonen viser mål som er brukt for beregning av sylinderposisjoner basert på *heave positon* og *roll angle*.

Kodeutsnitt 3 viser utregning av sylinderposisjoner, gitt *heave position* og *roll angle* i Platform HMI.

```

1 // Cylinder 1 position
2 Cylinder1_Pos.Add(Convert.ToSingle(Heave_Pos[i] + ((Math.Sin(Convert.ToDouble(Roll_Angle[i] * (
    Math.PI / 180))) * PlattformUI.PlattformCC) / 2)));
3
4 // Cylinder 2 and cylinder 3 position
5 Cylinder2_3_Pos.Add(Convert.ToSingle(Heave_Pos[i] - ((Math.Sin(Convert.ToDouble(Roll_Angle[i] * (
    Math.PI / 180))) * PlattformUI.PlattformCC) / 2)));

```

Listing 3: Kodeutsnitt med utregning av sylinder posisjoner i C#

2.7 Beregning av sylinderhastighet

Beregning av sylinderhastighet basert på enkoder tilbakemelding er implementert i PLS ved hjelp av en funksjonsblokk «fbSpeed_V1_02». Den beregnede sylinderhastigheten blir ikke benyttet i reguleringen, men blir vist grafisk i HMIen under «Service» taben. Funksjonsblokken beregner hastigheten ved å telle antall pulser mottatt på en gitt tid, og dermed beregnes *pulses per second* (PPS). Dette er konvertert til [m/s], ettersom at vi kjenner antall meter per puls.

2.8 Brukergrensesnitt

Brukergrensesnittet for styring og monitorering av plattform og vinsj er utviklet i «Visual Studio» og er programmert i C#. Det er brukt WPF designarkitektur, da dette gir større mulighet for moderne design og skalering av applikasjonen. Dette er nyttig da det er stor sannsynlighet for at datamaskiner med ulik opplosning kommer til å bruke applikasjonen. Dette ble tatt hensyn til i designprosessen, slik at applikasjonen skalerer seg etter valgt opplosning. Figur 2.13 viser UML diagram for Plattform UI brukergrensesnittet.

Det ble brukt en rekke biblioteker i dette programmet for design, kommunikasjon og graf plotting. Dette ble gjort for å spare både tid og arbeid, da mange av de nevnte funksjonene allerede finnes i eksisterende biblioteker.

MaterialDesignThemes(4.6.1)

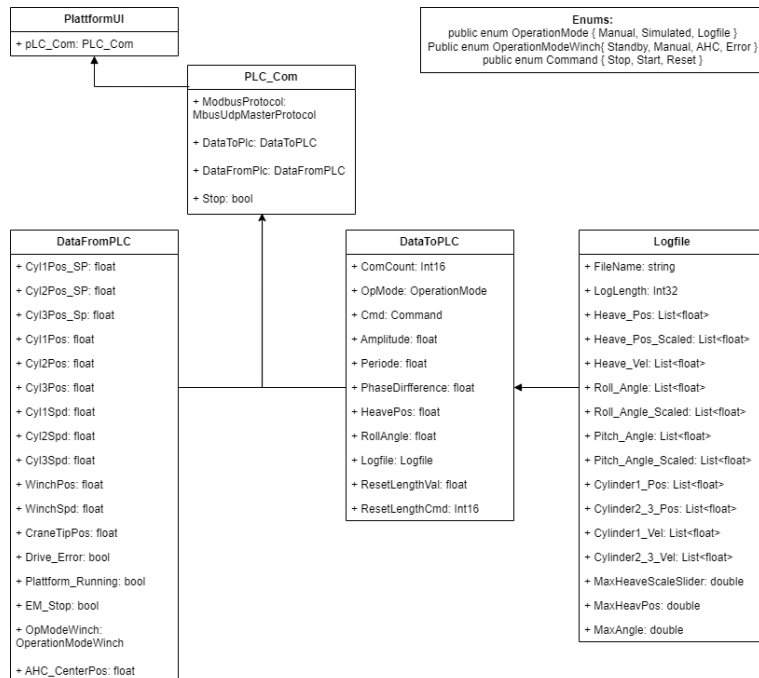
Dette er et *open source* bibliotek som er enkelt å bruke for å designe brukergrensesnitt. Ved å benytte dette biblioteket finnes det ferdige GUI komponenter for alt som er benyttet i dette prosjektet. Dette gjorde det lettere å designe brukergrensesnittet, samtidig som det ferdige produktet fikk et mer profesjonelt uttrykk enn om vi skulle ha utarbeidet alt selv. Referanse [4] viser benyttet bibliotek.

FieldTalk.Modbus.Master(2.11.0)

Dette er et bibliotek Scantrol har kjøpt for implementering av Modbus i .Net applikasjoner. Dette ble benyttet for implementering av modbus UDP kommunikasjon mot PLSen. Her er brukergrensesnittet klient og PLS server. Bakgrunnen for valget av Modbus UDP i stedet for TCP er at det gir en mye raskere kommunikasjon. Dette er en fordel når vi skal motta livedata for plotting og sende logfil data, som ofte kan være store filer. Referanse [3] viser benyttet bibliotek.

ScottPlot.WPF(4.1.61)

Scottplot.WPF er et *open source* bibliotek for plotting av data i .NET applikasjoner. Dette biblioteket ble benyttet i Plattform UI for å plotte live data fra sylinder/vinsj tillegg til å vise plot av logfil data. Referanse [5] viser benyttet bibliotek.



Figur 2.13: UML diagram for Plattform UI brukergrensesnitt.

2.9 Kommunikasjon

PLS og HMI kommuniserer over nettverk med modbus UDP-protokoll, hvor PLS ble valgt som server og HMI som klient. Protokolldokument for kommunikasjonen mellom HMI og PLS er beskrevet i vedlegg 11.1. UDP er en raskere og mer uavhengig protokoll enn TCP, ettersom UDP ikke har mekanisme for å sjekke om sendte datapakker er fullstendige. Det ble derfor valgt å benytte UDP-kommunikasjon for å gjøre sendingen av loggfildata fra HMI til PLS raskest mulig.

2.10 Operasjonsmodus plattform

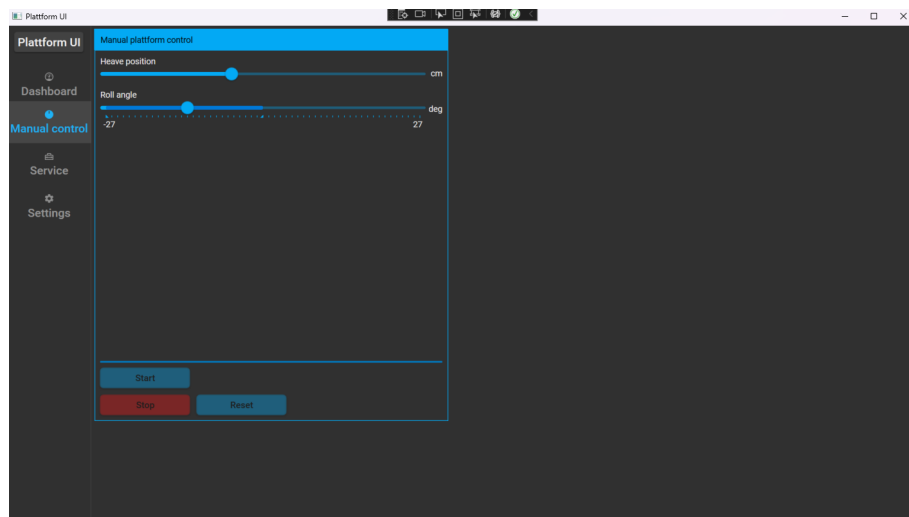
Oppdragsgiver hadde ønske om å få implementert en programvare for å kunne styre bevegelsesplattformen i ulike bevegelser. Som følge av dette ble det utviklet tre forskjellige moduser i HMI-brukergrensesnittet; manuell kjøring, simulerte parametriserte bølger og en loggfil-modus hvor plattformen leser og følger bevegelser fra bølgefiler. Bruksanvisning for betjening av HMI-brukergrensesnittet er dokumentert i vedlegg 13.

2.10.1 Reset-kommando

For å sikre seg at systemet til enhver tid vet korrekt posisjon på hver sylinder, ble det implementert en reset-kommando. Denne kommandoen kan aktiveres ved å trykke på en reset-knapp nederst i HMI, dette er kun mulig dersom plattformen allerede er i stopp-modus. I reset-modus kjøres alle cylindrene ned til bunnposisjon og posisjonsmålingen resettes til 0[m] for alle cylindrene. Det ble implementert en funksjon som gjør at alle cylindrene lander samtidig i bunnposisjon selv om plattformen står i en vinkel før reset-knappen blir aktivert. Dette gjøres ved at den eller de cylindrene som har lengst avstand til bunn kjører med en fast hastighetskommando på ca. 2.3[V] som tilsvarer omtrent $\frac{1}{2}$ makshastighet. Den eller de resterende cylindrene beregner hvor mange [m/s] den/de må kjøre for at alle cylindrene skal nå bunnposisjon samtidig. Denne hastigheten kan sendes inn som argument i feedforward-funksjonen for den gitte sylinderen, for så å gå i ønsket hastighet. Sylinderne kjører ned helt til PLSen merker at nåværende enkoderverdi er lik forrige rundes enkoderverdi, videre slår PLSen automatisk av enable releene og ber HMI om å sette systemet i stopp.

2.10.2 Manuell modus

2.10.2.1 Brukergrensesnitt Figur 2.14 viser skjermbilde av brukergrensesnittet i manuell modus. Her kan bruker betjene og kjøre plattformen til ønsket posisjon og vinkel. *Heave position* og *Roll angle* skalerer seg etter plattformens fysiske begrensninger. Minimum og maksimum verdiene på «*Roll angle*» skaleres automatisk til størst mulig vinkel samtidig som brukeren endrer på verdien for «*heave position*». Størst mulig vinkel vil eksistere ved 15[cm] *heave position* (midtposisjon plattform). Det ble valgt å skalere ned min/maks roll angle for å forhindre at brukeren kan sette inn ulovlige verdier som plattformen fysisk ikke kan oppnå.



Figur 2.14: Skjermbilde av UI brukergrensesnitt for manuell modus.

Formel 8 og 9 viser beregninger av min/maks *roll angle* basert på en gitt *heave position* når valgt *heave position* er under 15[cm], ettersom det da er bunnen av cylinderutslaget som er begrensende faktor. Det er benyttet 2° margin for min/maks vinkel, dette gir en maks vinkel på 42° ved 15[cm] *heave position*.

- $CC = 0.425[\text{m}]$
- $h - \text{Heave position } [\text{m}]$.
- $\text{Max}^\circ - \text{Maksimal roll angle } [^\circ] \text{ ved gitt heave position.}$
- $\text{Min}^\circ - \text{Minimal roll angle } [^\circ] \text{ ved gitt heave position.}$

$$\text{Max}^\circ = \sin^{-1}\left(\frac{h \cdot 2}{CC}\right) - 2 \quad (8)$$

$$\text{Min}^\circ = -\text{Max}^\circ \quad (9)$$

Dersom *heave position* er over 15[cm] er det fullt cylinderutslag (0.3[m]) som er begrensende faktor for *roll angle*. Derved blir beregningen for min/max *roll angle* som vist i formel 10 og 11.

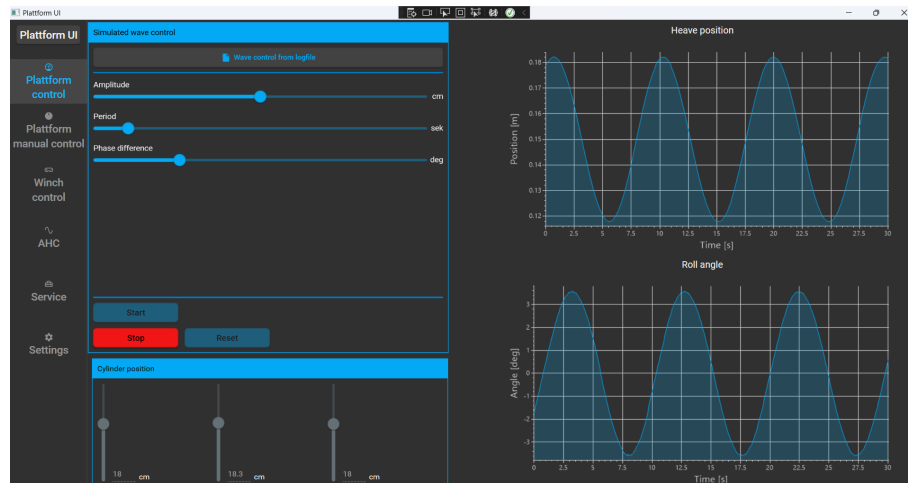
$$\text{Max}^\circ = \sin^{-1}\left(\frac{(0.3 - h) \cdot 2}{CC}\right) - 2 \quad (10)$$

$$\text{Min}^\circ = -\text{Max}^\circ \quad (11)$$

2.10.2.2 Styring I manuell modus benyttes feedforward funksjonene i PLSen for å sørge for at plattformen oppnår ønsket posisjon og vinkel til samme tid. Dette er samme logikk som benyttes for resetting av plattformen hvor den eller de cylindrene som har lengst «kjørevei» beveger seg med en konstant fart, og den/de cylindrene med kortest «kjørevei» benytter en utregnet hastighetskommando. Vedlegg 9 viser spilleliste som inneholder demonstrasjon av manuell modus til bevegelsesplattformen.

2.10.3 Simulert bølgemodus

2.10.3.1 Brukergrensesnitt I denne modusen følger bevegelsesplattformen en simulert sinus. Brukergrensesnittet i figur 2.15 gir bruker mulighet til å endre verdier for amplitude[cm], periode[s] og faseforskyvning[°]. «Cylinder position» fanen nede til venstre viser er-verdien[cm] for cylindrene, grafene viser *heave position*[m] og *roll angle*[°] med hensyn på tid[s].



Figur 2.15: Skjermbilde av UI brukergrensesnitt for simulert bølgemodus.

2.10.3.2 Styring Det ble implementert en funksjonsblokk i PLSen «*fbWaveGenerator*» som genererer sinus-posisjonssettpunkt for P-regulatoren og cosinus hastighetssettpunkt for feedforward regulatoren, beregnet fra ønskede inputverdier for amplitude og periode. Formel 12 viser hvordan hastighetssettpunktet beregnes basert på å derivere posisjonssettpunktet.

- A – Amplitude i meter.
- P – Periode i sekunder.
- x – Tidsskritt i sekunder.

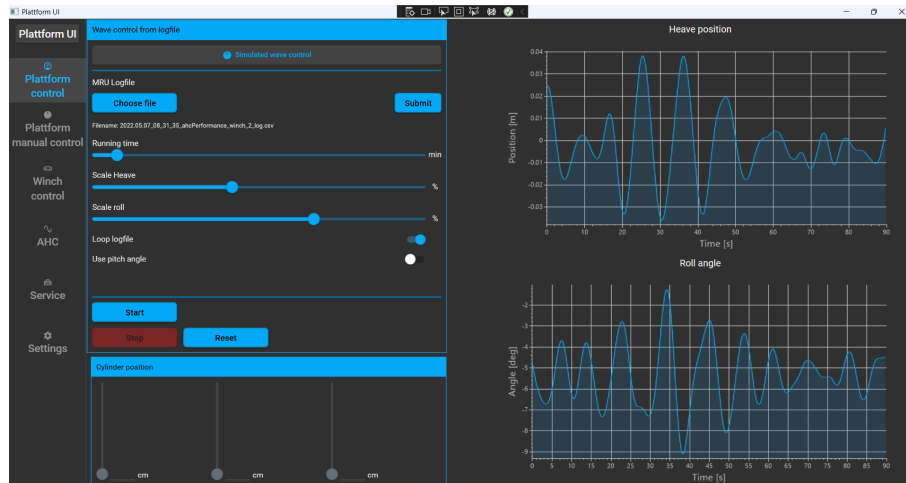
$$\frac{d}{dx}(A \cdot \sin(\frac{2\pi}{P} \cdot x)) = \frac{2\pi \cdot A \cdot \cos(\frac{2\pi}{P} \cdot x)}{P} \quad (12)$$

Før brukeren trykker start må den velge amplitude, periode og en faseforskyvning i grader. Amplituden og perioden er direkte relatert til den simulerte sinus bølgen sin amplitude og periode. Faseforskyvningen sier hvor mange grader settpunktet til sylinder 1 og settpunktet til sylinder 2 og 3 er faseforskyvet i forhold til hverandre. Dersom denne er satt til 0° vil alle cylindrene gå likt, systemet vil da ikke ha *roll angle*, men kun endring i *heave position*. Dersom brukeren velger 180° vil fremre og bakre cylindrene gå motsatt av hverandre og plattformen vil kun ha *roll angle*.

Når brukeren trykker start i simulert bølgemodus kjører plattformen først med jevn hastighet til senterpunkt for bølgen som er 15[cm], før «*fbWaveGenerator*» blokken starter å generere posisjon/hastighetssettpunkt for alle cylindrene basert på oppgitt amplitude, periode og faseforskyvning. Vedlegg 9 viser spilleliste som inneholder demonstrasjon av simulert bølgemodus til bevegelsesplattformen.

2.10.4 Loggfilmodus

2.10.4.1 Brukergrensesnitt Loggfilmodusen i figur 2.16 gir bruker mulighet til å kjøre plattformen etter bølgefiler i csv-format. Ved hjelp av skyveknappene er det mulig å velge kjøretid i minutt og skalere *heave position* og *roll angle*. Vippebryterne gir bruker mulighet til å *loope* loggfilen, i tillegg til å velge og benytte *pitch angle* fra bølgefiliene istedenfor *roll angle*.



Figur 2.16: Skjermbilde av UI brukergrensesnitt for loggfilmodus.

2.10.4.2 Beregninger Beregninger av sylinderposisjons- og hastighetsettpunkt blir utført i HMI før dataene sendes til PLSen. I HMI blir sylinderposisjoner for hvert punkt regnet ut og automatisk skalert ned til plattformens fysiske begrensinger for posisjon og hastighet for cylindrene. Her blir *heave position* skalert mens *roll/pitch* beholder verdiene fra filen.

Hastighetsettpunkt for hver sylinder blir beregnet ved å derivere det allerede beregnede posisjonssettpunktet for hver sylinder. Beregningen utføres ved bruk av formel 13 for numerisk derivasjon i diskret tid. Der x er posisjonssettpunkt [m] og t er tid [s].

$$\dot{x}_t = \frac{x_t - x_{t-1}}{\Delta t} \quad (13)$$

2.10.4.3 Skalering Loggfilene som benyttes i denne modusen er MRU loggfiler som er samplet med 100[ms] intervall i .csv format. Når brukeren trykker «choose file» leses filen og følgende data hentes ut for styring av plattformen:

- *Heave position* [m].
- *Roll angle* [$^{\circ}$].
- *Pitch angle* [$^{\circ}$].

Skyveknapp «Running time» sin maksverdi er automatisk skalert ned til maks 25 minutter, eller den eventuelle lengden på loggfilen så lenge den er mindre enn 25 minutter. Dette er som følge av begrensningene til hvordan sending av loggfildata til PLS er implementert. Fra HMI sendes cylinderposisjoner og hastigheter for hvert punkt i filen, dette tilsvarer fire verdier per punkt (100[ms]). Modbus har 65535, 16-bit registre som HMI kan plassere data i. For hvert 100[ms] er det benyttet fire 16-bit adresser som gir en maks tid på omrent 25 minutter. Når brukeren trykker start, skrives alle loggfildataene til modbus sitt «holding registers». Tilbakemelding til bruker med status på datasendingen blir gitt i HMI via en *progressbar* ettersom dette er en tidkrevende prosess.

Ved hjelp av skyveknapp «Scale heave» kan bruker skalere ned den allerede nedskalerte *heave position*, og dermed skalere opp *roll/pitch angle* ved hjelp av skyveknapp «Scale roll/pitch». Resultatet av skaleringen kan brukeren se på grafene «*Heave position*» og «*Roll angle*».

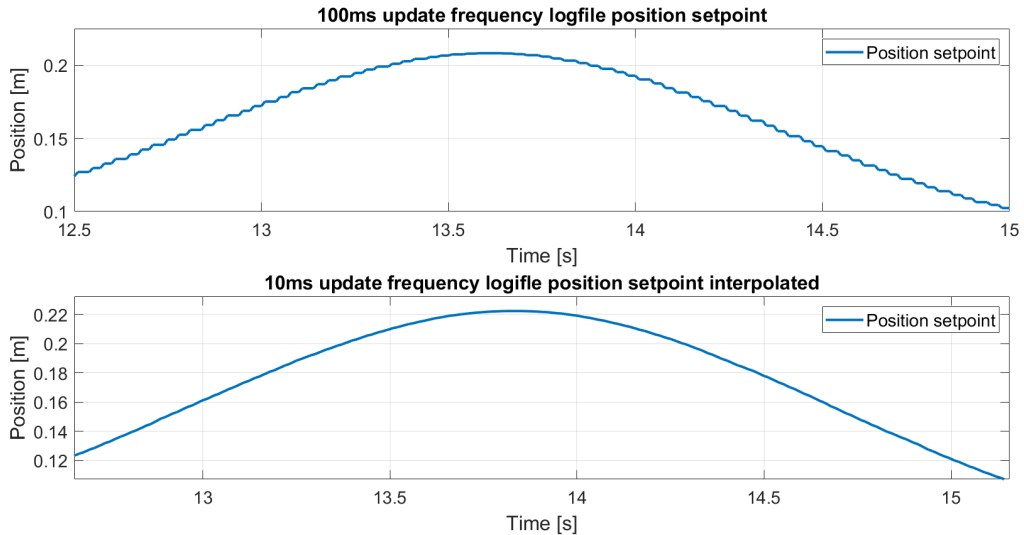
2.10.4.4 Styring Ettersom regulatoren i PLSen kjører med en syklustid på 10[ms] og loggfilene er samplet med 100[ms], er det behov for å interpolere mellom punktene for å unngå støy. Dersom posisjons- og hastighetssettpunktet hadde blitt oppdatert hvert 100[ms], ville regulatoren sjekket og endret pådraget ti ganger mellom hvert oppdaterte settpunkt. Dette ville medført at regulatorer hadde regulert etter et for sjeldent oppdatert settpunkt, som ville skapt støy i pådragssignalet.

For å unngå denne oppførselen i systemet er det valgt å lineært interpolere mellom punktene for å generere posisjon og hastighetssettpunkt hvert 10[ms]. Formel 14 viser utregningen for interpoleringen av loggfildatane.

- Pos_SP – Interpolert posisjonssettpunkt cylinder [m].
- Pos – Posisjonssettpunkt cylinder [m].
- j – Loop count [0-10].

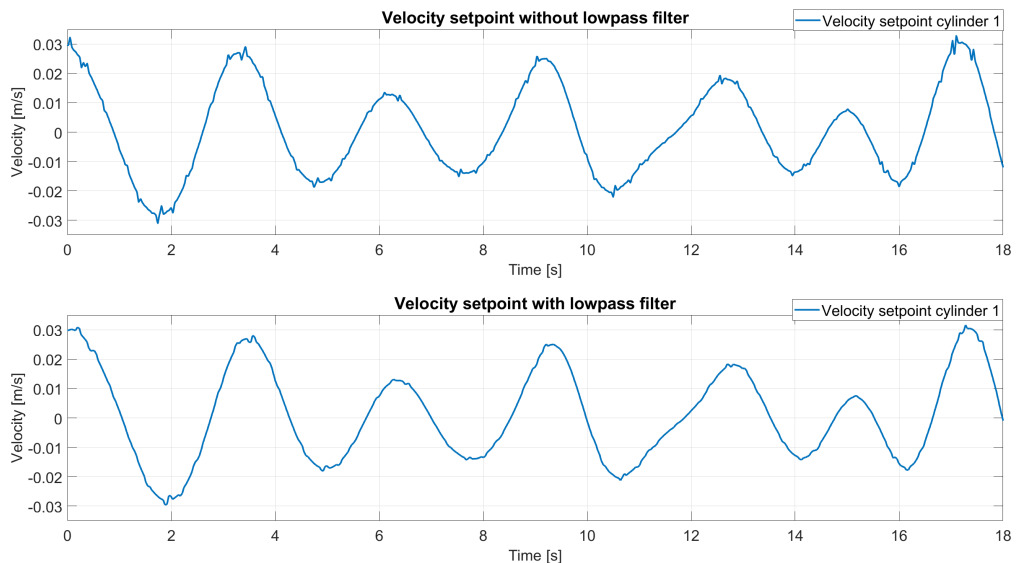
$$Pos_SP = \frac{(Pos[i + 1] + 0.15) - (Pos[i] + 0.15)}{10} \cdot j + Pos[i] + 0.15 \quad (14)$$

Figur 2.17 viser resultatet av interpoleringen av cylinder 1 sitt posisjonssettpunkt. Plottet øverst i figuren viser settpunktet oppdatert med 100[ms] intervall. Plottet nederst i figuren viser settpunktet interpolert og oppdatert med 10[ms] intervall.



Figur 2.17: Plot som viser effekten av interpolerte loggfildata.

Derivasjon av det interpolerte posisjon settpunktet fra loggfildaten førårsaket noe støy i hastighetssettpunktet til feed-forward regulatoren. Det ble dermed implementert ett lavpassfilter i HMI for å redusere støyen. Figur 2.18 viser resultatet av hastighetssettpunktet før og etter filtrering av signal.



Figur 2.18: Plot som viser hastighetssettpunkt før og etter lavpassfiltrering i loggfil modus.

Formel 15 er benyttet for å lavpassfiltrere hastighetssettpunktet i HMI. Det er mulig å filtrere ytteligere, men da vil amplituden bli ytterligere dempet i tillegg til at det vil skape større tidsforsinkelser i systemet.

$$x[i] = \frac{x[i] + x[i-1]}{2} \quad (15)$$

Vedlegg 9 viser spilleliste som inneholder demonstrasjon av loggfil modusen til bevegelsesplattformen.

2.11 Begrensninger og tester

2.11.1 Posisjonsbegrensninger

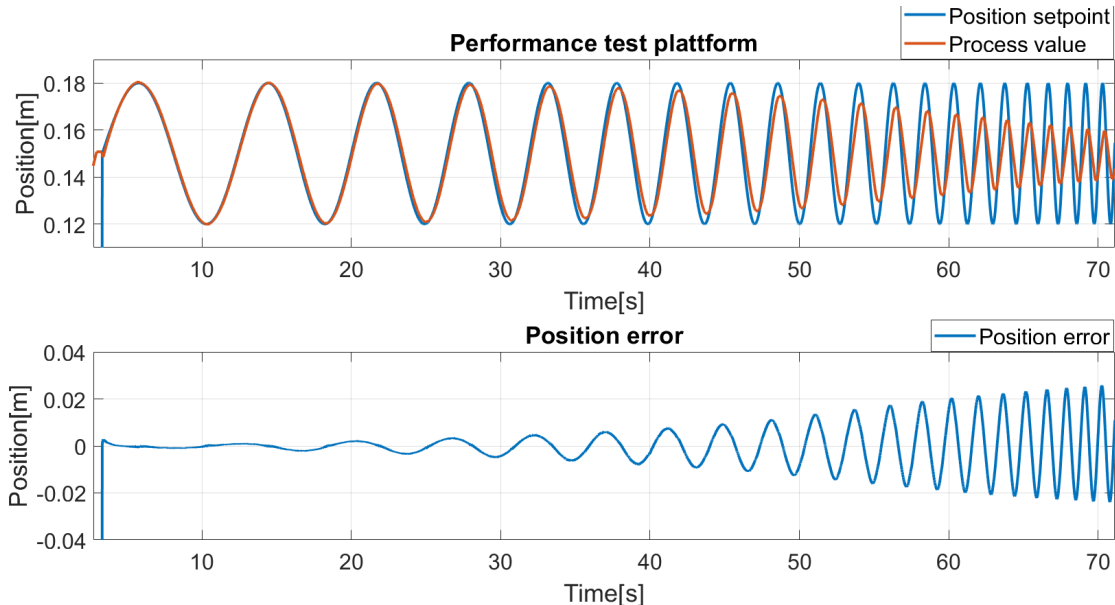
Plattformen har fysiske begrensninger som følge av at cylindrene har et cylinderutslag på 30[cm]. Dette medfører at *heave position* uten *roll/pitch angle* på plattformen vil være mellom 0-30[cm]. Maks vinkel for plattformen kan utføres når plattformen er i sin midtre posisjon som er 15[cm].

2.11.2 Hastighetsbegrensninger

Under hastighetskalibreringen av cylindrene i kapittel 2.4.2.2 ble hastighetene ved maks hastighetskommandoer $\pm 10[V]$ målt, resultatene viste at cylinder 1, som hadde mest tilført last, maksimalt klarte å kjøre med hastighet $-0,0469[m/s]$ utover. Cylinder 3, med minst tilført last, klarte maksimalt å kjøre med hastighet $0,0490[m/s]$ innover. Dette er valgt som hastighetsbegrensninger for alle cylindrene i systemet.

2.11.3 Begrensningstest

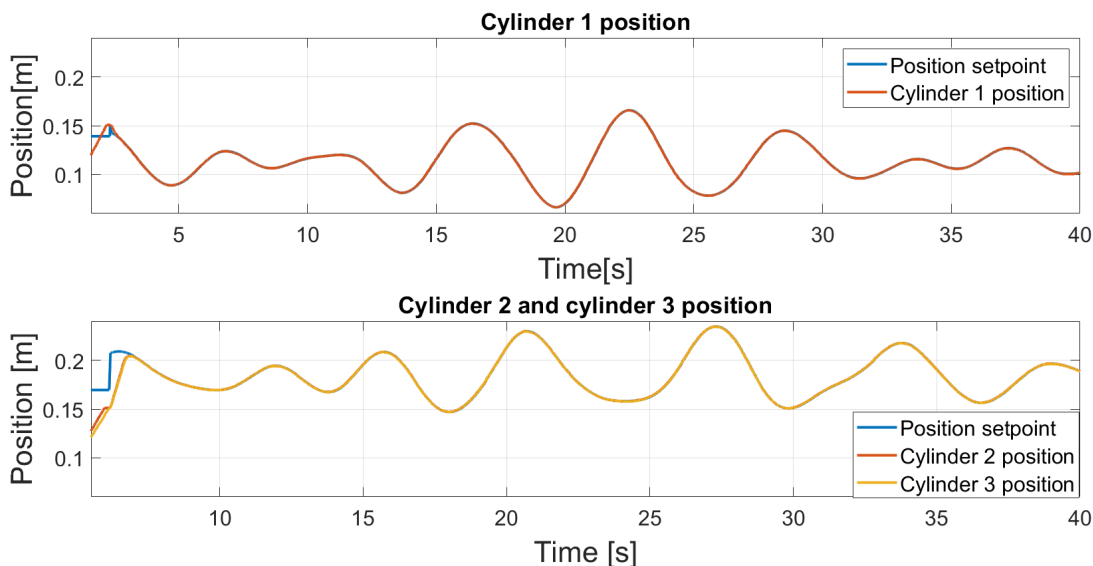
Systemets begrensninger knyttet til hvor godt det følger posisjonssettpunktet til en generert sinus med økende frekvens er testet i figur 2.19. Testen viser hvordan bevegelseplattformen følger posisjonssettpunktet for en generert sinus med amplitude på 0.06[m] og minkende periodetid fra 10[s] til 1[s]. Resultatet av testen viste at cylindrene sliter med å nå topp- og bunnpunkt fra Ca. 4[s] periodetid og lavere.



Figur 2.19: Øverste graf viser hvordan bevegelseplattformen følger posisjonssettpunktet for en sinus som har økende frekvens fra 10[s] til 1[s] periode. Nederste graf viser hvordan posisjonsfeilen mellom er-verdi og settpunkt øker desto høyere frekvens.

2.11.4 Loggfilmodus test

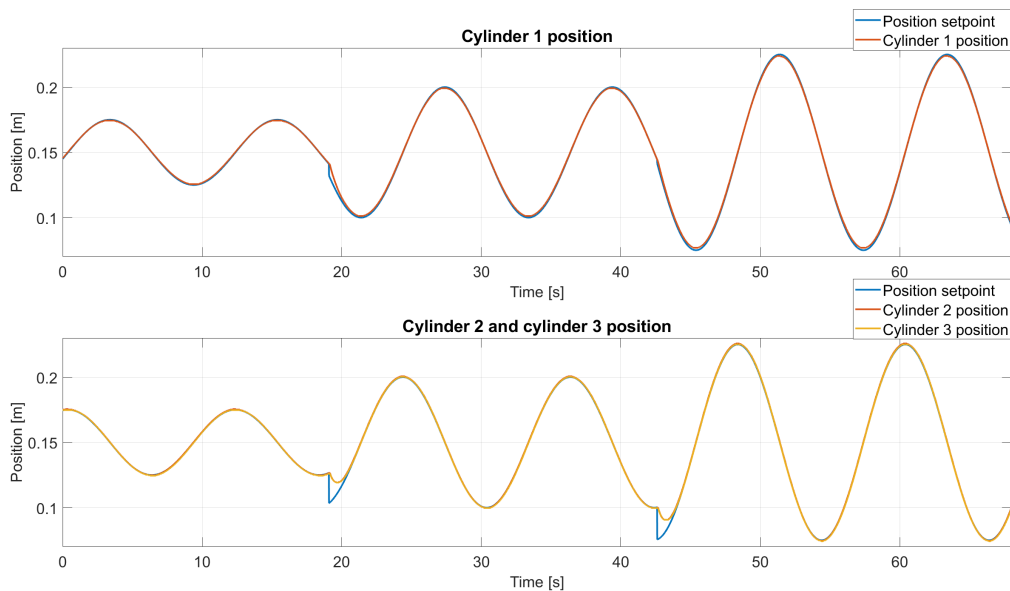
Det er utført en rekke tester på plattformen hvor den følger bevegelsene fra ulike loggfiler. Figur 2.20 viser hvordan sylinder 1, 2 og 3 følger de nedskalerte bølgebevegelsene på en av disse filene etter utført optimalisering.



Figur 2.20: Plot som viser sylinderposisjoner sammenlignet med posisjonssettspunkt for alle tre sylinder i loggfil modus.

2.11.5 Simulert bølgemodus test

Figur 2.21 viser hvordan sylinderne på plattformen følger simulerte sinus bølger med 90° faseforskyvning mellom fremre og bakre sylinder. Periodetiden er fastsatt til 12[s], amplituden varierer med to stk bølgetoppers intervall fra 5,10 og 15 [cm]. Hoppene i posisjonssettspunkt ved omtrent 20 og 45 sekunder er grunnet brå endring av amplitude til sinusgeneratoren i PLSen.

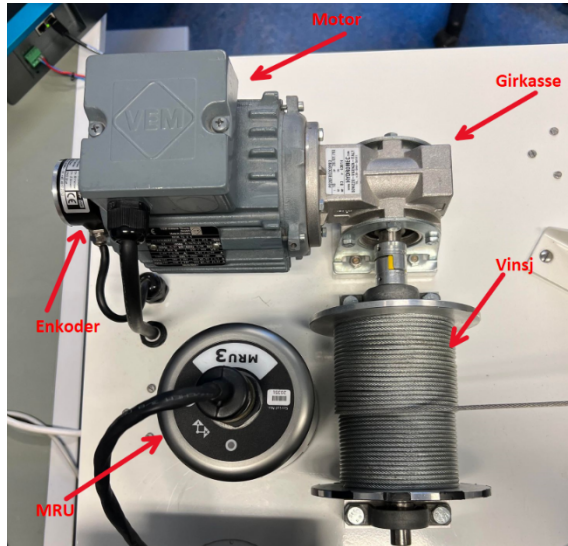


Figur 2.21: Plot som viser posisjon settspunkt og faktisk posisjon for sylinder 1, 2 og 3 ved forskjellige amplituder.

3 Vinsj styring

3.1 Hardware

Del 2 av oppgaven omhandler styring av den fastmonterte vinsjen på bevegelsesplattformen. Figur 3.1 viser bilde av de synlige komponentene tilhørende denne delen. Motoren sin hastighet blir styrt av en frekvensomformer som er vist på samme tilkoblingsbrett som *hardware* komponentene i del 1 av prosjektet 2.11. Enkoderen som vist i figur under, er fra Scancon og har 1024 pulser per rotasjon. MRU-en til venstre på bildet er av type seatex mru5. Den er fastmontert på plattformen, men benyttes ikke i dette prosjektet.



Figur 3.1: Bilde som viser de synlige hardware-komponentene til vinsjstyringen.

3.1.1 Frekvensomformer

Det benyttes en frekvensomformer fra Vacon NXP for styring av hastigheten til vinsjen. Frekvensomformeren har tilkoblet tre utvidelseskort for enkoder, nødstopp og for fieldbus kommunikasjon.

3.1.2 Elektrisk motor

I dette systemet anvendes det en 3-fase asynkron induksjonsmotor fra «VEM» med følgende spesifikasjoner, se tabell 2.

Motor type	3-fase asynkron induksjonsmotor		
IP	55		
Cos φ	0.74		
Effekt	0.37kW		
Koblingsmetode	Δ		
Spenning	230V		
Strøm	1.84A		
Frekvens	50Hz	Hastighet	1345Rpm

Tabell 2: Tabell som viser motorens spesifikasjoner.

3.1.3 Beregning av vinsjposisjon

I dette systemet er det benyttet en girkasse mellom akslingen på motoren og vinsjen. Girforholdet på girkassen er $\frac{1}{10}$, der 10 rotasjoner på motoren tilsvarer 1 rotasjon på vinsjen. Det er ikke tatt hensyn til at vinsjen kjører på flere lag under beregning av omkretsen på trommelen, ettersom at vinsjen kun kjøres på ett lag. Det ville vært nødvendig å ta dette med i beregningene dersom vinsjen hadde hatt en lengre kjørelengde. Kodeutsnitt 4 viser utregning av posisjonen til vinsjen gitt i [m] ved bruk av enkoderpulser, omkretsen til trommelen, kjente pulser per rotasjon og girforholdet:

```

1 //*****
2 //Code information:
3 //Function block that calculates winch position in meter, using encoder pulses.
4 //GearRatio = 10
5 //iPPR = pulses per rotation
6 //
7 //Author: Sander V. Andersen and Lars Askild S. Aarvik
8 //Date: 13.04.2023
9 //*****
10
11 rWinchPos           := TO_REAL(diEncoderWinch) * ( rCircumference/ (iPPR*
    rGearRatio*4) ) * -1; // position in [m]

```

Listing 4: Funksjonsblokk som beregner vaierlengden basert på enkoderpulsene fra motorene.

3.1.4 Operatørpanel



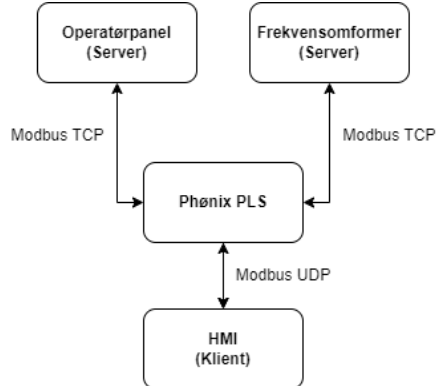
Figur 3.2: Betjeningspanel for styring av vinsj.

Betjeningspanelet vist i figur 3.2 er programmert og implementert i PLS til å styre vinsjen på bevegelsesplattformen. Det består av følgende komponenter:

- **Buzzer:** Benyttes for alarmsignallyd ved feil og under nødstopp.
- **Reset-knapp:** Resetter feilmeldinger på frekvensomformer.
- **Standby-knapp:** Aktiverer standby-modus.
- **InControl-knapp:** Ikke implementert.
- **Manual-knapp:** Aktiverer mulighet for å kjøre vinsj manuelt med potmeter og joystick.
- **AHC-knapp:** Aktiverer AHC-modus for vinsj.
- **Joystick:** Styrer vinsj innover og utover gradvis, hvor maks utslag tilsvarer maks hastighet valgt på potmeter.
- **Potmeter:** Justerer hastigheten til vinsj 0-100[%].

3.2 Kommunikasjon

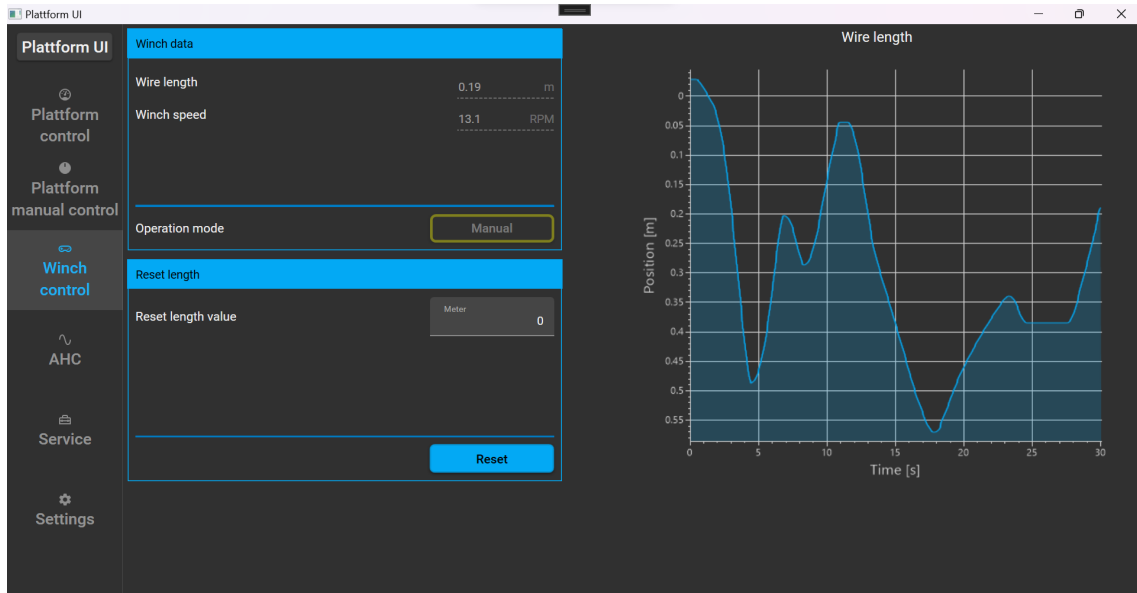
PLS, operatørpanel og Vacon frekvensomformer kommuniserer over modbus TCP. Figur 3.3 viser oversikttegning over kommunikasjonen mellom de forskjellige enhetene. Vedlegg 11.2 viser implementert kommunikasjonsprotokoll for frekvensomformer. Vedlegg 11.3 viser implementert protokoll for operatørpanelet.



Figur 3.3: Blokkskjema som viser kommunikasjonen mellom operatørpanel, frekvensomformer, PLS og brukergrensesnitt.

3.3 Brukergrensesnitt

For monitorering og resetting av vaierlengde er det implementert en egen tab i HMI for «Winch control». Figur 3.4 viser et skjermbilde av denne siden i HMI.

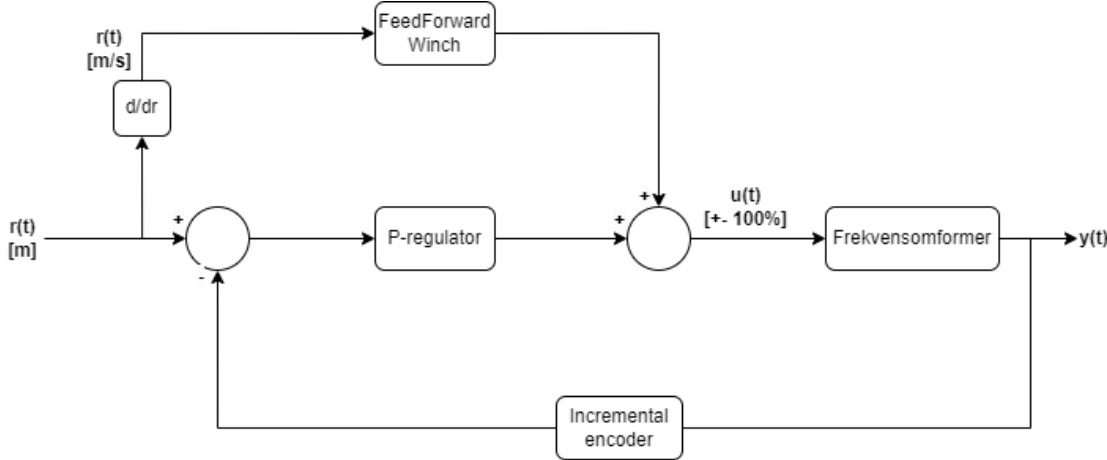


Figur 3.4: Viser skjermbilde av «Winch control» tab i HMI.

- **Wire length:** Viser vaier lengde ute i meter.
- **Winch speed:** Viser hastigheten på vinsjen i RPM.
- **Operation mode:** Viser nåværende operasjonsmodus for vinsjen med tekst og farge.
- **Reset length value:** Lengde brukeren ønsker å resette vaierlengde til.
- **Reset:** Knapp for å resette vaierlengde.
- **Wire lenght graph:** Viser direkte oppdatering av vaierlengde grafisk.

3.4 Posisjons- og hastighetsregulering av vinsj

Vinsjen reguleres etter posisjon[m] og hastighet[m/s] med tilsvarende reguleringssløyfe som for sylinderne vist i figur 2.10, der en P-regulator regulerer etter posisjon og en feedforward-regulator regulerer vinsjen basert på ønsket hastighet. Blokkskjema 3.5 illustrerer reguleringssløyfen som er optimalisert og beskrevet videre i dette kapittelet.



Figur 3.5: Reguleringssløyfe for posisjon og hastighetsregulering av vinsj.

3.4.1 Hastighetskalibrering og tuning av vinsj

Hastighetskalibrering av vinsjen ble gjennomført med utviklet funksjonsblokk «fbSpeedTestWinch» i PLSen for å finne ut hvor mange [RPM] vinsjen gir med pådrag fra 0-100% i hver retning. Funksjonsblokken er vist i kodeutklipp 5. Funksjonsblokken kjører vinsjen automatisk i 10 steg. Hastigheten øker fra 0-100% (maks hastighetskommando). På hvert steg kjører den i tre sekund for å få tid til å rampe seg opp, før den *sampler* [RPM] ved denne hastighetskommandoen. Funksjonsblokken returnerer deretter en tabell med hastigheter gitt i [RPM]. Formel 16 ble deretter benyttet for å omregne hastighetene i [RPM] til [m/s].

$$V[m/s] = \frac{\text{Omkrets}[m]}{60[s]} \cdot \text{RPM} \quad (16)$$

```

1 //*****
2 //Code information:
3 //Function block that automatic speedtests the winch, with ramping signals [0-100]%
4 //Author: Sander V. Andersen and Lars Askild S. Aarvik
5 //Date: 27.04.2023
6 //*****
7
8 IF(xActivate)THEN
9     IF(NOT(xTestDone))THEN
10        xRun           := TRUE;
11        wTorqueCMD    := 3000;
12        xDir          := xDirection;
13
14    If(iTimerCount < iTSTime)THEN
15        iTimerCount   := iTimerCount + 1;
16    ELSE
17        IF(wSpeedCMD <> 0)THEN
18            rSpeedArray[uiSpdCmdLocal/1000]      := iRPM / rGearRatio;
19            END_IF;
20            uiSpdCmdLocal       := uiSpdCmdLocal + TO_UINT(rSpdStep);
21            wSpeedCMD          := TO_WORD(uiSpdCmdLocal);
22            iTimerCount        := 0;
23            IF(wSpeedCMD > 10000)THEN
24                xTestDone      := TRUE;
25                END_IF;
26                END_IF;
27            ELSE
28                xRun           := FALSE;
29                wTorqueCMD    := 0;
30                wSpeedCMD     := 0;
31                END_IF;
32            ELSE // Reset all variables
33
34            wSpeedCMD       := 0;
35            wTorqueCMD     := 0;

```

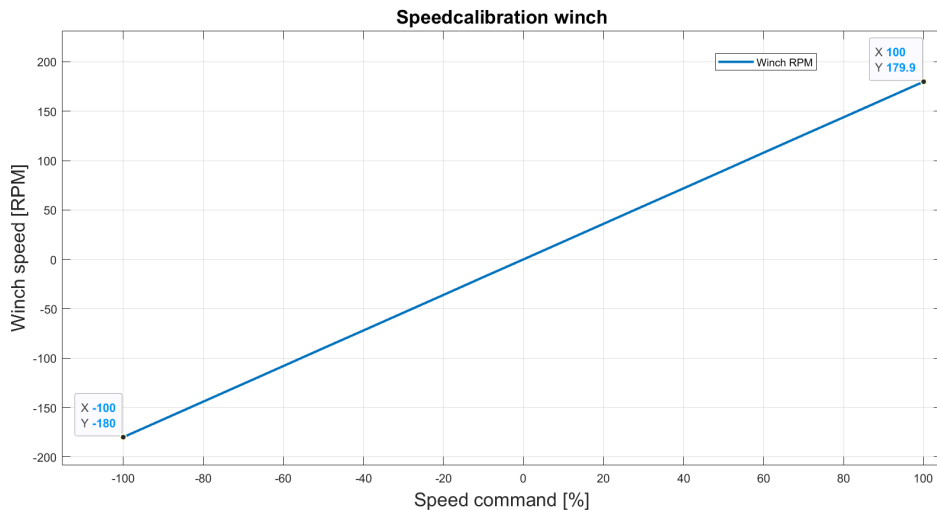
```

36     xRun                  := FALSE;
37     rSpdStep               := 10000 / iSteps;
38     iTimerCount            := iTesTime + 1;
39     uiSpdCmdLocal          := 0;
40     xTestDone              := FALSE;
41
42 FOR i := 0 TO iSteps DO
43   rSpeedArray[i]           := 0;
44 END_FOR;
45 END_IF;

```

Listing 5: Funksjonsblokk som automatisk hastighetskalibrerer vinsjen.

Figur 3.6 viser grafisk fremstilling av hastighetskommando med tilhørende hastighet for vinsjen. Elektriske motorer er veldig lineære, som er tydelig i figur 3.6. Hadde dette vært en hydraulisk vinsj ville det vært mye viktigere med en god kalibrering, gjerne med enda flere punkter i hver retning, da de ikke har like lineær karakteristikk. Figur 3.6 viser at vinsjen har en maks hastighet på 180 [RPM] i «*pay out*» retning og 179.9 [RPM] i «*pay in*» retning.



Figur 3.6: Plot som viser hastighetskalibrering av vinsj, resultatet viser at den elektriske motoren er lineær.

3.4.2 Vektorkontroll

Frekvensomformeren styres med *speed-control* med *torque limitation* og har to forskjellige kontroll metoder; *open-loop* og *closed-loop*.

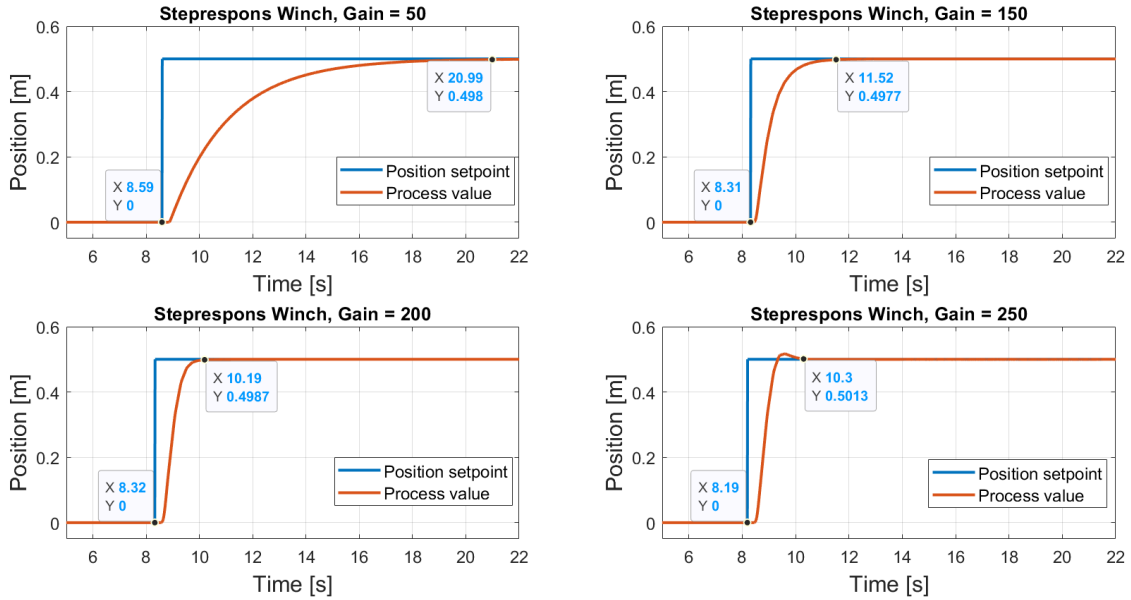
Open-loop baserer seg på å kjøre omformeren uten tilbakemelding fra sensorer. Den styres da med en simulert matematisk modell av systemet internt i omformeren. En nøyaktig regulering med denne metoden forutsetter at den fysiske modellen og den simulerte er tilnærmet like.

Closed-loop kontroll har hele tiden tilbakemelding om posisjonen og hastigheten sin ved å overvåke pulsene fra tilkoblet enkoder[8]. Ettersom denne metoden gir mer nøyaktig hastighet benyttes denne metoden for styring av vinsjen.

Momentgrensen til frekvensomformeren er innstilt til 30%. Denne er begrenset slik at den tilslater vekten av loddet på vinsjen, men vil begrense strømmen til motoren ved en høyere tilført belastning.

3.5 Tuning av vinsj

Kalibreringen av vinsjen ble utført ved å kjøre vinsjen med ulike steps over en distanse på 50[cm], med ulike forsterkningsgitt i [%/m]. Plot øverst til venstre i figur 3.7 viser step respons med 50[%/m], resultatet viser at vinsjen klarer å nå settpunktet, men for sakte i forhold til hva som er ønskelig. Plot øverst til høyre viser samme test med tilført forsterkning på 150[%/m], dette ga en raskere stigetid uten oversving. Neste plot nederst til venstre viser step med forsterkning 200[%/m], dette er forsterkningen som har regulert systemet til raskest stigetid uten oversving. Plot nederst til høyre viser at systemet får en liten oversving med forsterkning 250[%/m]. Det ble valgt å benytte 200[%/m] forsterkning da det ga raskest stigetid uten oversving.



Figur 3.7: Plot som viser stepresponser av vinsj med ulike forsterkninger. Stegene går fra 0[m] til 0.5[m].

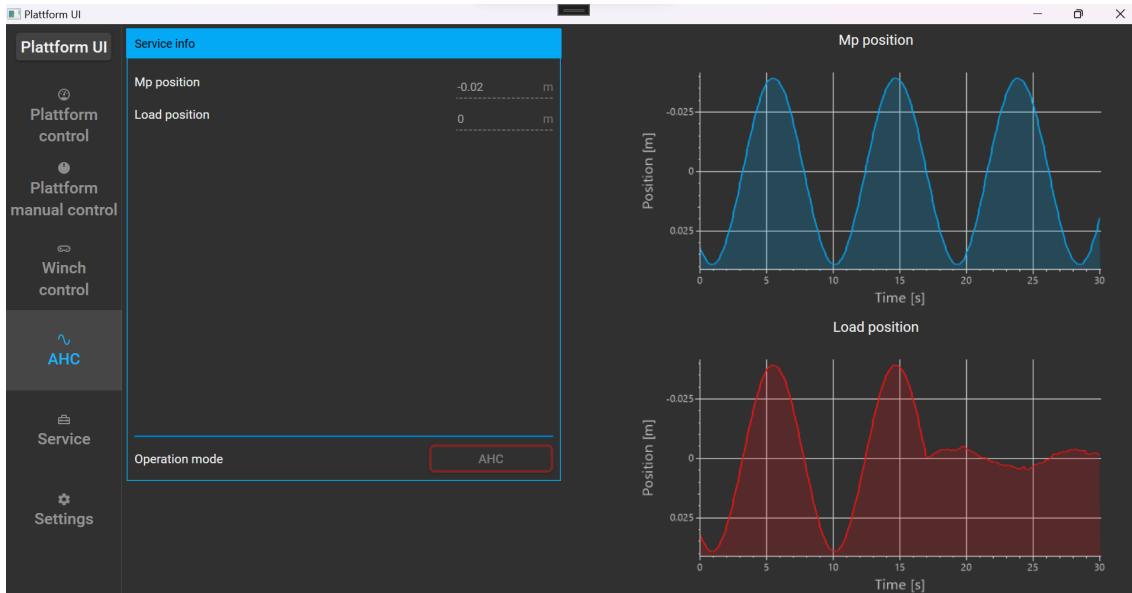
4 Evaluering av metoder for aktiv hiv kompensering

4.1 Ramping av vinsj

For å kunne benytte vinsjen til å kjøre AHC, er det viktig at den er rask og presis. Dette er vanskelig å få til dersom det er konfigurert rampetid på motoren. Rampetiden ble derfor satt til 0[s] i parametrerne i frekvensomformeren for å unngå at vinsjen ble for treg til å nå ønsket hastighet. Ved å sette rampetiden til 0[s] i frekvensomformeren blir vinsjen veldig direkte, og kan være farlig å operere i manuell modus. Det ble dermed implementert egen funksjonsblokk i PLS «fbRamping_V1_001» for å håndtere dette. Her benyttes det 2[s] rampetid for at vinsjen skal rampe opp og ned roligere og mer kontrollert under operasjon av vinsj med joystick.

4.2 Brukergrangesnitt

For monitorering av ytelsen til AHC systemet er det implementert en egen tab i HMI «AHC». Figur 4.1 viser et skjermbilde av denne siden i HMI.



Figur 4.1: Skjermbilde av «AHC» tab.

- **Mp position:** Viser posisjonsendringen til krantuppen i meter.
- **Load position:** Viser posisjonsendringen til lasten i meter.
- **Operation mode:** Viser nåværende operasjonsmodus for vinsjen med tekst og farge.
- **Mp position plot:** Viser direkte oppdatering av Mp posisjon grafisk.
- **Load position plot:** Viser direkte oppdatering av posisjonensendringen til lasten grafisk. Denne skal optimalt være lik 0[m] ved en ideell AHC.

4.3 Implementasjon av AHC

Ettersom AHC går ut på å motvirke bølgebevegelsene til fartøyet med vinsjen, må systemet vite hvor mye og hvor fort det skal utføre motvirkningen. Ettersom at det er bevegelsen til lasten vi ønsker å motvirke, må systemet vite hvor mye bølgene påvirker akkurat lasten. Denne bevegelsen benevnes som *measuring point* (Mp), og er *heave* bevegelsen for krantuppen. For å benytte AHC, må systemet bergene eller måle denne bevegelsen. I dette prosjektet ble det utført enten ved å beregne Mp posisjonen basert på cylinderposisjoner eller ved å måle bevegelsen ved hjelp av stereokamera.

Ved å invertere Mp posisjonen får systemet et posisjonssettspunkt til vinsjen som benyttes for å motvirke bølgebevegelsen. Det er ikke ønskelig å kun regulere vinsjen basert på et posisjonssettspunkt da vinsjen vil henge etter settspunktet i tillegg til og kunne få et stasjonært avvik. Derfor

benytter vinsjen samme reguleringsmetode som for sylinderne, ved å kombinere posisjonsregulator og feedforward hastighetsregulator. Hastighetssettpunktet beregnes ved å derivere Mp posisjonen, dette gir en hastighet i [m/s] som vinsjen må rotere for å motvirke bølgebevegelsen.

Ettersom systemet beregner Mp posisjonen hvert 10[ms], blir det relativt mye støy i posisjonssettpunktet og enda mer i hastighetssettpunktet. For å unngå for mye støy i pådragsignalet er det benyttet et lavpassfilter for både Mp posisjonen og Mp hastigheten. Her er Mp hastigheten lavpassfiltrert enda mer enn Mp posisjonen ettersom det var mest utsatt for støy. Hvor mye det skulle filteres er basert på prøving og feiling. For mye filtrering skaper for mye tidsforsinkelser i tillegg til demping av amplituden, men for lite vil skape for mye støy i signalene.

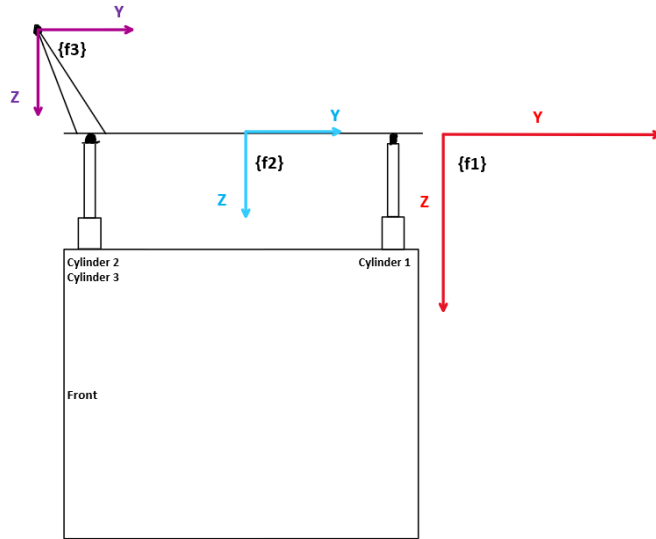
4.4 Teori knyttet til aktuelle metoder for AHC

Dette kapittelet omhandler teorien og beregningene bak de aktuelle metodene for AHC. Opprinnelig i oppgavebeskrivelsen var ønsket fra Scantrol at vi skulle evaluere og benytte mTrack sin egenutviklede AHC-kontroller, AHC ved bruk av radar og AHC ved bruk av stereokamera. Grunnet oppgavens omfang og mangel på tid ble det avklart med Scantrol og veileder Endre Håland at vi heller skulle evaluere og teste metoden for «beregnet AHC» og «AHC ved bruk av stereokamera».

4.4.1 Beregnet AHC

Første testmetode for AHC er «beregnet AHC». Siden dette er en bevegelsesplattform og systemet til enhver tid kjenner sylinderposisjonene, er det mulig å beregne hvor mye vinsjen må rotere for å motvirke disse bevegelsene. Denne metoden vil ikke fungere på et ekte fartøy, men det fungerte som et godt referansepunkt for videre tester.

4.4.1.1 Beregning av bevegelse Figur 4.2 illustrerer plattformen med koordinatsystemet $\{f_1\}$, $\{f_2\}$ og $\{f_3\}$ i 2D, der $\{f_1\}$ er referansekoordinatsystem. Ettersom plattformen har to frihetsgrader er det mulig å gjøre en forenkling av utregningene i 2D. I $\{f_2\}$ er heave position og roll angle kjent. For å kunne kjøre beregnet AHC må systemet vite forflytningen til $\{f_3\}$ i Z-retning.



Figur 4.2: Illustrasjon som viser koordinatsystemet $\{f_1\}$, $\{f_2\}$ og $\{f_3\}$ i 2D.

For å beregne denne bevegelsen brukes en 2D transformasjonsmatrise. Ettersom koordinatsystemene ikke blir rotert i forhold til hverandre, ble det ikke behov for å benytte en rotasjonsmatrise. Formel 17, hentet fra [6] viser en 2X2 transformasjonsmatrise for å vite $\{f_3\}$ sin posisjon relativ til $\{f_2\}$ sin posisjon.

$$\begin{bmatrix} Y' \\ Z' \end{bmatrix} = \begin{bmatrix} \cos \alpha & -\sin \alpha \\ \sin \alpha & \cos \alpha \end{bmatrix} \begin{bmatrix} Y \\ Z \end{bmatrix} \quad (17)$$

Med bakgrunn i at systemet kun er interessert i bevegelsen til $\{f_3\}$ i Z-retning, brukes kun deler av transformasjonsmatrisen. Formel 18 viser formel for utregning av bevegelsene til $\{f_3\}$ i forhold til $\{f_2\}$. Her er TipVect forflytningene i Y- og Z-retning fra $\{f_2\}$ til $\{f_3\}$. TipVect_Z er subtrahert på slutten for å finne forskjell i Z - bevegelse uten offset (TipVect_Z) med i beregningen.

- $M_p - M_p$ posisjon [m].
- TipVect_Y - Lengde i Y-retning fra senter av plattform til krantupp [m].
- TipVect_Z - Lengde i Z-retning fra senter av plattform til krantupp [m].
- $\alpha - Roll\ angle [^\circ]$.

$$M_p = TipVect_Y \cdot \sin \alpha + TipVect_Z \cdot \cos \alpha - TipVect_Z \quad (18)$$

Kodeutsnitt 6 viser implementert funksjon i PLS som beregner M_p posisjon, og definerer hvor mye vinsjen må rotere for å motvirke bevegelsene skapt av sylinderne på plattformen. M_p posisjonen er referansepunktet for AHC i systemet.

```

1 //*****
2 //Code information:
3 //Function for calculating MpPos.
4 //Takes cylinder 1,2,3 positions as input arguments and returns Mp position with given y and z
5 // offsets.
6 //Author: Sander V. Andersen and Lars Askild S. Aarvik
7 //Date: 29.04.2023
8 //*****
9
10 // Calculate heave pos and roll angle for center of plattform
11 rRollAngle           := ASIN((rCyl1Pos - ((rCyl2Pos + rCyl3Pos) / 2)) / rPlattformCC
12 ) * (180 / PI);
13 rHeavePos            := rCyl1Pos - (((SIN(rRollAngle * (PI / 180))) * rPlattformCC)
14 / 2);
15 // Calculate crane tip position relativ to plattform and return position relativ to center of
16 // wave (0.15m)
17 rMpPos                := (rTipVectY * SIN(rRollAngle * (PI / 180))) + (rTipVectZ *
18 COS(rRollAngle * (PI / 180))) - rTipVectZ + rHeavePos - rPlattformCenter;
19 fnCalculateMpPos      := rMpPos;

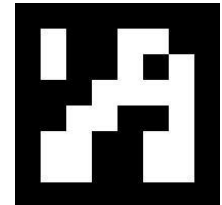
```

Listing 6: Funksjon som beregner krantupp posisjon basert på cylinderposisjoner i meter.

4.4.2 AHC ved bruk av stereokamera

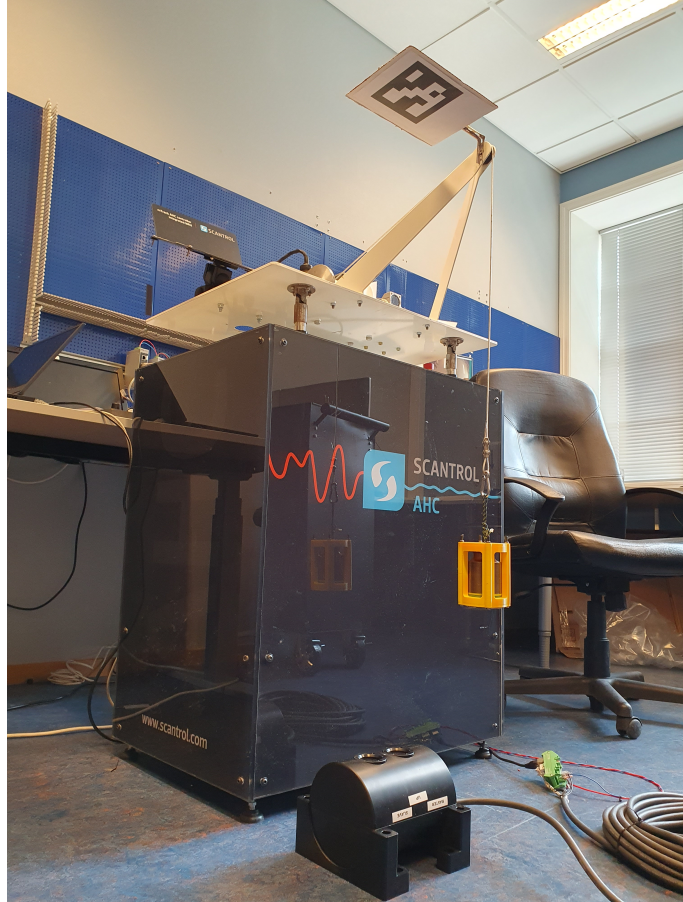
Scantrol har ett egenutviklet stereokamera som er montert i en vanntett kapsling, dette består av to separate objektivlinser og en kraftig liten linux PC som analyserer og sammenligner bildene. Objektivene tar bilde av samme objekt med to forskjellige synsvinkler, resultatet av dette skaper ett stereo bilde. Ved å sammenligne disse to bildene er det mulig å kalkulere informasjon om dybde, rotasjon og bevegelse. Scantrol ønsker å undersøke muligheten for å benytte denne metoden for AHC ved lasting mellom to skip.

4.4.2.1 Aruco-kode Scantrol sitt egenutviklede stereokamera beregner avstand og rotasjon til Aruco-koder. Figur 4.3 viser en Aruco-kode. Aruco-koder er en visuell markør som benyttes til å spore og identifisere objekter, disse kan benyttes til å hente ut informasjon om bildedybde og rotasjon på ønskede objekter[9].



Figur 4.3:
Illustrasjon av
Aruco-kode.

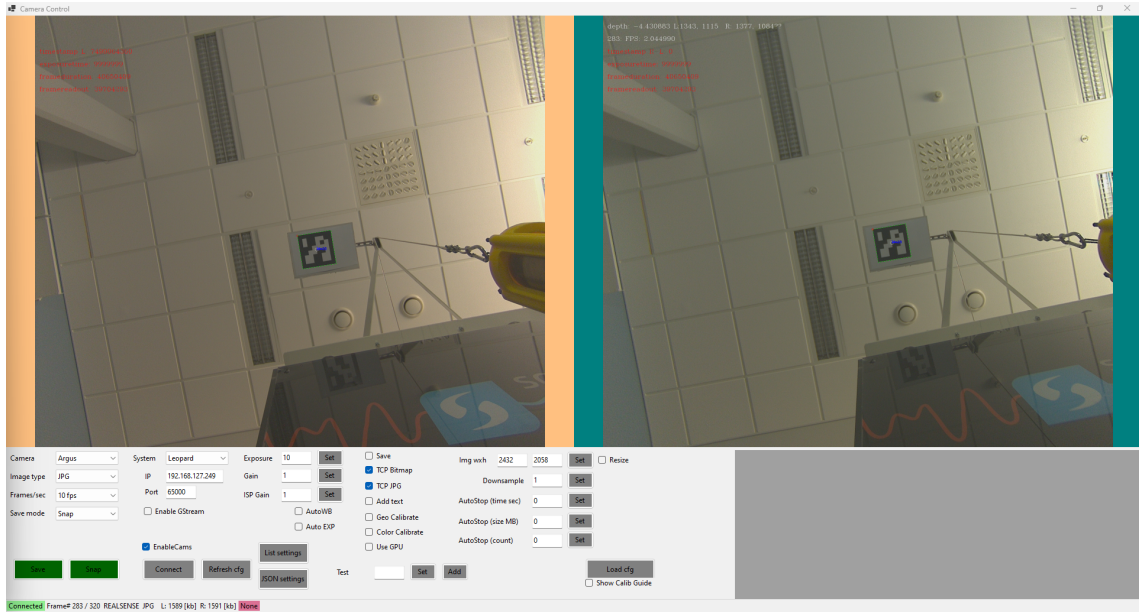
4.4.2.2 Montering For fremtidige systemer ser Scantrol for seg at stereokamera kan være montert i toppen av krantuppen og måle avstanden ned til flaten lasten skal flyttes til. Grunnet vekten av kameraet, er kameraet i dette prosjektet montert på gulvet og Aruco-kode montert i krantupp som gir oss samme dybdeinformasjon. Siden det er krantuppbevegelsen vi ønsker å motvirke i AHC, vil den målte distansen gi oss det vi trenger som referanse til AHC systemet. Figur 4.4 viser bilde av brakett med Arcuo-kode og kamera montert rett under for å måle avstand til koden.



Figur 4.4: Bilde som viser montering av stereokamera og Aruco kode.

4.4.2.3 Kalibrering For at kameraet skal gjenkjenne og bergene korrekt avstand til en Aruco-kodene må det kalibreres. Denne jobben fikk vi hjelp til av en ansatt hos Scantrol. Kalibreringen ble utført ved å ta en serie med bilder av en kalibreringsplate i forskjellige posisjoner og vinkler. Størrelsen og fargen på kalibreringsplaten var kjente faktorer for *softwaren* som ble benyttet til å kalibrere kamera. Ved å kalibrere kamera med hensyn på kalibreringsplaten, skal den etter kalibrering også kunne beregne riktig avstand og rotasjon på Aruco-koder.

4.4.2.4 Tracking Scantrol sitt utviklede stereokamera benytter en algoritme som *tracker* Aruco-koder. Hvis algoritmen oppdager en Aruco-kode i bildet, blir denne detektert og avstand og rotasjon blir beregnet. Etter beregningen er gjort blir X-, Y-, Z-koordinater til Aruco-koden i forhold til kameraet sendt som en UDP-melding til PLSen. For enkelhets skyld er det i dette prosjektet kun brukt Z-komponenten, ettersom det gir oss et godt nok estimat av avstanden fra krantuppen til gulvet. Figur 4.5 viser bilder fra begge kameraene og *tracking* av Aruco-koden montert på krantuppen.

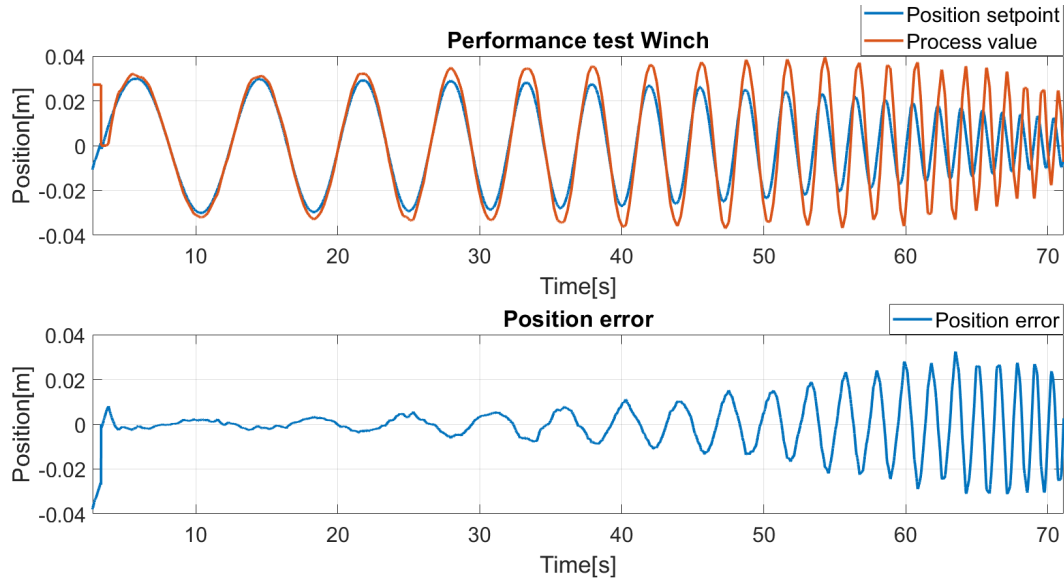


Figur 4.5: Skjermbilde av «*camera control software*», visning av begge kamerabildene med tracking av Aruco-kode montert på krantupp.

4.5 Tester av ulike metoder for AHC

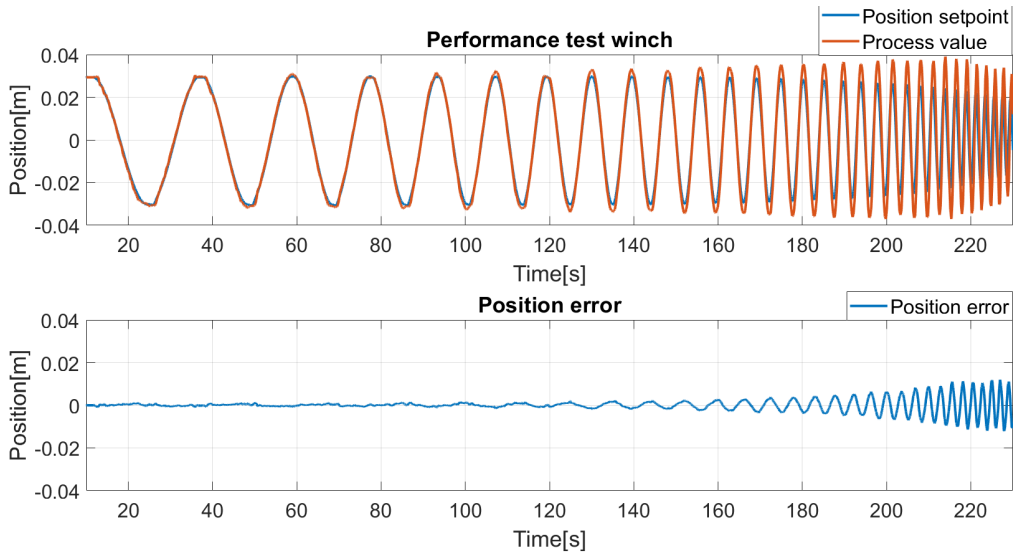
4.5.1 Tuning av AHC

Figur 4.6 viser et plot over Mp- og vinsjposisjonen ved bevegelse på plattformen med fast amplitud på $0.06[m]$ og økende frekvens ved å minke periodetiden. Vinsjposisjonen er invertert før det er plottet for å tydeliggjøre posisjonsfeilen. Ved optimal AHC er *position setpoint* og *process value* lik, som fører til at *position error* som illustrerer posisjonensendringen til lasten blir tilnærmet lik $0[m]$. I figuren vises en av de første innledende testene av beregnet AHC. Det er benyttet en forsterkning på $200[\%/m]$ og en relativt liten filtrering av det beregnede hastighetssettpunktet. Resultatet fra testen viser at lasten relativt tidlig begynner å bevege seg uønsket mye, allerede ved en periodetid på Ca. 10 sekunder begynner vinsjen å slite med å følge med posisjonssettpunktet sitt. Dette er ikke tilfredsstillende AHC-ytelse, ettersom 10 [s] periodetid på bølger er relativt vanlig.



Figur 4.6: Øverste graf i figur viser hvordan vinsjen følger posisjonssettpunkt for en sinus som har økende frekvens fra $10[s]$ til $1[s]$ periode under AHC modus. Nederste graf viser hvordan posisjonsfeilen mellom er-verdi og settpunkt øker desto høyere frekvens.

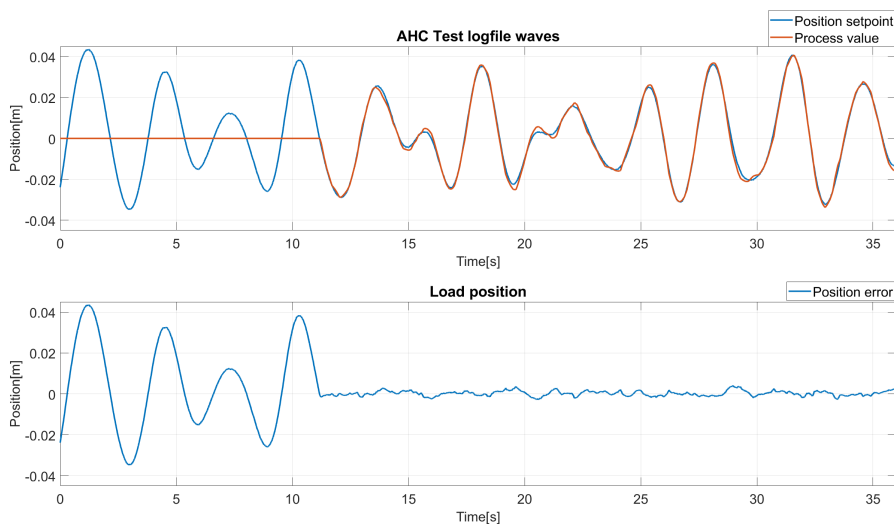
Ved å filtrere hastighetssettpunktet ytterligere, oppnår systemet en betydelig bedre AHC ytelse. Figur 4.7 viser tilsvarende test som i figur 4.6 med samme forsterkning, men med ytterligere lavpassfiltrering av hastighetssettpunktet. I dette plottet er det tydelig bedre AHC-ytelse enn i plottene i figur 4.6. I figur 4.7 begynner ikke lasten å få uønskede bevegelser før plattformen har en periodetid på Ca. 2 sekunder. Ved denne periodetiden klarer ikke cylindrene i plattformen heller å henge med posisjonssettpunktet sitt. Dette betyr at AHCCen vil være tilstrekkelig rask nok for denne applikasjonen.



Figur 4.7: Den øverste grafen i figuren viser hvordan vinsjen følger posisjon-settpunkt for en sinus som har økende frekvens fra 10[s] til 1[s] som reguleres med feedforward regulator og P-regulator med i 200 gain. Den nederste grafen viser hvordan posisjonsfeilen mellom er-verdi og settpunkt øker desto høyere frekvens.

4.5.2 Test av metode «Beregnet AHC»

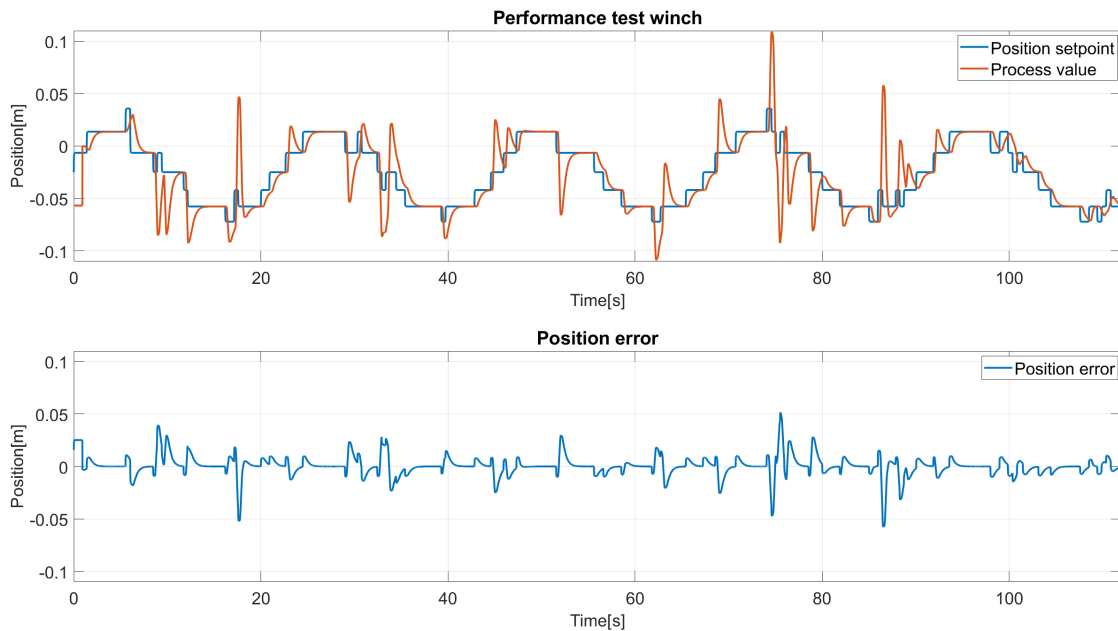
Figur 4.8 viser ytelsen av den beregnede aktiv hiv kompenseringen når plattformen kjører i loggfil modus. De første 12[s] av filen er uten aktivert AHC, som medfører at nederste graf («*Load position*») er lik krantupp-posisjonen grunnet at vinsjen står i ro. Den resterende tiden av testen er med aktivert AHC. Resultatet er da at vinsjen motvirker plattformbevegelsene og regulerer lasten slik at den er tilnærmet i ro. For en optimal AHC vil «*Load position*» være lik 0[m] i AHC-modus. I dette plottet er den tilnærmet lik 0[m] i AHC og tilfredsstiller dermed kravene fra Scantrol. Vedlegg 9 viser spilleliste som inneholder demonstrasjon av «beregnet AHC».



Figur 4.8: Plot som viser ytelsen til den beregnede AHcen når plattformen kjører etter loggfil bølger. Første 12 [s] er uten aktivert AHC og resten er med AHC aktivert. Den blå, øverste grafen er krantupp sin posisjon[m]. Den oransje, øverste grafen viser vinsj bevegelsen, denne er invertert for å tydeliggjøre posisjonsfeil. Den nederste grafen viser den beregnede posisjonen til lasten basert på de to øverste grafene.

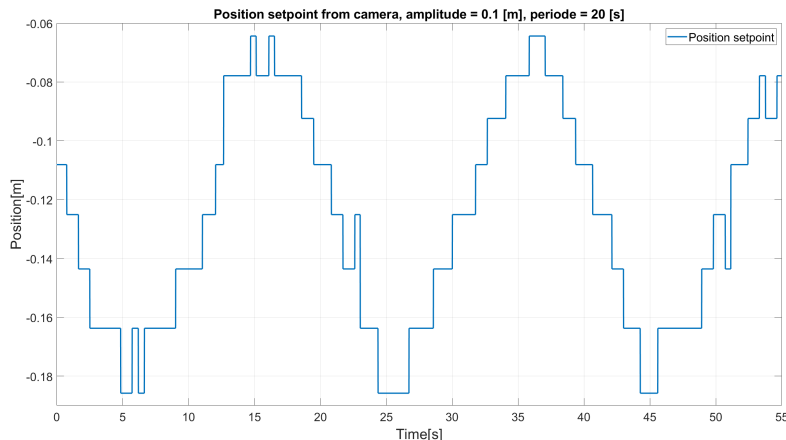
4.5.3 Tester for stereokamera

Siden AHC er tunet i 4.5.1, er det benyttet samme tuning, men ved bruk av et annet referansepunkt for AHC. Når kamera benyttes er det ikke den beregnede krantuppbevegelsen som gir utgangspunkt for AHC, men heller den målte avstanden fra kamera til krantupp. Figur 4.9 viser resultatene av AHC ved bruk av kamera med avstandsmåling til krantupp.



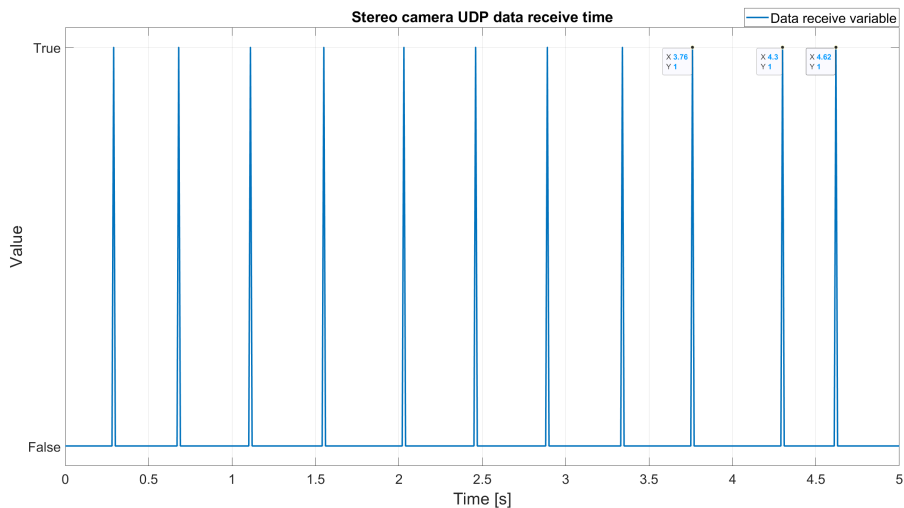
Figur 4.9: Plot som viser ytelsen til AHC ved bruk av stereokamera når plattformen kjører etter simulerte bølger. Den blå, øverste grafen er krantupp sin målte posisjon[m]. Den oransje, øverste grafen viser vinsj bevegelsen, denne er invertert for å tydeliggjøre posisjonsfeil. Den nederste grafen viser den beregnede posisjonen til lasten basert på de to øverste grafene

I figur 4.9 ser man tydelig støy på pådragsignalet som medfører en betydelig *position error* som vist i nederste plot i figuren. Sammenlignet med beregnet AHC er dette resultatet betydelig dårligere. Det ble derfor gjort flere tester og undersøkelser for å finne ut av hva som skapte disse problemene. I første undersøkelse sjekket vi posisjonssettpunktet mottatt fra stereokamera. Figur 4.10 viser at dette signalet var svært påvirket av støy.



Figur 4.10: Plot som viser mottatt posisjonssettpunkt fra stereokamera.

Basert på plottet av den beregnede posisjonen til kameraet var det mistanke om at PLSen mottok oppdatert posisjon for sjeldent over UDP. Figur 4.11 viser et plot av hvor ofte data blir mottatt på UDP fra kamera. Her er det tydelig at den sender data uregelmessig og av og til opp mot 0.5 [s] intervall mellom sendingene. Dette kombinert med støyete avstandsmålinger fra kamera, medfører at det er vanskelig å beregne posisjon og hastighet i PLSen. For å redusere støyen er det mulig å lavpassfiltrere den bergede posisjonen og hastigheten, men dette vil skape enda større tidsforsinkelser. Det er problematisk når det allerede er for store tidsforsinkelser i systemet for å kunne benytte AHC ved stereokamera.



Figur 4.11: Plot som viser hvor ofte og med hvilke tidsintervall stereokamera sender beregnede UDP-meldinger til PLSen. Resultatet viser at data sendes med forskjellig tidsintervall avhengig av analysetiden til datamaskin i stereokamera.

4.6 Evaluering av metoder for AHC

Basert på ytelsestester utført i kapittel 4.5, ble det gjennomført en evaluering for Scantrol om de to aktuelle AHC-metodene.

Beregnet AHC gir som forventet relativt gode resultater ettersom den baserer seg på kjente sylinderposisjoner, det er dermed lite variabler som kan skape støy og målefeil. Dette er derimot ikke en metode som ville fungert på et ekte fartøy, da man ikke kan vite posisjonen til båten på samme måte. På et ekte fartøy må denne bevegelsen måles med en MRU, som ikke er like nøyaktig som den beregnede posisjonen vi oppnår ved bruk av «beregnet AHC».

AHC ved bruk av stereokamera er en metode som fungerer bra i teorien, men som ikke har gitt gode resultater i dette prosjektet. Dette med bakgrunn i testene som er utført i kapittel 4.5.3. Årsaken for at det oppnås dårlig AHC-ytelse med denne metoden er på grunn av for sjeldent oppdatering og for mye støy på posisjonsdataene fra kameraet. Dersom kameraet hadde gitt ut posisjoner med høyere frekvens og bedre nøyaktighet, ser vi det mulig å benytte denne metoden for AHC.

Oppsummert kan man se at beregnet AHC er den foretrukne metoden av de metoder som er evaluert i dette prosjektet. Ettersom kamera gir usikre data med for lav frekvens, blir det for stor tidsforsinkelser og usikkerhet i systemet til at dette er en gunstig metode for AHC. Med forbedringer av kameraet kan det tenkes at dette kan være en god metode for AHC i fremtiden.

5 HMS

Som følge av at dette prosjektet består av flere bevegelige deler med store krefter, har HMS vært høyt prioritert. Det er identifisert flere farer i dette systemet, blant annet, klemfare fra plattform, klemfare i vinsj, ukontrollert vinsj eller plattform og lignende. Derfor er det viktig med gjennomtenkte sikkerhetssystemer og nødstopp. Vedlegg 9 viser spilleliste som inneholder demonstrasjonsvideo av prosedyre ved nødstopp.

5.1 Nødstopp

Vi har implementert nødstopp i systemet som er lett tilgjengelig under plattformen, se figur 5.1. Denne har som hovedmål å stoppe systemet på en sikker måte dersom en nødssituasjon skulle oppstå.

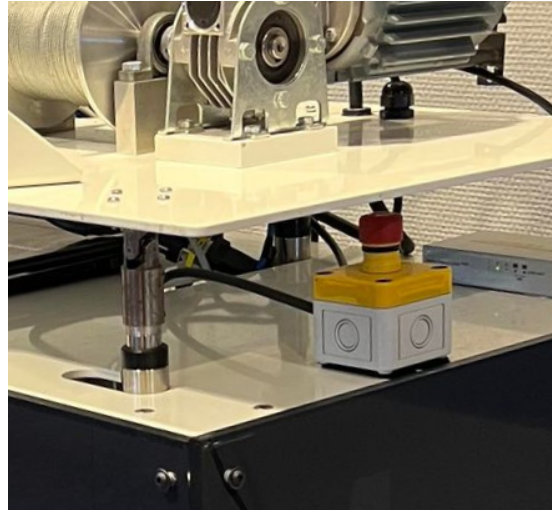
5.1.1 Bevegelsesplattform

Nødstoppbryteren er koblet på NC kontakter, som betyr at den åpner kretsen dersom den blir aktivert. Dette medfører at eventuelle feil på kabler eller bryter også vil utløse nødstopp. Nødstoppbryteren er for bevegelsesplattformen koblet direkte på et 3 polt rele som gir strøm til motordriverne for sylinderne. Dette innebærer at dersom nødstopp blir aktivert kuttes strømmen til sylinderne uavhengig av alt annet som skjer i prosessen, og sylinderne stopper. Se figur 5.2 for kobling av nødstopp i dette systemet. Kombinert med å stoppe sylinderne direkte går også nødstoppen inn på en digital inngang i PLSen. Her blir den behandlet og PLSen setter automatisk systemet i stoppmodus. Videre sender PLSen melding til HMI om at den må sette systemet i stopp og gi feilmelding. Ved å utføre disse kommandoene vil systemet være sikkert også når brukeren deaktiverer nødstoppen igjen. Da vil systemet være i stopp-modus og ingenting beveger seg.

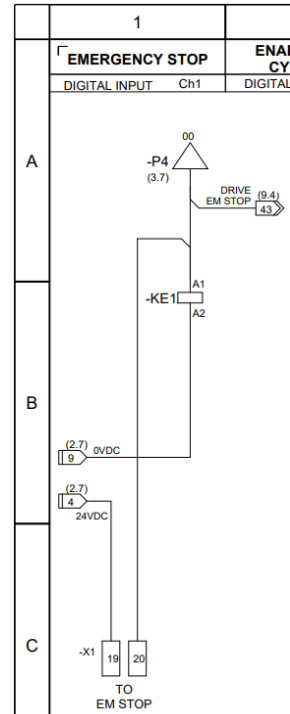
5.1.2 Vinsj

For vinsjen var tanken å gjøre noe tilsvarende som med bevegelsesplattformen. Vårt forslag til bedriften for nødstopp av vinsj, var å benytte en 3-polt kontaktor som strømmen til motoren går gjennom, for så å kutte strømmen til spolen i releet ved en nødstoppsituasjon. Ved å benytte denne metoden vil motoren stanse uavhengig av PLS/frekvensomformer og software.

For enkelhetsskyld kom bedriften med en alternativ løsning der det kun er nødvendig å koble nødstoppen til en digital inngang på frekvensomformeren. Når denne inngangen mister 24[V] (nødstopp aktivert) stopper motoren, og frekvensomformeren går inn i feilmodus. PLSen oppdager også nødstopp og sender alarm i form av lyd i operatørpanelet, samt blinkende rødt



Figur 5.1: Bilde av plassering av nødstopp.



Figur 5.2: Elektrisk tegning av nødstopp kobling.

lys på reset-knappen. For å kunne operere vinsjen igjen må reset-knappen trykkes inn, og da resettes frekvensomformer-alarmen og systemet går i standby igjen.

5.2 Andre sikkerhetsfunksjoner

Det er også implementert Torque limit, stopp ved kommunikasjonsfeil, AHC sikkerhet i tillegg til alarmer i HMI som sikkerhetsfunksjoner i systemet.

5.2.1 Torque limit

Det er blant annet lagt til en moment begrensning i frekvensomformeren. Når brukeren opererer vinsjen er det satt en momentbegrensning som skal hindre at personer eller noe henger seg fast i trommelen under drift. Denne begrensningen er satt til 30% av maks moment. På 30% av maksimalt moment er det nok moment til å operere vinsjen tilfredsstillende, men det er samtidig en mulighet for å stoppe den uten for mye kraft.

5.2.2 Kommunikasjonsfeil

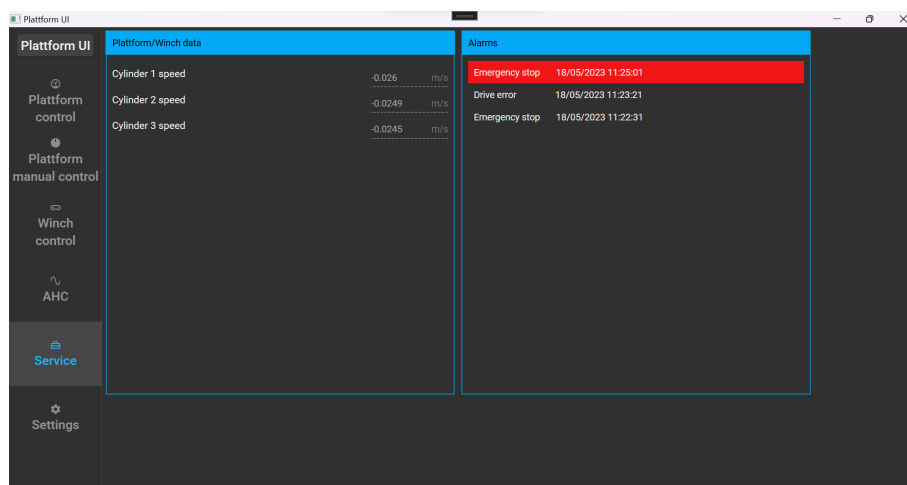
En risiko ved systemet oppstår dersom man mister kommunikasjon mellom HMI, PLS, frekvensomformer og ikke lenger har mulighet til å stoppe eller kontrollere systemet. Dette er løst ved at plattformen stopper automatisk dersom PLS mister kommunikasjon med HMI. Det er implementert en kommunikasjonsteller fra HMI til PLS som teller og sender et oppdatert tall til PLS så lenge HMI og PLS kommuniserer. Når PLS merker at denne er lik flere ganger, betyr det at den har mistet kontakt og systemet går i stopp. Det samme er gjort dersom drive eller operatørpanel mister kontakt med PLS, da går også systemet i stopp.

5.2.3 AHC

Det er implementert sikkerhetsfunksjoner i PLS som må oppfylles før AHC-modus kan bli aktivert. Hvor vinsjen sin posisjon må ligge mellom 0.3 - 0.8 [m], før det er mulig å aktivere modusen. Dette er for å unngå at vinsjen berører gulvet eller krantupp under regulering. Det er også implementert en sikkerhetsfunksjon om at bevegelsesplattformen må være «kjørende» i simulert eller loggfilmmodus før AHC kan aktiveres.

5.2.4 Alarmer i HMI

Figur 5.3 viser et skjermbilde av «service» tab i HMI der bruker kan monitordre målte cylinderhastigheter i tillegg til alarmer. Alarmhistorikk vises nedover i listeformat med tidspunkt for hver alarm. Aktive alarmer fremheves med rød bakgrunn, og inaktive alarmer med transparent bakgrunn.



Figur 5.3: Skjermbilde av service tab i HMI.

6 Prosjektutførelse

Prosjektet har bestått av programmering, prosjektering, kobling og testing av ulike løsninger. Det har vært en bratt læringskurve med utfordrende problemstillinger. Den største utfordringen var å utvikle styresystem og optimalisering av reguleringssløyfene. Dette baserte seg på tilegning av mye ny kunnskap innenfor både programmering i «Phoenix PLC next» og reguleringsteknikk teori.

Gjennom prosjektet har vi stort sett fulgt tidsplanen, med unntak av mot slutten, hvor vi hadde satt av for lite tid til del 3 av oppgaven i tillegg til skriving av rapporten. Dette var mer tidkrevende enn forventet, men vi sitter igjen med ett inntrykk over å ha levert ett godt system til Scantrol. Vi har skrevet daglig logg i felles GitHub dokument hvor arbeidet er dokumentert med både tekst og bilder, som er lagt ved i vedlegg 10.5. Det er også ført timelister og møtereferat i felles Microsoft excel-dokument, som er dokumentert i vedlegg 10.3.

Utviklingen av systemet er utført på kontorlokalene til Scantrol i Sandviken, hvor vi har hatt tilgang på nødvendig utstyr og kompetanse ved behov. Muligheten for å ha kunnet arbeide med systemet i praksis har vært svært lærerikt, og har gjort at vi har kunnet testet løsninger og avklart problemstillinger effektivt underveis.

Overgangen fra arbeidet på kontoret med testsylinder og testoppkobling til den fysiske plattformen gikk overraskende effektivt, grunnet resultatet, av grundige og gode forberedelser og kalibreringer gjennomført på testoppsett i forkant. Under arbeidet med testoppsettet ble det lagt til rette for styring av tre cylindre i *software*, som gjorde at vi kunne simulere hele bevegelsessystemet før overgangen til plattformen.

Mot slutten av oppgaven ble det etter møte med veileder Endre Håland og interne veiledere hos Scantrol avklart at vi ikke skulle evaluere metode for AHC med bruk av radarsensor eller teste Scantrol sin egenutviklede mTrack AHC kontroller. Vi ble derimot enig om å teste metode for «Beregnet AHC» og forsøke å benytte «AHC med bruk av stereokamera». Dette ble avgjort grunnet omfanget på oppgaven, og gjorde at vi heller kunne fokusere mer på de to overnevnte metodene. Det var lærerikt å utvikle kontrollsysten for AHC samt benytte stereokamera.

7 Konklusjon

Plattform- og vinsjsystemet som er utviklet i dette prosjektet klarer å simulere bølgebevegelse i tillegg til å benytte AHC for å motvirke bølgebevegelser. Systemet har noen begrensninger med bakgrunn i dimensjonene på sylinderne i tillegg til hastighetsbegrensninger på sylinder og vinsj. Plattformen har mulighet for å bevege seg etter simulerte bølger eller ekte bølger fra loggfil, den kan også kjøre manuelt til en gitt posisjon og vinkel. Vinsjen har mulighet for å opereres i manuell modus med *joystick* eller i AHC hvor den motvirker bølgebevegelsene til plattformen. Det er også utviklet et brukergrensesnitt for monitorering og styring av plattformen samt et PLS program for styring og regulering av kontrollsystemet.

Det er evaluert to ulike metoder for AHC på systemet, «beregnet AHC» og «AHC ved hjelp av stereokamera». Beregnet AHC ga gode resultater, men vil ikke fungere på et ekte fartøy da den baserer seg på å beregne bevegelsen basert på posisjonene til sylinderne i plattformen. AHC ved hjelp av stereokamera ga ikke like gode resultater, grunnet trege og støyete signaldata fra stereokameraet. Vi har gitt tilbakemelding til Scantrol om at dette er en mulig fungerende metode for AHC, dersom stereokameraet blir videreutviklet for å gi raskere og mer troverdige avstander.

7.1 Forslag til forbedringer

7.1.1 Forbedre stereokamera

Vi ser det fullt mulig å benytte stereokamera til AHC, men dette vil kreve at kameraet er utviklet og kalibrert for raskere analyse og dybdeberegning enn hva Scantrol sitt egenutviklede stereokamera gjør i dag. Systemet og PLS-programmet er utviklet slik at andre enkelt skal kunne videreutvikle og teste ulike metoder for AHC.

7.1.2 Forbedre sikkerhet

Sikkerheten kan forbedres med hensyn til vinsjen og nødstopp. Dette er diskutert i kapittel 5.1.2. Det er avtalt med firma at implementert nødstoppløsning på vinsj er tilstrekkelig.

7.2 Videreutvikling

7.2.1 Benytte radarsensor for AHC

På bakgrunn av oppgavens omfang, ble det ikke tid til å evaluere eller teste AHC ved bruk av radarsensor, systemet ligger til rette for at dette kan implementeres ved en senere anledning. Radarsensoren Scantrol ønsket å benytte sender ut 4-20 [mA] basert på avstanden til objektet foran sensoren. Ettersom det ikke er plass til en analog inngangsmodul på PLSSen, måtte det blitt brukt en ekstern I/O modul med sensoren koblet til. Tanken var å montere denne sensoren på en metallvinkel ut fra krantuppen slik at sensoren kan måle avstanden ned til gulvet. I og med at denne sensoren er analog vil det i teorien kunne være lettere å lese avstand oftere og unngå for mye tidsforsinkelse i systemet.

Vi ser for oss at AHC med bruk av radarsensor kan fungere tilfredsstillende på plattformen så lenge sensoren gir ut troverdige signaler uten for mye støy. Dette er også noe som må testes nøyere på et ekte fartøy, der det vil være større avstander og andre faktorer som kan påvirke måleresultatet, som for eksempel vær og vibrasjoner.

8 Referanser

Referanser

- [1] Scantrol AS. *Active heave compensation*(2022). [Internett] Available: <https://www.scantrol.com/ahc-rov-operations>. Funnet: 27.04.2023.
- [2] Scantrol AS. *Hjemmeside*(2023). [Internett] Available: <https://www.scantrol.com/>. Funnet: 02.05.2023.
- [3] Bibliotek. *FieldTalk.Modbus.Master*. [Internett] Available: https://www.modbusdriver.com/shop/product_info.php?products_id=66. Funnet: 08.02.2023.
- [4] Bibliotek. *Materialdesign Themes WPF*(2023). [Internett] Available: <http://materialdesigninxaml.net/>. Funnet: 27.01.2023.
- [5] Bibliotek. *Scottplot WPF*(2023). [Internett] Available: <https://scottplot.net/>. Funnet: 16.02.2023.
- [6] P. Corke. *Robotics, Vision and Control* (2.utgave). Springer Tracts in Advanced Robotics, sidetall(22,23,24,25). 2017.
- [7] J. Balchen T. Andresen B. Foss. *Reguleringsteknikk* (6.utgave). ©INSTITUTT FOR TEKNISK KYBERNETIKK, NTNU, TRONDHEIM, sidetall(15,16,17,348,349). 2016.
- [8] N.Nise. *Control system engineering* (8.utgave). Wiley, sidetall(93,94,95). 2019.
- [9] OpenCV. *Detection of ArUco Markers*(2023)). [Internett] Available: https://docs.opencv.org/4.x/d5/dae/tutorial_aruco_detection.html. Funnet: 20.05.2023.

9 Appendiks A - Youtube spilleliste

[Manuell modus demo video \(YouTube\)](#)

[Simulert bølgemodus demo video \(YouTube\)](#)

[Loggfil bølgemodus demo video \(YouTube\)](#)

[AHC på vinsj i simulert bølgemodus demo video \(YouTube\)](#)

[Nødstopp prosedyre demo video \(YouTube\)](#)

[Manuell kjøring av vinsj med operatørpanel demo video \(YouTube\)](#)

10 Appendiks B - Prosjektledelse og styring

10.1 Github link

[BO23EB-37-Bachelor orginazation \(Github\)](#)

10.2 Fremdriftsplan

#	Aktivitet	Arbeid [timer]	Start Dato	Slutt Dato	Framdrift	Ansvarlig	År																						
							2023								Påsk								%	%					
							w6	w7	w8	w9	w10	w11	w12	w13	w14	w15	w16	w17	w18	w19	w20	w21	w22	w23	w24				
	Møter med veileder(e)	14	6/2	15/5	0%	Sander, Lars, veileder	6/2	13/2	20/2	27/2	6/3	13/3	20/3	27/3	3/4	10/4	17/4	24/4	1/5	8/5	15/5	22/5	29/5	5/6	12/6				
	Forsprosjekt innlevering	0	6/2	6/2	0%	Sander, Lars	X																						
1	Styresystem for plattform	340	6/2	17/3	0%	Sander, Lars	V	V	V	V	V	V																	
	Velge drivere for sylindermotorer	8	6/2	6/2	0%	Lars	V																						
	Lese Cylinderpos. Fra enkoderer og beregne hastighet og pos.	57	6/2	17/2	0%	Sander	V	V																					
	Sette sammen og koble opp hardware	42	13/2	22/2	0%	Lars	V	V																					
	Lage sv. for styring av plattformen ved Sinus eller loggefil.	105	23/2	17/3	0%	Lars	V	V	V	V																			
	Lage sv. for styring/monitorering fra pc, som skal kommunisere med PLC.	128	20/2	17/3	0%	Sander	V	V	V	V																			
2	Styring av elektrisk drift montert på plattform	160	20/2	21/4	0%	Sander, Lars	V	V																					
	Koble opp frekvensomformer og enkoder til PLC.	20	20/2	24/3	0%	Sander	V																						
	Kommunisere med frekvensomformer over UDP.	30	27/2	12/4	0%	Sander	V	V																					
	Shre hastighet og dreiemoment på vinsj	40	20/3	31/3	0%	Lars	V	V																					
	Måle posisjon på vinsj basert på enkoder feedback	40	10/4	21/4	0%	Lars	V	V																					
	Koble til operatørpanel for å styre vinsj	30	13/4	21/4	0%	Sander	V	V																					
	Midtveis presentasjon forberedelser	32	20/3	24/3	0%	Sander, Lars	V																						
	Midtveis presentasjon	2	31/3	31/3	0%	Sander, Lars	X																						
3	Teste ulike metoder for AHC av vinsjen	160	24/4	19/5	0%	Sander, Lars										V	V	V	V										
	Benytte og utvikle metode for beregnet AHC	40	24/4	28/4	0%	Sander, Lars										V													
	Benytte stereokamera for å måle avstand fra gulv til aruco	60	1/5	10/5	0%	Sander, Lars										V	V												
	Benytte stereokamera for å måle avstand fra gulv til aruco	60	11/5	19/5	0%	Sander, Lars										V	V												
	Skrive refleksjonsnotat	20	24/4	26/4	0%	Sander, Lars										V													
	Refleksjonsnotat	0	5/5	5/5	0%	Sander, Lars																							
	Skriv bacheloroppgave	200	10/4	22/5	0%	Sander, Lars	V	V								V	V	V	V	V	V								
	Bachelor oppgave innlevering	0	22/5	22/5	0%	Sander, Lars																							
	Bachelor oppgave muntlig forberedelse	40	22/5	2/6	0%	Sander, Lars																							
	Bachelor oppgave muntlig presentasjon	2	5/6	16/6	0%	Sander, Lars																							
	EXP23	16	14/6	14/6	0%	Sander, Lars																							
	Avtakningsfest	0	15/6	15/6	0%	Institutt																							
Totalt antatte timer (hele gruppen):		986																											
Totalt antatte timer per student:		493																											

Figur 10.1: Fremdriftsplan over bachelorprosjektet.

10.3 Timelister

Navn: Sander Vatne Andersen		
Dato:	Timer:	Aktivitet:
28.12.2022	8	Begynt på C# program for styring av plattform
29.12.2022	8	Testet bibliotek for live charts og design av brukergrensesnitt
30.12.2022	8	Testet bibliotek for modbus kommunikasjon mot PLC
09.01.2023	8	Koblet opp PLS/Moduler, kommunikasjon mellom PLS og maskin OK
10.01.2023	4.5	Programmert C#, og koblet/testet encoder mot PLCnext
12.01.2023	7.5	Laget fb for encoder input i PLC og testet modbus kommunikasjon med C# program. Koblet opp cylinder mot PLC.
13.01.2023	7	Lagt til funksjoner i Plattform UI og testet PLC program med PID posisjonsregulering.
16.01.2023	7.5	Implementert sinus generator i plc, testet denne. Mottatt amplitude og periodetid over UI. Koblet opp driver til cylinder og testkjørt
17.01.2023	5.5	Koblet enkoder fra cylinder til PLC og fått inn pulser/konvertering til meter. Testet kjøring av cylinder med +10v fra PLC.
19.01.2023	10	Koblet enable rele og bryter for styring av cylinder. Testet kjøring av cylinder fra PLC, og laget fb for resetting av cylinder til hjem posisjon.
20.01.2023	6	Fått reset cylinder posisjon blokk til å fungere bra. Kjørt step respons og Sinus av cylinder med P - regulator. Logget resultat.
22.01.2023	1	Laget funksjonsblokk for speedtest av cylinder.
23.01.2023	7.5	Laget speedtest funksjonsblokk og kalibrert testsylinder. Laget control funksjonsblokk. Testet og tunet regulering med feed forward og PD-regulator.
24.01.2023	6	Laget funksjonsblokk for sinus bølge simulering med pos setpoint og speed setpoint for alle 3 cylindre. Tunet test cylinder på kontoret og logget alle resultat. Lagt til modbus kode og kjørt cylinder fra Plattform UI.
26.01.2023	7	Møte med alle veiledere. Satt opp kommunikasjon mellom UI og PLC og testet Start/Stop/reset funksjoner fra UI. Testet å kjøre med forskjellige bølger.
30.01.2023	7	Tatt ny speedtest av cylinder, lagret .csv file for tester av steprespons og diverse tuning parametre. Laget C# program og matlab kode for å konvertere og plotte .csv filene.
31.01.2023	6	Laget budsjett, tidsplan og blokkdiagram. Satt oss inn i Latex og begynt på forprosjekt dokument.
01.02.2023	1	Programert i PLCnext. Prøvd å legge til ny funksjonalitet i fbOperation.
02.02.2023	8.5	Ferdigstilt og levert forprosjekt. Laget appendix for sinus test av cylinder for forskjellige tuning parametre og med 5kg last. Speedkalibrert cylinder på nytt med 5kg last og kjørt flere tester. Lagret alt som .csv og lagt i matlab for dokumentasjon.
03.02.2023	8	Faseforskyvet speed sp og tunet cylinder så bra som mulig med last. Laget appendix av alle resultat og logget alt i .csv og plottet i matlab.
06.02.2023	8	Laget appendix for tuning av cylinder. Step respons og ziegler nichols. Testet mange forskjellige parametre og dokumenter. Laget nye funksjoner og funksjonsblokker i PLC for bruk til alle 3 cylindre. Også endre på hvordan data blir sendt og laget protokoll dok.
07.02.2023	6	Testet ny operation fb som tar hensyn til alle 3 cylindre. Fikset å motta data fra PLC til UI og vise det på skjerm. Lagt til kode for manuel kjøring i UI.
09.02.2023	7	Beregnet Cylinder posisjon fra Hevae/roll pos. Lagt til kode for manual mode i PLC.

10.02.2023	7.5	Laget auto stop funksjon i manual og reset modus. Ferdigstilt manuelt og reset modus for 3 sylinder. Lagt til en del funksjonalitet for loggefiler i UI og innhenting av informasjon fra loggefiler.
13.02.2023	9	Lagt inn funksjon i Plattform UI, for lesing av loggefeil. Henting av data, og sending av data til PLC. Testsending av data over til PLS via MODBUS gikk OK. Laget progressindicators på submit og start fra loggefil siden dette er tidkrevnde.
14.02.2023	4	Laget testprogram i PLC-next som tar imot bølgefildata fra UI via MODBUS. Plottet nedscalerte bølger som vist i bilde under.
16.02.2023	7.5	Testet å kjøre sylinder med MRU loggefiler. Logget resultater og begynt å tune. Lagt til rette for 3 sylinder i program for kjøring av loggefil data.
17.02.2023	8	Fikset bugs og små endringer i plattform UI. Sett på mulighet for å velge range av en loggefil og plotte det på grafen før det sendes.
20.02.2023	8	Ordnet reset, home & manual speed kontroll og reached position check i fbOperation. Lagt til 3x av PID og Analog convertert i PLC program, slik at dette er klart for overgang til plattform. Laget klar exeldokument som skal benyttes for SpeedTest kalibrering av alle sylinder på plattform. Bestilt nødvendige komp. Lagt til auto disconnect og andre funksjoner i plattform UI.
21.02.2023	7.5	Koblet opp testsystem for 3 sylinder. Koblet systemet midlertidig over på plattformen. Testet kjøring av plattform i forskjellige moduser
23.02.2023	8	Fikset manual og reset mode for plattformen, og testet mye av disse funksjonene. Fjernet alt av den gamle hardwaren til det gamle systemet. Begynt å koble opp nytt system.
27.02.2023	8	Koblet opp nytt system.
28.02.2023	8	Koblet nytt system til plattformen og festet alle legninger og fikset det mekaniske. Laget skisse av elektriske tegninger for hånd.
01.03.2023	8	Speedkalibrert alle cylinderne nå som de er fastmontert på plattform. Logget resultater og testet kjøring i forskjellige moduser med ny speedkalibrering. Sylinder 1 "henger" litt etter ved kjøring i manual mode. Grunnet mer lastpreg.
06.03.2023	8	Møte med veileder. Rekalibrert cylinder1. Lagt til nødstopp funksjoner og testet og tunet alle funksjoner bedre.
09.03.2023	8	Ferdigstilt nødstopp funksjon i UI og PLC. Rekalibrert alle sylinder med ny sykletid. Testet og logget bølgefiler for tuning.
10.03.2023	8	Møte med veildere i Scantrol. Implementert ny kalibrering på alle sylinder. Jobbet med kjøring av loggefil og filtrering av signaler.
13.03.2023	11	Lagt til flere funksjoner i plattform UI. Service tab, Valg mellom Roll/pitch, Skalering av bølger etter ønsker. Sett på scottplot og mulighet for å implementere denne istedenfor livecharts.
15.03.2023	8	Implementert scottplot istedenfor livecharts. Lagt til og testet plotting i Loggefil og live data fra plattform.

		Fikset bugs i UI, Lagt til kode for drive og operatørpanel i plc. Interpolert pos og speed punkter i loggefil data for å få plattformen til å kjøre finere.
16.03.2023	9	Gjort endringer i UI for lesing av loggefil og skalering av loggefil data.
17.03.2023	8	Fikset interpolasjon av loggefil data, testet og verifisert mye bedre kjøring av plattform. Fikset skalering av grafer i UI. Funnet feil angående beregning av cylinder posisjon ut fra roll/heave.
18.03.2023	1	Prøvd å fikse problemer med loggefil skalering i UI.
19.03.2023	1.5	Prøvd å fikse problemer med loggefil skalering i UI.
20.03.2023	8	Laget powerpoint til midtveis presentasjon.
21.03.2023	8	Møte med veileder, gjennomgått midtveispresentasjon. Lagt inn skalering for cylinder posisjon og roll/pitch i logfile UI.
		Klargjort til midtveispresentasjon.
23.03.2023	6	Pakket plattform i bil, og ferdigstilt presentasjon.
24.03.2023	4	Hatt midtveispresentasjon og gjort andre små ting til prosjektet.
27.03.2023	8	Laget rammeverk for Bachelor rapport i Latex. Hatt digitalt møte med veileder for gjennomgang og innspill for rammerverket og rapportens struktur.
28.03.2023	3.5	Endret IP adresse for PLS og Vacon Drive. Testet kommunikasjon over modbus med Drive.
30.03.2023	8	Kommunikasjon mot VaconDrive via modbus, dette fungerer. Men klarer ikke å styre hastigheten riktig. Encoder verdi er oppet når mottar RPM og retning.
31.03.2023	4	Jobbet med styring av Vacon drive. Styrt vinsj med ulike speed hastigheter når.
03.04.2023	1	Endret til open loop control foreløpig på drive.
05.04.2023	1	Lest meg opp på closed loop vacon motor control.
11.04.2023	8	Fått closed loop vacon motor control til å fungere. Koblet nødstopp til drive, lagt opp DIN skinne med 24V. Ferdigstilt struct for To og From VaconDrive i PLC. Kommunikasjon over TCP er OK. Koblet operatørpanel og laget funksjonsblokk i PLC.
13.04.2023	6	Laget logikk for operatørpanel og winch. Testet forskjellige funksjoner.
14.04.2023	9	Lagt til hastighetsberegnning, og posisjon for winch. Lagt til resetting og monitorering i UI. Lagt til graf med plotting av winch position i UI. Lagt til andre ui elementer.
17.04.2023	8.5	Jobbet med bachelor rapport.
18.04.2023	2	Møte med veilder, og laget plots til rapport.
20.04.2023	7.5	Jobbet med bachelor rapport.
21.04.2023	5	Jobbet med bachelor rapport.
24.04.2023	7.5	Jobbet med figurer og plots til bachelor rapport. Møte digitalt med veileder.
25.04.2023	7	Jobbet med bachelor rapport.
27.04.2023	10.5	Jobbet med bachelor rapport. Laget funksjonsblokk for automatisk speed kalibrering av vinsj i PLS. Laget funksjon for feedforward for vinsj i PLS.
28.04.2023	8.5	Jobbet bachelor halve dagen, hastighetskalibrert vinsj og implementerte feedforward Jobbet med beregning av crane tip pos
29.04.2023	3	Jobbet med bachelor rapport Laget funksjon i PLS for beregning av Mp position Endret til rett metode for utregning av Heave, Roll

		Jobbet med bachelor rapport
30.04.2023	4.5	Laget funksjonsblokk I PLS for utregning av MpSpd
		Laget AHC operation mode I PLS med betingelser for å entre modus
01.05.2023	4	Jobbet med bachelor rapport
02.05.2023	7	Jobbet med bachelor rapport + appendix
		Jobbet med bachelorr rapport + appendix
		Hatt møte med veilder Endre
03.05.2023	8	Testet å benytte/kjøre beregnet AHC på vinsj. Testet med P-regulator og feedforward
04.05.2023	2	Fått beregnet AHC med feedforward og p-reg til å fungere.
		Jobbet med bachelor.
05.05.2023	8	Hatt besøk av veileder, testkjørt plattform og vinsj med AHC til sine begrensninger logget i CSV filer.
		Jobbet med bachelor rapport.
07.05.2023	5.5	Fikset bugs i UI. Lagt til grafer I AHC tab og utregning av Mp pos I UI.
		Kjørt begrensningstester for plattform og vinsj og logget til CSV filer for innhold i rapport. Startet å kalibrere vinsj.
08.05.2023	8	Limt inn grafer/plots i rapport.
		Jobbet med bachelor rapport Laget bilder og videoer til rapport Tunet vinsj
09.05.2023	10	Lagt til utregning og plotting av loadpos I UI. Lagt til sending av AHCCenterPos og OpMode winch fra plc
		Koblet kamera til system. Kalibrert og justert fokus på kamera jobbet med bachelor rapport
11.05.2023	8	Lagt til kode for å ta I mot data fra kamera I PLS
		Fått UDP data fra kamera inn I PLS og tolket x,y,z kordinater til Aruco Kjørt AHC og plottet data med kamera som referanse punkt
12.05.2023	8	Jobbet med bachelor rapport
14.05.2023	2	Jobbet med bachelor rapport
15.05.2023	8	Jobbet med bachelor rapport
16.05.2023	8	Jobbet med bachelor rapport + digitalt møte med veileder
18.05.2023	7.5	Jobbet med bachelor rapport
19.05.2023	5.5	Jobbet med bachelor rapport + siste digitale møte med veileder
20.05.2023	9	Jobbet med bachelor rapport, korrekturlest og finpusset, kommentert kode
21.05.2023	10	Ferdigstilt og finpusset bachelor rapport

Navn: Lars Askild Skavhellen Aarvik		
Dato:	Timer:	Aktivitet:
09/01/2023	8.00	Koblet opp PLS/Moduler, kommunikasjon mellom PLS og maskin OK
10/01/2023	4.5	Testet enkoder mot PLCnext, påbegynt PLC program for testing med PID
		Laget fb for encoder input I PLC og testet modbus kommunikasjon med C#
12/01/2023	7.5	Koblet cylinder mot PLS
		Laget og testet PLC program med PID regulering og testing av posisjon.
13/01/2023	7	Laget fb til operasjonsModus for PID regulator. Analog output fb lastet ned.

16/01/2023	7.5	Implimentert sinus generator i plc, testet denne. Mottatt amplitude og periodetid over UI. Koblet opp driver til sylinder og testkjørt
17/01/2023	5.5	Koblet enkoder fra sylinder til PLC og fått inn pulser/konvertering til meter. Testet kjøring av sylinder med +-10v fra PLC.
19/01/2023	8	Koblet opp enable relay og switch-bryter. Testet kjøring av sylinderen fra PLC og laget fb for reset/home pos av sylinder.
20/01/2023	5.5	Fått reset sylinder possisjon blokk til å fungere bra. Kjørt step respons og Sinus av sylinder med P - regulator. Logget resultat.
23/01/2023	7.5	Laget control fb for styring av sylinder med feed forward kombinert med PD-reg. Kjørt speedtest og kalibrert sylinder med bruk av speedtest-fb. Testet og tunet regulering med og uten PD-regulator.
24/01/2023	6	Laget funksjonsblokk for sinus bølge simulering med pos setpoint og speed setpoint for alle 3 cylindre. Tunet test sylinder på kontoret og logget alle resultat. Lagt til modbus kode og kjørt sylinder fra Plattform UI.
26/01/2023	7	Møte med veileder fra 13-14 Lagt til kode for kommunikasjon mellom UI og PLC, testet start/stopp/reset fra UI. Laget struct klasser i PLC for DataToUI og DataFromUI
30/01/2023	7	Laget CSV filer for step respons med P-reg og FeedForward uten P-reg. Laget program i C# for konvertering av data i CSV filene. Kjørt ny speedkalibreringstest av sylinder da denne hadde begynt å driftre.
31/01/2023	6	Jobbet med forprosjekt, satt oss inn i Latex. Laget tidsplan, budsjett og blokkdiagram.
02.02.2023	8.5	Ferdigsstillt og levert forprosjekt. Laget appendix for sinus test av sylinder for forskjellige tuning parametre og med 5kg last. Speedkalibrert sylinder på nytt med 5kg last og kjørt flere tester. Lagret alt som .csv og lagt i matlab for dokumentasjon.
03.02.2023	8	Faseforskyvet speed sp og tunet sylinder så bra som mulig med last. Laget appendix av alle resultat og logget alt i .csv og plottet i matlab.
06/02/2023	8	Laget appendix tuning av cylinder, step respons, zieglerNichols. Testet og tunet sylinder. Gjort om fbFeedForward til en funksjon istedenfor. Startet på ny Operajonsfb. Laget protokoll dokument for datatype og kommunikasjon mellom PLC og UI.
07/02/2023	4	Testet ny operation fb som tar hensyn til alle 3 cylindre. Fikset å motta data fra PLC til UI og vise det på skjerm.
09/02/2023	7	Beregnet Cylinder possisjon fra Hevae/roll pos. Lagt til kode for manual mode i PLC.
10.02.2023	7.5	Laget auto stop funksjon i manual og reset modus. Ferdigstilt manuelt og reset modus for 3 cylindre. Lagt til en del funksjonalitet for loggefiler i UI og innhenting av informasjon fra loggefiler.
13/02/2023	7	Lagt inn funksjon i Plattform UI, for lesing av loggefeil. Henting av data, og sending av data til PLC. Testsending av data over til PLS via MODBUS gikk OK.
14.02.2023	4	Laget testprogram i PLC-next som tar imot bølgefildata fra UI via MODBUS. Plottet nedscalerte bølger som vist i bilde under.

16/02/2023	7.5	Testet å kjøre cylinder med MRU loggefiler. Logget resultater og begynt å tune. Laget til rette for 3 cylinder i program for kjøring av loggefil data.
17/02/2023	0	Syk - egenmelding
20/02/2023	6	Ordnet reset, home & manual speed kontroll og reached position check i fbOperation. Lagt til 3x av PID og Analog convertert i PLC program, slik at dette er klart for overgang til plattform. Laget klar ekseldokument som skal benyttes for SpeedTest kalibrering av alle cylinder på plattform. Bestilt nødvendige komp.
21/02/2023	7.5	Koblet opp testsystem for 3 cylinder. Koblet systemet midlertidig over på plattformen. Testet kjøring av plattform i forskjellige moduser
23/02/2023	8	Fikset manual og reset mode for plattformen, og testet mye av disse funksjonene. Fjernet alt av den gamle hardwaren til det gamle systemet. Begynt å koble opp nytt system.
27/02/2023	8	Koblet opp nytt system.
28/02/2023	8	Koblet nytt system til plattformen og festet alle legninger og fikset det mekaniske. Laget skisse av elektriske tegninger for hånd.
01/03/2023	8	Speedkalibrert alle cylinderne nå som de er fastmontert på plattform. Logget resultater og testet kjøring i forskjellige moduser med ny speedkalibrering. Cylinder 1 "henger" litt etter ved kjøring i manual mode. Grunnet mer lastpreg.
06/03/2023	8	Møte med veileder. Rekalibrert cylinder 1. Lagt til nødstopp funksjoner og testet og tunet alle funksjoner bedre.
09/03/2023	8	Ferdigstilt nødstopp funksjon i UI og PLC. Rekalibrert alle cylinder med ny sykletid. Testet og logget bølgefiler for tuning.
10/03/2023	8.00	Møte med veildere i Scantrol. Implementert ny kalibrering på alle cylinder. Jobbet med kjøring av loggefil og fitrering av signaler.
13/03/2023	8	Lagt til flere funksjoner i plattform UI. Service tab, Valg mellom Roll/pitch, Skalering av bølger etter ønsker.
15/03/2023	8	Implementert scottplot istedenfor livecharts. Lagt til og testet plotting i Loggefil og live data fra plattform.
16/03/2023	8	Fikset bugs i UI, Lagt til kode for drive og operatørpanel i plc. Interpolert pos og speed punkter i loggefil data for å få plattformen til å kjøre finere.
17/02/2023	8	Fikset interpolasjon av loggefil data, testet og verifisert mye bedre kjøring av plattform. Fikset skalering av grafer i UI. Funnet feil angående beregning av cylinder posisjon ut fra roll/heave.
20.03.2023	8	Laget powerpoint til midtveis presentasjon.
21.03.2023	8	Møte med veileder, gjennomgått midtveispresentasjon. Lagt inn skalering for cylinder posisjon og roll/pitch i logfile UI.
23.03.2023	6	Klargjort til midtveispresentasjon. Pakket plattform i bil, og ferdigstilt presentasjon.
24.03.2023	4	Hatt midtveispresentasjon og gjort andre små ting til prosjektet.
27.03.2023	8	Laget rammeverk for Bachelor rapport i Latex. Hatt digitalt møte med veileder for gjennomgang og innspill for rammerverket og rapportens struktur.
28.03.2023	3.5	Endret IP adresse for PLS og Vacon Drive. Testet kommunikasjon over modbus med Drive.

30.03.2023	8	Kommunikasjon mot VaconDrive via modbus, dette fungerer. Men klarer ikke å styre hastigheten riktig. Encoder verdi er oppet når nå, mottar RPM og retning.
31.03.2023	4	Jobbet med styring av Vacon drive. Styrt vinsj med ulike speed hastigheter nå. Endret til open loop control foreløpig på drive.
06.04.2023	1	Skrevet på bachelor rapport
07.04.2023	1	Skrevet på bachelor rapport
		Koblet nødstopp til drive, lagt opp DIN skinne med 24V. Ferdigstilt struct for To og From VaconDrive i PLC. Kommunikasjon over TCP er OK. Koblet operatørpanel og laget funksjonsblokk i PLC.
11.04.2023	8	Styrt vinsj med operatørpanel joystick og potmeter i begge retninger
12.04.2023	2	Jobbet med rapportstruktur, innsatt bilder og overskrifter
		Laget logikk for operatørpanel og winch. Testet forskjellige funksjoner. Startet på skriving av definisjonen bak elektrisk motor og frekvensomrformer
		Lagt til hastighetsberegning, og posisjon for winch. Lagt til resetting og monitorering i UI. Lagt til andre ui elementer. Lagt til topptekst på alle funksjoner/fb og program i PLS + ryddet i kode
14/04/2023	9,5	Jobbet med bachelor rapport.
17/04/2023	8.5	Møte med veilder, og laget plots til rapport.
18/04/2023	2	Møte med veilder, og laget plots til rapport.
20/04/2023	7.5	Jobbet med bachelor rapport.
21/04/2023	5	Jobbet med bachelor rapport.
24/04/2023	7.5	Jobbet med figurer og plots til bachelor rapport. Møte digitalt med veileder.
25/04/2023	7	Jobbet med bachelor rapport.
27.04.2023	8	Jobbet med bachelor rapport.
28/04/2023	8.5	Jobbet bachelor halve dagen, hastighetskalibrert vinsj og implementerte feedforward Jobbet med beregning av crane tip pos
29/04/2023	3	Skrevet på bachelor rapport, laget reguleringsløype og lagt inn kodeutsnitt for hastighetskalibrering av vinsj
30/04/2023	3.5	Ryddet og skrevet i bachelor, laget illustrasjon i 3D av plattform med kordinatsystem
01/05/2023	4	Jobbet med bachelor rapport.
02.05.2023	8	Jobbet med bachelor rapport + appendix
03.05.2023	8	Jobbet med bachelor rapport + appendix Hatt møte med veilder Endre Testet å benytte/kjøre beregnet AHC på vinsj. Testet med P-regulator og feedforward
05.05.2023	8	Jobbet med bachelor. Hatt besøk av veileder, testkjørt plattform og vinsj med AHC til sine begrensninger logget i CSV filer.
07/05/2023	5.5	Jobbet med bachelor rapport .
08.05.2023	8	Kjørt begrensningstester for plattform og vinsj og logget til CSV filer for innhold i rapport. Startet å kalibrere vinsj. Limt inn grafer/plots i rapport.
09.05.2023	9	Jobbet med bachelor rapport Laget bilder og videoer til rapport Tunet vinsj Laget youtube spilleliste og lastet opp videoer for ulike demo videoer tilknyttet prosjekt
10.05.2023	7.00	Jobbet med bachelor rapport

11.05.2023	8	Koblet kamera til system. Kalibrert og justert fokus på kamera jobbet med bachelor rapport Lagt til kode for å ta I mot data fra kamera i PLS
12.05.2023	8	Fått UDP data fra kamera inn i PLS og tolket x,y,z kordinater til Aruco Kjørt AHC og plottet data med kamera som referanse punkt Jobbet med bachelor rapport
13.05.2023	1	Jobbet med bachelor rapport
15.05.2023	8	Jobbet med bachelor rapport
16.05.2023	8	Jobbet med bachelor rapport + digitalt møte med veileder
18.05.2023	9	Jobbet med bachelor rapport
19.05.2023	7.5	Jobbet med bachelor rapport + siste digitale møte med veileder
20.05.2023	11	Jobbet med bachelor rapport, korrekturlest og finpusset
21.05.2023	11	Ferdigstilt og finpusset bachelor rapport

10.4 Møtereferat

Tidspunkt :	Møte Referat :
16/02/2023	Kort digitalt møte med Endre Håland, fikk god input og tips om lavpassfiltrering av Cylinder speed SP for loggefil. Fikk pirk på å være besvist på aksetekster og knytte terori inn i oppgave/rapport.
06/03/2023	Digitalt møte med veileder, gjennomgått plan mot midtveispresentasjon. Gitt oss tips til å knytte faglig regtek-innhold inn som teori i oppgaven.
21/03/2023	Digital møte med veileder, gått gjennom midtveispresentasjon- Fått input og noen konkrete tilbakemeldinger på forslag til endring. Avtalt møte neste uke planlegging av rapport rammeverk.
27/03/2023	Digital møte med veileder, gått gjennom rammeverk for rapporten i Latex. Fått innspill om å dele rapporten opp i tre deler, slik at
18/04/2023	Digitalt møte med veilder, Snakket om rapport skriving og veien videre.
24/04/2023	Digitalt møte med veilder. Avklart at vi skal droppe og skrive om selvfølgeligheter som for eks. Virkemåte motor/frekvensomformer.
03/05/2023	Digitalt møte med veileder: Tips til rapportskriving - må ha med fler av testene vi har gjort. Begrensninger for systemet (Plattform). Tippset oss også om å lage tabell for hva vi har gjort og hva som hva gjort av arbeid fra tidligere.
05/05/2023	Fysisk møte med veileder på kontoret vårt i Sandviksbodene. Veileder har tipset og vært med å kjøre begrensningstester på plattform og vinsj + logging til CSV filer som skal
12/05/2023	Digitalt møte med veileder, snakket om siste innspurt og diverse ting rundt rapporten.
16/05/2023	Digitalt møte med veileder. Endre har lest gjennom rapport, sa seg fornøyd med alt innhold og mente at vi ikke trengte å legge inn noe mer.
19/05/2023	fra oss. Avklart med Endre at kode skal legges ved som vedlegg I bachelorrappoart.

10.5 Arbeidslogg

B023EB-37-Bachelor / Assignment Public

[Code](#) [Issues](#) [Pull requests](#) [Actions](#) [Projects](#) [Wiki](#) [Security](#) [Insights](#) [Settings](#)

Assignment / Log / ReadMe.md

 sanderVatne now

392 lines (309 loc) · 16.8 KB

[Preview](#) [Code](#) [Blame](#)

Wave simulation and evaluation of methods for active heave compensation - Log

Log

21/05/2023

- Ferdigstilt bachelor rapport

20/05/2023

- Jobbet med bachelor rapport

19/05/2023

- Jobbet med bachelor rapport

18/05/2023

- Jobbet med bachelor rapport

16/05/2023

- Jobbet med bachelor rapport
- Hatt digitalt møte med veileder. Siste utkast sendt til han

15/05/2023

- Jobbet med bachelor rapport
- Laget diverse plots til rapport.

14/05/2023

- Jobbet med bachelor rapport

13/05/2023

- Jobbet med bachelor rapport

12/05/2023

- Jobbet med bachelor rapport
- Fått inn UDP data fra stereo kamera med xyz kordinater til aruco kode til PLS
- Kjørt AHC med kamerea som referansse punkt, logget resultat til CSV-fil for rapport.

11/05/2023

- Jobbet med bachelor rapport.
- Koblet kamera til system
- kalibrert og justert fokus på kamera
- Montert brakkett med Aruco kode på crane tip
- Lagt til kode i PLS for å ta i mot data fra kamera på UDP.



09/05/2023

- Jobbet med bachelor rapport.
- Jobbet med begrensningstester av plattform og vinsj.
- Tunet winch.
- Laget bilder og videoer til rapport og youtube.
- Lagt til utregning og plotting av load position i UI.
- Lagt til sending av opMode for winch og AHCCenterPos fra PLC.

08/05/2023

- Jobbet med begrensningstester av plattform og vinsj.
- Laget Csv filer og lagt inn plotts i rapport.
- Ordnet bug under reset i UI generert av Scottplot.

07/05/2023

- Jobbet med bachelor rapport.
- Fikset bugs i UI og lagt til graf i AHC av Mp Pos.

05/05/2023

- Jobbet med bachelor rapport.
- Hatt besøk av veileder fra HVL, hvor vi felles har testkjørt plattform og vinsj med beregnet Aktiv hiv kompensering til sine begrensninger med frekvenssweep.

04/05/2023

- Fått AHC med Feedforward og p - regulator til å fungere.
- Filtrert mp_speed og endret måten speedcommand er beregnet.

03/05/2023

- Jobbet med bachelor rapport
- Testet å benytte beregnet AHC på vinsj.
- Testet med P - regualtor og feedforward, fortsatt litt tuning igjen.

02/05/2023

- Jobbet med bachelor rapport
- Laget appendix, bruksanvisning UI + modbus protokoll dokumenter

01/05/2023

- Jobbet med bachelor rapport

30/04/2023

- Jobbet med bachelor rapport
- Laget funksjonsblokk i PLS for utregning av Mp speed
- Laget AHC operation mode i PLS med betingelser for å entre AHC modus.

29/04/2023

- Jobbet med bachelor rapport
- endret utregning av cylinder posisjoner i PLC kode og UI.
- Laget funksjon i PLS for utregning av Mp position.

28/04/2023

- Jobbet med bachelor halve dagen
- Speedkalibrert vinsj
- Jobbet med beregning av crane tip position for AHC.

27/04/2023

- Jobbet med bachelor rapport.
- Laget funksjonsblokk i PLS for automatisk speed kalibrering av vinsj.
- Laget feedforward funksjon for vinsj i PLS.

25/04/2023

- Jobbet med bachelor rapport.

24/04/2023

- Jobbet med figurer og plots til rapport.
- Møte digitalt med veileder, avklart litt som å fks droppe "selvfølgeligheter" som fks prinsipp bak elektrisk motor og frekvensomformer.

21/04/2023

- Jobbet med bachelor rapport.

20/04/2023

- Jobbet med bachelor rapport.

18/04/2023

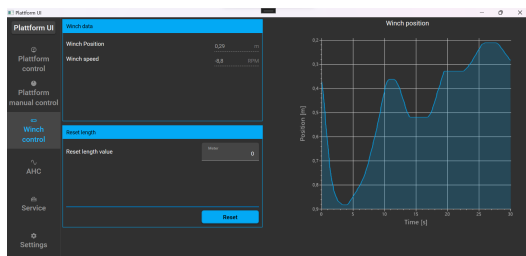
- Hatt møte med veileder.
- Laget plots til rapport.

17/04/2023

- Jobbet med bachelor rapporten.

14/04/2023

- Beregnet hastighet av sylinder og vinsj med bruk av enkoder pulser.
- Beregnet posisjon til vinsj
- Lagt inn tab i UI for reset vinsj lengde og posisjon/hastighet[rpm] til enhver tid.
- Endret UI tabs.
- Lagt til graf med plotting av vinsj posisjon i UI.



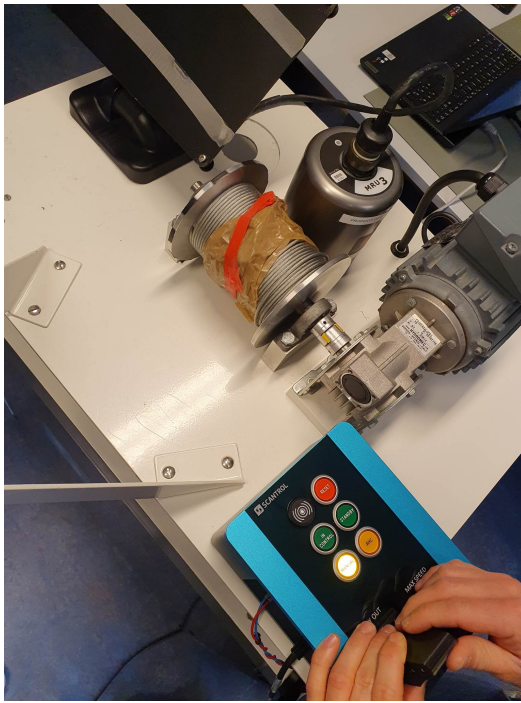
13/04/2023

- Lagt inn endring av hastighet via potmeter på OP-panel.
- Lagt inn nødstopp med buzzer og lys på OP-Panel.
- Sjekket metoder for konvertering av encoderpulser til posisjon og puls/omdreining.

11/04/2023

- Koblet nødstopp til drive - test OK

- Lagt opp DIN - skinne med 24V tilgjengelig på plattform.
- Ferdigstilt struct for To og From VaconDrive i PLC, kommunikasjon over TCP er OK.
- Koblet OperatørPanel og laget funksjonsblokk for denne i PLC.
- Styrt vinsj med joystick fra operatørpanel i begge retninger, endrer torque command via potmeteret.



31/03/2023

- Fått styrt vinsj med ulike hastigheter fra PLC.
- Endret til open loop control forløpig for å få det til å funke.

30/03/2023

- Jobbet med kommunikasjon mot Vacon Drive
- Klarer å styre den med Start/Stopp/reset.
- Mottar encoder verdi og tilbakemelding om RPM.
- Sliter med styring av hastigheten, klarer å endre Torque CMD og Speed CMD.

28/03/2023

- Endret IP adressen for PLS til 192.168.127.213
- Endret IP adressen for Vacon Drive til 192.168.127.212
- Testet å kommunisere mot Vacon vinsj drive i PLS next, ikke fungerende.
- Laget funksjonsblokk fbFromDrive, som leser Modbus Array fra drive.

27/03/2023

- Laget rammeverk for Bachelor rapport i Latex.
- Hatt digitalt møte med veileder for gjennomgang og innspill for rammerverket og rapportens struktur.

24/03/2023

- Midtveispresentasjon hele dagen på HVL.

23/03/2023

- Klargjort siste finish før midtveispresentasjon
- Pakket ned plattform og fått den inn i bilen.

21/03/2023

- Møte med veileder hvor vi har gjennomgått og finpusset på midtveispresentasjon.
- Lagt inn skaleringsmuligheter av heavepos og roll/pitch i logfileUI.

20/03/2023

- Laget powerpoint til midtveis presentasjon.
- Laget reguleringsløyfer og annet materiale til presentasjon.

18/03/2023 - 19/03/2023

- Prøvd å fikse skalerings problemer av loggefildata. Lagt til funksjon for å kun skalere heave pos og beholde riktig roll/pitch angle.

17/03/2023

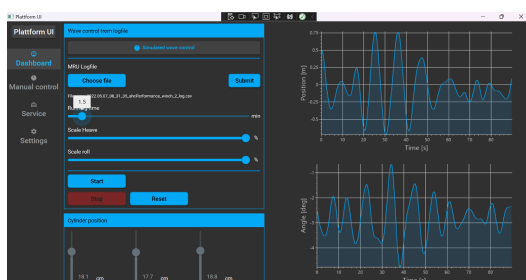
- Jobbet videre med interpolasjon av loggefildata, fått dette til å fungere. Kjørt tester og logget til Csv fil.
- Fikset skalering av UI grafene mh. tid [s].
- Funnet feil i beregning av sylinderposisjon data fra loggefiler, spesielt angle- som ikke blir oppnådd.
 - Må jobbe videre med dette på mandag.

16/03/2023

- Laget struct-klasser for VACON og operatørpanel i PLC next.
- Fikset bugs i UI knyttet mot loggefildatablad og simulering-tab.
- Interpolert posisjon og speed punkter i loggefildata for en finere bevegelse.

15/03/2023

- Byttet om til bruk av Scotplot grafer for UI.
- Laget metoder som beregner roll/pitch vinkel og heave pos som plottes live til grafer i UI.



13/03/2023

- Arbeid med UI, lagt til flere funksjoner:
- Lagt inn mulighet for å velge mellom roll/pitch angle.
- Laget Service tab klar i UI.
- Ordnet lesing av forskjellige typer loggefiler.
- Sett på implementasjon av scottplot isteden for livecharts.

10/03/2023

- Møte med veileder i firma.
- Fikset ferdig og implementert den nye feed forward kalibreringen fra igår.
- Jobbet og sett mye på filtrering av SpeedSP som er beregnet under lesing fra loggefili.

09/03/2023

- Ferdigstilt nødstopp fix både i UI og PLC.
- Rekalibrert alle sylinderene på plattformen med ny syklustid.
- Testet og logget bølgefiler for tuning.
- Lagt inn mulighet for UI å kjøres på norsk operativ system

06/03/2023

- Møte med veileder
- Rekalibrert cylinder 1
- Lagt til nødstoppfunksjon (UNDER progress)
- Endret sending av loggefildata til 16 bit istedenfor 32 bit.

01/03/2023

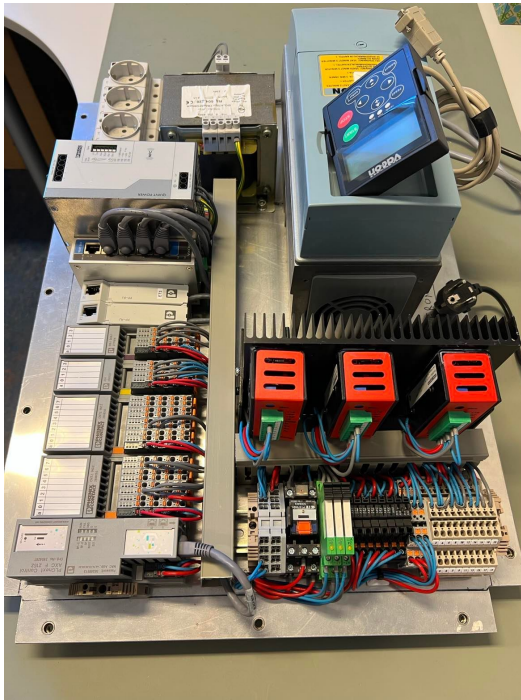
- Speedkalibrert alle cylinderene nå som de er fastmontert på plattform.
- Logget resultater og testet kjøring i forskjellige moduser med ny speedkalibrering.
- Cylinder 1 "henger" litt etter ved kjøring i manual mode. Grunnet mer lastpreg.

28/02/2023

- Koblet ferdig plattform
- Testkjørt plattform - gikk OK
- Ferdigstilt elektriske tegninger

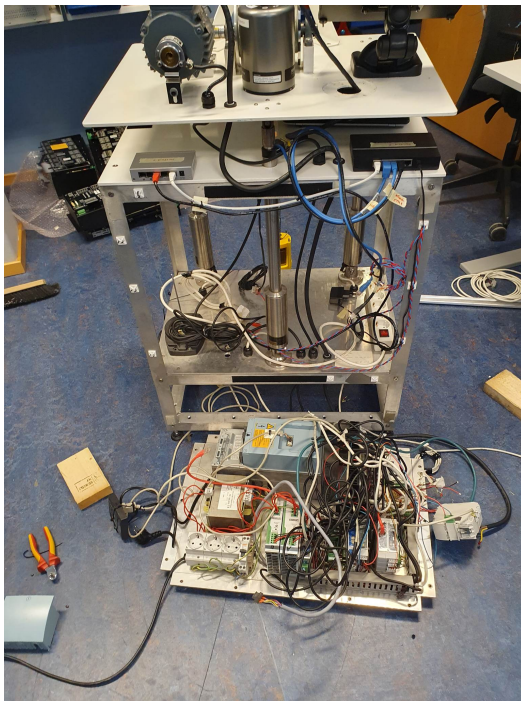
27/02/2023

- Koblet testmodul helt over til plattform.
- Bestilt sikring . 10A - B



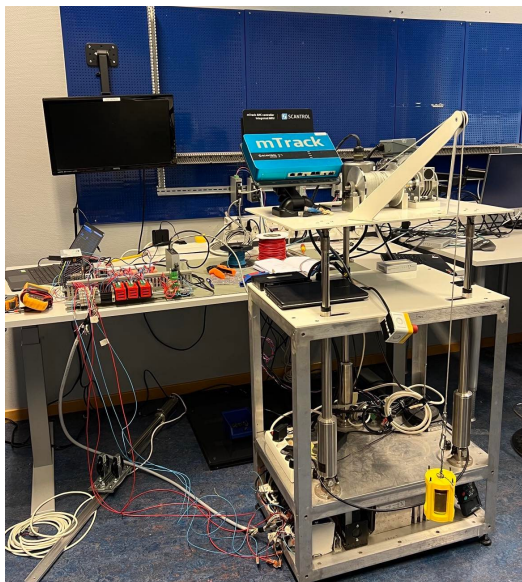
23/02/2023

- Testkjørt plattform i alle moduser.
- Ordnet slik at manual mode og reset fungerer.
- Koblet hele den gamle plattformen helt fra hverandre.
- Montert nye drivere på kjøleribbe
- Målt opp og klargjort overgangen fra testkobling til plattform.



21/02/2023

- Koblet opp testsystem for tre sylinder
- Koblet systemet midlertidig over til plattformen
- Testet kjøring av plattformen i forskjellige moduser.

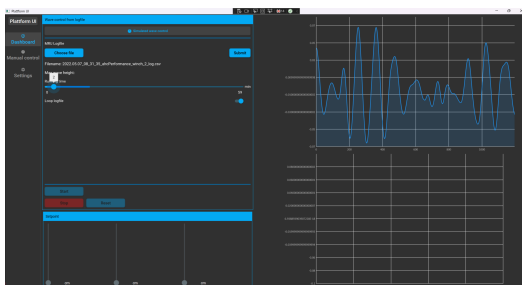


20/02/2023

- Ordnet reset, home & manual speed kontroll og reached position check i fbOperation.
- Lagt til 3x av PID og Analog convertert i PLC program, slik at dette er klart for overgang til plattform.
- Laget klar exeldokument som skal benyttes for SpeedTest kalibrering av alle sylinderne på plattform.
- Fått oversikt og bestilt nødvendige komponenter, rekkelemmer, DIN-skinner, sikringholdere(glass).
- Lagt til disconnect og auto disconnect i UI. Samt andre små endringer i UI kode.

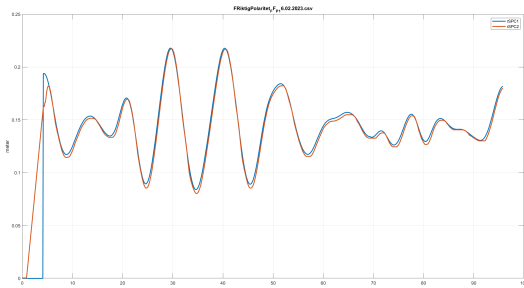
17/02/2023

- Fikset bugs og lagt til små endringer/funksjoner i Plattform UI.
- Sett på muligheten for å velge en valgfri range fra en loggefildate og plotte den i Ulen før den sendes for å lettere se hvilken type bølge man velger.
- Se bilde under av 2 første minutt valgt av fil og plottet på graf.



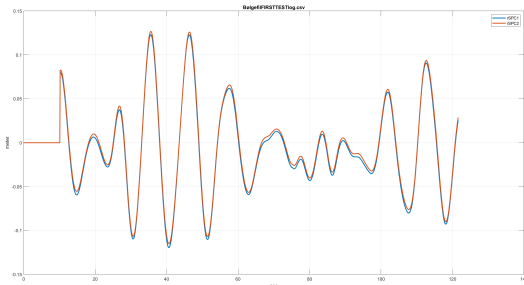
16/02/2023

- Testkjørt sylinder med last - setpunkt fra bølge loggefiler.
- Logget og lagret mange tester til csv loggefiler.
- Startet fintuning, orange funksjon er PV og blå er SP i bildet under:



14/02/2023

- Laget testprogram i PLC-next som tar imot bølgefildata fra UI via MODBUS.
- Plottet nedscalerte bølger som vist i bilde under.



13/02/2023

- Lagt inn funksjon i Plattform UI, for lesing av loggefili. Henting av data og sending av data til PLC.
- Testsending av data over til PLC via MODBUS gikk OK.
- Laget progressindicators på submit og start fra loggefili knapper i UI. Siden dette er tidkrevende oppgaver.

10/02/2023

- Laget auto stop funksjon i manual og reset mode (PLS)
- ferdigstilt manuell og reset mode i OperationMode fb.
- Lagt til funksjonalitet for lesing av Loggefiler og design i UI.
- Laget C# program for konvertering av bølgeloggefiler.

09/02/2023

- Beregnet cylinderposisjon fra heave /roll pos.
- Lagt til kode for manual mode i PLS

07/02/2023

- Testet ny operation blokk som tar hensyn til alle tre cylindrene.
- Sendt posisjonsSetPoint fra PLC til UI og fremvist dette i "slider"/vise på skjerm.
- Lagt til kode for manuel kjøring i UI.
- Ryddet opp i kode i UI og laget diverse metoder.

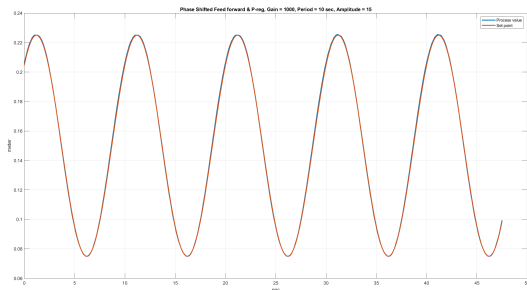
06/02/2023

- Laget appendix for ziegler nichols, step respons og tuning.

- Testet og dokumentert mange tuning parametre.
- Laget nye funksjoner og funksjonsblokker i PLC for bruk til alle 3 cylindre.
- Laget protokoll dokument og endret hvordan data blir sendt i PLC/UI.

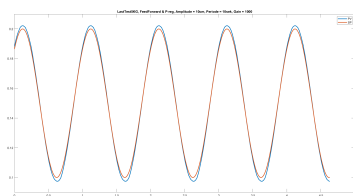
03/02/2023

- Faseforskyvet speed sp og tunet cylinder så bra som mulig med last.
- Laget appendix av alle resultat og dokumentert alt med .csv filer og MATLAB plot.
- Bilde under viser resultater av tuning med periode på 10sek og amplitude på 15cm.



02/02/2023

- Ferdigstilt og levert forprosjekt.
- Laget appendix for sinus test av cylinder for forskjellige tuning parametre og med 5 kg last.
- Speed kalibrert cylinder pånytt med 5 kg last og kjørt flere tester, logget til CSV filer og plottet i MATLAB.



31/01/2023

- Jobbet med forprosjekt.
- Satt oss inn i Latex.
- Laget tidsplan, budsjett og blokkdiagram.

30/01/2023

- Laget CSV filer for step respons med P-regulator.
- Laget CSV filer for FeedForward regulator uten P-reg.
- Laget program i C# og matlab for konvertering av data i CSV filene, slik at disse kan plottes.
- Kjørt ny speedkalibrering av cylinder da denne hadde begynt å driftet.

26/01/2023

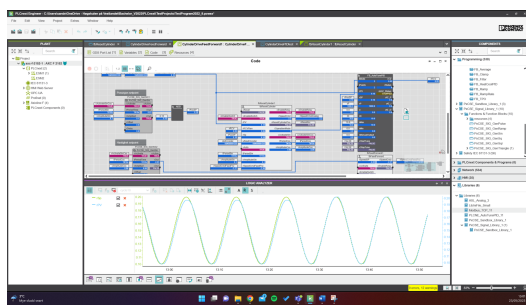
- Møte med veileder Endre fra 13-14.
- Lagt til kode for kommunikasjon mellom UI og PLC. Testet start/stopp/reset funksjoner fra UI.
- Laget struct klasser i PLC for DataToUI og DataFromUI

24/01/2023

- Laget funksjonsblokk for sinus bølgesimulering som gir ut posisjon-setpoint og speed-setpoint for alle 3 cylindre. Tar inn periode, amplitude og phase difference.
- Tunet testsylinder og logget alle resultat. lagret .csv filer av tester.
- Implementert Modbus kode i UI og kjørt cylinder (Simulert bølge) fra Plattform UI.

23/01/2023

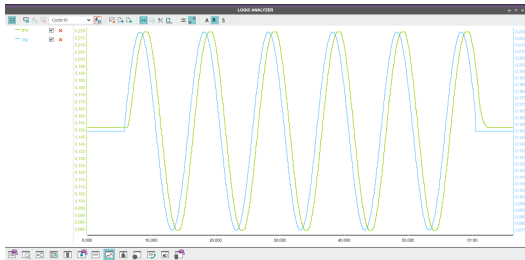
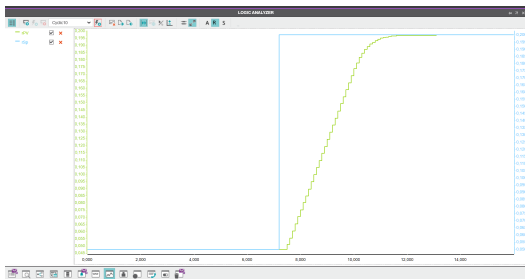
- Laget speedtest funksjonsblokk for kalibrering av feed forward loop.
- Kjørt speedtest og kalibrert test cylinder.
- Laget control funksjonsblokk for styring av cylinder med feed forward kombinert med PD-regulator.
- Testet og tunet regulering med og uten PD-regulator.



- Bildet over viser første halvdel uten PD-regulator (kun feed forward), andre del med PD-regulator innkoplet.

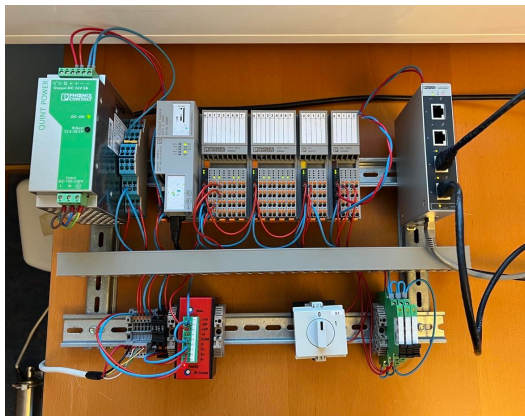
20/01/2023

- Fått reset funksjonsblokk for å kjøre cylinder til hjem pos til å fungere.
- Kjørt step respons og sinus av cylinder med P-regulator. Logget resultat.



19/01/2023

- Koblet enable rele og bryter for styring av sylinder.
- Test kjørt sylinder fra PLC med p - regulator.
- Laget fb for resetting av sylinder til hjem possisjon.

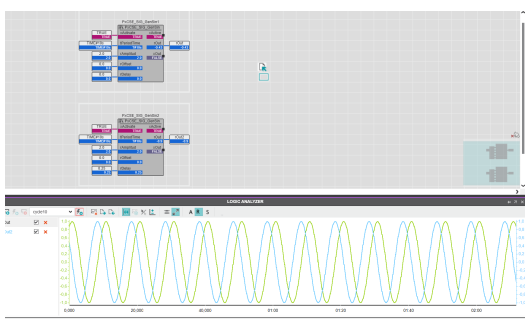


17/01/2023

- Koblet enkoder fra sylinder til PLC og fått inn pulser og konvertering til meter.
- Testet kjøring av sylinder med +-10v fra PLC.

16/01/2023

- Implementerte sinus generator til PLC next og testet
- Mottatt amplitude, faseforskyvning og periodetid fra UI via MODBUS
- Koblet opp motordriver til sylinder og testkjørt.





13/01/2023

- Lagt til x, y, z crane tip settings i plattform UI, og info til disse.
- Testet PID posisjonsregulering med encoder input og analog output.

12/01/2023

- Laget funksjonsblokk for encoder input scalering til meter i PLCnext.
- Testet modbus kommunikasjon med C# og PLCnext
- Koblet cylinder mot PLC



10/01/2023

- Programmert C# (Plattform UI)
- Koblet opp og fått inn encoder signal i PLCnext

09/01/2023

- Koblet opp PLS/Moduler, kommunikasjon mellom PLS og maskin OK. Satt oss inn i PLCnext Engineer software.

28/12/2022 - 30/12/2022

- Begynt på C# program for stryng av plattform, og testet bibliotek for "Live Chart" design og modbus kommunikasjon mot PLC.

21/12/22

- Oppstartsmøte for bachelor prosjekt på kontorlokalet.

10.6 Materialliste

Tabell 3 viser en oversikt over valgt materiell med referanse til nettbutikk.

Materialliste BO23EB-37			
Material	Antall	Beskrivelse	Referanse
Sylinder motor driver	3	3A DC motor driver	Link
PLCnext kontroller	1	PLCnext f 2152	Link
DI8/DI8	1	Digital I/O modul	Link
AO4	1	Analog utgangsmodul	Link
CNT2/INC2	2	Encoder inngangs modul	Link
3P rele	1	nødstopp rele	Link
solid state rele	3	sylinder enable rele	Link
strømforsyning	1	24V/20A strømforsyning	Link
switch	1	5port switch	Link

Tabell 3: Materialliste tabell

11 Appendiks C - Kommunikasjonsprotokoller

11.1 Kommunikasjonsprotokoll Plattform UI

Project



PLATTFORM UI PROTOCOL DESCRIPTION MODBUS UDP

Document title:

PROTOCOL 01 MODBUS UDP

Customer:

Scantrol AS

Supplier:

**Lars Askild S. Aarvik
Sander V. Andersen**

Customer project no:

BACHELOR_B023EB-37

Supplier project no:

Code	Reason for issue	Approved by client
01A	ISSUED FOR INTERNAL DOCUMENT CONTROL	
02A	ISSUED FOR EXTERNAL DOCUMENT CONTROL	
03A	APPROVED FOR CONSTRUCTION	
04A	AS-DELIVERED	
05A	AS-BUILT	

01A	02.05.2023	ISSUED FOR INTERNAL DOCUMENT CONTROL	LA, SA		
Rev.	Date(dd.mm.yy)	Reason for issue	Auth.	Checked	Appr.
			No of attachments: 0	No of pages: 5	

CONTENTS

1	HMI SETTINGS	3
2	COMMUNICATION PROTOCOL	3
2.1	Physical transmission	3
2.2	Message protocol.....	3
3	SIGNAL LISTS	4
3.1	Transmitted data FROM HMI.....	4
	Received data TO HMI.....	4

1 HMI SETTINGS

To activate this protocol, these settings must be applied to HMI:

- Correct IP address to PLC – 192.168.127.213

2 COMMUNICATION PROTOCOL

2.1 PHYSICAL TRANSMISSION

Signal transmission is done by Ethernet network to PLC. Medium can be anything that supports UDP/IP transmissions.

2.2 MESSAGE PROTOCOL

Messages transfer is done on a non-complete implementation of Modbus UDP with HMI as communication client (master). Standard network port for Modbus UDP is 502.

2.2.1 Function codes

HMI use function codes 3, read holding registers and 16, write multiple registers, reading 28 words (56 bytes) of data from device using one read messages, and writing variable amount of words depending length of logfile data.

2.2.2 Endianness

The protocol is big-endian for bytes within words and little-endian for words within double-word values. A 32-bit integer value 168496141 (0A0B0C0D_h) is transferred like this, with leftmost byte transferred first:

LSW/MSB	LSW/LSB	MSW/MSB	MSW/LSB
0C	0D	0A	0B

3 SIGNAL LISTS

3.1 TRANSMITTED DATA FROM HMI

Starting address is default as 100.

Word Address	Signal	Format	Value	Unit	Comment
100	Communication_counter	16bit	0-65 535		Counter for detecting com error
101	Operation Mode	16bit			0 = Manual 1 = Simulated 2 = Log file
102	Command	16bit			0 = Stop 1 = Start 2 = Reset
103	Amplitude	32bit	0-250	1/1000 meter	0 = 0 meter 250 = 0.25 meter
105	Period	32bit	0-60 000	ms	0 = 0 sec 60 000 = 60 sec
107	Phase difference	32bit	0-180	DEG	Phase difference between front and rear cylinders, when in simulated mode
109	Heave Position	32bit	0-300	1/1000 Meter	Heave position when in MANUAL mode.
111	Roll angle	32bit	+- 42	DEG	Roll platform angle in MANUAL mode.
113	Reset_Wire_LengthValue	32bit		1/1000 meter	Desired wire length reset value
115.01	Reset Wire Length command	16bit	0-1	BOOL	BOOL for resetting wire length
116...	C1_HeavePos	16bit		1/100000 meter	Heave position rear cylinder 1, when in Logfile mode.
117...	C1_Velocity	16bit		1/100000 meter	Velocity rear cylinder 1, when in Logfile mode.
118...	C2_C3_HeavePos	16bit		1/100000 [m/s]	Heave position front cylinder 2 & 3, when in Logfile mode.
119...	C2_C3_Velocity	16bit		1/100000 [m/s]	Velocity rear cylinder 2 & 3, when in Logfile mode.

TRANSMITTED DATA TO HMI

Starting address is default as 0.

Word Address	Signal	Format	Value	Unit	Comment
0	Position setpoint cylinder 1	32bit	0-300	1/1000 meter	Position setpoint for cylinder 1
2	Position setpoint cylinder 2	32bit	0-300	1/1000 meter	Position setpoint for cylinder 2
4	Position setpoint cylinder 3	32bit	0-300	1/1000 meter	Position setpoint for cylinder 3
6	Process value cylinder 1	32bit	0-300	1/1000 meter	Process value for cylinder 1
8	Process value cylinder 2	32bit	0-300	1/1000 meter	Process value for cylinder 2
10	Process value cylinder 3	32bit	0-300	1/1000 meter	Process value for cylinder 3
12.01	Running signal	16bit	0-1	BOOL	On off signal for platform running.
13.01	EM stop	16bit	0-1	BOOL	Emergency stop

Word Address	Signal	Format	Value	Unit	Comment
14.01	Drive error	16bit	0-1	BOOL	Error on drive
15	Cylinder 1 speed	32bit		1/100000 [m/s]	Speed for cylinder 1
17	Cylinder 2 speed	32bit		1/100000 [m/s]	Speed for cylinder 2
19	Cylinder 3 speed	32bit		1/100000 [m/s]	Speed for cylinder 3
21	Wire length	32bit		1/1000 meter	Winch wire length
23	Winch speed	32bit		1/1000 [RPM]	Winch speed in RPM
25	AHC center position	32bit		1/1000[m]	Center position for AHC
27	Operation mode winch	16bit	0-3	INT	0 = Standby winch 1 = Manual mode winch 2 = AHC mode winch 3 = Error

11.2 Kommunikasjonsprotokoll Vacon NXP drive

Project



VACON NXP PROTOCOL DESCRIPTION MODBUS TCP

Document title:

PROTOCOL 02 MODBUS TCP

Customer:

Scantrol AS

Supplier:

Lars Askild S. Aarvik
Sander V. Andersen

Customer project no:

BACHELOR_B023EB-37

Supplier project no:

Code	Reason for issue	Approved by client
01A	ISSUED FOR INTERNAL DOCUMENT CONTROL	
02A	ISSUED FOR EXTERNAL DOCUMENT CONTROL	
03A	APPROVED FOR CONSTRUCTION	
04A	AS-DELIVERED	
05A	AS-BUILT	

01A	02.05.2023	ISSUED FOR INTERNAL DOCUMENT CONTROL	LA, SA		
Rev.	Date(dd.mm.yy)	Reason for issue	Auth.	Checked	Appr.
			No of attachments: 0	No of pages: 4	

CONTENTS

1	VACON NXP DRIVE SETTINGS	3
2	COMMUNICATION PROTOCOL	3
2.1	Physical transmission	3
2.2	Message protocol.....	3
3	SIGNAL LISTS	4
3.1	Transmitted data FROM Vacon npx drive	4
	Transmitted data TO vacon npx drive	4

1 VACON NXP DRIVE SETTINGS

To activate this protocol, these settings must be applied to Vacon NXP drive:

Drive is setup to “Closed loop speed control with torque limitation”:

Parameter	ID	Setting
P2.6.1		Motor Control Mode
P2.9.11		FB1 control parameter

2 COMMUNICATION PROTOCOL

2.1 PHYSICAL TRANSMISSION

Signal transmission is done by Ethernet network to PLC. Medium can be anything that supports TCP/IP transmissions.

2.2 MESSAGE PROTOCOL

Messages transfer is done on a non-complete implementation of Modbus TCP with drive as communication client (master). Standard network port for Modbus TCP is 502.

2.2.1 Function codes

PLC use function codes 23, read/write multiple holding registers, reading 8 words (16 bytes) of data from drive using one read messages, and writing 4 words(8 bytes) of data to drive.

3 SIGNAL LISTS

3.1 TRANSMITTED DATA FROM VACON NXP DRIVE

Starting address is default as 2100.

Word Address	Signal	Format	Value	Unit	Comment
2100.01	Ready	1 bit	0 - 1	BOOL	Drive is ready to run
2100.02	Run	1 bit	0 - 1	BOOL	Drive is running
2100.03	Counter clockwise	1 bit	0 - 1	BOOL	Drive motor running counter clockwise
2100.04	Fault	1 bit	0 - 1	BOOL	Drive fault
2100.05	Warning	1 bit	0 - 1	BOOL	Drive warning
2100.06	At reference speed	1 bit	0 - 1	BOOL	Motor is at reference speed
2100.07	At zero speed	1 bit	0 - 1	BOOL	Motor is at zero speed
2100.08	Flux ready	1 bit	0 - 1	BOOL	Drive flux is ready
2101	SPARE				
2102	SPARE				
2103	SPARE				
2104	Motor RPM	16 bit	+- 32767	INT	Motor RPM
2105	SPARE				
2106	SPARE				
2107	SPARE				

TRANSMITTED DATA TO VACON NXP DRIVE

Starting address is default as 2000.

Word Address	Signal	Format	Value	Unit	Comment
2000.01	Run command	1 bit	0 - 1	BOOL	Run command to drive
2000.02	Direction command	1 bit	0 - 1	BOOL	Direction command to drive
2000.03	Reset error command	1 bit	0 - 1	BOOL	Reset error command to drive
2001	SPARE				
2002	Speed command	16 bit	0-10000	1/100%	Speed command to drive
2003	Torque command	16 bit	0-10000	1/100%	Torque limit command to drive

11.3 Kommunikasjonsprotokoll Operatørpanel

Project



OPERATORPANEL PROTOCOL DESCRIPTION MODBUS TCP

Document title:

PROTOCOL 03 MODBUS TCP

Customer:

Scantrol AS

Supplier:

Lars Askild S. Aarvik
Sander V. Andersen

Customer project no:

BACHELOR_B023EB-37

Supplier project no:

Code	Reason for issue	Approved by client
01A	ISSUED FOR INTERNAL DOCUMENT CONTROL	
02A	ISSUED FOR EXTERNAL DOCUMENT CONTROL	
03A	APPROVED FOR CONSTRUCTION	
04A	AS-DELIVERED	
05A	AS-BUILT	

Date: (dd.mm.yy) _____
Sign: _____

01A	02.05.2023	ISSUED FOR INTERNAL DOCUMENT CONTROL	LA, SA		
Rev.	Date(dd.mm.yy)	Reason for issue	Auth.	Checked	Appr.
			No of attachments: 0		No of pages: 4

CONTENTS

1	OPERATORPANEL SETTINGS	3
2	COMMUNICATION PROTOCOL	3
2.1	Physical transmission	3
2.2	Message protocol.....	3
3	SIGNAL LISTS	4
3.1	Transmitted data FROM Operatorpanel	4
	Transmitted data TO Operatorpanel	4

1 OPERATORPANEL SETTINGS

To activate this protocol, these settings must be applied to operatorpanel:
Operator panel must be on the same subnet as the PLC:

2 COMMUNICATION PROTOCOL

2.1 PHYSICAL TRANSMISSION

Signal transmission is done by Ethernet network to PLC. Medium can be anything that supports TCP/IP transmissions.

2.2 MESSAGE PROTOCOL

Messages transfer is done on a non-complete implementation of Modbus TCP with drive as communication client (master). Standard network port for Modbus TCP is 502.

2.2.1 Function codes

PLC use function codes 23, read/write multiple holding registers, reading 6 words (12 bytes) of data from drive using one read messages, and writing 1 words(2 bytes) of data to drive.

3 SIGNAL LISTS

3.1 TRANSMITTED DATA FROM OPERATORPANEL

Starting address is default as 0.

Word Address	Signal	Format	Value	Unit	Comment
0.B0	Communication counter	8 bit	0 - 255	Byte	Communication counter
01.15	EM stop	1 bit	0 - 1	BOOL	Emergency stop
01.14	Joystick error	1 bit	0 - 1	BOOL	True if joystick switch has error
01.06	Reset button	1 bit	0 - 1	BOOL	True if reset button is active
01.07	Standby button	1 bit	0 - 1	BOOL	True if standby button is active
01.08	AHC button	1 bit	0 - 1	BOOL	True if AHC button is active
01.10	InControl button	1 bit	0 - 1	BOOL	True if InControl button is active
01.11	Manual button	1 bit	0 - 1	BOOL	True if manual button is active
02	Joystick switch	16 bit	0 – 2	INT	0 = center position 1 = Pay IN 2 = Pay OUT
05	Potmeter 1	16 bit	0 – 1000	1/10%	Max speed potmeter [0 – 100%]
07	Temperatur	16 bit	+- 32767	INT	Operator panel temp
08	Joystick 1	16 bit	+- 1000	1/10%	Control joystick

TRANSMITTED DATA TO OPERATORPANEL

Starting address is default as 20.

Word Address	Signal	Format	Value	Unit	Comment
20.06	Reset button light	1 bit	0 - 1	BOOL	Activates light if true
20.07	Standby button light	1 bit	0 - 1	BOOL	Activates light if true
20.08	AHC button light	1 bit	0 - 1	BOOL	Activates light if true
20.10	InControl button light	1 bit	0 – 1	BOOL	Activates light if true
20.11	Manual button light	1 bit	0 - 1	BOOL	Activates light if true
20.15	Buzzer	1 bit	0 - 1	BOOL	Alarm buzzer

12 Appendiks D - Tuning

12.1 Lastavhengighet

Tidlig i arbeidet undersøkte vi lastavhengigheten til sylinderne. Dette ble gjort ved å feste ett lodd på 5kg på sylinderen, for så å sjekke nøyaktigheten og forholdet mellom settpunkt og er-verdi. På figur1(bilde - sylinder uten last. Samme G,A,P)

12.2 Hastighetskalibrering sylinder

Hastighetskalibrerings testen ble gjennomført ved ta tiden sylinderne bruker på å kjøre 20 cm for så å beregne hastigheten i [m/s]. [+V] kjører sylinderne innover og [-V] kjører sylinderne utover.

Speed calibration cylinder 1	SpdCMD + 10 V	Speed m/s	Speed calibration cylinder 2	SpdCMD + 10 V	Speed m/s	Speed calibration cylinder 3	SpdCMD + 10 V	Speed m/s
-0.5	0.000000		-0.5	-0.001950		-0.5	-0.002350	
-1	-0.006040		-1	-0.008680		-1	-0.008760	
-1.5	-0.012820		-1.5	-0.015440		-1.5	-0.015660	
-2	-0.019690		-2	-0.022230		-2	-0.022450	
-2.5	-0.026450		-2.5	-0.029020		-2.5	-0.029190	
-3	-0.033220		-3	-0.035760		-3	-0.035950	
-3.5	-0.039810		-3.5	-0.042520		-3.5	-0.042780	
-4	-0.044300		-4	-0.048370		-4	-0.049080	
-4.5	-0.046680		-4.5	-0.050310		-4.5	-0.050700	
-5	-0.046790		-5	-0.050790		-5	-0.050820	
-5.5	-0.046880		-5.5	-0.050790		-5.5	-0.050920	
-6	-0.046900		-6	-0.050820		-6	-0.050950	
-6.5	-0.046900		-6.5	-0.050820		-6.5	-0.050950	
-7	-0.046900		-7	-0.050820		-7	-0.050950	
-7.5	-0.046900		-7.5	-0.050820		-7.5	-0.050950	
-8	-0.046900		-8	-0.050820		-8	-0.050950	
-8.5	-0.046900		-8.5	-0.050820		-8.5	-0.050950	
-9	-0.046900		-9	-0.050820		-9	-0.050950	
-9.5	-0.046900		-9.5	-0.050820		-9.5	-0.050950	
-10	-0.046900		-10	-0.050820		-10	-0.050950	
0.5	0.007520		0.5	0.007160		0.5	0.006760	
1	0.014010		1	0.013670		1	0.013190	
1.5	0.020410		1.5	0.020110		1.5	0.019500	
2	0.026740		2	0.026420		2	0.025670	
2.5	0.032940		2.5	0.032770		2.5	0.031740	
3	0.039040		3	0.039110		3	0.037640	
3.5	0.045100		3.5	0.045200		3.5	0.043630	
4	0.049290		4	0.048720		4	0.047230	
4.5	0.050660		4.5	0.050060		4.5	0.049140	
5	0.051080		5	0.050540		5	0.049600	
5.5	0.051210		5.5	0.050820		5.5	0.048720	
6	0.051480		6	0.050950		6	0.048960	
6.5	0.051570		6.5	0.051080		6.5	0.048960	
7	0.051610		7	0.051080		7	0.049080	
7.5	0.051610		7.5	0.051080		7.5	0.049080	
8	0.051610		8	0.051080		8	0.049080	
8.5	0.051610		8.5	0.051080		8.5	0.049080	
9	0.051610		9	0.051080		9	0.049080	
9.5	0.051610		9.5	0.051080		9.5	0.049080	
10	0.051610		10	0.051080		10	0.049080	

Figur 12.1: Utklipp av hastighets kalibreringstabell som viser hastighet i [m/s] med hastighetskommandoer mellom +10[V]

12.3 Hastighetskalibrering vinsj

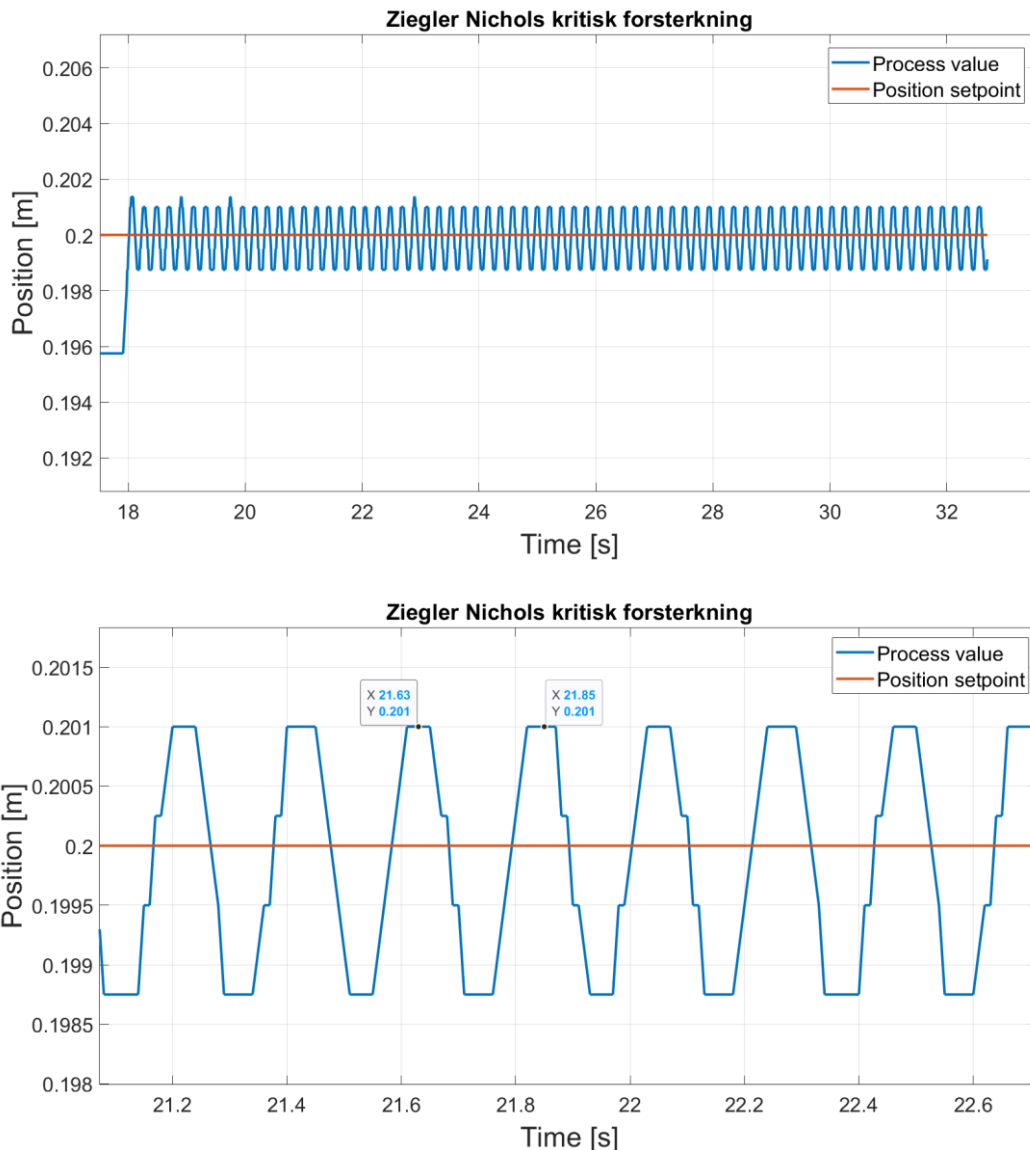
SpeedCMD (%)	Pay in [rpm]	[m/s]	SpeedCMD (%)	Pay out [rpm]	[m/s]
0	0	0	0	0	0
10	18	0.0834	10	-17.9	-0.08293667
20	36	0.1668	20	-36	-0.1668
30	54	0.2502	30	-54	-0.2502
40	71.9	0.33313667	40	-72	-0.3336
50	89.9	0.41653667	50	-89.9	-0.41653667
60	108	0.5004	60	-108	-0.5004
70	126	0.5838	70	-126	-0.5838
80	143.9	0.66673667	80	-144	-0.6672
90	161.9	0.75013667	90	-162	-0.7506
100	179.9	0.83353667	100	-180	-0.834

Figur 12.2: Utklipp av hastighets kalibreringstabell som viser hastighet til vinsj i [m/s] og [RPM] med pådrag på frekvensomformer mellom [0-100%]

12.4 Ziegler Nichols første metode

Gjennomførte Ziegler Nichols første metode for å finne ett utgangspunkt for regulator parameterne.

Vi testkjørte sylinderen med gain på 50 000[V/m], som skapte stabile oscillasjoner.



Måler periodetiden til 0,22 sekund. Som blir brukt til videre utregninger under.

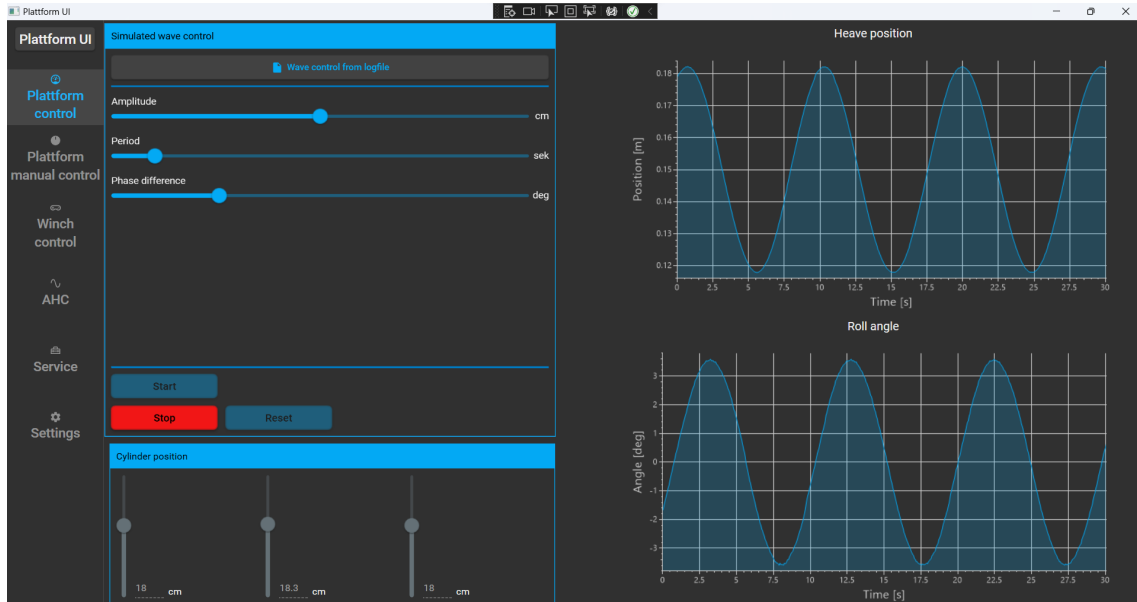
P – regulator:

$$P = 0.5 * KK \Rightarrow 0.5 * 50\,000[\text{V/m}] = 25\,000[\text{V/m}].$$

Bruker 25 000[V/m] i gain som utgangspunkt for videre step-responstester.

13 Appendiks E - Bruksanvisning Plattform UI

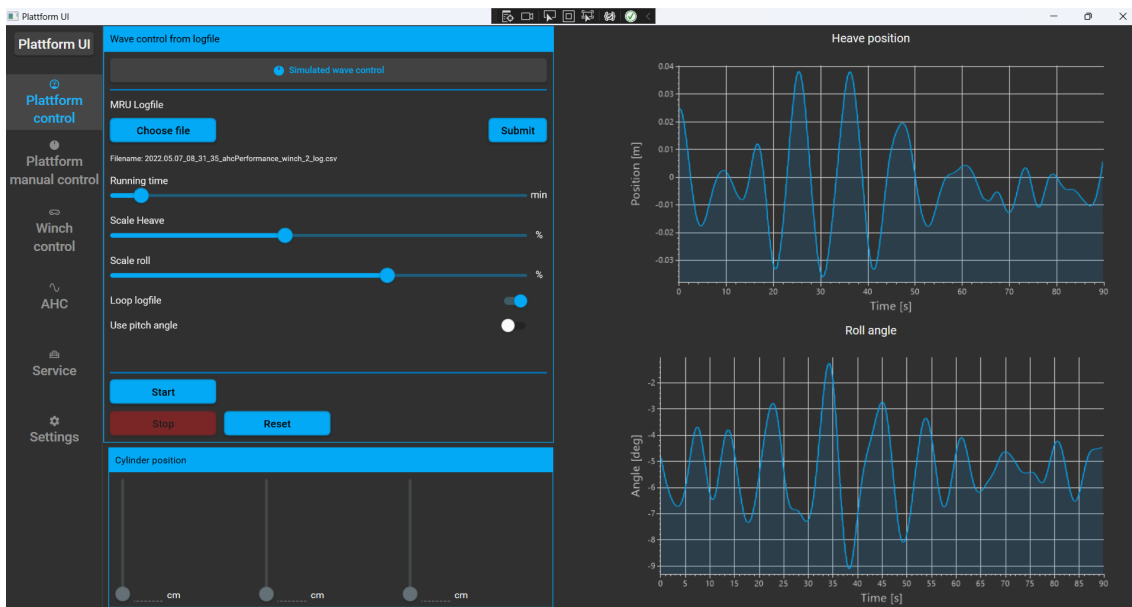
Bruksanvisning av plattform UI inneholder en kort beskrivelse av hvordan brukergrensesnittet fungerer og anvendes.



Figur 13.1: Skjerm bilde av «Plattform control» tab i simulert bølge modus

Figur 13.1 viser er skjerm bilde av «Plattform control» tab med simulert bølge modus valgt. Her er det mulig å kjøre plattform etter simulerete sinus bølger.

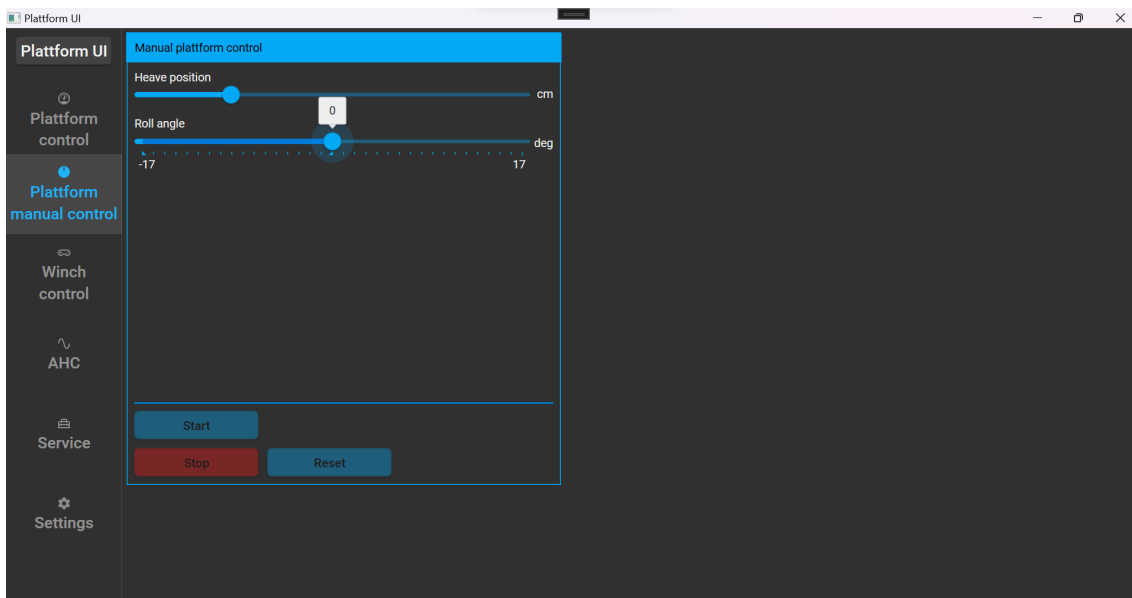
- **Wave control form logfile:** Endrer brukergrensesnitt og modus til plattform kontroll fra MRU logfil.
- **Amplitude:** velg amplitude på sinus bølge (0 - 30cm).
- **Period:** Velg periode på sinus bølge (0 - 60sek).
- **Phase difference:** Velg faseforskjell for sinus på fremre og bakre sylinder. Ved 0° kjører alle sylinder likt, og ved 180° kjører de med motsatt fase (0 - 180°).
- **Cylinder position:** Viser posisjonene for hver sylinder til en hver tid.
- **Heave position:** Graf som viser heave position til plattformen.
- **Roll angle:** Graf som viser roll angle til plattformen.
- **Start:** Knapp som starter å kjøre plattformen med ønskede parametere.
- **Stop:** Knapp som stopper plattformen.
- **Reset:** Knapp som resetter plattformen. Da kjører alle sylinder til 0cm og enkoder telling resettes til 0.



Figur 13.2: Skjerm bilde av «Plattform control» tab i loggfil bølge modus

Figur 13.2 viser er skjerm bilde av «Plattform control» tab med loggfil modus valgt. Her er det mulig å kjøre plattform etter ekte MRU loggfil data.

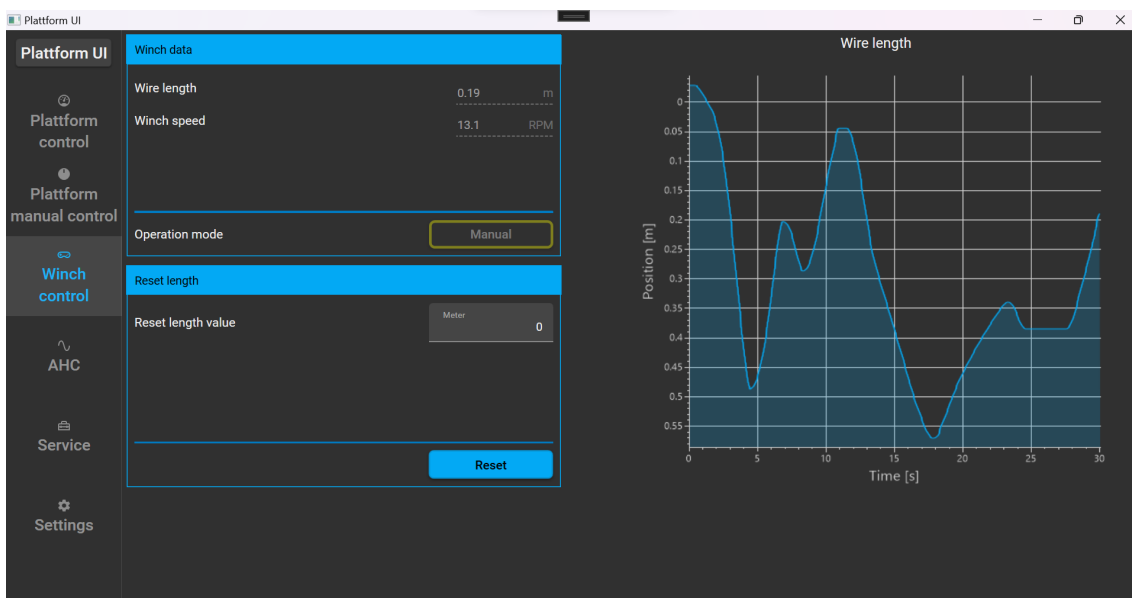
- **Simulated wave control:** Endrer brukergrensesnitt og modus til plattform kontroll med simulerte sinus bølger.
- **Choose file:** Knapp som åpner filutforsker og mulighet for å velge loggfile med .csv format.
- **Submit:** Knapp for å bekrefte valg av loggfil parametre før sylinder posisjoner beregnes og sendes til PLS.
- **Running time:** Mulighet for å velge hvor mye av filen som skal kjøres. Skalaen går fra 0 - 25min eller max lenged på loggfil dersom den er mindre enn 25min.
- **Scale heave:** Denne settes automatisk til bergenet max etter fil er valgt. Slideren viser skalert heave position i prosent i forhold til ekte bølger i loggfil.
- **Scale roll:** Mulighet for å skalere opp/ned roll angle avhengig av hvor mye heave er skalert ned. Mulig å skalere mer opp jo mer heave er skalert ned pga. posisjon/hastighets begrensninger.
- **Loop logfile:** Toogle bryter for å velge hva som skjer når valgt lengde av loggfil er kjørt. Dersom denne ikke er valgt, stopper plattformen og resettes automatisk. Dersom den er valgt fortsetter den å kjøre fra begynnelsen av filen igjen.
- **Use pitch angle:** Toggle knapp for å velge om roll eller pitch skal brukes som plattform vinkel.
- **Cylinder position:** Viser posisjonene for hver sylinder til en hver tid.
- **Heave position:** Graf som viser heave position til plattformen. Før brukeren trykker start viser den også heave position fra valgt loggfil, som oppdateres ettersom brukeren endrer parametre.
- **Roll angle:** Graf som viser roll angle til plattformen. Før brukeren trykker start viser den også roll/pitch fra valgt loggfil, som oppdateres ettersom brukeren endrer parametre.
- **Start:** Knapp som starter å kjøre plattformen med ønskede parametre. Kanpen har en progressbar implementert for å vise status for sending av loggfil data til PLS. Når den er ferdig å sende alt, starter plattformen å kjøre.
- **Stop:** Knapp som stopper plattformen.
- **Reset:** Knapp som resetter plattformen. Da kjører alle sylinderne til 0cm og enkoder telling resettes til 0.



Figur 13.3: Skjermbilde av «Plattform manual control» tab

Figur 13.3 viser er skjermbilde av «Plattform manual control» tab med manuell modus valgt. Her er det mulig å kjøre plattformen til ønsket posisjon.

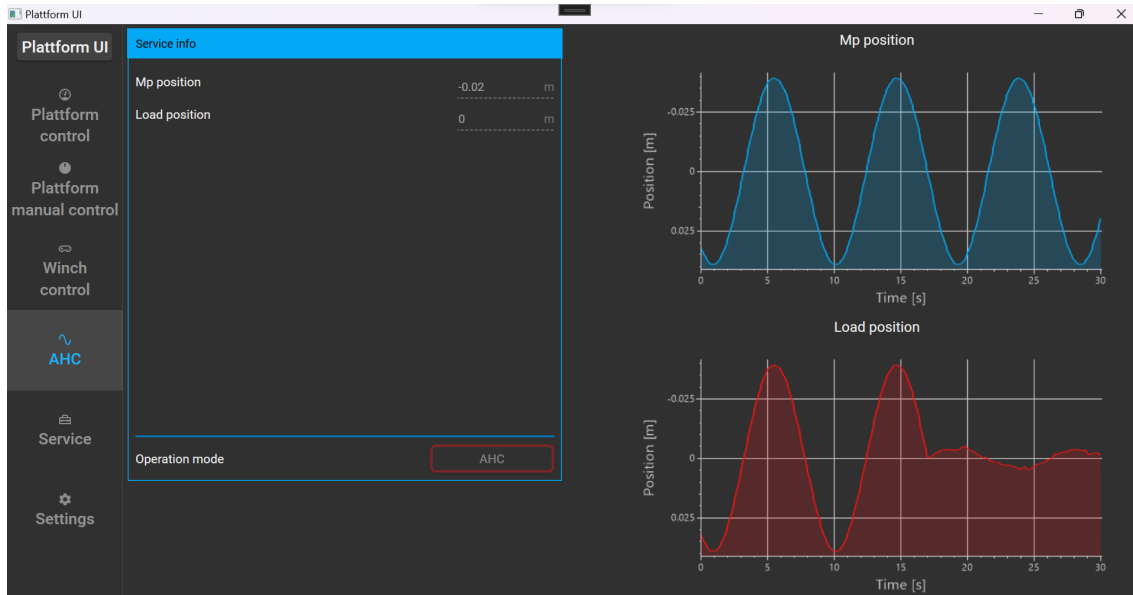
- **Heave position:** Her velger man hvilke heave posisjon [0-30cm] man ønsker å kjøre plattformen til.
- **Roll angle:** Her velger man hvilke vinkel man ønsker å kjøre plattformen i, størst lovlig vinkel er når plattformen har heave posisjon 15[cm].
- **Start:** Knapp som kjører plattformen til ønskede parametre.
- **Stopp:** Knapp som stopper plattformen
- **Reset:** Knapp som resetter plattformen. Da kjører alle sylinderne til 0cm og enkoder telling resettes til 0.



Figur 13.4: Skjermbilde av «Winch control» tab

Figur 13.4 viser skjermbilde av «Winch control» tab. Her kan man resette vinsj lengden til ønsket verdi og avlese «live» posisjon og hastighet på vinsjen.

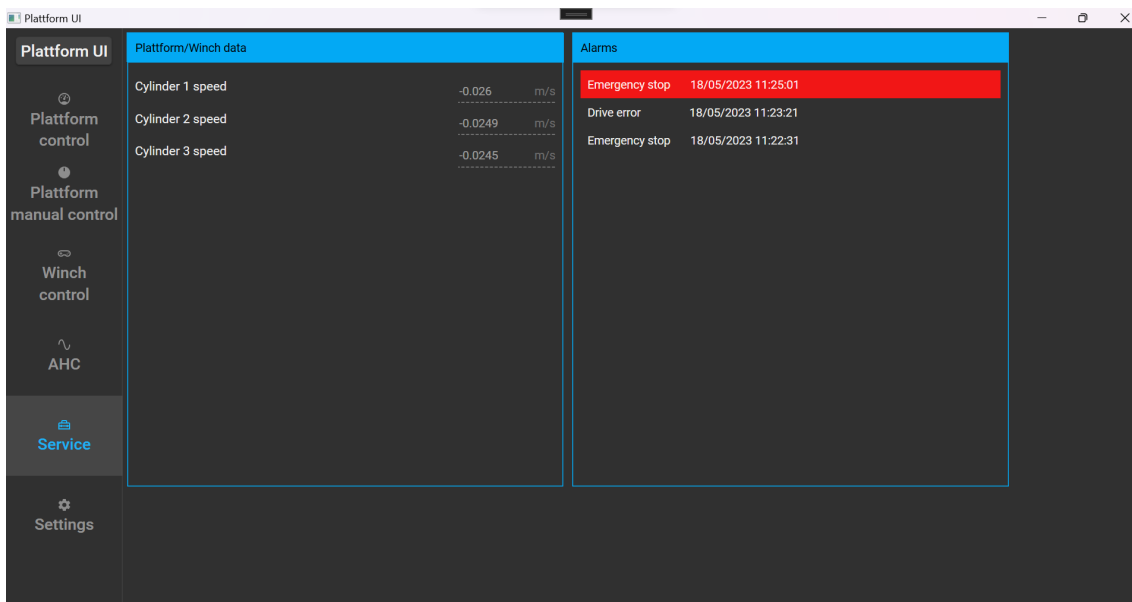
- **Wire length:** Her vises er-verdi posisjonen til vaier lengden i [m].
- **Wire speed:** Her vises hastigheten til vinsjen gitt i [RPM].
- **Operation mode:** Viser hvilket operasjonsmodus vinsjen er i med tekst kombinert med farge.
- **Reset wire length:** Her velger man ønsket verdi i [m] for hva vaierlengden skal re-settes til.
- **Wire length plot:** Graf viser vaier lengden til en hver tid.



Figur 13.5: Skjermbilde av «AHC» tab

Figur 13.5 viser skjermbilde av «AHC» tab. Her kan man se bevegelsene på krantuppen samt lasten og se ytelsen til AHC sysytemet.

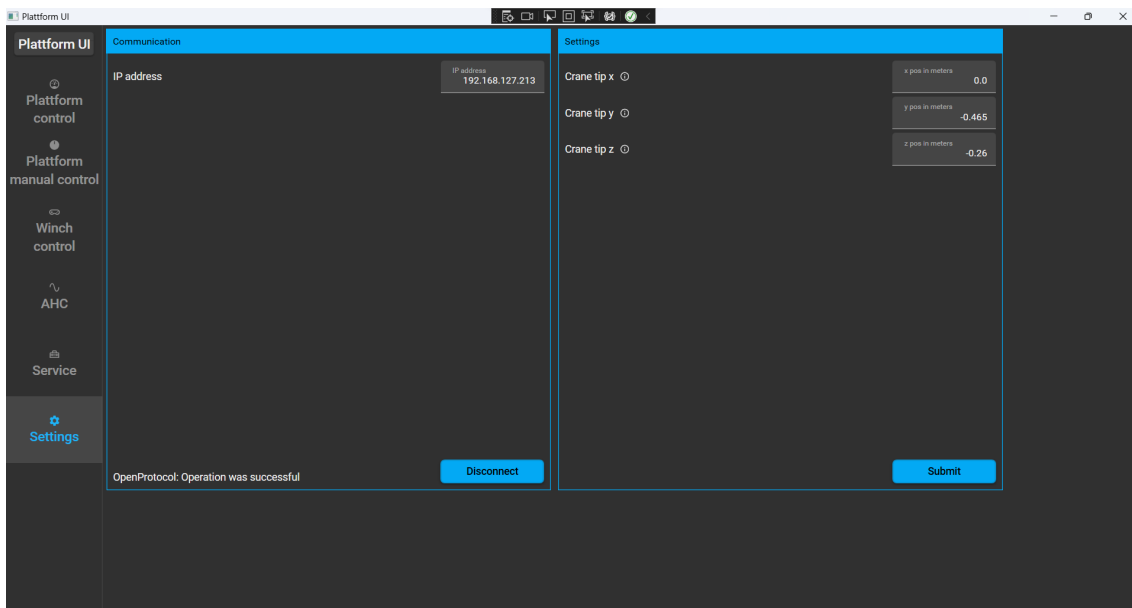
- **Mp position:** Viser posisjonsendringen til krantuppen i meter.
- **Load position:** Viser posisjonsendringen til lasten i meter.
- **Operation mode:** Viser hvilket operasjonsmodus vinsjen er i med tekst kombinert med farge.
- **Mp position plot:** Plot som viser bevegelsen til krantuppen (målepunktet) grafisk.
- **Load position plot:** Plot som viser bevegelsen til lasten koblet til vinsjen grafisk. Ved optimal AHC står den tilnærmet lit 0[m].



Figur 13.6: Skjermbilde av «Service» tab

Figur 13.6 viser skjermbilde av «Service» tab. Her vises diverse plattform data og alarmer.

- **Cylinder 1 Speed:** Viser hastigheten til cylinder 1 i [m/s].
- **Cylinder 2 Speed:** Viser hastigheten til cylinder 2 i [m/s].
- **Cylinder 3 Speed:** Viser hastigheten til cylinder 3 i [m/s].
- **Alarms:** Viser en liste over alarmhistorikk med tidspunkt samt fremheving av aktive alarmer med rød bakgrunn.



Figur 13.7: Skjermbilde av «Settings» tab

Figur 13.7 viser skjermbilde av «Settings» tab. Denne delen av brukergrensesnittet inneholder innstillingar for systemet og kommunikasjonen. Den ene delen av skjermen inneholder innstillingar for kommunikasjonen og den andre for generelle innstillingar.

- **IP address:** Her skriver man inn IP-adressen til PLC (initialverdi: 192.168.127.213).

- **Connect:** Knapp som starter kommunikasjon over modbus på valgt IP-nettverk. Tekste endres til «Disconnect» dersom HMI er koblet til PLS, og det er da mulig å koble fra PLS med samme knapp.
- **Crane tip x:** Her er det mulig å sette inn lengder til ønsket krantip dersom brukeren ønsker å se bevegelsene i krantippet med større/mindre avstand enn på plattformen. Initital verdiene er satt til avstandene på plattformen. Lengde til krantip i x - retning (initialverdi: 0.0m).
- **Crane tip y:** Lengde til krantip i y - retning (initialverdi: -0.465m).
- **Crane tip z:** Lengde til krantip i z - retning (initialverdi: -0.26m).
- **Submit:** Knapp som setter valgte data i «crane tip» posisjon x,y,z.

14 Appendiks F - Elektriske tegninger

	1	2	3	4	5	6	7	8																																																
PROJECT: Wave Simulation Platform				CUSTOMER: Internal Wiring B023EB-37-Bachelor																																																				
DOCUMENT TITLE:				SUPPLIER: Scantrol AS Sandviksbodene 1C, 5035 Bergen NORWAY																																																				
CUSTOMER PROJECT #:				SUPPLIER PROJECT #:																																																				
<table border="1"> <thead> <tr> <th>Code</th><th>Reason for issue</th><th colspan="6">Approved by client</th></tr> </thead> <tbody> <tr> <td>01A</td><td>ISSUED FOR INTERNAL DOCUMENT CONTROL</td><td colspan="6">Date: (dd.mm.yy) _____</td></tr> <tr> <td>02A</td><td>ISSUED FOR EXTERNAL DOCUMENT CONTROL</td><td colspan="6">Sign: _____</td></tr> <tr> <td>03A</td><td>APPROVED FOR CONSTRUCTION</td><td colspan="6"></td></tr> <tr> <td>04A</td><td>AS-DELIVERED</td><td colspan="6"></td></tr> <tr> <td>05A</td><td>AS-BUILT</td><td colspan="6"></td></tr> </tbody> </table>									Code	Reason for issue	Approved by client						01A	ISSUED FOR INTERNAL DOCUMENT CONTROL	Date: (dd.mm.yy) _____						02A	ISSUED FOR EXTERNAL DOCUMENT CONTROL	Sign: _____						03A	APPROVED FOR CONSTRUCTION							04A	AS-DELIVERED							05A	AS-BUILT						
Code	Reason for issue	Approved by client																																																						
01A	ISSUED FOR INTERNAL DOCUMENT CONTROL	Date: (dd.mm.yy) _____																																																						
02A	ISSUED FOR EXTERNAL DOCUMENT CONTROL	Sign: _____																																																						
03A	APPROVED FOR CONSTRUCTION																																																							
04A	AS-DELIVERED																																																							
05A	AS-BUILT																																																							
<table border="1"> <tr> <td>Date</td><td>14.03.2023</td><td>Perf. by</td><td>SA</td><td colspan="5">Scantrol Wave Simulation Platform</td></tr> <tr> <td>Appr. by</td><td></td><td></td><td></td><td colspan="5"></td></tr> <tr> <td>Ver.</td><td>Revision</td><td>Date</td><td>Sign..</td><td>Norm</td><td>Original</td><td>Repl. for</td><td>Repl. of</td><td></td></tr> </table>									Date	14.03.2023	Perf. by	SA	Scantrol Wave Simulation Platform					Appr. by									Ver.	Revision	Date	Sign..	Norm	Original	Repl. for	Repl. of																						
Date	14.03.2023	Perf. by	SA	Scantrol Wave Simulation Platform																																																				
Appr. by																																																								
Ver.	Revision	Date	Sign..	Norm	Original	Repl. for	Repl. of																																																	
<table border="1"> <tr> <td>Rev.</td><td>Date (dd.mm.yy)</td><td>Reason for issue</td><td>Auth.</td><td>Checked</td><td>Appr.</td><td></td><td></td><td></td></tr> <tr> <td>05A</td><td>14.03.2023</td><td>AS-BUILT</td><td>SA, LA</td><td>SA, LA</td><td>SA, LA</td><td></td><td></td><td></td></tr> </table>									Rev.	Date (dd.mm.yy)	Reason for issue	Auth.	Checked	Appr.				05A	14.03.2023	AS-BUILT	SA, LA	SA, LA	SA, LA																																	
Rev.	Date (dd.mm.yy)	Reason for issue	Auth.	Checked	Appr.																																																			
05A	14.03.2023	AS-BUILT	SA, LA	SA, LA	SA, LA																																																			
<table border="1"> <tr> <td>Project no.</td><td>B023EB</td><td>Ver.</td><td></td></tr> <tr> <td>Scale</td><td>Drawing no.</td><td>Page 1</td><td></td></tr> <tr> <td>1:1 A3</td><td>B023EB-37-Bachelor</td><td>N.pg 2</td><td></td></tr> </table>									Project no.	B023EB	Ver.		Scale	Drawing no.	Page 1		1:1 A3	B023EB-37-Bachelor	N.pg 2																																					
Project no.	B023EB	Ver.																																																						
Scale	Drawing no.	Page 1																																																						
1:1 A3	B023EB-37-Bachelor	N.pg 2																																																						
<table border="1"> <tr> <td>1</td><td>2</td><td>3</td><td>4</td><td>5</td><td>6</td><td>7</td><td>8</td><td></td></tr> </table>									1	2	3	4	5	6	7	8																																								
1	2	3	4	5	6	7	8																																																	

1

2

3

4

5

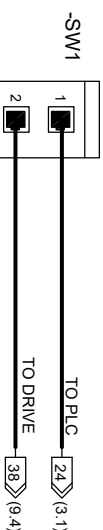
6

7

8

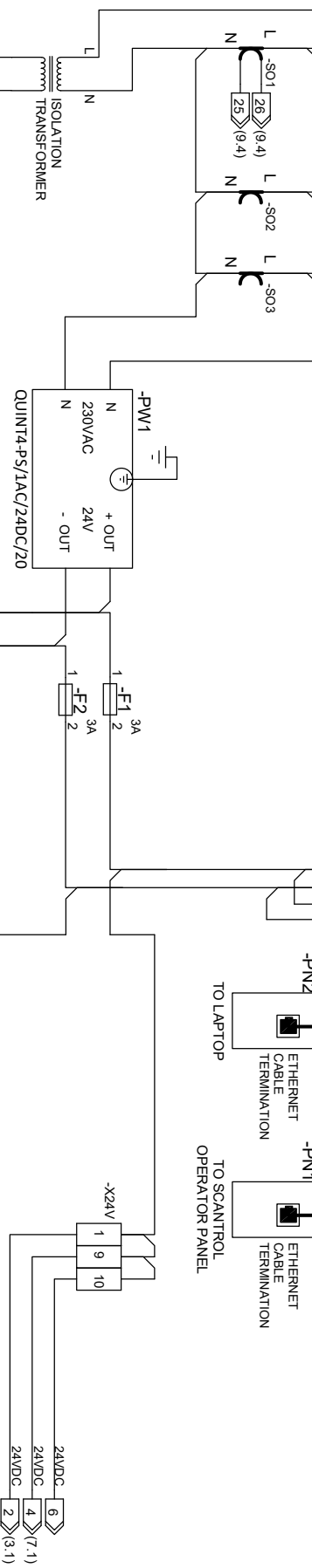
A

A



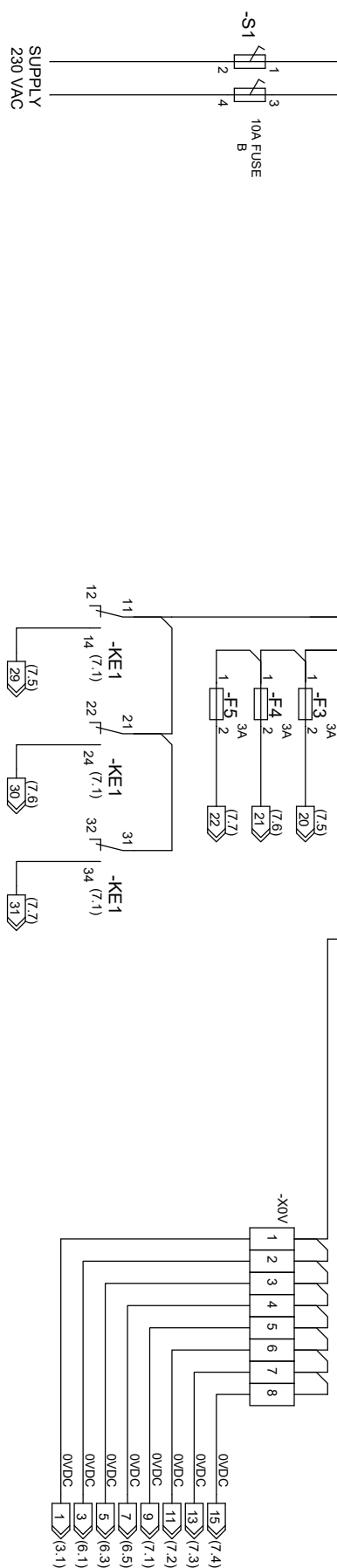
B

B



C

C



D

D

	Date	14.03.2023	Perf. by	SA
	Appl. by			
Ver.	Revision	Date	Sign.	Norm

SCANTROLPOWER DISTRIBUTION
INTERNAL WIRINGProject no.
B023EB

Ver.

Drawing no.
Page 21:1 A3
B023EB-37-Bachelor

N.pg 3

1

2

3

4

5

6

7

8

PLC IP: 192.168.127.20	
-PWR1	
Term. 0 X-ref	Term. 1 X-ref
a1 (3.1)	a1 (6.3)
a2 (3.2)	a2 (4.3)
b1 (3.2)	b3 (4.3)
b2 (3.2)	b4 (4.3)

AXC F 2152

AXL F CNT2 INC2 1F

2 Ch. Counter Inputs

CNT2-P1

CNT2-P1	
Term. 0 X-ref	Term. 1 X-ref
a1 (3.5)	a1 (6.1)
a2 (3.5)	a2 (6.1)
b1 (3.5)	b1 (6.2)
b2 (3.5)	b2 (6.2)

AXL F CNT2 INC2 1F	
2 Ch. Counter Inputs	
Term. 0 X-ref	Term. 1 X-ref
a1 (3.5)	a1 (6.1)
a2 (3.5)	a2 (6.1)
b1 (3.5)	b1 (6.2)
b2 (3.5)	b2 (6.2)

B

4 CH. AN OUTPUT

AO4 -P3

AO4 -P3	
Term. 0 X-ref	Term. 1 X-ref
a1 (3.6)	a1 (6.1)
a2 (3.6)	a2 (6.1)
b1 (3.6)	b1 (6.2)
b2 (3.6)	b2 (6.2)

CNT2-P2	
Term. 0 X-ref	Term. 1 X-ref
a1 (3.5)	a1 (5.1)
a2 (3.5)	a2 (5.1)
b1 (3.5)	b1 (5.2)
b2 (3.5)	b2 (5.2)

AXL F AO4 1H	
4 CH. AN OUTPUT	
Term. 0 X-ref	Term. 1 X-ref
a1 (3.5)	a1 (5.1)
a2 (3.5)	a2 (5.1)
b1 (3.5)	b1 (5.2)
b2 (3.5)	b2 (5.2)

B

8 CH. DIG. INPUT / 8 CH. DIG. OUTPUT

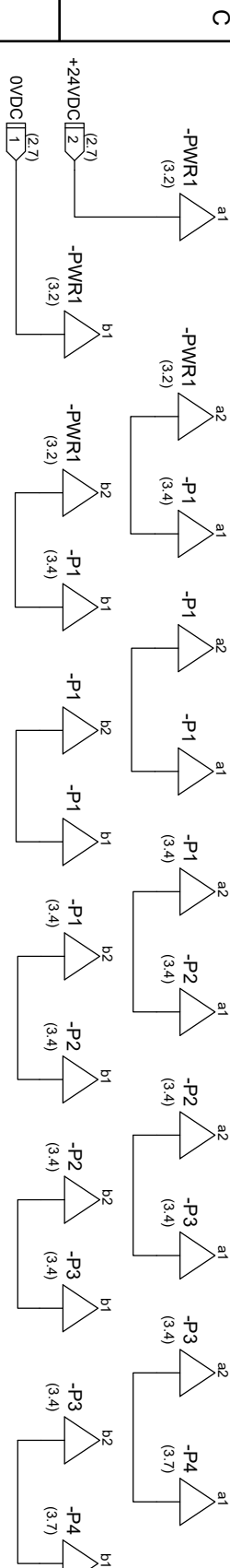
DI8/DO8 -P4

DI8/DO8 -P4	
Term. 0 X-ref	Term. 1 X-ref
a1 (3.7)	a1 (7.1)
a2 (3.7)	a2 (7.1)
b1 (3.7)	b1 (7.2)
b2 (3.7)	b2 (7.2)

AXL F DI8/1 DO8/1 1H	
8 CH. DIG. INPUT / 8 CH. DIG. OUTPUT	
Term. 0 X-ref	Term. 1 X-ref
a1 (3.7)	a1 (7.1)
a2 (3.7)	a2 (7.1)
b1 (3.7)	b1 (7.2)
b2 (3.7)	b2 (7.2)

B

C



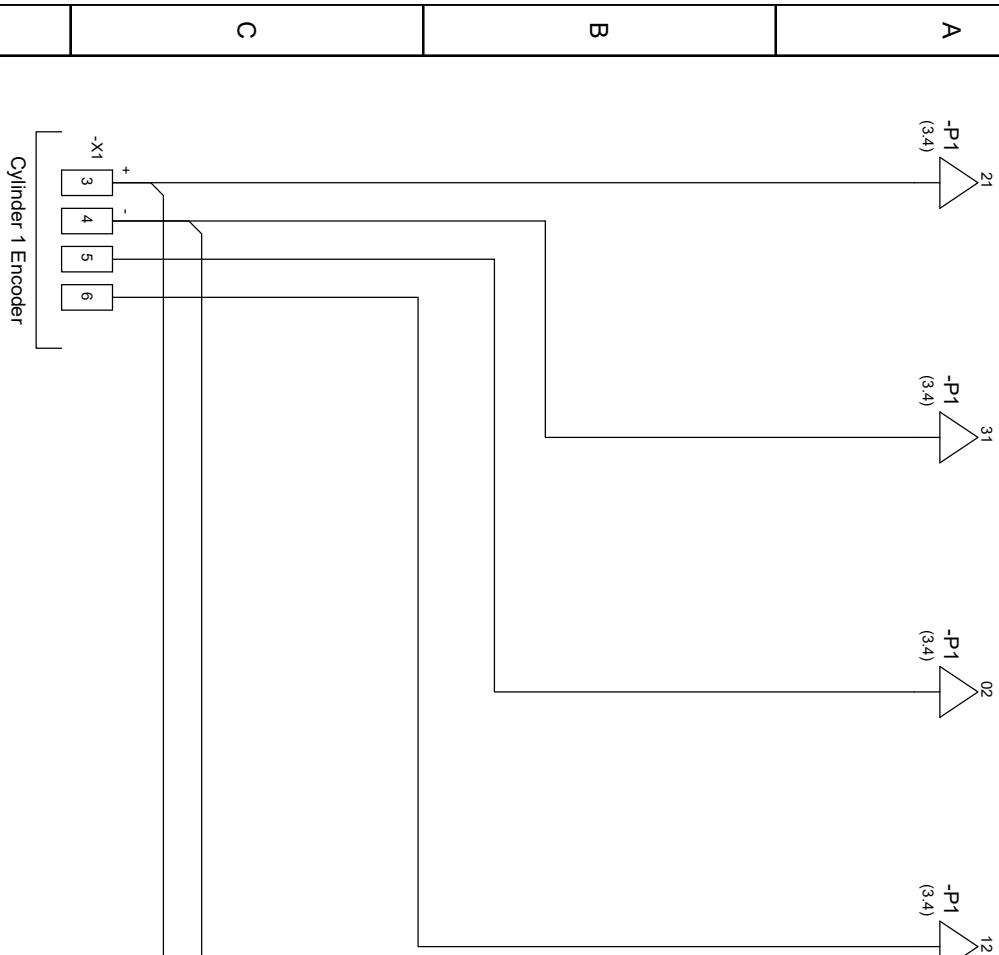
C

D

		Date	14.03.2023	Perf. by	SA	Scantrol Wave Simulation Platform	PLC REFERENCE INTERNAL WIRING	Project no.	B023EB	Ver.	
Ver.	Revision	Date	Sign..	Original	Repl. for	Repl. of		Scale	Drawing no.	Page	3
			Norm					1:1 A3	B023EB-37-Bachelor	N pag.	4

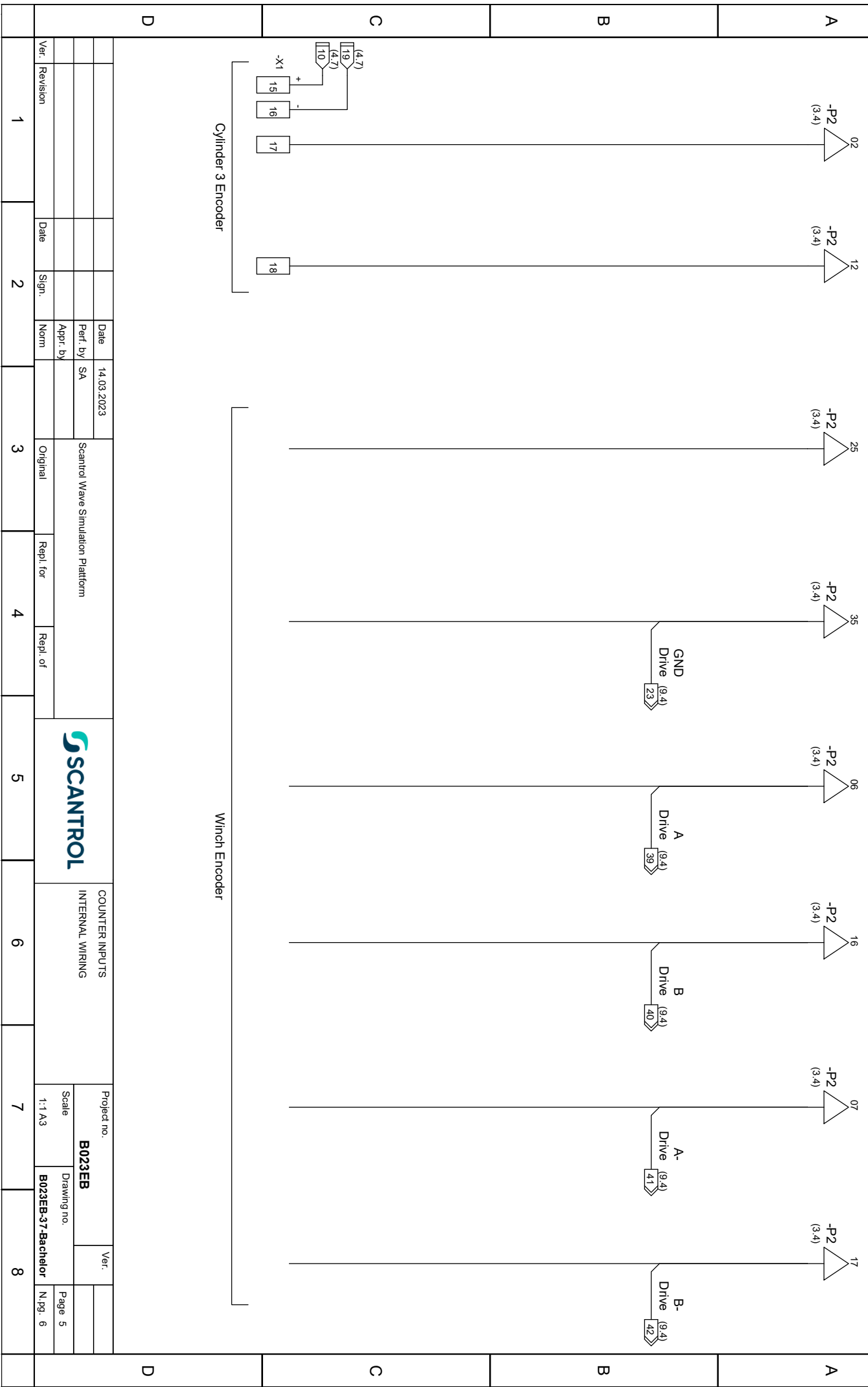
D

1	2	3	4	5	6	7	8
US1	GND	A1	INC1 - B1	INC2 - A2	INC2 - B2		
COUNTER 1	COUNTER 1	COUNTER 1	COUNTER 1	COUNTER 2	COUNTER 2		



Project no.		Ver.	
B023EB			
Scale	Drawing no.	Page	4
1:1 A3	B023EB-37-Bachelor	N	pg 5
Ver.	Date	Sign.	Norm
1	2	3	4

1	2	3	4	5	6	7	8
INC1 - A1	INC1 - B1	US2	GND	INC2 - A2	INC2 - B2	INC2 - /A2	INC2 - /B2
COUNTER 1	COUNTER 1	COUNTER 2	COUNTER 2				



1	2	3	4	5	6	7	8
SPEED REF CYLINDER 1		SPEED REF CYLINDER 2		SPEED REF CYLINDER 3			
+/- 10V Output CH1		+/- 10V Output CH2		+/- 10V Output CH3			

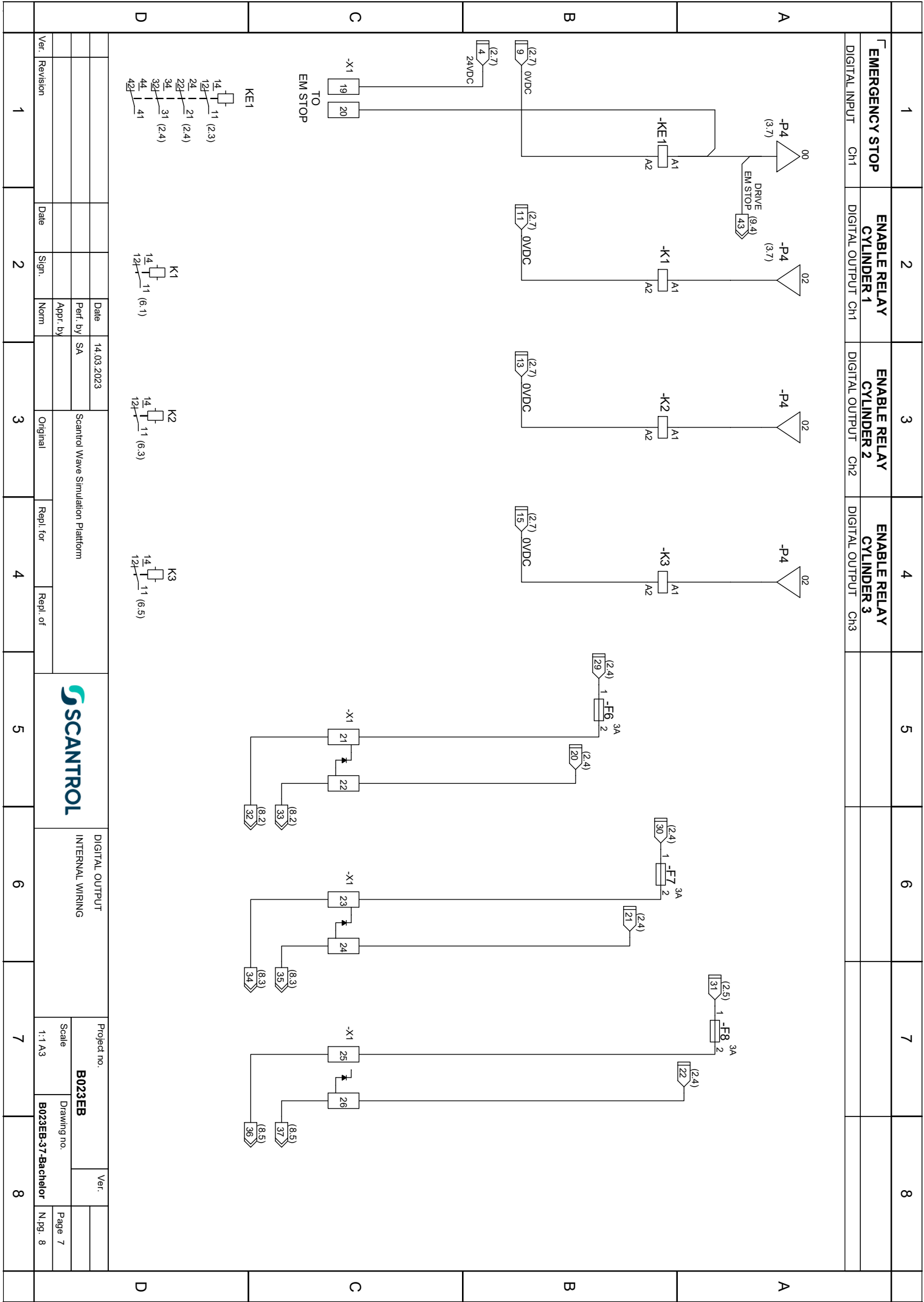
A

B

C

D

Date	14.03.2023	Perf. by	SA	Scantrol Wave Simulation Platform	Project no.	B023EB	Ver.	
Appr. by					INTERNAL WIRING		Scale	Drawing no.
Ver.		Original	Repl. for	Repl. of		1:1 A3	B023EB-37-Bachelor	Page 6
Revision	Date	Sign.	Norm				N. pag.	7
1	2	3	4	5	6	7	8	



1

2

3

4

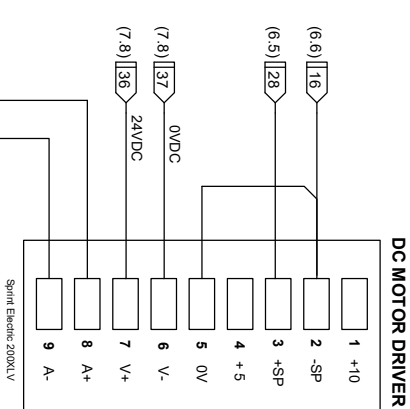
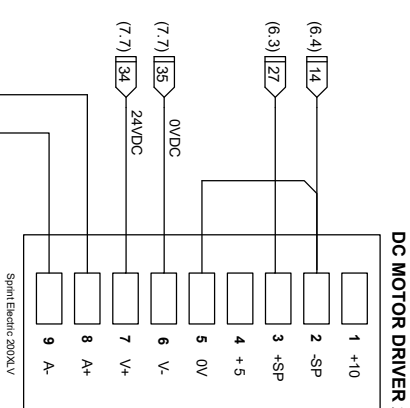
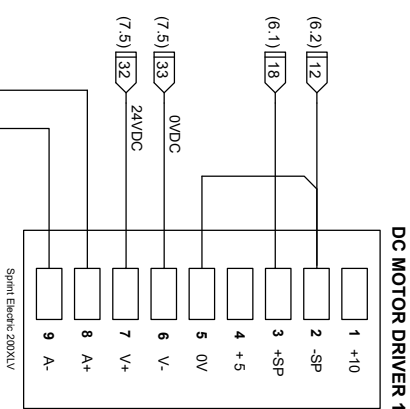
5

6

7

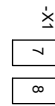
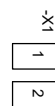
8

A



C

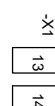
CYLINDER 1 DC MOTOR



CYLINDER 2 DC MOTOR



CYLINDER 3 DC MOTOR



D

		Date	14.03.2023
		Perf. by	SA
		Appl'd by	
Ver.	Revision	Date	Sign..

Scantrol Wave Simulation Platform

SCANTROL

INTERNAL WIRING

Project no.
B023EB

Ver.

Scale
1:1 A3Drawing no.
B023EB-37-Bachelor

Page 8

N.pg 9

C

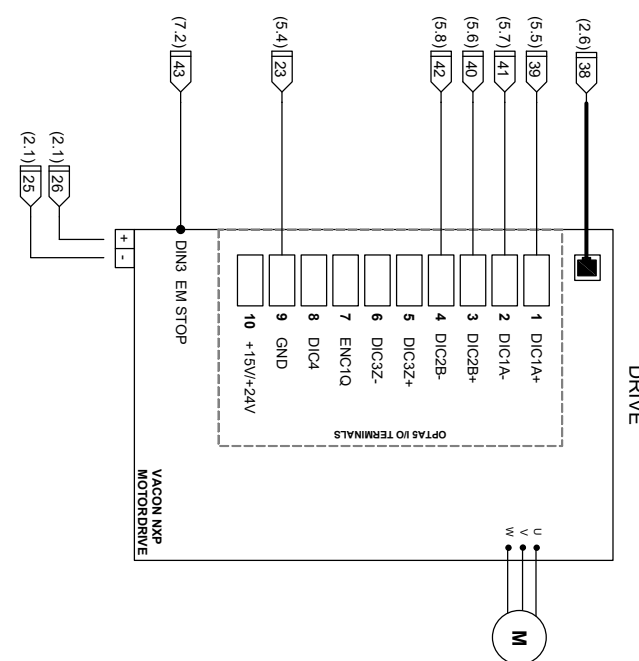
D

1	2	3	4	5	6	7	8
---	---	---	---	---	---	---	---

1	2	3	4	5	6	7	8
---	---	---	---	---	---	---	---

A

A



C

C

D

D

Date 14.03.2023	Perf. by SA	Appl. by	Ver. Revision	Date	Sign.	Original	Rep. for	Rep. of
-----------------	-------------	----------	---------------	------	-------	----------	----------	---------

1	2	3	4	5	6	7	8
---	---	---	---	---	---	---	---

15 Appendiks G - Kildekode HMI(C#)

Dette vedlegget inneholder kildekoden til HMI. Den er programmert i C# WPF, og inneholder følgende klasser.

- PlattformUI.xaml.cs
- PLC_Com.cs
- DataFromPLC.cs
- DataToPLC.cs
- Logfile.cs

15.1 PlattformUI.xaml.cs

```
1 using System.Windows;
2 using System.IO;
3 using Microsoft.Win32;
4 using System.Collections.Generic;
5 using System;
6 using FieldTalk.Modbus.Master;
7 using System.Windows.Controls;
8 using MaterialDesignThemes.Wpf;
9 using System.Threading;
10 using System.Transactions;
11 using System.Windows.Media;
12 using MaterialDesignColors;
13 using System.Drawing;
14 using LiveCharts;
15 using LiveCharts.Definitions.Series;
16 using LiveCharts.Wpf;
17 using LiveCharts.Helpers;
18 using System.Collections.ObjectModel;
19 using LiveCharts.Defaults;
20 using ScottPlot;
21 using System.Linq;
22
23 namespace Plattform_UI
24 {
25
26     //*****
27     Code information:
28     PlattformUI.xaml.cs class
29
30     All code linked to GUI operations is defined here.
31
32     Author: Sander V. Andersen and Lars Askild S. Aarvik
33     Date: 19.05.2023
34     *****/
35
36
37
38     // Delegates
39     public delegate void UpdateGUIDelegate();
40     public delegate void StopPlattformDelegate(OperationMode OpMode);
41     public delegate void AnimateProgressSubmitDelegate(double value);
42     public delegate void UpdateProgressLogFileStartDelegate(double value, bool disableBtn);
43     public delegate void CloseMbusProtocolDelegate();
44     public delegate void UpdatedLivePlotsDelegate();
45     public delegate void ClearAllPlotsDelegate();
46
47     /// <summary>
48     /// Interaction logic for MainWindow.xaml
49     /// </summary>
50     public partial class PlattformUI : Window
51     {
52         // Variables for scotplots
53         const double Plt_SampleRate_Read_Sim = 17; // Samples per second
54         const double Plt_SampleRate_Read_Log = 6.7;
55         const double Plt_SampleRate_Logfile = 10; // Sample per second
56         const int MaxDataPoints_Sim = 512; //3000;
57         const int MaxDataPoints_Log = 202;
58         int MaxDataPoints = 0;
59         int datapoints = 0;
60         public float[] Plt_Roll_pitch_Pos_data;
61         public float[] Plt_Heave_Pos_data;
62         public float[] Plt_Winch_Pos_data;
63         public float[] Plt_Mp_Pos_data;
64         public float[] Plt_Load_Pos_data;
65         public ScottPlot.Plotable.SignalPlotGeneric<float> Signal_Plt_Heave;
66         public ScottPlot.Plotable.SignalPlotGeneric<float> Signal_Plt_Roll_Pitch;
67         public ScottPlot.Plotable.SignalPlotGeneric<float> Signal_Plt_Winch_Pos;
```

```

68     public ScottPlot.Plotable.SignalPlotGeneric<float> Signal_Plt_Mp_Pos;
69     public ScottPlot.Plotable.SignalPlotGeneric<float> Signal_Plt_Load_Pos;
70
71     //Defining colors
72     const string BackgroundColor_hex = "#FF303030";
73     const string LineColor_hex = "#FF03A9F4";
74     System.Drawing.Color Line_color_Blue;
75     System.Drawing.Color Line_color_Red;
76     System.Drawing.Color Plt_BackgroundColor;
77
78
79     // Public variables and constants
80     PLC_Com pLC_Com;
81     OperationMode OpMode;
82     Command command;
83
84     public static double PlattformCC = 0.425; // Center - Center distance between front/
85     rear cylinders. (m)
86     public static double MaxCylinderHeight = 0.30; // Max cylinder height (m)
87     public static double MaxSpeedCylinder = 0.0469; // Max speed of the slowest cylinder (1
88     ) m/s
89     const double MAXLOGFILELENGTH = 13; // Max logfile length possible to send
90     float TipVectX;
91     float TipVectY;
92     float TipVectZ;
93
94     public PlattformUI()
95     {
96         InitializeComponent();
97
98         // Initializing tipvectors
99         TipVectX = Convert.ToSingle(tb_CraneTip_xPos.Text);
100        TipVectY = Convert.ToSingle(tb_CraneTip_yPos.Text);
101        TipVectZ = Convert.ToSingle(tb_CraneTip_zPos.Text);
102
103        // Initialize scotplots
104        // Background color
105        Line_color_Blue = System.Drawing.ColorTranslator.FromHtml(LineColor_hex);
106        Line_color_Red = System.Drawing.ColorTranslator.FromHtml("#FFF11616");
107        Plt_BackgroundColor = System.Drawing.ColorTranslator.FromHtml(BackgroundColor_hex);
108
109        // Scotplot design style
110
111        // Disable zoom and pan
112        SctPlt_HeavePos.Configuration.Zoom = false;
113        SctPlt_Roll_Pitch_Pos.Configuration.Zoom = false;
114        SctPlt_WinchPos.Configuration.Zoom = false;
115        SctPlt_MpPos.Configuration.Zoom = false;
116        SctPlt_LoadPos.Configuration.Zoom = false;
117        SctPlt_HeavePos.Configuration.Pan = false;
118        SctPlt_Roll_Pitch_Pos.Configuration.Pan = false;
119        SctPlt_WinchPos.Configuration.Pan = false;
120        SctPlt_MpPos.Configuration.Pan = false;
121        SctPlt_LoadPos.Configuration.Pan = false;
122
123        // Design heave
124        SctPlt_HeavePos.Plot.XAxis.TickDensity(1);
125        SctPlt_HeavePos.Plot.Style(background: Plt_BackgroundColor, dataBackground:
126        Plt_BackgroundColor, axisLabel: System.Drawing.Color.LightGray, tick: System.Drawing.Color.
127        LightGray); //System.Drawing.Color.LightGray);
128        SctPlt_HeavePos.Plot.Grid(color: System.Drawing.Color.LightGray, lineStyle:
129        LineStyle.Solid);
130        SctPlt_HeavePos.Plot.XLabel("Time [s]");
131        SctPlt_HeavePos.Plot.YLabel("Position [m]");
132        SctPlt_HeavePos.Plot.YAxis2.Line(false);
133        SctPlt_HeavePos.Plot.XAxis2.Line(false);
134
135        // Design roll/pitch
136        SctPlt_Roll_Pitch_Pos.Plot.XAxis.TickDensity(1);
137        SctPlt_Roll_Pitch_Pos.Plot.Style(background: Plt_BackgroundColor,
138        dataBackground: Plt_BackgroundColor, axisLabel: System.Drawing.Color.LightGray, tick:
139        System.Drawing.Color.LightGray); //System.Drawing.Color.LightGray);
140        SctPlt_Roll_Pitch_Pos.Plot.Grid(color: System.Drawing.Color.LightGray, lineStyle:
141        LineStyle.Solid);
142        SctPlt_Roll_Pitch_Pos.Plot.XLabel("Time [s]");
143        SctPlt_Roll_Pitch_Pos.Plot.YLabel("Angle [deg]");
144        SctPlt_Roll_Pitch_Pos.Plot.YAxis2.Line(false);
145        SctPlt_Roll_Pitch_Pos.Plot.XAxis2.Line(false);
146
147        // Design Winch pos
148        SctPlt_WinchPos.Plot.XAxis.TickDensity(1);
149        SctPlt_WinchPos.Plot.Style(background: Plt_BackgroundColor, dataBackground:
150        Plt_BackgroundColor, axisLabel: System.Drawing.Color.LightGray, tick: System.Drawing.Color.
151        LightGray); //System.Drawing.Color.LightGray);
152        SctPlt_WinchPos.Plot.Grid(color: System.Drawing.Color.LightGray, lineStyle:
153        LineStyle.Solid);
154        SctPlt_WinchPos.Plot.XLabel("Time [s]");
155        SctPlt_WinchPos.Plot.YLabel("Position [m]");
156        SctPlt_WinchPos.Plot.YAxis2.Line(false);
157        SctPlt_WinchPos.Plot.XAxis2.Line(false);

```

```

148         SctPlt_WinchPos.Plot.YAxis.TickLabelNotation(invertSign: true);
149
150         // Design Mp pos
151         SctPlt_MpPos.Plot.XAxis.TickDensity(1);
152         SctPlt_MpPos.Plot.Style(figureBackgroundColor: Plt_BackgroundColor, dataBackgroundColor:
153         Plt_BackgroundColor, axisLabel: System.Drawing.Color.LightGray, tick: System.Drawing.Color.
154         LightGray); //System.Drawing.Color.LightGray;
155         SctPlt_MpPos.Plot.Grid(color: System.Drawing.Color.LightGray, lineStyle: LineStyle.
156         Solid);
157         SctPlt_MpPos.Plot.XLabel("Time [s]");
158         SctPlt_MpPos.Plot.YLabel("Position [m]");
159         SctPlt_MpPos.Plot.YAxis2.Line(false);
160         SctPlt_MpPos.Plot.XAxis2.Line(false);
161         SctPlt_MpPos.Plot.YAxis.TickLabelNotation(invertSign: true);
162
163         // Design Load pos
164         SctPlt_LoadPos.Plot.XAxis.TickDensity(1);
165         SctPlt_LoadPos.Plot.Style(figureBackgroundColor: Plt_BackgroundColor, dataBackgroundColor:
166         Plt_BackgroundColor, axisLabel: System.Drawing.Color.LightGray, tick: System.Drawing.Color.
167         LightGray); //System.Drawing.Color.LightGray;
168         SctPlt_LoadPos.Plot.Grid(color: System.Drawing.Color.LightGray, lineStyle:
169         LineStyle.Solid);
170         SctPlt_LoadPos.Plot.XLabel("Time [s]");
171         SctPlt_LoadPos.Plot.YLabel("Position [m]");
172         SctPlt_LoadPos.Plot.YAxis2.Line(false);
173         SctPlt_LoadPos.Plot.XAxis2.Line(false);
174         SctPlt_LoadPos.Plot.YAxis.TickLabelNotation(invertSign: true);
175
176         // Initialize variables
177         PLC_Com = new PLC_Com();
178         OpMode = OperationMode.Manual;
179         command = Command.Stop;
180
181         // Initialize winch plot
182         Plt_Winch_Pos_data = new float[MaxDataPoints_Sim];
183         Signal_Plt_Winch_Pos = SctPlt_WinchPos.Plot.AddSignal(Plt_Winch_Pos_data,
184         Plt_SampleRate_Read_Sim);
185         SctPlt_WinchPos.Refresh();
186
187         // Initialize Mp Pos plot
188         Plt_Mp_Pos_data = new float[MaxDataPoints_Sim];
189         Signal_Plt_Mp_Pos = SctPlt_MpPos.Plot.AddSignal(Plt_Mp_Pos_data,
190         Plt_SampleRate_Read_Sim);
191         SctPlt_MpPos.Refresh();
192
193         // Initialize Load Pos plot
194         Plt_Load_Pos_data = new float[MaxDataPoints_Sim];
195         Signal_Plt_Load_Pos = SctPlt_LoadPos.Plot.AddSignal(Plt_Load_Pos_data,
196         Plt_SampleRate_Read_Sim);
197         SctPlt_LoadPos.Refresh();
198
199     }
200
201     private void Window_Closing(object sender, System.ComponentModel.CancelEventArgs e)
202     {
203         // Close modbus protocol when closing window
204         CloseModbusProtocol();
205     }
206
207     private void btn_chooseFile_Click(object sender, RoutedEventArgs e)
208     {
209         // select logfile and read data from file
210         OpenFileDialog ofd = new OpenFileDialog();
211         {
212             Title = "Browse for MRU log file",
213             Filter = "csv files (*.csv)|*.csv|All files (*.*)|*.*",
214             FilterIndex = 1,
215             RestoreDirectory = true,
216             CheckFileExists = true,
217             CheckPathExists = true
218         };
219
220         if(ofd.ShowDialog() == true)
221         {
222             tb_NoFileChoosen.Text = "";
223             tb_Filename.Text = "Filename: " + ofd.SafeFileName;
224
225             PLC_Com.DataToPlc.Logfile.FileName = ofd.FileName;
226             if (PLC_Com.DataToPlc.Logfile.GetLogfileLength() < 26) sl_length_LogFile.
227             Maximum = PLC_Com.DataToPlc.Logfile.GetLogfileLength() - 1;
228             else sl_length_LogFile.Maximum = 25;
229
230             // Read data from file
231             PLC_Com.DataToPlc.Logfile.UpdateLogLength(sl_length_LogFile.Maximum + 1);
232             PLC_Com.DataToPlc.Logfile.ReadDataFromFile();
233
234             Grid_LogfileInfo.Visibility = Visibility.Visible;
235             btn_Logfile_submit.IsEnabled = true;
236         }
237     }
238
239     public void btn_Connect_Click(object sender, RoutedEventArgs e)

```

```

229     {
230         // Connect/disconnect modbus com to PLC
231
232         int result = 0;
233
234         // Connect to PLC
235         if (!pLC_Com.ModbusProtocol.isOpen())
236         {
237             bool error = CheckValidIP(tb_IPAddress.Text);
238
239             if (error) MessageBox.Show("Error!", "Not a valid IP address. Try again!");
240             else
241             {
242                 result = pLC_Com.OpenProtocol(tb_IPAddress.Text);
243                 tb_Com_Status.Text = "OpenProtocol: " + BusProtocolErrors.
244                 getBusProtocolErrorText(result);
245
246                 if (result == BusProtocolErrors.FTALK_SUCCESS)
247                 {
248                     // Enable buttons
249                     btn_Reset_Manual.IsEnabled = true;
250                     btn_Reset_Sim.IsEnabled = true;
251                     btn_Reset_Log.IsEnabled = true;
252                     btn_Reset_Length.IsEnabled = true;
253
254                     btn_Connect.Content = "Disconnect";
255
256                     //Reset alla alarms
257                     lv_Alarms.Items.Clear();
258
259                     // Uncomment to start read from PLC
260                     pLC_Com.StartDataReciver(this);
261                 }
262                 else
263                 {
264                     MessageBox.Show(BusProtocolErrors.getBusProtocolErrorText(result), "Error!");
265                 }
266             }
267             // Disconnect from PLC
268             else
269             {
270                 // Close protocol
271                 CloseMbusProtocol();
272             }
273         }
274
275         public void CloseMbusProtocol()
276         {
277             // Close protocol
278             pLC_Com.CloseProtocol();
279
280             // Disable/enable buttons
281             DisableAllButtons();
282
283             btn_Connect.Content = "Connect";
284             tb_Com_Status.Text = "Disconnected";
285         }
286
287         void DisableAllButtons()
288         {
289             btn_Start_Sim.IsEnabled = false;
290             btn_Reset_Sim.IsEnabled = false;
291             btn_Stop_Sim.IsEnabled = false;
292             btn_Start_Log.IsEnabled = false;
293             btn_Reset_Log.IsEnabled = false;
294             btn_Stop_Log.IsEnabled = false;
295             btn_Stop_Manual.IsEnabled = false;
296             btn_Reset_Manual.IsEnabled = false;
297             btn_Start_Manual.IsEnabled = false;
298             btn_Reset_Length.IsEnabled = false;
299         }
300
301         bool CheckValidIP(string text)
302         {
303             // Checks for valid IP address, returns false if not valid
304             if (String.IsNullOrWhiteSpace(text))
305             {
306                 return true;
307             }
308
309             string[] splitValues = text.Split('.');
310             if (splitValues.Length != 4)
311             {
312                 return true;
313             }
314
315             return false;
316         }
317

```

```

318     private void btn_info_xPos_Click(object sender, RoutedEventArgs e)
319     {
320         // Show infocard
321         infoCardVisibility(Crd_info_xPos);
322     }
323
324     private void btn_info_yPos_Click(object sender, RoutedEventArgs e)
325     {
326         // Show infocard
327         infoCardVisibility(Crd_info_yPos);
328     }
329
330     private void btn_info_zPos_Click(object sender, RoutedEventArgs e)
331     {
332         // Show infocard
333         infoCardVisibility(Crd_info_zPos);
334     }
335
336     void infoCardVisibility(MaterialDesignThemes.Wpf.Card infoCard)
337     {
338         // toggle infocard visibility
339         if (infoCard.Visibility == Visibility.Collapsed) infoCard.Visibility = Visibility.Visible;
340         else infoCard.Visibility = Visibility.Collapsed;
341     }
342
343     private void btn_Start_Sim_Click(object sender, RoutedEventArgs e)
344     {
345         // Set data and send to PLC
346         int result = pLC_Com.SendData(OperationMode.Simulated, Command.Start, (float)sl_Amplitude_sim.Value / 100,
347             (float)sl_Period_sim.Value, (float)sl_PhaseDiff_sim.Value, 0, 0, 0, 0, 0);
348
349         // Check if data is sent successfully and disable/enable buttons if sucess.
350         if(result == BusProtocolErrors.FTALK_SUCCESS)
351         {
352             Btn_Start_Stop_Reset_Click(Command.Start);
353         }
354     }
355
356     private void btn_Stop_Sim_Click(object sender, RoutedEventArgs e)
357     {
358         // Set data and send to PLC
359         int result = pLC_Com.SendData(OperationMode.Simulated, Command.Stop, 0, 0, 0, 0, 0, 0, 0, 0);
360
361         // Check if data is sent successfully and disable/enable buttons if sucess.
362         if (result == BusProtocolErrors.FTALK_SUCCESS)
363         {
364             Btn_Start_Stop_Reset_Click(Command.Stop);
365         }
366     }
367
368     private void btn_Reset_Sim_Click(object sender, RoutedEventArgs e)
369     {
370         // Set data and send to PLC
371         int result = pLC_Com.SendData(OperationMode.Simulated, Command.Reset, 0, 0, 0, 0, 0, 0, 0, 0);
372
373         // Check if data is sent successfully and disable/enable buttons if sucess.
374         if (result == BusProtocolErrors.FTALK_SUCCESS)
375         {
376             Btn_Start_Stop_Reset_Click(Command.Reset);
377         }
378     }
379
380     private void btn_Start_Manual_Click(object sender, RoutedEventArgs e)
381     {
382         // Set data and send to PLC
383         int result = pLC_Com.SendData(OperationMode.Manual, Command.Start, 0, 0, 0,
384             (float)sl_HeavePos_Manual.Value / 100, (float)sl_RollAngle_Manual.Value, 0, 0);
385
386         // Check if data is sent successfully and disable/enable buttons if sucess.
387         if (result == BusProtocolErrors.FTALK_SUCCESS)
388         {
389             Btn_Start_Stop_Reset_Click(Command.Start);
390         }
391     }
392
393     private void btn_Start_Log_Click(object sender, RoutedEventArgs e)
394     {
395         // Clear all plots on start
396         ClearAllPlots();
397         // Set data and send to PLC
398         int result = pLC_Com.SendData(OperationMode.Logfile, Command.Stop, 0, 0, 0, 0, 0, 0, 0, 0);
399
400         // Check if data is sent successfully and disable/enable buttons if sucess.
401         if (result == BusProtocolErrors.FTALK_SUCCESS)
402         {
403             Btn_Start_Stop_Reset_Click(Command.Start);
404         }
405     }

```

```

404     }
405 }
406
407     private void btn_Stop_Manual_Click(object sender, RoutedEventArgs e)
408     {
409         // Set data and send to PLC
410         int result = PLC_Com.SendData(OperationMode.Manual, Command.Stop, 0, 0, 0, 0, 0, 0,
411         0);
412
413         // Check if data is sent successfully and disable/enable buttons if sucess.
414         if (result == BusProtocolErrors.FTALK_SUCCESS)
415         {
416             Btn_Start_Stop_Reset_click(Command.Stop);
417         }
418
419     private void btn_Stop_Log_Click(object sender, RoutedEventArgs e)
420     {
421         // Set data and send to PLC
422         int result = PLC_Com.SendData(OperationMode.Manual, Command.Stop, 0, 0, 0, 0, 0, 0,
423         0);
424
425         // Check if data is sent successfully and disable/enable buttons if sucess.
426         if (result == BusProtocolErrors.FTALK_SUCCESS)
427         {
428             Btn_Start_Stop_Reset_click(Command.Stop);
429         }
430
431     private void btn_Reset_Manual_Click(object sender, RoutedEventArgs e)
432     {
433         // Set data and send to PLC
434         int result = PLC_Com.SendData(OperationMode.Manual, Command.Reset, 0, 0, 0, 0, 0, 0,
435         0);
436
437         // Check if data is sent successfully and disable/enable buttons if sucess.
438         if (result == BusProtocolErrors.FTALK_SUCCESS)
439         {
440             Btn_Start_Stop_Reset_click(Command.Reset);
441         }
442
443     private void btn_Reset_Log_Click(object sender, RoutedEventArgs e)
444     {
445         // Set data and send to PLC
446         int result = PLC_Com.SendData(OperationMode.Manual, Command.Reset, 0, 0, 0, 0, 0, 0,
447         0);
448
449         // Check if data is sent successfully and disable/enable buttons if sucess.
450         if (result == BusProtocolErrors.FTALK_SUCCESS)
451         {
452             Btn_Start_Stop_Reset_click(Command.Reset);
453         }
454
455     void Btn_Start_Stop_Reset_Click(Command cmd)
456     {
457         // Enable/Disable buttons based on button click
458         switch (cmd)
459         {
460             case Command.Stop:
461                 btn_Stop_Manual.IsEnabled = false;
462                 btn_Stop_Log.IsEnabled = false;
463                 btn_Stop_Sim.IsEnabled = false;
464                 btn_Start_Manual.IsEnabled = true;
465                 btn_Start_Sim.IsEnabled = true;
466                 btn_Start_Log.IsEnabled = true;
467                 btn_Reset_Manual.IsEnabled = true;
468                 btn_Reset_Sim.IsEnabled = true;
469                 btn_Reset_Log.IsEnabled = true;
470                 break;
471             case Command.Start:
472                 btn_Start_Manual.IsEnabled = false;
473                 btn_Start_Log.IsEnabled = false;
474                 btn_Reset_Manual.IsEnabled = false;
475                 btn_Start_Sim.IsEnabled = false;
476                 btn_Reset_Log.IsEnabled = false;
477                 btn_Reset_Sim.IsEnabled = false;
478                 btn_Stop_Manual.IsEnabled = true;
479                 btn_Stop_Log.IsEnabled = true;
480                 btn_Stop_Sim.IsEnabled = true;
481                 break;
482             case Command.Reset:
483                 btn_Reset_Sim.IsEnabled = false;
484                 btn_Reset_Log.IsEnabled = false;
485                 btn_Reset_Manual.IsEnabled = false;
486                 btn_Start_Log.IsEnabled = false;
487                 btn_Start_Sim.IsEnabled = false;
488                 btn_Start_Log.IsEnabled = false;
489                 btn_Stop_Manual.IsEnabled = true;
490                 btn_Stop_Log.IsEnabled = true;

```

```

491             btn_Stop_Sim.IsEnabled = true;
492             break;
493         default:
494             break;
495     }
496 }
497
498
499
500 public void UpdateGUI()
501 {
502     // Updates GUI with data from PLC
503
504     // Update sliders with cylinder positions
505     sl_PV_Cyl1.Value = pLC_Com.DataFromPlc.Cyl1Pos * 100;
506     tb_PV_Cyl1.Text = (pLC_Com.DataFromPlc.Cyl1Pos * 100).ToString("#.#");
507     sl_PV_Cyl2.Value = pLC_Com.DataFromPlc.Cyl2Pos * 100;
508     tb_PV_Cyl2.Text = (pLC_Com.DataFromPlc.Cyl2Pos * 100).ToString("#.#");
509     sl_PV_Cyl3.Value = pLC_Com.DataFromPlc.Cyl3Pos * 100;
510     tb_PV_Cyl3.Text = (pLC_Com.DataFromPlc.Cyl3Pos * 100).ToString("#.#");
511
512     // Update service tab with platform/winch data
513     tb_Cyl1Spd.Text = pLC_Com.DataFromPlc.Cyl1Spd.ToString("0.####");
514     tb_Cyl2Spd.Text = pLC_Com.DataFromPlc.Cyl2Spd.ToString("0.####");
515     tb_Cyl3Spd.Text = pLC_Com.DataFromPlc.Cyl3Spd.ToString("0.####");
516     tb_Wire_Length.Text = pLC_Com.DataFromPlc.WinchPos.ToString("0.##");
517     tb_Winch_Spd.Text = pLC_Com.DataFromPlc.WinchSpd.ToString("0.##");
518
519     // Update WinchOpMode
520     switch (pLC_Com.DataFromPlc.OpModeWinch)
521     {
522         case OperationModeWinch.Standby:
523             btn_WinchOpMode_AHCTab.BorderBrush = new SolidColorBrush(Colors.DarkGreen);
524             btn_WinchOpMode_AHCTab.Content = "Standby";
525             btn_WinchOpMode_ManualTab.BorderBrush = new SolidColorBrush(Colors.
526             DarkGreen);
527             btn_WinchOpMode_ManualTab.Content = "Standby";
528             break;
529         case OperationModeWinch.Manual:
530             btn_WinchOpMode_AHCTab.BorderBrush = new SolidColorBrush(Colors.Yellow);
531             btn_WinchOpMode_AHCTab.Content = "Manual";
532             btn_WinchOpMode_ManualTab.BorderBrush = new SolidColorBrush(Colors.Yellow);
533             btn_WinchOpMode_ManualTab.Content = "Manual";
534             break;
535         case OperationModeWinch.AHC:
536             btn_WinchOpMode_AHCTab.BorderBrush = new SolidColorBrush(System.Windows.
537             Media.Color.FromArgb(0xFF, 0xF1, 0x16, 0x16));
538             btn_WinchOpMode_AHCTab.Content = "AHC";
539             btn_WinchOpMode_ManualTab.BorderBrush = new SolidColorBrush(System.Windows.
540             Media.Color.FromArgb(0xFF, 0xF1, 0x16, 0x16));
541             btn_WinchOpMode_ManualTab.Content = "AHC";
542             break;
543         case OperationModeWinch.Error:
544             btn_WinchOpMode_AHCTab.BorderBrush = new SolidColorBrush(System.Windows.
545             Media.Color.FromArgb(0xFF, 0xF1, 0x16, 0x16));
546             btn_WinchOpMode_AHCTab.Content = "Error";
547             btn_WinchOpMode_ManualTab.BorderBrush = new SolidColorBrush(System.Windows.
548             Media.Color.FromArgb(0xFF, 0xF1, 0x16, 0x16));
549             btn_WinchOpMode_ManualTab.Content = "Error";
550             break;
551         default:
552             break;
553     }
554
555     // Update winch position live plot
556     if (Plt_Winch_Pos_data != null && Plt_Winch_Pos_data.Length == MaxDataPoints_Sim)
557     {
558         if ((Signal_Plt_Winch_Pos != null) && !(float.IsNaN(pLC_Com.DataFromPlc.
559             WinchPos)) && (pLC_Com.DataFromPlc.WinchPos != float.NegativeInfinity) && (pLC_Com.
560             DataFromPlc.WinchPos != float.PositiveInfinity))
561         {
562             Array.Copy(Plt_Winch_Pos_data, 1, Plt_Winch_Pos_data, 0, MaxDataPoints_Sim
563             - 1); // shift the data buffer
564
565             Plt_Winch_Pos_data[MaxDataPoints_Sim - 1] = -pLC_Com.DataFromPlc.WinchPos;
566             // add the new data point at the end
567
568             // Flytte dette til initializing p_toppen???
569             SctPlt_WinchPos.Plot.AxisAuto(0, 0.05);
570             Signal_Plt_Winch_Pos.LineStyle = LineStyle.Solid;
571             Signal_Plt_Winch_Pos.LineWidth = 1.5;
572             Signal_Plt_Winch_Pos.FillBelow();
573             Signal_Plt_Winch_Pos.MarkerSize = 0;
574             Signal_Plt_Winch_Pos.LineColor = Line_color_Blue;
575
576             SctPlt_WinchPos.Refresh();
577         }
578     }
579
580     // Update Mp position live plot

```

```

573     float MpPos = GetMpPos(pLC_Com.DataFromPlc.Cyl1Pos, pLC_Com.DataFromPlc.Cyl2Pos,
574     pLC_Com.DataFromPlc.Cyl3Pos);
575     if (Plt_Mp_Pos_data != null && Plt_Mp_Pos_data.Length == MaxDataPoints_Sim)
576     {
577         if ((Signal_Plt_Mp_Pos != null) && !(float.IsNaN(MpPos)) && (MpPos != float.
578             NegativeInfinity) && (MpPos != float.PositiveInfinity))
579         {
580             Array.Copy(Plt_Mp_Pos_data, 1, Plt_Mp_Pos_data, 0, MaxDataPoints_Sim - 1);
581             // shift the data buffer
582             Plt_Mp_Pos_data[MaxDataPoints_Sim - 1] = MpPos; // add the new data point
583             at the end
584             //Update textbox
585             tb_Mp_Pos.Text = MpPos.ToString("0.##");
586
587             // Flytte dette til initializing p    toppen???
588             SctPlt_MpPos.Plot.AxisAuto(0, 0.05);
589             Signal_Plt_Mp_Pos.LineStyle = LineStyle.Solid;
590             Signal_Plt_Mp_Pos.LineWidth = 1.5;
591             Signal_Plt_Mp_Pos.FillBelow();
592             Signal_Plt_Mp_Pos.MarkerSize = 0;
593             Signal_Plt_Mp_Pos.LineColor = Line_color_Blue;
594
595             SctPlt_MpPos.Refresh();
596         }
597     }
598
599     // Update Load position live plot
600     if (Plt_Load_Pos_data != null && Plt_Load_Pos_data.Length == MaxDataPoints_Sim)
601     {
602         float LoadPos = GetLoadPos(pLC_Com.DataFromPlc.AHC_CenterPos, pLC_Com.
603         DataFromPlc.WinchPos, MpPos);
604         if ((Signal_Plt_Load_Pos != null) && !(float.IsNaN(LoadPos)) && (LoadPos !=
605             float.NegativeInfinity) && (LoadPos != float.PositiveInfinity))
606         {
607             Array.Copy(Plt_Load_Pos_data, 1, Plt_Load_Pos_data, 0, MaxDataPoints_Sim - 1);
608             // shift the data buffer
609             Plt_Load_Pos_data[MaxDataPoints_Sim - 1] = LoadPos; // add the new data
610             point at the end
611             //Update textbox
612             tb_Load_Pos.Text = LoadPos.ToString("0.##");
613
614             // Flytte dette til initializing p    toppen???
615             Signal_Plt_Load_Pos.LineStyle = LineStyle.Solid;
616             Signal_Plt_Load_Pos.LineWidth = 1.5;
617             Signal_Plt_Load_Pos.FillBelow();
618             Signal_Plt_Load_Pos.MarkerSize = 0;
619             if (pLC_Com.DataFromPlc.OpModeWinch == OperationModeWinch.AHC)
620             {
621                 Signal_Plt_Load_Pos.LineColor = Line_color_Red;
622                 SctPlt_LoadPos.Plot.SetAxisLimits(SctPlt_MpPos.Plot.GetAxisLimits());
623             }
624             else
625             {
626                 Signal_Plt_Load_Pos.LineColor = Line_color_Blue;
627                 SctPlt_LoadPos.Plot.AxisAuto(0, 0.05);
628             }
629
630             SctPlt_LoadPos.Refresh();
631         }
632     }
633
634     public void StopPlattform(OperationMode OpMode)
635     {
636         // Sets plattform in stop mode if Em stop is pressed.
637         switch (OpMode)
638         {
639             case OperationMode.Manual:
640                 btn_Stop_Manual_Click(new object(), new RoutedEventArgs());
641                 break;
642             case OperationMode.Simulated:
643                 btn_Stop_Sim_Click(new object(), new RoutedEventArgs());
644                 break;
645             case OperationMode.Logfile:
646                 btn_Stop_Log_Click(new object(), new RoutedEventArgs());
647                 break;
648             default:
649                 break;
650         }
651         // Add alarm to alarm history
652         lv_Alarms.Items.Add("Emergency stop      " + DateTime.Now);
653     }
654
655     private void sl_HeavePos_Manual_ValueChanged(object sender,
656     RoutedPropertyChangedEventArgs<double> e)
657     {
658         // Set limits to roll angle based on heave pos selection
659         //Check if value heavepos value is at max/min value. Then it needs to be manually
660         set to 0 because of 2degree margin that has been added to roll angle
661         if ((sl_HeavePos_Manual.Value != 0) && (sl_HeavePos_Manual.Value != 30))

```

```

654     {
655         if (sl_HeavePos_Manual.Value < 15)
656         {
657             sl_RollAngle_Manual.Maximum = Math.Floor((180 / Math.PI) * Math.Asin((2 * (sl_HeavePos_Manual.Value / 100)) / PlattformCC)) - 2;
658             sl_RollAngle_Manual.Minimum = -sl_RollAngle_Manual.Maximum;
659         }
660         else
661         {
662             sl_RollAngle_Manual.Maximum = Math.Floor((180 / Math.PI) * Math.Asin(((2 * MaxCylinderHeight) - (2 * (sl_HeavePos_Manual.Value / 100))) / PlattformCC)) - 2;
663             sl_RollAngle_Manual.Minimum = -sl_RollAngle_Manual.Maximum;
664         }
665     }
666     else
667     {
668         sl_RollAngle_Manual.Minimum = 0;
669         sl_RollAngle_Manual.Maximum = 0;
670     }
671     tb_min_RollAngle.Text = sl_RollAngle_Manual.Minimum.ToString();
672     tb_max_RollAngle.Text = sl_RollAngle_Manual.Maximum.ToString();
673 }
674
675 private void sl_Amplitude_sim_ValueChanged(object sender, RoutedEventArgs<double> e)
676 {
677     // Set limits for period based on heave pos selection
678     sl_Period_sim.Minimum = Math.Ceiling((sl_Amplitude_sim.Value * 0.5 * 0.01 * 2 * Math.PI) / MaxSpeedCylinder);
679 }
680
681 private void sl_Period_sim_ValueChanged(object sender, RoutedEventArgs<double> e)
682 {
683     // Set limits to amplitude based on periode selection
684     if ((Math.Floor(((sl_Period_sim.Value * MaxSpeedCylinder * 2) / (2 * Math.PI)) * 100) > 25) || (sl_Period_sim.Value == sl_Period_sim.Minimum)) sl_Amplitude_sim.Maximum = 25;
685     else sl_Amplitude_sim.Maximum = Math.Floor(((sl_Period_sim.Value * MaxSpeedCylinder * 2) / (2 * Math.PI)) * 100);
686 }
687
688
689 private void sl_Scale_RollPitch_Log_ValueChanged(object sender, RoutedEventArgs<double> e)
690 {
691     // Plot logfile data when slider is moved
692     if (sl_Scale_RollPitch_Log.Value != sl_Scale_RollPitch_Log.Maximum)
693     {
694         Calculate_Plot_Heave_Roll_Pitch((float)sl_Scale_Heave_Log.Value, (float)sl_Scale_RollPitch_Log.Value);
695     }
696 }
697
698
699 private void sl_Scale_Heave_Log_ValueChanged(object sender, RoutedEventArgs<double> e)
700 {
701     // Plot logfile data when slider is moved
702     if (sl_Scale_Heave_Log.Value != sl_Scale_Heave_Log.Maximum)
703     {
704         Calculate_Plot_Heave_Roll_Pitch((float)sl_Scale_Heave_Log.Value, (float)sl_Scale_RollPitch_Log.Value);
705
706         sl_Scale_RollPitch_Log.Maximum = Math.Floor( (((Math.Abs( (180 / Math.PI) * Math.Asin(((0.15 - pLC_Com.DataToPlc.Logfile.MaxHeavPos) * 2) / PlattformCC) ) - 2) / Math.Abs(pLC_Com.DataToPlc.Logfile.MaxAngle)) * 100) * 0.3);
707         if (sl_Scale_RollPitch_Log.Maximum < 100) sl_Scale_RollPitch_Log.Maximum = 100;
708     }
709 }
710
711 private void btn_Logfile_submit_Click(object sender, RoutedEventArgs e)
712 {
713     if (sl_length_LogFile.Value <= 0) MessageBox.Show("Error", "Select valid logfile length (>0)!");
714     else
715     {
716         Calculate_Plot_Heave_Roll_Pitch((float)sl_Scale_Heave_Log.Value, (float)sl_Scale_RollPitch_Log.Value);
717         ThreadPool.QueueUserWorkItem(Submit_Progress_Animation, null);
718     }
719 }
720
721 void Submit_Progress_Animation(object o)
722 {
723     // Animation for progres feedback
724     AnimateProgressSubmitDelegate APSD = new AnimateProgressSubmitDelegate(UpdateProgressSubmit);
725     for (int i = 0; i < 101; i++)
726     {
727         Dispatcher.Invoke(APSD, i);
728         Thread.Sleep(10);
729     }
730 }

```

```

729         }
730         Thread.Sleep(1000);
731         Dispatcher.Invoke(APSD, -1);
732     }
733
734     void UpdateProgressSubmit(double value)
735     {
736         // Animation for progres feedback
737         PrBar_Submit.Value = value;
738     }
739
740     public void UpdateProgressStartLogFile(double value, bool finished)
741     {
742         // Progres feedback on logfile start click... shows progres while data is sent to
PLC
743         ButtonProgressAssist.SetValue(btn_Start_Log, value);
744         prBar_LogfileSend.Value = value;
745         if (finished)
746         {
747             prBar_LogfileSend.Visibility = Visibility.Hidden;
748             // Set data and send to PLC
749             pLC_Com.SendData(OperationMode.Logfile, Command.Start, 0, 0, 0, 0, 0, 0, 0, 0);
750         }
751         else prBar_LogfileSend.Visibility = Visibility.Visible;
752     }
753
754
755
756     public void Calculate_Plot_Heave_Roll_Pitch(float HeaveScaleVal, float RollScaleVal)
757     {
758         // Calculates cylinder positions and velocities and plots heave and roll to HMI
759         pLC_Com.DataToPlc.Logfile.UpdateLogLength(sl_length_LogFile.Value);
760         //pLC_Com.DataToPlc.Logfile.ReadDataFromFile();
761         pLC_Com.DataToPlc.Logfile.Calculate_Scale_CylinderPosVel(tglbtn_UsePitch.IsChecked.
Value, HeaveScaleVal, RollScaleVal);
762
763
764         // Plot Logefile data heave pos
765         SctPlt_HeavePos.Plot.Clear();
766         Plt_Heave_Pos_data = pLC_Com.DataToPlc.Logfile.Heave_Pos_Scaled.ToArray();
767         Signal_Pltx_Heave = SctPlt_HeavePos.Plot.AddSignal(Plt_Heave_Pos_data,
Plt_SampleRate_Logfile);
768         Signal_Pltx_Heave.LineStyle = LineStyle.Solid;
769         Signal_Pltx_Heave.LineWidth = 1.5;
770         Signal_Pltx_Heave.FillBelow();
771         Signal_Pltx_Heave.MarkerSize = 0;
772         Signal_Pltx_Heave.LineColor = Line_color_Blue;
773         SctPlt_HeavePos.Plot.Style();
774         SctPlt_HeavePos.Refresh();
775
776
777
778         // Plot Logefile data roll/pitch
779         SctPlt_Roll_Pitch_Pos.Plot.Clear();
780         if (tglbtn_UsePitch.IsChecked.Value) Plt_Roll_pitch_Pos_data = pLC_Com.DataToPlc.
Logfile.Pitch_Angle_Scaled.ToArray();
781         else Plt_Roll_pitch_Pos_data = pLC_Com.DataToPlc.Logfile.Roll_Angle_Scaled.ToArray
();
782         Signal_Pltx_Roll_Pitch = SctPlt_Roll_Pitch_Pos.Plot.AddSignal(
Plt_Roll_pitch_Pos_data, Plt_SampleRate_Logfile);
783         Signal_Pltx_Roll_Pitch.LineStyle = LineStyle.Solid;
784         Signal_Pltx_Roll_Pitch.LineWidth = 1.5;
785         Signal_Pltx_Roll_Pitch.FillBelow();
786         Signal_Pltx_Roll_Pitch.MarkerSize = 0;
787         Signal_Pltx_Roll_Pitch.LineColor = Line_color_Blue;
788         SctPlt_Roll_Pitch_Pos.Refresh();
789     }
790
791
792     private void tglbtn_UsePitch_Click(object sender, RoutedEventArgs e)
793     {
794         if (tglbtn_UsePitch.IsChecked.Value) tb_ScaleRollPitch.Text = "Scale pitch";
795         else tb_ScaleRollPitch.Text = "Scale roll";
796         Calculate_Plot_Heave_Roll_Pitch(Convert.ToSingle(sl_Scale_Heave_Log.Value), Convert
.ToSingle(sl_Scale_RollPitch_Log.Value));
797     }
798
799
800     private void sl_length_LogFile_ValueChanged(object sender,
RoutedPropertyChangedEventArgs<double> e)
801     {
802         // Calculate scalefactor and plot data based on lgofile length selection
803         if (sl_length_LogFile.Value == 0)
804         {
805             SctPlt_HeavePos.Plot.Clear();
806             SctPlt_Roll_Pitch_Pos.Plot.Clear();
807         }
808         else
809         {
810             Calculate_Plot_Heave_Roll_Pitch(1, 1);
811             sl_Scale_Heave_Log.Maximum = Math.Floor(pLC_Com.DataToPlc.Logfile.

```

```

    MaxHeaveScaleSlider);
812     sl_Scale_Heave_Log.Value = sl_Scale_Heave_Log.Maximum;
813     sl_Scale_RollPitch_Log.Value = sl_Scale_RollPitch_Log.Maximum;
814     sl_Scale_Heave_Log.IsEnabled = true;
815     sl_Scale_RollPitch_Log.IsEnabled = true;
816   }
817 }
818
819   public void UpdateLivePlots()
820   {
821     // Update heave pos and roll angle plots with live data from PLC.
822     if (Plt_Heave_Pos_data != null && Plt_Roll_pitch_Pos_data != null &&
823     Plt_Heave_Pos_data.Length == MaxDataPoints && Plt_Roll_pitch_Pos_data.Length ==
824     MaxDataPoints)
825     {
826       float Heavpos = GetHeavePos(pLC_Com.DataFromPlc.Cyl1Pos, pLC_Com.DataFromPlc.
827       Cyl2Pos, pLC_Com.DataFromPlc.Cyl3Pos);
828       if ((Signal_Plt_Heave != null) && !(float.IsNaN(Heavpos)) && (Heavpos != float.
829       NegativeInfinity) && (Heavpos != float.PositiveInfinity))
830       {
831         Array.Copy(Plt_Heave_Pos_data, 1, Plt_Heave_Pos_data, 0, MaxDataPoints - 1)
832       ; // shift the data buffer
833       Plt_Heave_Pos_data[MaxDataPoints - 1] = Heavpos; // add the new data point
834       at the end
835     }
836   }
837
838
839   SctPlt_HeavePos.Plot.AxisAuto(0, 0.05);
840   Signal_Plt_Heave.LineStyle = LineStyle.Solid;
841   Signal_Plt_Heave.LineWidth = 1.5;
842   Signal_Plt_Heave.FillBelow();
843   Signal_Plt_Heave.MarkerSize = 0;
844   Signal_Plt_Heave.LineColor = Line_color_Blue;
845
846
847   SctPlt_Roll_Pitch_Pos.Plot.AxisAuto(0, 0.05);
848   Signal_Plt_Roll_Pitch.LineStyle = LineStyle.Solid;
849   Signal_Plt_Roll_Pitch.LineWidth = 1.5;
850   Signal_Plt_Roll_Pitch.FillBelow();
851   Signal_Plt_Roll_Pitch.MarkerSize = 0;
852   Signal_Plt_Roll_Pitch.LineColor = Line_color_Blue;
853
854   SctPlt_HeavePos.Refresh();
855   SctPlt_Roll_Pitch_Pos.Refresh();
856 }
857
858
859   public void ClearAllPlots()
860   {
861     // Clears heave and roll plots
862     SctPlt_HeavePos.Plot.Clear();
863     SctPlt_Roll_Pitch_Pos.Plot.Clear();
864     if (pLC_Com.DataToPlc.OpMode == OperationMode.Simulated)
865     {
866       MaxDataPoints = MaxDataPoints_Sim;
867       Plt_Heave_Pos_data = new float[MaxDataPoints_Sim];
868       Plt_Roll_pitch_Pos_data = new float[MaxDataPoints_Sim];
869       Signal_Plt_Heave = SctPlt_HeavePos.Plot.AddSignal(Plt_Heave_Pos_data,
870       Plt_SampleRate_Read_Sim);
871       Signal_Plt_Roll_Pitch = SctPlt_Roll_Pitch_Pos.Plot.AddSignal(
872       Plt_Roll_pitch_Pos_data, Plt_SampleRate_Read_Sim);
873     }
874     else
875     {
876       MaxDataPoints = MaxDataPoints_Log;
877       Plt_Heave_Pos_data = new float[MaxDataPoints_Log];
878       Plt_Roll_pitch_Pos_data = new float[MaxDataPoints_Log];
879       Signal_Plt_Heave = SctPlt_HeavePos.Plot.AddSignal(Plt_Heave_Pos_data,
880       Plt_SampleRate_Read_Log);
881       Signal_Plt_Roll_Pitch = SctPlt_Roll_Pitch_Pos.Plot.AddSignal(
882       Plt_Roll_pitch_Pos_data, Plt_SampleRate_Read_Log);
883     }
884
885   }
886
887   public float GetRollAngle(float cyl1Pos, float cyl2Pos, float cyl3Pos)
888   {
889     // Returns roll angle from given cylinder positions

```

```

886         float result = Convert.ToSingle(Math.Asin((cyl1Pos - ((cyl2Pos + cyl3Pos) / 2)) / PlattformCC) * (180 / Math.PI));
887         if (result < 0.6 && result > -0.6 && sl_PhaseDiff_sim.Value == 0 && pLC_Com.DataToPlc.OpMode == OperationMode.Simulated) result = 0; // Deadband +-0.4deg
888         return result;
889     }
890
891     public float GetHeavePos(float cyl1Pos, float cyl2Pos, float cyl3Pos)
892     {
893         // Returns Heave position from given cylinder positions
894         float result = Convert.ToSingle(cyl1Pos - ((Math.Sin(GetRollAngle(cyl1Pos, cyl2Pos, cyl3Pos) * (Math.PI / 180)) * PlattformCC) / 2));
895         if (result < 0.152 && result > 0.148 && sl_PhaseDiff_sim.Value == 180 && pLC_Com.DataToPlc.OpMode == OperationMode.Simulated) result = (float)0.15; // Deadband +-0.001m
896         return result;
897     }
898
899     public float GetMpPos(float cyl1Pos, float cyl2Pos, float cyl3Pos)
900     {
901         // Returns Mp position from given cylinder positions
902         float result = Convert.ToSingle((TipVectY * Math.Sin(GetRollAngle(cyl1Pos, cyl2Pos, cyl3Pos) * (Math.PI/180))) + (TipVectZ * Math.Cos(GetRollAngle(cyl1Pos, cyl2Pos, cyl3Pos) * (Math.PI/180))) - TipVectZ + GetHeavePos(cyl1Pos, cyl2Pos, cyl3Pos) - 0.15);
903         return result;
904     }
905
906     public float GetLoadPos(float AHCCenterPos, float WireLength, float MpPos)
907     {
908         // Returns Load position from given AHCCenterPos, Wirelength and MpPos
909         if (AHCCenterPos == 0) AHCCenterPos = WireLength;
910         float result = MpPos - (WireLength - AHCCenterPos);
911         return result;
912     }
913
914     private void btn_Reset_Length_Click(object sender, RoutedEventArgs e)
915     {
916         // Reset wire length click
917         try
918         {
919             float resetlengthVal = 0;
920             resetlengthVal = -Convert.ToSingle(tb_ResetLengthValue.Text);
921             // Set data and send to PLC
922             int result = pLC_Com.SendData(pLC_Com.DataToPlc.OpMode, pLC_Com.DataToPlc.Cmd, pLC_Com.DataToPlc.Amplitude, pLC_Com.DataToPlc.Periode, pLC_Com.DataToPlc.PhaseDifference, pLC_Com.DataToPlc.HeavePos, pLC_Com.DataToPlc.RollAngle, resetlengthVal, 1);
923
924             // Check if data is sent successfully and disable/enable buttons if sucess.
925             if (result == BusProtocolErrors.FTALK_SUCCESS)
926             {
927                 Btn_Start_Stop_Reset_click(Command.Reset);
928             }
929         }
930         catch (Exception ex)
931         {
932             MessageBox.Show(ex.Message);
933         }
934     }
935
936 }
937
938
939     private void btn_Submit_Settings_Click(object sender, RoutedEventArgs e)
940     {
941         // Submit tipvector settings
942         try
943         {
944             TipVectX = Convert.ToSingle(tb_CraneTip_xPos.Text);
945             TipVectY = Convert.ToSingle(tb_CraneTip_yPos.Text);
946             TipVectZ = Convert.ToSingle(tb_CraneTip_zPos.Text);
947         }
948         catch (Exception ex)
949         {
950             MessageBox.Show(ex.Message, "Error!");
951         }
952     }
953 }
954 }
```

Listing 7: PlattformUI.xaml.cs klasse i C#

15.2 PLC_Com.cs

```
1  using FieldTalk.Modbus.Master;
2  using System;
3  using System.Collections.Generic;
4  using System.Linq;
5  using System.Text;
6  using System.Threading;
7  using System.Threading.Tasks;
8  using System.Windows;
9  using System.Windows.Threading;
10
11 namespace Plattform_UI
12 {
13     //*****
14     Code information:
15     PLC_Com class
16
17     All communication with PLC is done here.
18     Data sent and received is also done here and saved in DataToPlc and DataFromPlc variables.
19
20     Author: Sander V. Andersen and Lars Askild S. Aarvik
21     Date: 19.05.2023
22     *****/
23
24
25     // Defining usefull enums
26     public enum OperationModeWinch { Standby, Manual, AHC, Error}
27     public enum OperationMode { Manual, Simulated, Logfile }
28     public enum Command { Stop, Start, Reset }
29
30     internal class PLC_Com
31     {
32         // Defining variables
33         public MbusUdpMasterProtocol ModbusProtocol { get; set; }
34         public DataToPLC DataToPlc { get; set; }
35         public DataFromPLC DataFromPlc { get; set; }
36         public bool Stop { get; set; }
37         const int SLAVEADDR = 1;
38         const int STARTREFWRITE = 101;
39         const int STARTREFREAD = 1;
40         static object ReadWriteSync;
41         PlattformUI plattform_ui;
42         bool LastPlattformRunning;
43         bool LastEmStop;
44         Command LastStart;
45
46         public PLC_Com()
47         {
48             // Initializing variables
49             DataToPlc = new DataToPLC();
50             DataFromPlc = new DataFromPLC();
51             ModbusProtocol = new MbusUdpMasterProtocol();
52             Stop = false;
53             ReadWriteSync = new object();
54             LastPlattformRunning = false;
55             LastEmStop = true;
56             LastStart = Command.Stop;
57         }
58
59         public int OpenProtocol(string ip)
60         {
61             // Open modbus protocoll and connect to PLC using modbus udp
62             Stop = false;
63             int result = 0;
64             result = ModbusProtocol.openProtocol(ip);
65             // If success, send stop command to plattform
66             if(result == BusProtocolErrors.FTALK_SUCCESS)
67             {
68                 result = SendData(OperationMode.Manual, Command.Stop, 0, 0, 0, 0, 0, 0, 0, 0);
69             }
70             return result;
71         }
72
73         public void CloseProtocol()
74         {
75             // Close modbus protocol
76             Stop = true;
77             Thread.Sleep(100); // Delay for receiver thread to stop before closing mbus protocol
78             ModbusProtocol.closeProtocol();
79         }
80
81         public int SendData(OperationMode OpMode, Command Cmd, float Amplitude, float Periode,
82                             float PhaseDiff, float HeavePos, float RollAngle, float ResetLengthVal, Int16
83                             ResetLengthCmd)
84         {
85             // Send selected data to PLC
86
87             int result = 0;
```

```

88 // Set data
89 DataToPlc.OpMode = OpMode;
90 DataToPlc.Cmd = Cmd;
91 DataToPlc.Amplitude = Amplitude;
92 DataToPlc.Periode = Periode;
93 DataToPlc.PhaseDifference = PhaseDiff;
94 DataToPlc.HeavePos = HeavePos;
95 DataToPlc.RollAngle = RollAngle;
96 DataToPlc.ResetLengthVal = ResetLengthVal;
97 DataToPlc.ResetLengthCmd = ResetLengthCmd;
98
99 // Send to PLC
100 switch (DataToPlc.OpMode)
101 {
102     case OperationMode.Manual:
103     case OperationMode.Simulated:
104         Monitor.Enter(ReadWriteSync);
105         result = ModbusProtocol.writeMultipleRegisters(SLAVEADDR, STARTREFWRITE,
106             DataToPlc.GetDataArr());
107         Monitor.Exit(ReadWriteSync);
108         break;
109     case OperationMode.Logfile:
110         switch (Cmd)
111         {
112             case Command.Stop:
113                 ThreadPool.QueueUserWorkItem(SendLogFileData, null);
114                 break;
115             case Command.Start:
116                 Monitor.Enter(ReadWriteSync);
117                 result = ModbusProtocol.writeMultipleRegisters(SLAVEADDR,
118                     STARTREFWRITE, DataToPlc.GetDataArr());
119                 Monitor.Exit(ReadWriteSync);
120                 break;
121             case Command.Reset:
122                 break;
123             default:
124                 break;
125         }
126         break;
127     default:
128         break;
129 }
130
131 //Reset reset length command
132 DataToPlc.ResetLengthCmd = 0;
133
134 // Check for Modbus errors
135 checkModbusResult(result);
136
137 void SendLogFileData(object o)
138 {
139     // Send logfile data to PLC
140
141     UpdateProgressLogFileStartDelegate UPLSD = new UpdateProgressLogFileStartDelegate(
142         plattform_ui.UpdateProgressStartLogFile);
143     int result = 0;
144     int count = 0;
145     bool finished = false;
146     Int16[] dataArr = DataToPlc.GetDataArrLogFile();
147     Int16[] dataArr_temp = new Int16[122];
148
149     for (int i = 0; i < dataArr.Length; i++)
150     {
151         dataArr_temp[count] = dataArr[i];
152
153         // Send 121 registers at the time.. max possible
154         if (count >= 121)
155         {
156             Monitor.Enter(ReadWriteSync);
157             result = ModbusProtocol.writeMultipleRegisters(SLAVEADDR, i - 20,
158                 dataArr_temp);
159             Monitor.Exit(ReadWriteSync);
160
161             checkModbusResult(result);
162
163             count = -1;
164             for (int j = 0; j < dataArr_temp.Length; j++)
165             {
166                 dataArr_temp[j] = 0;
167             }
168             count++;
169             plattform_ui.Dispatcher.Invoke(UPLSD, (((double)i / (double)dataArr.Length) * 9
170 ), finished);
171         }
172         Monitor.Enter(ReadWriteSync);
173         result = ModbusProtocol.writeMultipleRegisters(SLAVEADDR, dataArr.Length - count +
174             STARTREFWRITE, dataArr_temp);
175         Monitor.Exit(ReadWriteSync);
176 }

```

```

173     checkModbusResult(result);
174
175     plattform_ui.Dispatcher.Invoke(UPLSD, 100, finished);
176     Thread.Sleep(1000);
177     finished = true;
178     plattform_ui.Dispatcher.Invoke(UPLSD, -1, finished);
179 }
180
181     void checkModbusResult(int result)
182 {
183     // Check for errors in modbus transmissions
184     if (result != BusProtocolErrors.FTALK_SUCCESS)
185     {
186         MessageBox.Show(BusProtocolErrors.getBusProtocolErrorText(result), "Modbus
error");
187     }
188 }
189
190     public void StartDataReciver(PlattformUI Form)
191 {
192     // Start thread for receiving data from PLC
193
194     plattform_ui = Form;
195     ThreadStart ts = new ThreadStart(ReceiveData);
196     Thread receiverThread = new Thread(ts);
197     receiverThread.IsBackground = true;
198     receiverThread.Start();
199
200     // Start comcount thread
201     ThreadStart ts2 = new ThreadStart(SendUpdatedComCount);
202     Thread ComCountThread = new Thread(ts2);
203     ComCountThread.IsBackground = true;
204     ComCountThread.Start();
205 }
206
207     void ReceiveData()
208 {
209     // Thread for receiving data from PLC
210     // Reads every 20ms
211
212     Int16[] data_arr = new Int16[28];
213     while(!Stop)
214     {
215         Monitor.Enter(ReadWriteSync);
216         int result = ModbusProtocol.readMultipleRegisters(SLAVEADDR, STARTREFREAD,
data_arr);
217         Monitor.Exit(ReadWriteSync);
218         DataFromPlc.UpdateValues(data_arr);
219
220         if ((DataToPlc.OpMode == OperationMode.Manual || DataToPlc.Cmd == Command.Reset
) && !(DataToPlc.Cmd == Command.Stop))
221         {
222             // set plattform in stop mode when resetting is finished
223             if (!DataFromPlc.Plattform_Running && LastPlattformRunning)
224             {
225                 // Small delay for reset pos in PLC to work
226                 Thread.Sleep(50);
227                 StopPlattformDelegate SPD = new StopPlattformDelegate(plattform_ui.
StopPlattform);
228                 plattform_ui.Dispatcher.Invoke(SPD, DataToPlc.OpMode);
229
230                 // Clear all plots when finished reset
231                 ClearAllPlotsDelegate CAPD = new ClearAllPlotsDelegate(plattform_ui.
ClearAllPlots);
232                 plattform_ui.Dispatcher.Invoke(CAPD);
233             }
234
235             if(DataToPlc.Cmd == Command.Start || DataToPlc.Cmd == Command.Reset)
236             {
237                 // Update live plots
238                 UpdatedLivePlotsDelegate ULPD = new UpdatedLivePlotsDelegate(plattform_ui.
UpdateLivePlots);
239                 plattform_ui.Dispatcher.Invoke(ULPD);
240             }
241
242             if ((DataFromPlc.EM_Stop == false) && (LastEmStop == true))
243             {
244                 // Set plattform in stop mode if Em stop is pressed
245                 StopPlattformDelegate SPD = new StopPlattformDelegate(plattform_ui.
StopPlattform);
246                 plattform_ui.Dispatcher.Invoke(SPD, DataToPlc.OpMode);
247             }
248
249             // Update last values
250             LastStart = DataToPlc.Cmd;
251             LastEmStop = DataFromPlc.EM_Stop;
252             LastPlattformRunning = DataFromPlc.Plattform_Running;
253
254             // Update GUI
255             UpdateGUIDelegate UGD = new UpdateGUIDelegate(plattform_ui.UpdateGUI);
256

```

```

257         plattform_ui.Dispatcher.Invoke(UGD);
258
259         // Lost connection.. closing protocol
260         if(result != BusProtocolErrors.FTALK_SUCCESS)
261         {
262             // Disconnecting
263             CloseMbusProtocolDelegate CMPD = new CloseMbusProtocolDelegate(plattform_ui
264 .CloseMbusProtocol);
265             plattform_ui.Dispatcher.Invoke(CMPD);
266         }
267
268         Thread.Sleep(20);
269     }
270 }
271
272 void SendUpdatedComCount()
273 {
274     // Send com count to PLC
275     // This is for PLC to check for com errors with HMI and stop automatically if com
276     error appears
277     int result = 0;
278
279     while(!Stop)
280     {
281         if (DataToPlc.ComCount >= 32000) DataToPlc.ComCount = 0;
282         else DataToPlc.ComCount++;
283
284         Monitor.Enter(ReadWriteSync);
285         result = ModbusProtocol.writeMultipleRegisters(SLAVEADDR, STARTREFWRITE,
286 DataToPlc.GetDataArr());
287         Monitor.Exit(ReadWriteSync);
288
289         if (result != BusProtocolErrors.FTALK_SUCCESS)
290         {
291             // Disconnecting
292             CloseMbusProtocolDelegate CMPD = new CloseMbusProtocolDelegate(plattform_ui
293 .CloseMbusProtocol);
294             plattform_ui.Dispatcher.Invoke(CMPD);
295         }
296
297         Thread.Sleep(200);
298     }
299 }

```

Listing 8: PLC_{Com}.csklasseiC#

15.3 DataFromPLC.cs

```

1  using System;
2  using System.Collections;
3  using System.Collections.Generic;
4  using System.Linq;
5  using System.Text;
6  using System.Threading.Tasks;
7
8  namespace Plattform_UI
9  {
10     internal class DataFromPLC
11     {
12
13         //*****
14         Code information:
15         DataFromPLC class
16
17         Datatype containing all data from PLC
18         UpdateValues method updates all variables with data from PLC with given INT16 array
19
20         Author: Sander V. Andersen and Lars Askild S. Aarvik
21         Date: 19.05.2023
22         *****/
23
24         // Defining variables
25         public float Cyl1Pos_SP { get; set; }
26         public float Cyl2Pos_SP { get; set; }
27         public float Cyl3Pos_SP { get; set; }
28         public float Cyl1Pos { get; set; }
29         public float Cyl2Pos { get; set; }
30         public float Cyl3Pos { get; set; }
31         public float Cyl1Spd { get; set; }
32         public float Cyl2Spd { get; set; }
33         public float Cyl3Spd { get; set; }
34         public float WinchPos { get; set; }
35         public float WinchSpd { get; set; }
36         public bool Drive_Error { get; set; }
37         public bool Plattform_Running { get; set; }
38         public bool EM_Stop { get; set; }
39         public OperationModeWinch OpModeWinch { get; set; }
40         public float AHC_CenterPos { get; set; }
41
42         public void UpdateValues(Int16[] data_arr)
43         {
44             // Updates all variables with data from PLC with given INT16 array
45
46             List<byte> byte_list = new List<byte>();
47
48             for (int i = 0; i < data_arr.Length; i++)
49             {
50                 byte[] temp = BitConverter.GetBytes(data_arr[i]);
51                 for (int j = 0; j < temp.Length; j++)
52                 {
53                     byte_list.Add(temp[j]);
54                 }
55             }
56
57             byte[] byte_arr = new byte[data_arr.Length * 2];
58             for (int i = 0; i < byte_list.Count; i++)
59             {
60                 byte_arr[i] = byte_list[i];
61             }
62
63             Cyl1Pos_SP = BitConverter.ToSingle(byte_arr, 0) / 1000;
64             Cyl2Pos_SP = BitConverter.ToSingle(byte_arr, 4) / 1000;
65             Cyl3Pos_SP = BitConverter.ToSingle(byte_arr, 8) / 1000;
66             Cyl1Pos = BitConverter.ToSingle(byte_arr, 12) / 1000;
67             Cyl2Pos = BitConverter.ToSingle(byte_arr, 16) / 1000;
68             Cyl3Pos = BitConverter.ToSingle(byte_arr, 20) / 1000;
69             Plattform_Running = (((byte_arr[24] >> 0) & 1) != 0;
70             EM_Stop = (((byte_arr[26] >> 0) & 1) != 0;
71             Cyl1Spd = BitConverter.ToSingle(byte_arr, 28) / 100000;
72             Cyl2Spd = BitConverter.ToSingle(byte_arr, 32) / 100000;
73             Cyl3Spd = BitConverter.ToSingle(byte_arr, 36) / 100000;
74             WinchPos = BitConverter.ToSingle(byte_arr, 40) / 1000;
75             WinchSpd = BitConverter.ToSingle(byte_arr, 44) / 1000;
76             AHC_CenterPos = BitConverter.ToSingle(byte_arr, 48) / 1000;
77             if (BitConverter.ToInt16(byte_arr, 52) == 3) OpModeWinch = OperationModeWinch.Error
78             ;
79             else if (BitConverter.ToInt16(byte_arr, 52) == 2) OpModeWinch = OperationModeWinch.
80             AHC;
81             else if (BitConverter.ToInt16(byte_arr, 52) == 1) OpModeWinch = OperationModeWinch.
82             Manual;
83             else OpModeWinch = OperationModeWinch.Standby;
84         }
85     }
86 }
```

Listing 9: DataFromPLC.cs klasse i C#

15.4 DataToPLC.cs

```
1  using System;
2  using System.Collections;
3  using System.Collections.Generic;
4  using System.Linq;
5  using System.Text;
6  using System.Threading.Tasks;
7  using System.Windows;
8  using System.Windows.Media.TextFormatting;
9
10 namespace Plattform_UI
11 {
12     internal class DataToPLC
13     {
14
15         //***** Code information: *****
16         //***** DataToPLC class *****
17
18         // Datatype containing all data to PLC
19         // Containing methods for returning INT16 array that can be sent with modbus to PLC
20
21         // Author: Sander V. Andersen and Lars Askild S. Aarvik
22         // Date: 19.05.2023
23
24         //***** Defining variables *****
25
26         public Int16 ComCount { get; set; }
27         public OperationMode OpMode { get; set; }
28         public Command Cmd { get; set; }
29         public float Amplitude { get; set; }
30         public float Periode { get; set; }
31         public float PhaseDifference { get; set; }
32         public float HeavePos { get; set; }
33         public float RollAngle { get; set; }
34         public Logfile Logfile { get; set; }
35         public float ResetLengthVal { get; set; }
36         public Int16 ResetLengthCmd { get; set; }
37
38
39         public DataToPLC()
40         {
41             // Initializing variables
42             ComCount = 0;
43             OpMode = OperationMode.Manual;
44             Cmd = Command.Stop;
45             Amplitude = 0;
46             Periode = 0;
47             PhaseDifference = 0;
48             HeavePos = 0;
49             RollAngle = 0;
50             Logfile = new Logfile();
51             ResetLengthVal = 0;
52             ResetLengthCmd = 0;
53         }
54
55         public Int16[] GetDataArr()
56         {
57             // Returns INT16 array with all data to PLC without logfile data
58
59             Int16[] dataArr = new Int16[16];
60             dataArr[0] = ComCount;
61             dataArr[1] = (Int16)OpMode;
62             dataArr[2] = (Int16)Cmd;
63             dataArr[3] = ConvertToWordArray(Amplitude * 1000)[0];
64             dataArr[4] = ConvertToWordArray(Amplitude * 1000)[1];
65             dataArr[5] = ConvertToWordArray(Periode * 1000)[0];
66             dataArr[6] = ConvertToWordArray(Periode * 1000)[1];
67             dataArr[7] = ConvertToWordArray(PhaseDifference)[0];
68             dataArr[8] = ConvertToWordArray(PhaseDifference)[1];
69             dataArr[9] = ConvertToWordArray(HeavePos * 1000)[0];
70             dataArr[10] = ConvertToWordArray(HeavePos * 1000)[1];
71             dataArr[11] = ConvertToWordArray(RollAngle)[0];
72             dataArr[12] = ConvertToWordArray(RollAngle)[1];
73             dataArr[13] = ConvertToWordArray(ResetLengthVal * 1000)[0];
74             dataArr[14] = ConvertToWordArray(ResetLengthVal * 1000)[1];
75             dataArr[15] = ResetLengthCmd;
76
77             return dataArr;
78         }
79
80         public Int16[] GetDataArrLogFile()
81         {
82             // Returns INT16 array with all data to PLC including logfile data when sending
83             // logfile data to plc
84
85             Int16[] dataArr = new Int16[16 + (Logfile.Cylinder1_Pos.Count * 4)];
86             dataArr[0] = ComCount;
87             dataArr[1] = (Int16)OpMode;
88             dataArr[2] = (Int16)Cmd;
89             dataArr[3] = ConvertToWordArray(Amplitude * 1000)[0];
```

```

88     dataArr[4] = ConvertToWordArray(Amplitude * 1000)[1];
89     dataArr[5] = ConvertToWordArray(Periode * 1000)[0];
90     dataArr[6] = ConvertToWordArray(Periode * 1000)[1];
91     dataArr[7] = ConvertToWordArray(PhaseDifference)[0];
92     dataArr[8] = ConvertToWordArray(PhaseDifference)[1];
93     dataArr[9] = ConvertToWordArray(HeavePos * 1000)[0];
94     dataArr[10] = ConvertToWordArray(HeavePos * 1000)[1];
95     dataArr[11] = ConvertToWordArray(RollAngle)[0];
96     dataArr[12] = ConvertToWordArray(RollAngle)[1];
97     dataArr[13] = ConvertToWordArray(ResetLengthVal * 1000)[0];
98     dataArr[14] = ConvertToWordArray(ResetLengthVal * 1000)[1];
99     dataArr[15] = ResetLengthCmd;
100
101    int count = 16;
102    for (int i = 0; i < Logfile.Cylinder1_Pos.Count; i++)
103    {
104        dataArr[count] = (Int16)(Logfile.Cylinder1_Pos[i] * 100000);
105        dataArr[count + 1] = (Int16)(Logfile.Cylinder1_Vel[i] * 100000);
106        dataArr[count + 2] = (Int16)(Logfile.Cylinder2_3_Pos[i] * 100000);
107        dataArr[count + 3] = (Int16)(Logfile.Cylinder2_3_Vel[i] * 100000);
108
109        count = count + 4;
110    }
111
112    return dataArr;
113}
114
115 Int16[] ConvertToWordArray(float data)
116 {
117     // Converts one float value to two INT16 values.. Since float is 32 bit
118
119     Int16[] data_arr = new Int16[2];
120     byte[] b_data = BitConverter.GetBytes(data);
121     data_arr[0] = BitConverter.ToInt16(b_data, 0);
122     data_arr[1] = BitConverter.ToInt16(b_data, 2);
123
124     return data_arr;
125 }
126
127 }

```

Listing 10: DataToPLC.cs klasse i C#

15.5 Logfile.cs

```
1  using System;
2  using System.Collections.Generic;
3  using System.Linq;
4  using System.Text;
5  using System.Threading.Tasks;
6  using System.IO;
7  using System.Windows;
8  using FieldTalk.Modbus.Master;
9  using System.Windows.Markup;
10 using System.Windows.Shapes;
11 using System.Security.Permissions;
12
13 namespace Plattform_UI
14 {
15     public class Logfile
16     {
17
18         /***** Code information: *****
19         Logfile class
20
21         All calculations and filehandling is done in this class
22         Reading data from file
23         Scaling waves
24         Calculating cylinder positions and velocities
25         Lowpass filtering calculated cylinder velocities
26
27
28         Author: Sander V. Andersen and Lars Askild S. Aarvik
29         Date: 19.05.2023
30         *****/
31
32
33     // Defining variables
34     public string FileName { get; set; }
35     public Int32 LogLength { get; set; } //Number of lines to read from logfile based on
36     selected slider length (min)
37     public List<float> Heave_Pos { get; set; }
38     public List<float> Heave_Pos_Scaled { get; set; }
39     public List<float> Heave_Vel { get; set; }
40     public List<float> Roll_Angle { get; set; }
41     public List<float> Roll_Angle_Scaled { get; set; }
42     public List<float> Pitch_Angle { get; set; }
43     public List<float> Pitch_Angle_Scaled { get; set; }
44     public List<float> Cylinder1_Pos { get; set; }
45     public List<float> Cylinder2_3_Pos { get; set; }
46     public List<float> Cylinder1_Vel { get; set; }
47     public List<float> Cylinder2_3_Vel { get; set; }
48     public double MaxHeaveScaleSlider { get; set; }
49     public double MaxHeavPos { get; set; }
50     public double MaxAngle { get; set; }
51     int pos_index;
52     int vel_index;
53     int roll_index;
54     int pitch_index;
55     int TextStartCount;
56     double MaxMovement;
57     double MaxCylSpeed;
58     double maxPossibleHeavPos;
59     float ScaleFactorPos;
60     float ScaleFactorVel;
61     List<string> Lines = new List<string>();
62     const int SAMPLETIME = 100; // ms data is sampled with
63     const int FREQUENCY = 10; // Frequency data is sample with
64     public static double MAXCYLINDERMOVE = 0.125; // m max movement in each direction on
65     cylinder
66     const string MRU_pos = "mru_1_mruHeavePos";
67     const string MRU_vel = "mru_1_mruHeaveVel";
68     const string MRU_roll = "mru_1_roll";
69     const string MRU_pitch = "mru_1_pitch";
70     const string StartText = "Time";
71
72     public Logfile()
73     {
74         // Initializing variables
75         FileName = "";
76         LogLength = 0;
77         Heave_Pos = new List<float>();
78         Heave_Pos_Scaled = new List<float>();
79         Heave_Vel = new List<float>();
80         Roll_Angle = new List<float>();
81         Roll_Angle_Scaled = new List<float>();
82         Pitch_Angle = new List<float>();
83         Pitch_Angle_Scaled = new List<float>();
84         Cylinder1_Pos = new List<float>();
85         Cylinder2_3_Pos = new List<float>();
86         Cylinder1_Vel = new List<float>();
87         Cylinder2_3_Vel = new List<float>();
88         pos_index = 0;
```

```

87     vel_index = 0;
88     roll_index = 0;
89     pitch_index = 0;
90     MaxMovement = 0;
91     ScaleFactorPos = 0;
92     ScaleFactorVel = 0;
93     TextStartCount = 0;
94     MaxCylSpeed = 0;
95     MaxAngle = 0;
96     MaxHeavPos = 0;
97     maxPossibleHeavPos = 0;
98     MaxHeaveScaleSlider = 0;
99 }
100
101
102
103     public double GetLogFileLength()
104 {
105     // Returning logfile length in minutes.
106
107     double result = 0;
108     int lineCount = 0;
109     try
110     {
111         lineCount = File.ReadLines(FileName).Count();
112     }
113     catch (Exception ex)
114     {
115         MessageBox.Show("Error", "Error: " + ex.Message);
116     }
117     result = ((lineCount - 6) / FREQUENCY) / 60;
118     return result;
119 }
120
121     public void UpdateLogLength(double sl_Value)
122 {
123     // Updated loglength variable based on slider value
124
125     try
126     {
127         LogLength = Convert.ToInt32(Math.Floor(sl_Value * 60 * 10));
128     }
129     catch (Exception ex)
130     {
131         MessageBox.Show("Error", "cannot convert slider value to integer.\n" + ex.
Message);
132     }
133 }
134
135
136
137     public void ReadDataFromFile()
138 {
139     // Read data from file and save to lists
140
141     // Deleting all elemnts from lists.
142     Heave_Vel.Clear();
143     Roll_Angle.Clear();
144     Heave_Pos.Clear();
145     Pitch_Angle.Clear();
146
147     try
148     {
149         Lines = File.ReadLines(FileName).ToList();
150
151         // Deletes unnecessary lines from logfile.csv
152         for (int i = 0; i < Lines.Count; i++)
153         {
154             string[] str = Lines[i].Split(',');
155             if (str[0] == StartText)
156                 TextStartCount = i;
157         }
158
159         Lines.RemoveRange(0, TextStartCount);
160
161         // Finding data positions
162         string[] dataName = Lines[0].Split(',');
163         for (int i = 0; i < dataName.Length; i++)
164         {
165             if (dataName[i] == MRU_pos) pos_index = i;
166             if (dataName[i] == MRU_vel) vel_index = i;
167             if (dataName[i] == MRU_roll) roll_index = i;
168             if (dataName[i] == MRU_pitch) pitch_index = i;
169         }
170         Lines.RemoveAt(0);
171
172         // Updating values from logfile
173         for (int i = 0; i < LogLength - 1; i++)
174         {
175             string[] data = Lines[i].Split(';');
176             Heave_Pos.Add(float.Parse(data[pos_index], System.Globalization.CultureInfo

```

```

    .InvariantCulture));
177     Heave_Vel.Add(float.Parse(data[vel_index], System.Globalization.CultureInfo
    .InvariantCulture));
178     Roll_Angle.Add(float.Parse(data[roll_index], System.Globalization.
    CultureInfo.InvariantCulture));
179     Pitch_Angle.Add(float.Parse(data[pitch_index], System.Globalization.
    CultureInfo.InvariantCulture));
180   }
181 }
182 catch (Exception ex)
183 {
184   MessageBox.Show("Error", "Error: " + ex.Message);
185 }
186 }
187 }

191   public void Calculate_Scale_CylinderPosVel(bool Pitch_Checked, float ScaleHeave_Value,
192   float ScaleRollPitch_Value)
193   {
194     // Calculating and scaling cylinder positions and velocities
195     MaxCylSpeed = 0;
196     MaxMovement = 0;
197
198     // Deleting all elements from lists.
199     Cylinder1_Pos.Clear();
200     Cylinder1_Vel.Clear();
201     Cylinder2_3_Pos.Clear();
202     Cylinder2_3_Vel.Clear();
203     Heave_Pos_Scaled.Clear();
204     Roll_Angle_Scaled.Clear();
205     Pitch_Angle_Scaled.Clear();
206
207
208
209     if (ScaleHeave_Value == 1 && ScaleRollPitch_Value == 1)
210     {
211
212       // Scale for position limits
213       // Finidng max MP with max angle
214       if (Pitch_Checked) // Use pitch value
215     {
216       for (int i = 0; i < LogLength; i++)
217     {
218       Cylinder1_Pos.Add(Convert.ToSingle(Heave_Pos[i] + ((Math.Sin(Convert.
219         ToDouble(Pitch_Angle[i] * (Math.PI / 180)) * PlattformUI.PlattformCC) / 2)));
220       Cylinder2_3_Pos.Add(Convert.ToSingle(Heave_Pos[i] - ((Math.Sin(Convert.
221         ToDouble(Pitch_Angle[i] * (Math.PI / 180)) * PlattformUI.PlattformCC) / 2)));
222       if (Math.Abs(Cylinder1_Pos[i]) > MaxMovement)
223     {
224       MaxHeavPos = Heave_Pos[i];
225       MaxAngle = Pitch_Angle[i];
226       MaxMovement = Math.Abs(Cylinder1_Pos[i]);
227     }
228     if (Math.Abs(Cylinder2_3_Pos[i]) > MaxMovement)
229     {
230       MaxHeavPos = Heave_Pos[i];
231       MaxAngle = Pitch_Angle[i];
232       MaxMovement = Math.Abs(Cylinder2_3_Pos[i]);
233     }
234   }
235   else // Use Roll Angle
236   {
237     for (int i = 0; i < LogLength; i++)
238   {
239     Cylinder1_Pos.Add(Convert.ToSingle(Heave_Pos[i] + ((Math.Sin(Convert.
240       ToDouble(Roll_Angle[i] * (Math.PI / 180)) * PlattformUI.PlattformCC) / 2)));
241     Cylinder2_3_Pos.Add(Convert.ToSingle(Heave_Pos[i] - ((Math.Sin(Convert.
242       ToDouble(Roll_Angle[i] * (Math.PI / 180)) * PlattformUI.PlattformCC) / 2)));
243     if (Math.Abs(Cylinder1_Pos[i]) > MaxMovement)
244     {
245       MaxHeavPos = Heave_Pos[i];
246       MaxAngle = Roll_Angle[i];
247       MaxMovement = Math.Abs(Cylinder1_Pos[i]);
248     }
249     if (Math.Abs(Cylinder2_3_Pos[i]) > MaxMovement)
250     {
251       MaxHeavPos = Heave_Pos[i];
252       MaxAngle = Roll_Angle[i];
253       MaxMovement = Math.Abs(Cylinder2_3_Pos[i]);
254     }
255   }
256 }
257 }

```

```

259         maxPossibleHeavPos = MAXCYLINDERMOVE - ((Math.Sin(MaxAngle * (Math.PI / 180)) *
260             PlattformUI.PlattformCC) / 2);
261         if (Math.Abs(maxPossibleHeavPos) > MAXCYLINDERMOVE + ((Math.Sin(MaxAngle * (
262             Math.PI / 180)) * PlattformUI.PlattformCC) / 2)) maxPossibleHeavPos = MAXCYLINDERMOVE + ((
263             Math.Sin(MaxAngle * (Math.PI / 180)) * PlattformUI.PlattformCC) / 2);
264
265         ScaleFactorPos = (float)(MaxHeavPos / maxPossibleHeavPos);
266
267         //Scale heavpos
268         for (int i = 0; i < LogLength; i++)
269         {
270             Heave_Pos_Scaled.Add(Heave_Pos[i] / ScaleFactorPos);
271         }
272
273         Cylinder1_Pos.Clear();
274         Cylinder2_3_Pos.Clear();
275
276         if (Pitch_Checked) // Use pitch value
277         {
278             for (int i = 0; i < LogLength; i++)
279             {
280                 Cylinder1_Pos.Add(Convert.ToSingle(Heave_Pos_Scaled[i] + ((Math.Sin(
281                     Convert.ToDouble(Pitch_Angle[i] * (Math.PI / 180))) * PlattformUI.PlattformCC) / 2)));
282                 Cylinder2_3_Pos.Add(Convert.ToSingle(Heave_Pos_Scaled[i] - ((Math.Sin(
283                     Convert.ToDouble(Pitch_Angle[i] * (Math.PI / 180))) * PlattformUI.PlattformCC) / 2)));
284             }
285         }
286         else // Use Roll Angle
287         {
288             for (int i = 0; i < LogLength; i++)
289             {
290                 Cylinder1_Pos.Add(Convert.ToSingle(Heave_Pos_Scaled[i] + ((Math.Sin(
291                     Convert.ToDouble(Roll_Angle[i] * (Math.PI / 180))) * PlattformUI.PlattformCC) / 2)));
292                 Cylinder2_3_Pos.Add(Convert.ToSingle(Heave_Pos_Scaled[i] - ((Math.Sin(
293                     Convert.ToDouble(Roll_Angle[i] * (Math.PI / 180))) * PlattformUI.PlattformCC) / 2)));
294             }
295
296             // Scale for position done
297
298             // Scale for velocity limits
299             // Scales down and calculate maxspeed for each cyl
300             for (int i = 1; i < Cylinder1_Pos.Count; i++)
301             {
302                 Cylinder1_Vel.Add((Cylinder1_Pos[i] - Cylinder1_Pos[i - 1]) / ((float)
303                     SAMPLETIME / 1000));
304                 Cylinder2_3_Vel.Add((Cylinder2_3_Pos[i] - Cylinder2_3_Pos[i - 1]) / ((float)
305                     SAMPLETIME / 1000));
306                 if (Math.Abs(Cylinder1_Vel[i - 1]) > MaxCylSpeed) MaxCylSpeed = Math.Abs(
307                     Cylinder1_Vel[i - 1]);
308                 if (Math.Abs(Cylinder2_3_Vel[i - 1]) > MaxCylSpeed) MaxCylSpeed = Math.Abs(
309                     Cylinder2_3_Vel[i - 1]);
310             }
311
312             // finds the scalefactor for velocity
313             if (MaxCylSpeed > PlattformUI.MaxSpeedCylinder)
314             {
315                 ScaleFactorVel = (float)(MaxCylSpeed / PlattformUI.MaxSpeedCylinder);
316             }
317             else ScaleFactorVel = 1;
318
319             Cylinder1_Pos.Clear();
320             Cylinder2_3_Pos.Clear();
321             Cylinder1_Vel.Clear();
322             Cylinder2_3_Vel.Clear();
323
324             //Scale heavpos
325             for (int i = 0; i < LogLength; i++)
326             {
327                 Heave_Pos_Scaled[i] = Heave_Pos_Scaled[i] / ScaleFactorVel;
328             }
329
330             // Calculate evryting again with correct scaling.
331             if (Pitch_Checked) // Use pitch value
332             {
333                 for (int i = 0; i < LogLength; i++)
334                 {
335                     Cylinder1_Pos.Add(Convert.ToSingle(Heave_Pos_Scaled[i] + ((Math.Sin(
336                         Convert.ToDouble(Pitch_Angle[i] * (Math.PI / 180))) * PlattformUI.PlattformCC) / 2)));
337                     Cylinder2_3_Pos.Add(Convert.ToSingle(Heave_Pos_Scaled[i] - ((Math.Sin(
338                         Convert.ToDouble(Pitch_Angle[i] * (Math.PI / 180))) * PlattformUI.PlattformCC) / 2)));
339                 }
340             }
341             else // Use Roll Angle
342             {
343                 for (int i = 0; i < LogLength; i++)
344                 {
345                     Cylinder1_Pos.Add(Convert.ToSingle(Heave_Pos_Scaled[i] + ((Math.Sin(

```

```

Convert.ToDouble(Roll_Angle[i] * (Math.PI / 180))) * PlattformUI.PlattformCC) / 2));
        Cylinder2_3_Pos.Add(Convert.ToSingle(Heave_Pos_Scaled[i] - ((Math.Sin(
Convert.ToDouble(Roll_Angle[i] * (Math.PI / 180))) * PlattformUI.PlattformCC) / 2)));
    }
}

for (int i = 1; i < Cylinder1_Pos.Count; i++)
{
    Cylinder1_Vel.Add((Cylinder1_Pos[i] - Cylinder1_Pos[i - 1]) / ((float)
SAMPLETIME / 1000));
    Cylinder2_3_Vel.Add((Cylinder2_3_Pos[i] - Cylinder2_3_Pos[i - 1]) / ((float)
)SAMPLETIME / 1000));
}

Cylinder1_Pos.RemoveAt(Cylinder1_Pos.Count - 1);
Cylinder2_3_Pos.RemoveAt(Cylinder2_3_Pos.Count - 1);

MaxHeaveScaleSlider = 100 / (ScaleFactorPos + ScaleFactorVel);

// Updated scaled list
for (int i = 0; i < LogLength; i++)
{
    Roll_Angle_Scaled.Add(Roll_Angle[i]);
    Pitch_Angle_Scaled.Add(Pitch_Angle[i]);
}
}

// Scaling from sliders
else
{
    MaxMovement = 0;

    // Scale all values
    for (int i = 0; i < LogLength; i++)
    {
        Heave_Pos_Scaled.Add(Heave_Pos[i] * (ScaleHeave_Value / 100));
        Pitch_Angle_Scaled.Add(Pitch_Angle[i] * (ScaleRollPitch_Value / 100));
        Roll_Angle_Scaled.Add(Roll_Angle[i] * (ScaleRollPitch_Value / 100));
    }

    if (Pitch_Checked) // Use pitch value
    {
        for (int i = 0; i < LogLength; i++)
        {
            Cylinder1_Pos.Add(Convert.ToSingle(Heave_Pos_Scaled[i] + ((Math.Sin(
Convert.ToDouble(Pitch_Angle_Scaled[i] * (Math.PI / 180))) * PlattformUI.PlattformCC) / 2)));
            Cylinder2_3_Pos.Add(Convert.ToSingle(Heave_Pos_Scaled[i] - ((Math.Sin(
Convert.ToDouble(Pitch_Angle_Scaled[i] * (Math.PI / 180))) * PlattformUI.PlattformCC) / 2)));
        }

        if (Math.Abs(Cylinder1_Pos[i]) > MaxMovement)
        {
            MaxHeavPos = Heave_Pos_Scaled[i];
            MaxMovement = Math.Abs(Cylinder1_Pos[i]);
        }

        if (Math.Abs(Cylinder2_3_Pos[i]) > MaxMovement)
        {
            MaxHeavPos = Heave_Pos_Scaled[i];
            MaxMovement = Math.Abs(Cylinder2_3_Pos[i]);
        }
    }
    else // Use Roll Angle
    {
        for (int i = 0; i < LogLength; i++)
        {
            Cylinder1_Pos.Add(Convert.ToSingle(Heave_Pos_Scaled[i] + ((Math.Sin(
Convert.ToDouble(Roll_Angle_Scaled[i] * (Math.PI / 180))) * PlattformUI.PlattformCC) / 2)));
            Cylinder2_3_Pos.Add(Convert.ToSingle(Heave_Pos_Scaled[i] - ((Math.Sin(
Convert.ToDouble(Roll_Angle_Scaled[i] * (Math.PI / 180))) * PlattformUI.PlattformCC) / 2)));
        }

        if (Math.Abs(Cylinder1_Pos[i]) > MaxMovement)
        {
            MaxHeavPos = Heave_Pos_Scaled[i];
            MaxMovement = Math.Abs(Cylinder1_Pos[i]);
        }

        if (Math.Abs(Cylinder2_3_Pos[i]) > MaxMovement)
        {
            MaxHeavPos = Heave_Pos_Scaled[i];
            MaxMovement = Math.Abs(Cylinder2_3_Pos[i]);
        }
    }
}
}

```

```

416         for (int i = 1; i < Cylinder1_Pos.Count; i++)
417     {
418         Cylinder1_Vel.Add((Cylinder1_Pos[i] - Cylinder1_Pos[i - 1]) / ((float)
419 SAMPLETIME / 1000));
420         Cylinder2_3_Vel.Add((Cylinder2_3_Pos[i] - Cylinder2_3_Pos[i - 1]) / ((float)
421 )SAMPLETIME / 1000));
422     }
423 
424     Cylinder1_Pos.RemoveAt(Cylinder1_Pos.Count - 1);
425     Cylinder2_3_Pos.RemoveAt(Cylinder2_3_Pos.Count - 1);
426 
427 }
428 
429 //Lowpass filtering cylinder velocities
430 for (int i = 0; i < Cylinder1_Vel.Count - 1; i++)
431 {
432     Cylinder1_Vel[i] = (Cylinder1_Vel[i] + Cylinder1_Vel[i + 1]) / 2;
433     Cylinder2_3_Vel[i] = (Cylinder2_3_Vel[i] + Cylinder2_3_Vel[i + 1]) / 2;
434 }
435 
436 }
437 }
438 }
439 }
440 }
441 }
442 }
443 }
```

Listing 11: Logfile.cs klasse i C#

16 Appendiks H - Kildekode PLS

ESM1

cycle10

Task Type	Event Name	Interval	Priority	Threshold	Watchdog	Comment
Cyclic task		10	0	0	100	
Program Name	Component Name	Program Type	Comment			
PlattformControl	Arp.Plc.Eclr	PlattformControl				
Camera_Com1	Arp.Plc.Eclr	Camera_Com				

cycle2

Task Type	Event Name	Interval	Priority	Threshold	Watchdog	Comment
Cyclic task		2	0	0	100	
Program Name	Component Name	Program Type	Comment			
ModBus	Arp.Plc.Eclr	ModBus				

PHOENIX CONTACT GmbH & Co. KG Flachsmarktstraße 8 32825 Blomberg, Germany	Demoplattform_Control_V1	21/05/2023
	PLCnext Engineer	Page 1

ESM2**cycle10_Logfile**

Task Type	Event Name	Interval	Priority	Threshold	Watchdog	Comment
Cyclic task		10	0	0	100	
Program Name	Component Name	Program Type	Comment			
LogFile1	Arp.Plc.Eclr	LogFile				

cycle10_WinchControl

Task Type	Event Name	Interval	Priority	Threshold	Watchdog	Comment
Cyclic task		10	0	0	100	
Program Name	Component Name	Program Type	Comment			
WinchControl1	Arp.Plc.Eclr	WinchControl				

Project / Settings

Identity

Network name	network01
Top-level domain	

IP range

Start IP address	192.168.127.2
End IP address	192.168.127.254
Subnet mask	255.255.255.0
Default gateway	

SNMP

Version	SNMP v2c
SNMP v1 / v2c	

Read community	public
Write community	private

SNMP v3

Username	
Authentication	MD5
Authentication passphrase	
Privacy protocol	DES
Privacy passphrase	

PHOENIX CONTACT GmbH & Co. KG Flachsmarktstraße 8 32825 Blomberg, Germany	Demoplattform_Control_V1	21/05/2023
	PLCnext Engineer	Page 3

Components / Camera / fbScaleZPos / Code

```
1  /*****************************************************************************  
2  * Code information:  
3  * Function block that scales down data z position-length given from camerea to 0.0 - 0.3 [m].  
4  *  
5  *  
6  * Author: Sander V. Andersen and Lars Askild S. Aarvik  
7  * Date: 09.05.2023  
8  * *****/  
9  *  
10 if(LastMpPos = 0)THEN  
11     rOutput           := TO_REAL(((rInput - rOffset) / rGain) * -1) - 0.15;  
12 ELSE  
13     rOutput           := (TO_REAL(((rInput - rOffset) / rGain) * -1) - 0.15) + LastMpPos) / 2;  
14     END_IF;  
15  
16 LastMpPos          := rOutput;  
17
```

Components / Camera / fbScaleZPos / Variables

Input

Name	Type	Usage	Translate	Comment	Init	Access	Retain	Constant	OPC	HMI	Proficloud	I/Q
rInput	LREAL	Input		Z - position data from camera								

Output

Name	Type	Usage	Translate	Comment	Init	Access	Retain	Constant	OPC	HMI	Proficloud	I/Q
rOutput	REAL	Output		Scaled Z -pos from camera								

Local

Name	Type	Usage	Translate	Comment	Init	Access	Retain	Constant	OPC	HMI	Proficloud	I/Q
rGain	REAL	Local		DownScale factor used to scale Z pos	REAL#14.76 666667	Private						
rOffset	REAL	Local		Offsett	REAL#-4.43	Private						
LastValues	LReal_0_10	Local		Local var for calcualtions		Private						
LastMpPos	REAL	Local		Local var for calcualtions		Private						

Default

Name	Type	Usage	Translate	Comment	Init	Access	Retain	Constant	OPC	HMI	Proficloud	I/Q
rOut	REAL	External										

Components / Camera

```
1  ****
2  Code information:
3  Datatype for camera data
4
5  Author: Sander V. Andersen and Lars Askild S. Aarvik
6  Date: 08.05.2023
7  ****
8
9  TYPE
10     fromCamera          : STRUCT
11         rX               : REAL;      // X-vector Aruco
12         rY               : REAL;      // Y-vector Aruco
13         rZ               : REAL;      // Z-vector Aruco
14     END_STRUCT;
15
16     STRING_10           : STRING[10];
17     BYTE_0_255           : ARRAY[0..255] OF BYTE;
18     arrString           : ARRAY[0..99] OF STRING_10;
19     LReal_0_10           : ARRAY[0..10] of LREAL;
20
21 END_TYPE
```

Components / Camera_Com / Variables

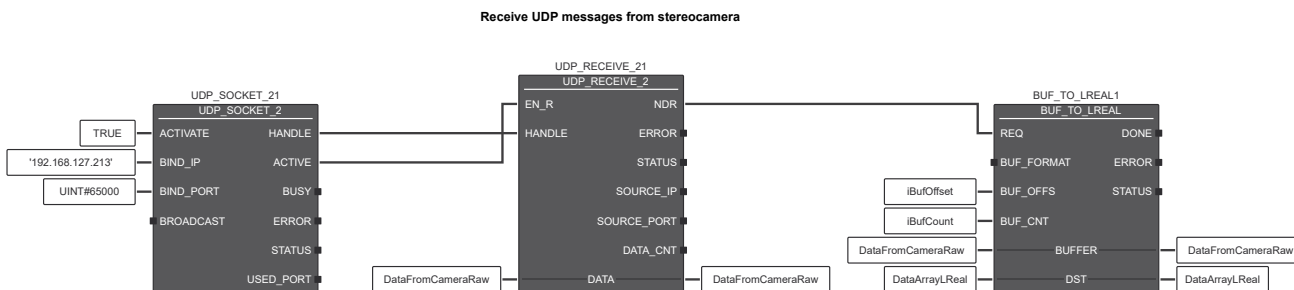
Local

Name	Type	Usage	Translate	Comment	Init	Retain	Constant	OPC	HMI	ProfiCloud	I/Q
DataFromCameraRaw	BYTE_0_255	Local									

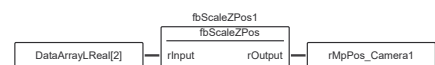
Default

Name	Type	Usage	Translate	Comment	Init	Retain	Constant	OPC	HMI	ProfiCloud	I/Q
UDP_SOCKET_21	UDP_SOCKET_2	Local									
UDP_RECEIVE_21	UDP_RECEIVE_2	Local									
BUF_TO_REAL1	BUF_TO_REAL	Local									
DataArray	REAL_0_10	Local									
iBufOffset	INT	Local						INT#12			
iBufCount	INT	Local						INT#24			
BUF_TO_LREAL1	BUF_TO_LREAL	Local									
DataArrayLReal	LReal_0_10	Local									
fbScaleZPos1	fbScaleZPos	Local									
xREQTest	BOOL	Local									
rMpPos_Camera1	REAL	External		Mp position from camera							

Components / Camera_Com / Code



Scale Aruco distance from cam...



PHOENIX CONTACT GmbH & Co. KG Flachsmarktstraße 8 32825 Blomberg, Germany	Demoplattform_Control_V1	21/05/2023
	PLCnext Engineer	Page 8

Components / Cylinder

```
1  /*****************************************************************************  
2  * Code information:  
3  * Datatype for cylinder data  
4  *  
5  * Author: Sander V. Andersen and Lars Askild S. Aarvik  
6  * Date: 20.02.2023  
7  * *****/  
8    
9  TYPE  
10   
11  // Data to cylinder  
12  sToCylinder : STRUCT  
13  xEnableRelay      : BOOL;  
14  rSpeedCMD        : REAL;  
15  xResetPos        : BOOL;  
16  END_STRUCT  
17   
18  // Data from cylinder  
19  sFromCylinder : STRUCT  
20  rSpeedsP         : REAL;  
21  rPosSP           : REAL;  
22  rPV              : REAL;  
23  dwPulses         : DWORD;  
24  rRCV              : REAL;  
25  END_STRUCT  
26   
27 END_TYPE
```

Components / DataTypes

```
1  ****
2  Code information:
3  General usefull datatypes
4
5  Author: Sander V. Andersen and Lars Askild S. Aarvik
6  Date: 20.02.2023
7  ****
8
9  TYPE
10 REAL_0_10      : ARRAY[0..10]OF REAL;
11 BYTE_0_36      : ARRAY[0..36]OF BYTE;
12 END_TYPE
```

Components / HMI

```

1  /*****************************************************************************  
2  Code information:  
3  Datatype for HMI data  
4  
5  Author: Sander V. Andersen and Lars Askild S. Aarvik  
6  Date: 12.02.2023  
7  ***************************************************************************/  
8  
9  TYPE  
10  
11  // Operation mode  
12  sMode : STRUCT  
13  iMode : INT;  
14  xManual : BOOL;  
15  xSimulated : BOOL;  
16  xLogFile : BOOL;  
17  END_STRUCT  
18  
19  // Command  
20  sCMD : STRUCT  
21  iCMD : INT;  
22  xStart : BOOL;  
23  xStopp : BOOL;  
24  xReset : BOOL;  
25  END_STRUCT  
26  
27  // From UI  
28  sFromUI : STRUCT  
29  iComCount : WORD; // Communication counter  
30  sOpMode : sMode; // Operation mode  
31  sCommand : sCMD; // Command  
32  rAmplitude : REAL; // Amplitude [m]  
33  tPeriod : TIME; // Periode [s]  
34  rPhaseDiff : REAL; // Phase difference [deg]  
35  rHeavePos : REAL; // Heave position for manual mode  
36  rRollAngle : REAL; // Roll angle for manual mode  
37  rResetLength : REAL; // Winch reset length  
38  xResetWinch : BOOL; // Winch reset command  
39  rC1HeavePosLogF : ARRAY[0..16355] OF REAL; // Cylinder 1 logfile position setpoint array  
40  rC2_C3HeavePosLogF : ARRAY[0..16355] OF REAL; // Cylinder 2, 3 logfile position setpoint array  
41  rC1_Velocity : ARRAY[0..16355] OF REAL; // Cylinder 1 logfile velocity setpoint array  
42  rC2_C3_Velocity : ARRAY[0..16355] OF REAL; // Cylinder 2, 3 logfile velocity setpoint array  
43  
44  END_STRUCT  
45  
46  // To UI  
47  sToUI : STRUCT  
48  rCyl1SP_Pos : REAL; // Position setpoint cylinder 1 [m]  
49  rCyl2SP_Pos : REAL; // Position setpoint cylinder 2 [m]  
50  rCyl3SP_Pos : REAL; // Position setpoint cylinder 3 [m]  
51  rCyl1PV_Pos : REAL; // Position cylinder 1 [m]  
52  rCyl2PV_Pos : REAL; // Position cylinder 2 [m]  
53  rCyl3PV_Pos : REAL; // Position cylinder 3 [m]  
54  rCyl1_Speed : REAL; // Velocity cylinder 1 [m/s]  
55  rCyl2_Speed : REAL; // Velocity cylinder 2 [m/s]  
56  rCyl3_Speed : REAL; // Velocity cylinder 3 [m/s]  
57  rWinch_Pos : REAL; // Wire length winch [m]  
58  rWinch_Speed : REAL; // Velocity winch [RPM]  
59  xRunningStatus : BOOL; // TRUE = Running, FALSE = Not Running.  
60  xEM_STOP : BOOL; // Emergency stop active  
61  rAHC_CenterPos : REAL; // AHC center position  
62  wWinchOpMode : WORD; // Operationmode winch  
63  END_STRUCT  
64  
65  END_TYPE

```

Components / HMI / fbFromHMI / Variables

Inputs

Name	Type	Usage	Translate	Comment	Init	Access	Retain	Constant	OPC	HMI	Proficloud	I/Q
rawData	MB_TCP_ARR_W_0_65535	Input		Rawdata from HMI								
xSTOP_EM	BOOL	Input		Emergency stop input from HMI								

Outputs

Name	Type	Usage	Translate	Comment	Init	Access	Retain	Constant	OPC	HMI	Proficloud	I/Q
Data	sFromUI	Output										

Local

Name	Type	Usage	Translate	Comment	Init	Access	Retain	Constant	OPC	HMI	Proficloud	I/Q
rPlattformCC	REAL	Local		Center-center between cylinder front/rear in meter	REAL# 0.425	Private						
xConection	BOOL	Local		True if connection OK, False if not		Private						
PI	REAL	Local		Local var for PI	REAL# 3.14159265359	Private						
j	DINT	Local		Used for for-loop		Private						
i	DINT	Local		Used for for-loop		Private						
emptyWord	WORD	Local				Private						
rTEST	REAL	Local				Private						
dwTest	DWORD	Local				Private						
iCounterCom	INT	Local		Communication counter		Private						
iLastComCounter	WORD	Local		Used variable under communication check		Private						

External

Name	Type	Usage	Translate	Comment	Init	Access	Retain	Constant	OPC	HMI	Proficloud	I/Q
rC1PosSP_Manual	REAL	External		External cylinder 1 position setpoint in manual mode								
rC2_C3PosSP_Manual	REAL	External		External cylinder 2 and 3 position setpoint in manual mode								

PHOENIX CONTACT GmbH & Co. KG Flachsmarktstraße 8 32825 Blomberg, Germany	Demoplattform_Control_V1	21/05/2023
	PLCnext Engineer	Page 12

Components / HMI / fbFromHMI / Code

```

1  /**************************************************************************
2   * Code information:
3   * Function block that maps data from user interface to PLC.
4   *
5   *
6   * Author: Sander V. Andersen and Lars Askild S. Aarvik
7   * Date: 05.03.2023
8   */
9
10
11 // Mapping from UI
12 // Checking com counter
13 if(iCounterCom > 150)THEN
14     iCounterCom      := 0;
15     if(iLastComCounter = Data.iComCount)THEN
16         xConection     := FALSE;
17     ELSE
18         xConection     := TRUE;
19     END_IF;
20     iLastComCounter := Data.iComCount;
21
22 ELSE
23     iCounterCom      := iCounterCom + 1;
24 END_IF;
25
26 Data.iComCount      := rawData[100];
27
28 // Checking safety functions
29 IF(NOT(xSTOP_EM) OR NOT(xConection))THEN
30
31 Data.sOpMode.iMode      := 0;
32 Data.sCommand.iCMD      := 0;
33 Data.sOpMode.xManual    := TRUE;
34 Data.sOpMode.xSimulated := FALSE;
35 Data.sOpMode.xLogFile   := FALSE;
36 Data.sCommand.xStopp    := TRUE;
37 Data.sCommand.xStart    := FALSE;
38 Data.sCommand.xReset    := FALSE;
39
40 ELSE
41
42 If(rawData[101] = 0)THEN
43     Data.sOpMode.xManual    := TRUE;
44     Data.sOpMode.xSimulated := FALSE;
45     Data.sOpMode.xLogFile   := FALSE;
46     ELSIF (rawData[101] = 1)THEN
47     Data.sOpMode.xSimulated := TRUE;
48     Data.sOpMode.xManual    := FALSE;
49     Data.sOpMode.xLogFile   := FALSE;
50     ELSIF (rawData[101] = 2)THEN
51     Data.sOpMode.xLogFile   := TRUE;
52     Data.sOpMode.xManual    := FALSE;
53     Data.sOpMode.xSimulated := FALSE;
54 END_IF;
55
56 IF(rawData[102] = 0)THEN
57     Data.sCommand.xStopp    := TRUE;
58     Data.sCommand.xStart    := FALSE;
59     Data.sCommand.xReset    := FALSE;
60     ELSIF (rawData[102] = 1)THEN
61     Data.sCommand.xStart    := TRUE;
62     Data.sCommand.xStopp    := FALSE;
63     Data.sCommand.xReset    := FALSE;
64     ELSIF (rawData[102] = 2)THEN
65     Data.sCommand.xReset    := TRUE;
66     Data.sCommand.xStopp    := FALSE;
67     Data.sCommand.xStart    := FALSE;
68 END_IF;
69
70 // Operation mode and command mapping
71 Data.sOpMode.iMode      := TO_INT(rawData[101]);
72 Data.sCommand.iCMD      := TO_INT(rawData[102]);
73
74 // Simulated Wave commands
75 Data.rAmplitude        := fnWordsToReal(FALSE, FALSE, rawData[103], rawData[104])/1000.0;
76 Data.tPeriod            := TO_TIME(TO_UINT (fnWordsToReal(FALSE, FALSE, rawData[105], rawData[106])));
77 Data.rPhaseDiff         := fnWordsToReal(FALSE, FALSE, rawData[107], rawData[108]);
78
79 // Manual mode
80 Data.rHeavePos          := fnWordsToReal(FALSE, FALSE, rawData[109], rawData[110])/1000.0;
81 Data.rRollAngle         := fnWordsToReal(FALSE, FALSE, rawData[111], rawData[112]);

```

PHOENIX CONTACT GmbH & Co. KG Flachmarkstraße 8 32825 Blomberg, Germany	Demoplatform_Control_V1	21/05/2023
	PLCnext Engineer	Page 13

Components / HMI / fbFromHMI / Code

```

82
83 IF(Data.sOpMode.xManual)THEN
84     // Calculate manual pos.
85     rC1PosSP_Manual      := Data.rHeavePos + ((SIN(Data.rRollAngle * (PI/180.0)) * rPlattformCC))/2;
86     rC2_C3PosSP_Manual   := Data.rHeavePos - ((SIN(Data.rRollAngle * (PI/180.0)) * rPlattformCC))/2;
87 END_IF;
88
89
90 // Reset winch pos data
91 Data.rResetLength      := fnWordsToReal(FALSE, FALSE, rawData[113], rawData[114])/1000.0;
92 IF(rawData[115] = 0)THEN
93     Data.xResetWinch    := FALSE;
94 ELSE
95     Data.xResetWinch    := TRUE;
96 END_IF;
97
98 // Logfile data
99 IF(Data.sOpMode.xLogFile)THEN
100    j := 0;
101
102    FOR i := 116 TO 65532 BY 4 DO
103        data.rC1HeavePosLogF[j]      := TO_REAL(TO_INT(rawData[i]))/100000;
104        Data.rC1_Velocity[j]         := TO_REAL(TO_INT(rawData[i+1]))/100000;
105        Data.rC2_C3HeavePosLogF[j]  := TO_REAL(TO_INT(rawData[i+2]))/100000;
106        Data.rC2_C3_Velocity[j]     := TO_REAL(TO_INT(rawData[i+3]))/100000;
107
108    j                      := j+1;
109 END_FOR;
110
111 END_IF;
112
113 END_IF;

```

Components / HMI / fbToHMI / Variables

Inputs

Name	Type	Usage	Translate	Comment	Init	Access	Retain	Constant	OPC	HMI	ProfiCloud	I/Q
DataFromPLC	sToUI	Input		Struct - data to HMI from PLC								

Outputs

Name	Type	Usage	Translate	Comment	Init	Access	Retain	Constant	OPC	HMI	ProfiCloud	I/Q
Rdata	MB_TCP_ARR_W_0_65535	Output		Mapped data to HMI								

Default

Name	Type	Usage	Translate	Comment	Init	Access	Retain	Constant	OPC	HMI	ProfiCloud	I/Q
DataFromHMI	sFromUI	External		Struct for all data from HMI								
arrHoldingRegisters	MB_TCP_ARR_W_0_65535	External										
fbRealToWords1	fbRealToWords	Local			Private							
DataToHMI	sToUI	External		Struct for all data to HMI								
xEM_STOP	BOOL	External		Emergency stop								

Components / HMI / fbToHMI / Code

```

1  ****
2  Code information:
3  Function block that maps data from PLC to user interface.
4
5
6  Author: Sander V. Andersen and Lars Askild S. Aarvik
7  Date: 03.03.2023
8  ****
9
10
11 // Mapping data to UI
12 fbRealToWords1(xSwapBytes := FALSE, xSwapWords := FALSE, rIn := DataFromPLC.rCyl1SP_Pos*1000.0, w0 => Rdata[0], w1 => Rdata[1]);
13 fbRealToWords1(xSwapBytes := FALSE, xSwapWords := FALSE, rIn := DataFromPLC.rCyl2SP_Pos*1000.0, w0 => Rdata[2], w1 => Rdata[3]);
14 fbRealToWords1(xSwapBytes := FALSE, xSwapWords := FALSE, rIn := DataFromPLC.rCyl3SP_Pos*1000.0, w0 => Rdata[4], w1 => Rdata[5]);
15 fbRealToWords1(xSwapBytes := FALSE, xSwapWords := FALSE, rIn := DataFromPLC.rCyl1PV_Pos*1000.0, w0 => Rdata[6], w1 => Rdata[7]);
16 fbRealToWords1(xSwapBytes := FALSE, xSwapWords := FALSE, rIn := DataFromPLC.rCyl2PV_Pos*1000.0, w0 => Rdata[8], w1 => Rdata[9]);
17 fbRealToWords1(xSwapBytes := FALSE, xSwapWords := FALSE, rIn := DataFromPLC.rCyl3PV_Pos*1000.0, w0 => Rdata[10], w1 => Rdata[11]);
18 Rdata[12].X0          := DataToHMI.xRunningStatus;
19 Rdata[13].X0          := DataToHMI.xEM_STOP;
20 fbRealToWords1(xSwapBytes := FALSE, xSwapWords := FALSE, rIn := DataFromPLC.rCyl1_Speed *100000.0, w0 => Rdata[14], w1 => Rdata[15]);
21 fbRealToWords1(xSwapBytes := FALSE, xSwapWords := FALSE, rIn := DataFromPLC.rCyl2_Speed *100000.0, w0 => Rdata[16], w1 => Rdata[17]);
22 fbRealToWords1(xSwapBytes := FALSE, xSwapWords := FALSE, rIn := DataFromPLC.rCyl3_Speed *100000.0, w0 => Rdata[18], w1 => Rdata[19]);
23 fbRealToWords1(xSwapBytes := FALSE, xSwapWords := FALSE, rIn := DataFromPLC.rWinch_Pos *1000.0, w0 => Rdata[20], w1 => Rdata[21]);
24 fbRealToWords1(xSwapBytes := FALSE, xSwapWords := FALSE, rIn := DataFromPLC.rWinch_Speed *100.0, w0 => Rdata[22], w1 => Rdata[23]);
25 fbRealToWords1(xSwapBytes := FALSE, xSwapWords := FALSE, rIn := DataFromPLC.rAHC_CenterPos * 1000.0, w0 => Rdata[24], w1 => Rdata[25]);
26 Rdata[26]              := DataFromPLC.wWinchOpMode;

```

Components / LogFile / Variables

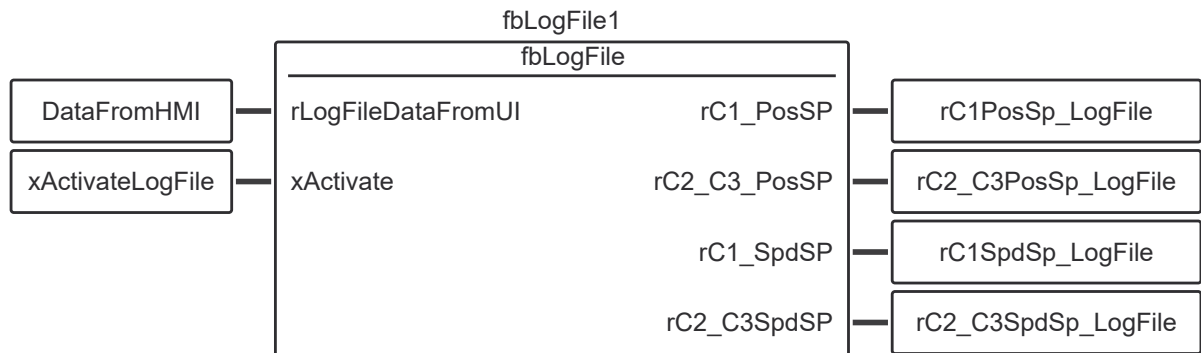
External

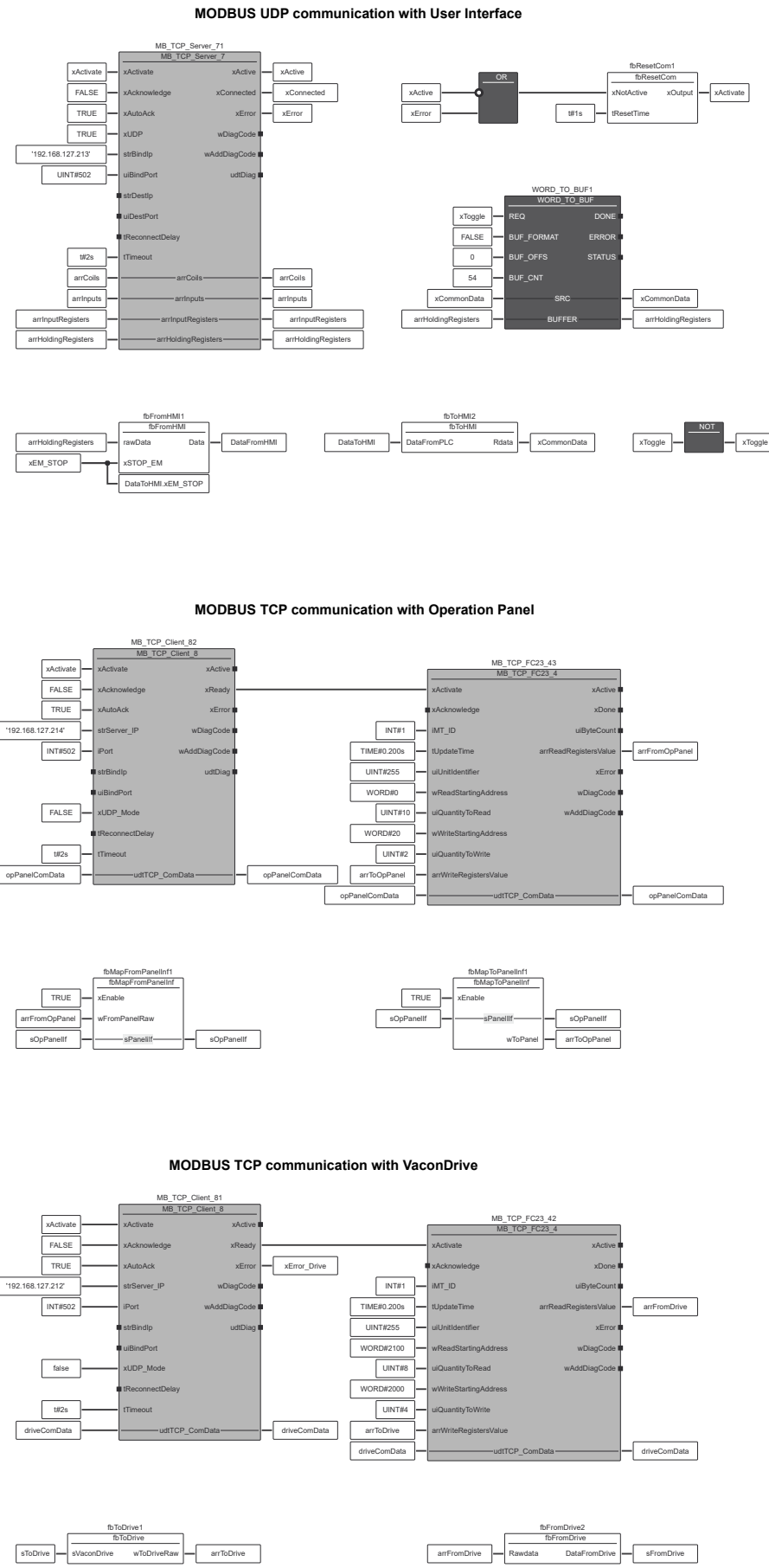
Name	Type	Usage	Translate	Comment	Init	Retain	Constant	OPC	HMI	ProfiCloud	I/Q
rC1PosSp_LogFile	REAL	External		PositionSetpoint to cylinder 1 calculated from logfile							
rC1SpdSp_LogFile	REAL	External		SpeedSetpoint to cylinder 1 calculated from logfile							
rC2_C3PosSp_LogFile	REAL	External		PositionSetpoint to cylinder 2 and 3 calculated from logfile							
rC2_C3SpdSp_LogFile	REAL	External		SpeedSetpoint to cylinder 2 and 3 calculated from logfile							

Default

Name	Type	Usage	Translate	Comment	Init	Retain	Constant	OPC	HMI	ProfiCloud	I/Q
DataFromHMI	sFromUI	External		Struct for all data from HMI							
xActivateLogFile	BOOL	External		Bool used to activate logfile mode							
fbLogFile1	fbLogFile	Local									

Logfile plattform control





Components / ModBus / Variables

Local											
Name	Type	Usage	Translate	Comment	Init	Retain	Constant	OPC	HMI	Profilcloud	I/Q
xActivate	BOOL	Local									
xActive	BOOL	Local									
xConnected	BOOL	Local									
xError	BOOL	Local									
xToggle	BOOL	Local									
xCommonData	MB_TCP_ARR_W_0_65535	Local									
fbResetCom1	fbResetCom	Local									
fbFromHMI1	fbFromHMI	Local									
fbToHMI2	fbToHMI	Local									
MB_TCP_Server_71	MB_TCP_Server_7	Local									
WORD_TO_BUF1	WORD_TO_BUF	Local									
xError_Drive	BOOL	Local									
driveComData	MB_TCP_UDT_COMMUNICATION	Local									
opPanelComData	MB_TCP_UDT_COMMUNICATION	Local									
arrFromDrive	MB_TCP_ARR_W_1_125	Local									
arrToDrive	MB_TCP_ARR_W_1_125	Local									
arrFromOpPanel	MB_TCP_ARR_W_1_125	Local									
arrToOpPanel	MB_TCP_ARR_W_1_125	Local									
External											
Name	Type	Usage	Translate	Comment	Init	Retain	Constant	OPC	HMI	Profilcloud	I/Q
sOpPanelIf	sPanelInterface	External		Struct with data to/from op panel							
sToDrive	ToVaconDriveEng	External		Struct with data to drive							
sFromDrive	FromVaconDriveEng	External		Struct with data from drive							
DataToHMI	sToUI	External		Struct for all data to HMI							
DataFromHMI	sFromUI	External		Struct for all data from HMI							
arrHoldingRegisters	MB_TCP_ARR_W_0_65535	External									
arrCoils	MB_TCP_ARR_X_0_65535	External									
arrInputs	MB_TCP_ARR_X_0_65535	External									
arrInputRegisters	MB_TCP_ARR_W_0_65535	External									
xEM_STOP	BOOL	External		Emergency stop							

PHOENIX CONTACT GmbH & Co. KG Flachsmarktstraße 8 32825 Blomberg, Germany	Demoplattform_Control_V1	21/05/2023
	PLCnext Engineer	Page 20

Components / ModBus / Variables

Default

Name	Type	Usage	Translate	Comment	Init	Retain	Constant	OPC	HMI	ProfiCloud	I/Q
MB_TCP_Client_81	MB_TCP_Client_8	Local									
MB_TCP_FC23_42	MB_TCP_FC23_4	Local									
MB_TCP_Client_82	MB_TCP_Client_8	Local									
MB_TCP_FC23_43	MB_TCP_FC23_4	Local									
fbMapFromPanellnf1	fbMapFromPanellnf	Local									
fbMapToPanellnf1	fbMapToPanellnf	Local									
fbFromDrive2	fbFromDrive	Local									
fbToDrive1	fbToDrive	Local									

Components / Panelinterface / fbMapFromPanelIn / Code

```

1  /*****************************************************************************  
2   Code information:  
3   Function block that maps data from Operator panel to PLC  
4  
5   Author: Sander V. Andersen and Lars Askild S. Aarvik  
6   Date: 11.04.2023  
7  ***************************************************************************/  
8  
9  IF xEnable THEN  
10    sPanellif.bCounter      := wFromPanelRaw[1].B0;  
11    sPanellif.xEmStop       := wFromPanelRaw[2].X15;  
12    sPanellif.xJoyErr       := wFromPanelRaw[2].X14;  
13    sPanellif.wButtons      := wFromPanelRaw[2];  
14    sPanellif.wJoySw        := wFromPanelRaw[3];  
15    sPanellif.rJoy1         := TO_REAL(TO_UINT(wFromPanelRaw[9])) / 10.0;  
16    sPanellif.rJoy2         := TO_REAL(TO_UINT(wFromPanelRaw[10])) / 10.0;  
17    sPanellif.rPot1         := TO_REAL(TO_UINT(wFromPanelRaw[6])) / 10.0;  
18    sPanellif.rPot2         := TO_REAL(TO_UINT(wFromPanelRaw[7])) / 10.0;  
19    sPanellif.iTemperature  := WORD_TO_INT(wFromPanelRaw[8]);  
20    sPanellif.wJoy1Raw      := wFromPanelRaw[9];  
21    sPanellif.wJoy2Raw      := wFromPanelRaw[10];  
22    sPanellif.wPot1Raw      := wFromPanelRaw[6];  
23    sPanellif.wPot2Raw      := wFromPanelRaw[7];  
24  
25  
26    sPanellif.xReset        := wFromPanelRaw[2].X6;  
27    sPanellif.xStandBy      := wFromPanelRaw[2].X7;  
28    sPanellif.xAHC          := wFromPanelRaw[2].X8;  
29    sPanellif.xInControl    := wFromPanelRaw[2].X10;  
30    sPanellif.xManual       := wFromPanelRaw[2].X11;  
31  
32 END_IF;  
33  
34

```

Components / Panelinterface / fbMapFromPanellnf / Variables

Inputs

Name	Type	Usage	Translate	Comment	Init	Access	Retain	Constant	OPC	HMI	Profilcloud	I/Q
xEnable	BOOL	Input		Enable block								
wFromPanelRa w	MB_TCP_ARR_W 1_125	Input		Modbus array from panel								
sPanellif	sPanellInterface	InOut		Panel interface structure								

Components / Panelinterface / fbMapToPanelInf / Code

```
1  /*****************************************************************************  
2  * Code information:  
3  * Function block that maps data from PLC to Operator panel.  
4  *  
5  * Author: Sander V. Andersen and Lars Askild S. Aarvik  
6  * Date: 11.04.2023  
7  * *****/  
8  IF xEnable THEN  
9  
10    sPanelIIf.wBtnLightA.X6      :=  sPanelIIf.xResetLight;  
11    sPanelIIf.wBtnLightA.X7      :=  sPanelIIf.xStandbyLight;  
12    sPanelIIf.wBtnLightA.X8      :=  sPanelIIf.xAHCLight;  
13    sPanelIIf.wBtnLightA.X10     :=  sPanelIIf.xControlLight;  
14    sPanelIIf.wBtnLightA.X11     :=  sPanelIIf.xManualLight;  
15  
16    wToPanel[1]     := sPanelIIf.wBtnLightA;  
17    wToPanel[2]     := sPanelIIf.wBtnLightB;  
18    wToPanel[1].X15 := sPanelIIf.xBuzzer;  
19  
20  
21 END_IF;
```

Components / Panelinterface / fbMapToPanelInf / Variables

Input

Name	Type	Usage	Translate	Comment	Init	Access	Retain	Constant	OPC	HMI	Proficloud	I/Q
xEnable	BOOL	Input		Enable function block								
sPanellif	sPanellInterface	InOut		Struct data to Operator panel								

Output

Name	Type	Usage	Translate	Comment	Init	Access	Retain	Constant	OPC	HMI	Proficloud	I/Q
wToPanel	MB_TCP_ARR_W_1 _125	Output		Word array to panel								

Components / PanelInterface

```

1  /*****************************************************************************  
2  * Code information:  
3  * Datatype for panelinterface data  
4  *  
5  * Author: Sander V. Andersen and Lars Askild S. Aarvik  
6  * Date: 28.03.2023  
7  *  
8  */  
9  TYPE  
10  
11  WORD_0_9          : ARRAY[0..9] OF WORD;  
12  WORD_0_1          : ARRAY[0..1] OF WORD;  
13  
14  // Struct for interface  
15  sPanelInterface   : STRUCT  
16  xConnected        : BOOL;      (* True if connected and bCounter gets updated *)  
17  bCounter          : BYTE;      (* Counter increments every 50ms by panel *)  
18  xEmStop           : BOOL;      (* True if emergency stop is pressed *)  
19  xJoyErr           : BOOL;      (* True if joystick switch error *)  
20  wJoySw            : WORD;      (* Joystick switches: X0=Joy1 SwNeg, X1=Joy1 SwPos, X2=Joy2 SwNeg, X3 = Joy2  
21  SwPos *)  
22  wButtons          : WORD;      (* Button states: X0-X11 *)  
23  rJoy1             : REAL;      (* Joystick +/-100% *)  
24  rJoy2             : REAL;      (* Joystick +/-100% *)  
25  wJoy1Raw          : WORD;      (* Joystick 0-1000 without direction *)  
26  wJoy2Raw          : WORD;      (* Joystick 0-1000 without direction *)  
27  rPot1              : REAL;      (* Potmeter 0-100%*)  
28  rPot2              : REAL;      (* Potmeter 0-100%*)  
29  wPot1Raw          : WORD;      (* Potmeter 0-1000 *)  
30  wPot2Raw          : WORD;      (* Potmeter 0-1000 *)  
31  iTemperature      : INT;       (* Panel temperature *C *)  
32  wBtnLightA         : WORD;      (* Button lights channel A, X0-X11 *)  
33  wBtnLightB         : WORD;      (* Button lights channel B, X0-X11 *)  
34  xBuzzer            : BOOL;      (* Buzzer output ON *)  
35  xReset             : BOOL;  
36  xStandBy           : BOOL;  
37  xAHC               : BOOL;  
38  xInControl          : BOOL;  
39  xManual             : BOOL;  
40  xResetLight         : BOOL;  
41  xStandbyLight       : BOOL;  
42  xAHCLight           : BOOL;  
43  xControlLight       : BOOL;  
44  xManualLight        : BOOL;  
45  END_STRUCT;  
46  END_TYPE  
47

```

Components / PID

```
1  ****
2  Code information:
3  Datatype for PID data
4
5  Author: Sander V. Andersen and Lars Askild S. Aarvik
6  Date: 05.02.2023
7  ****
8
9  TYPE
10
11 // Operation mode
12 sPID : STRUCT
13   iMode          : INT;    // PID mode
14   rPosSP        : REAL;   // Position setpoint
15 END_STRUCT
16
17 END_TYPE
```

Components / Plattform / fbEncConverter / Variables

Input

Name	Type	Usage	Translate	Comment	Init	Access	Retain	Constant	OPC	HMI	ProfiCloud	I/Q
dwRawDataEncoder	DWORD	Input		Raw encoder value								

Output

Name	Type	Usage	Translate	Comment	Init	Access	Retain	Constant	OPC	HMI	ProfiCloud	I/Q
rOutValueInMeter	REAL	Output		OutValue in meter 0.1 = 10 cm								

Local

Name	Type	Usage	Translate	Comment	Init	Access	Retain	Constant	OPC	HMI	ProfiCloud	I/Q
rPulses	REAL	Local		Pulses encoder has	REAL#800.0	Private						
rDistance	REAL	Local		Driving distance for cylinder in meter	REAL#0.30	Private						
udiRawDataUDINT	UDINT	Local				Private						

Components / Plattform / fbEncConverter / Code

```
1  /*****************************************************************************  
2  * Code information:  
3  * Function block that scales pulses given from encoder to position in meter.  
4  *  
5  * Author: Sander V. Andersen and Lars Askild S. Aarvik  
6  * Date: 14.02.2023  
7  ****************************************************************************/  
8    
9  udiRawDataUDINT      :=      TO_UDINT(dwRawDataEncoder); // For calculation  
10 rOutValueInMeter     :=      TO_REAL(udiRawDataUDINT) * (rDistance/rPulses); // Outvalue - position[m]  
11  
12  
13  
14  
15  
16
```

Components / Plattform / fbLogFile / Variables

INPUT

Name	Type	Usage	Translate	Comment	Init	Access	Retain	Constant	OPC	HMI	ProfiCloud	I/Q
rLogFileDataFromUI	sFromUI	Input		Struct with logfile data from HMI								
xActivate	BOOL	Input		Activates function block								

OUTPUT

Name	Type	Usage	Translate	Comment	Init	Access	Retain	Constant	OPC	HMI	ProfiCloud	I/Q
rC1_PosSP	REAL	Output		Output interpolated position setpoint Cylinder 1								
rC2_C3_PosSP	REAL	Output		Output interpolated position setpoint Cylinder 2 and 3								
rC1_SpdSP	REAL	Output		Output interpolated velocity setpoint Cylinder 1								
rC2_C3SpdSP	REAL	Output		Output interpolated velocity setpoint Cylinder 2 and 3								

LOCAL

Name	Type	Usage	Translate	Comment	Init	Access	Retain	Constant	OPC	HMI	ProfiCloud	I/Q
iArrayCount	INT	Local		Local array used to interpolate data								
iLoopCount	INT	Local		Loop counter used in for loop - which interpolate data								

Components / Plattform / fbLogFile / Code

```

1  /**************************************************************************
2   * Code information:
3   * Function block that interpolates wavefile position setpoint & speed setpoint.
4   * Returns Position setpoint and speed point.
5   * Author: Sander V. Andersen and Lars Askild S. Aarvik
6   * Date: 17.03.2023
7  **************************************************************************/
8
9
10  IF(xActivate)THEN
11  IF(rLogFileDataFromUI.sOpMode.xLogFile)THEN
12
13      IF(rLogFileDataFromUI.sCommand.xStart)THEN
14
15
16
17      // Interpolation
18      If(iLoopCount >= 10)THEN
19          iLoopCount           := 0;
20          iArrayCount         := iArrayCount + 1;
21          rC1_PosSP           := rLogFileDataFromUI.rC1HeavePosLogF[iArrayCount] + 0.15;
22          rC1_SpdSP            := rLogFileDataFromUI.rC1_Velocity[iArrayCount];
23          rC2_C3_PosSP         := rLogFileDataFromUI.rC2_C3HeavePosLogF[iArrayCount] + 0.15;
24          rC2_C3SpdSP          := rLogFileDataFromUI.rC2_C3_Velocity[iArrayCount];
25
26
27      ELSE
28
29
30      // Interpolation
31      rC1_PosSP             := (
32          (((rLogFileDataFromUI.rC1HeavePosLogF[iArrayCount+1] + 0.15) -
33          (rLogFileDataFromUI.rC1HeavePosLogF[iArrayCount] + 0.15)
34          ) / 10) * iLoopCount) + rLogFileDataFromUI.rC1HeavePosLogF[iArrayCount] + 0.15
35          );
36
37
38      rC1_SpdSP              := (
39          (((rLogFileDataFromUI.rC1_Velocity[iArrayCount+1]) -
40          (rLogFileDataFromUI.rC1_Velocity[iArrayCount])
41          ) / 10) * iLoopCount) + rLogFileDataFromUI.rC1_Velocity[iArrayCount]
42          );
43
44
45      rC2_C3_PosSP           := (
46          (((rLogFileDataFromUI.rC2_C3HeavePosLogF[iArrayCount+1] + 0.15) -
47          (rLogFileDataFromUI.rC2_C3HeavePosLogF[iArrayCount] + 0.15)
48          ) / 10) * iLoopCount) + rLogFileDataFromUI.rC2_C3HeavePosLogF[iArrayCount] +
49          0.15
50          );
51
52
53      rC2_C3SpdSP            := (
54          (((rLogFileDataFromUI.rC2_C3_Velocity[iArrayCount+1]) -
55          (rLogFileDataFromUI.rC2_C3_Velocity[iArrayCount])
56          ) / 10) * iLoopCount) + rLogFileDataFromUI.rC2_C3_Velocity[iArrayCount]
57          );
58
59
60      iLoopCount           := iLoopCount + 1;
61      END_IF;
62
63
64
65      if(iArrayCount >= 16355)THEN
66          iArrayCount       := 0;
67          END_IF;
68
69      END_IF;
70
71      END_IF;
72      ELSE
73          iArrayCount       := 0;
74      END_IF;
75
76
77
78
79

```

PHOENIX CONTACT GmbH & Co. KG Flachmarkstraße 8 32825 Blomberg, Germany	Demoplattform_Control_V1	21/05/2023
	PLCnext Engineer	Page 31

Components / Plattform / fbOperation / Variables

Inputs

Name	Type	Usage	Translate	Comment	Init	Access	Retain	Constant	OPC	HMI	Proficloud	I/Q
sFromCylinder1	sFromCylinder	Input		Struct with data from cylinder 1								
sFromCylinder2	sFromCylinder	Input		Struct with data from cylinder 2								
sFromCylinder3	sFromCylinder	Input		Struct with data from cylinder 3								
sDataFromHMI	sFromUI	Input		Struct with datacommands from HMI								

Outputs

Name	Type	Usage	Translate	Comment	Init	Access	Retain	Constant	OPC	HMI	Proficloud	I/Q
sToCylinder1	sToCylinder	Output		Struct with data to cylinder 1								
sToCylinder2	sToCylinder	Output		Struct with data to cylinder 2								
sToCylinder3	sToCylinder	Output		Struct with data to cylinder 3								
xActivateSinGen	BOOL	Output		Activate Sinus wave generator								
xRunning	BOOL	Output		TRUE if plattfrom is running, FALSE if not								
xActivateLogFile	BOOL	Output		Bool that activates logfile mode								
sPID1	sPID	Output		Struct with PID data to cylinder 1								
sPID2	sPID	Output		Struct with PID data to cylinder 2								
sPID3	sPID	Output		Struct with PID data to cylinder 3								

Local												
Name	Type	Usage	Translate	Comment	Init	Access	Retain	Constant	OPC	HMI	Proficloud	I/Q
xResetFinished	BOOL	Local						Private				
iWaitCounter	INT	Local						Private				
xStartPosReached	BOOL	Local						Private				
rRCVC1	REAL	Local						Private				
rRCVC2	REAL	Local						Private				
rRCVC3	REAL	Local						Private				
rTempTime	REAL	Local						Private				
xC1RunningOut	BOOL	Local			TRUE			Private				
xC1RunningIN	BOOL	Local			TRUE			Private				
xC2_C3RunningOut	BOOL	Local			TRUE			Private				
xC2_C3RunningIN	BOOL	Local			TRUE			Private				
xC1PosReached	BOOL	Local						Private				
xC2PosReached	BOOL	Local						Private				
xC3PosReached	BOOL	Local						Private				
rTempSPD_C1	REAL	Local						Private				
rTempSPD_C2	REAL	Local						Private				
rTempSPD_C3	REAL	Local						Private				
uLastPulse1	UDINT	Local			UDINT# 1000			Private				
uLastPulse2	UDINT	Local						Private				
uLastPulse3	UDINT	Local						Private				
rStartPosition	REAL	Local			REAL# 0.15			Private				
xTempTimeCalculated	BOOL	Local						Private				
rDefaultSpd	REAL	Local			REAL# 0.025			Private				
xtravelCalculated	BOOL	Local						Private				
xC2C3_LongestWay	BOOL	Local						Private				
rDeadBand	REAL	Local			REAL# 0.002			Private				
iResetCounter	INT	Local						Private				

PHOENIX CONTACT GmbH & Co. KG Flachsmarktstraße 8 32825 Blomberg, Germany	Demoplattform_Control_V1	21/05/2023
	PLCnext Engineer	Page 33

Components / Plattform / fbOperation / Code

```

1  ****
2  Code information:
3  Function block for operating the plattform in different operation modes (Manual-control, Simulated and Logfile) with
4  different commands(Start, stopp, reset).
5
6  Author: Sander V. Andersen and Lars Askild S. Aarvik
7  Date: 13.04.2023
8  ****
9
10 CASE sDataFromHMI.sCommand.iCMD OF
11   //
12   // Stop
13   //
14   0:
15     xC1RunningIN          := TRUE;
16     xC1RunningOut         := TRUE;
17     xC2_C3RunningIN      := TRUE;
18     xC2_C3RunningOut     := TRUE;
19     xTempTimeCalculated  := FALSE;
20     xtravelCalculated    := FALSE;
21     xC1PosReached        := FALSE;
22     xC2PosReached        := FALSE;
23     xC3PosReached        := FALSE;
24
25     xRunning              := FALSE;
26     xResetFinished        := FALSE;
27     sToCylinder1.xResetPos := FALSE;
28     sToCylinder2.xResetPos := FALSE;
29     sToCylinder3.xResetPos := FALSE;
30     sTOCylinder1.xEnableRelay := FALSE;
31     sTOCylinder2.xEnableRelay := FALSE;
32     sTOCylinder3.xEnableRelay := FALSE;
33     xActivateSinGen      := FALSE;
34     xActivateLogFile       := FALSE;
35     xStartPosReached      := FALSE;
36     sTOCylinder1.rSpeedCMD := 0;
37     sTOCylinder2.rSpeedCMD := 0;
38     sTOCylinder3.rSpeedCMD := 0;
39     iWaitCounter           := 0;
40
41   // Start
42   //
43   1:
44   CASE sDataFromHMI.sOpMode.iMode OF
45     //
46     // Manual
47     //
48     0:
49
50     if(iWaitCounter < 2) THEN
51       iWaitCounter           := iWaitCounter + 1;
52     ELSE
53
54
55     // Check which cylinder has the longest way to travel
56     IF((ABS(sFromCylinder1.rPosSP - sFromCylinder1.rPV) <= ABS(sFromCylinder2.rPosSP - sFromCylinder2.rPV)) AND NOT
57     (xtravelCalculated))THEN
58       xC2C3_LongestWay      := TRUE;
59     ELSEIF((ABS(sFromCylinder1.rPosSP - sFromCylinder1.rPV) > ABS(sFromCylinder2.rPosSP - sFromCylinder2.rPV)) AND NOT
60     (xtravelCalculated))THEN
61       xC2C3_LongestWay      := FALSE;
62     END_IF;
63
64
65     // Cylinder2 and cylinder3 longest travel way
66     IF(xC2C3_LongestWay)THEN
67
68       //Calculating cylinder2 and 3 traveltimes
69       IF(NOT(xTempTimeCalculated))THEN
70         rTempTime              := ABS(sFromCylinder2.rPV-sFromCylinder2.rPosSP)/rDefaultSpd;
71         IF(rTempTime > 0) THEN
72           // Calculating speed for cylinder1
73           rTempSPD_C1            := fnFeedForwardC1((sFromCylinder1.rPV - sFromCylinder1.rPosSP)/
74           rTempTime);
75           END_IF;
76         xTempTimeCalculated    := TRUE;
77       END_IF;

```

Components / Plattform / fbOperation / Code

```

78      // Check if cylinder2 and cylinder3 should run out or in
79      // Cylinder2 should run out
80      If((sFromCylinder2.rPV < (sFromCylinder2.rPosSP - rDeadBand)) AND NOT(xC2PosReached)) THEN
81          sToCylinder2.rSpeedCMD      := fnFeedForwardC2(~rDefaultSpd);
82          sToCylinder2.xEnableRelay  := TRUE;
83      // Cylinder2 should run in
84      ELSIF((sFromCylinder2.rPV > (sFromCylinder2.rPosSP + rDeadBand)) AND NOT(xC2PosReached)) THEN
85          sToCylinder2.rSpeedCMD      := fnFeedForwardC2(rDefaultSpd);
86          sToCylinder2.xEnableRelay  := TRUE;
87      // Stop Cylinder2
88      ELSE
89          sToCylinder2.rSpeedCMD      := 0;
90          sToCylinder2.xEnableRelay  := FALSE;
91          xC2PosReached            := TRUE;
92      END_IF;
93
94
95      // Cylinder3 should run out
96      If((sFromCylinder3.rPV < (sFromCylinder3.rPosSP - rDeadBand)) AND NOT(xC3PosReached)) THEN
97          sToCylinder3.rSpeedCMD      := fnFeedForwardC3(~rDefaultSpd);
98          sToCylinder3.xEnableRelay  := TRUE;
99      // Cylinder3 should run in
100     ELSIF((sFromCylinder3.rPV > (sFromCylinder3.rPosSP + rDeadBand)) AND NOT(xC3PosReached)) THEN
101         sToCylinder3.rSpeedCMD      := fnFeedForwardC3(rDefaultSpd);
102         sToCylinder3.xEnableRelay  := TRUE;
103     // Stop Cylinder3
104     ELSE
105         sToCylinder3.rSpeedCMD      := 0;
106         sToCylinder3.xEnableRelay  := FALSE;
107         xC3PosReached            := TRUE;
108     END_IF;
109
110
111      // Running cylinder1 with calculated speed
112      // Cylinder1 should run out
113      If((sFromCylinder1.rPV < (sFromCylinder1.rPosSP - rDeadBand)) AND NOT(xC1PosReached)) THEN
114          sToCylinder1.rSpeedCMD      := rTempSPD_C1;
115          sToCylinder1.xEnableRelay  := TRUE;
116      // Cylinder1 should run in
117      ELSIF((sFromCylinder1.rPV > (sFromCylinder1.rPosSP + rDeadBand)) AND NOT(xC1PosReached)) THEN
118          sToCylinder1.rSpeedCMD      := rTempSPD_C1;
119          sToCylinder1.xEnableRelay  := TRUE;
120      // Stop Cylinder1
121      ELSE
122          sToCylinder1.rSpeedCMD      := 0;
123          sToCylinder1.xEnableRelay  := FALSE;
124          xC1PosReached            := TRUE;
125      END_IF;
126
127
128      // Cylinder1 longest travel way
129      ELSE
130
131          //Calculating cylinder1
132          IF(NOT(xTempTimeCalculated)) THEN
133              rTempTime                  := ABS(sFromCylinder1.rPV-sFromCylinder1.rPosSP)/rDefaultSpd;
134              IF(rTempTime > 0) THEN
135                  // Calculating speed for cylinder2 and cylinder 3
136                  rTempSPD_C2                := fnFeedForwardC2((sFromCylinder2.rPV - sFromCylinder2.rPosSP) /
137                  rTempTime);
138                  rTempSPD_C3                := fnFeedForwardC3((sFromCylinder3.rPV - sFromCylinder3.rPosSP) /
139                  rTempTime);
140                  END_IF;
141                  xTempTimeCalculated        := TRUE;
142                  END_IF;
143
144
145          // Check if cylinder1 should run out or in
146          // Cylinder1 should run out
147          If((sFromCylinder1.rPV < (sFromCylinder1.rPosSP - rDeadBand)) AND NOT(xC1PosReached)) THEN
148              sToCylinder1.rSpeedCMD      := fnFeedForwardC1(~rDefaultSpd);
149              sToCylinder1.xEnableRelay  := TRUE;
150          // Cylinder1 should run in
151          ELSIF((sFromCylinder1.rPV > (sFromCylinder1.rPosSP + rDeadBand)) AND NOT(xC1PosReached)) THEN
152              sToCylinder1.rSpeedCMD      := fnFeedForwardC1(rDefaultSpd);
153              sToCylinder1.xEnableRelay  := TRUE;
154          // Stop Cylinder1
155          ELSE
156              sToCylinder1.rSpeedCMD      := 0;
157              sToCylinder1.xEnableRelay  := FALSE;
158              xC1PosReached            := TRUE;
159          END_IF;

```

PHOENIX CONTACT GmbH & Co. KG Flachmarkstraße 8 32825 Blomberg, Germany	Demoplattform_Control_V1	21/05/2023
	PLCnext Engineer	Page 35

Components / Plattform / fbOperation / Code

```

157
158    // Running cylinder2 and cylinder3 with calculated speed
159    // Cylinder2 should run out
160    IF((sFromCylinder2.rPV < (sFromCylinder2.rPosSP - rDeadBand)) AND NOT(xC2PosReached) )THEN
161        sToCylinder2.rSpeedCMD      := rTempSPD_C2;
162        sToCylinder2.xEnableRelay := TRUE;
163        // Cylinder2 should run in
164    ELSIF((sFromCylinder2.rPV > (sFromCylinder2.rPosSP + rDeadBand)) AND NOT(xC2PosReached) )THEN
165        sToCylinder2.rSpeedCMD      := rTempSPD_C2;
166        sToCylinder2.xEnableRelay := TRUE;
167        // Stop Cylinder2
168    ELSE
169        sToCylinder2.rSpeedCMD      := 0;
170        sToCylinder2.xEnableRelay := FALSE;
171        xC2PosReached            := TRUE;
172    END_IF;
173
174    // Cylinder3 should run out
175    If((sFromCylinder3.rPV < (sFromCylinder3.rPosSP - rDeadBand)) AND NOT(xC3PosReached) )THEN
176        sToCylinder3.rSpeedCMD      := rTempSPD_C3;
177        sToCylinder3.xEnableRelay := TRUE;
178        // Cylinder3 should run in
179    ELSIF((sFromCylinder3.rPV > (sFromCylinder3.rPosSP + rDeadBand)) AND NOT(xC3PosReached) )THEN
180        sToCylinder3.rSpeedCMD      := rTempSPD_C3;
181        sToCylinder3.xEnableRelay := TRUE;
182        // Stop Cylinder3
183    ELSE
184        sToCylinder3.rSpeedCMD      := 0;
185        sToCylinder3.xEnableRelay := FALSE;
186        xC3PosReached            := TRUE;
187    END_IF;
188
189
190
191
192    END_IF;
193
194
195    // Check if cylinders are moving
196    If(xC1PosReached AND xC2PosReached AND xC3PosReached)THEN
197        xRunning          := FALSE;
198    ELSE
199        xRunning          := TRUE;
200    END_IF;
201
202
203    END_IF;
204
205
206    //
207    // Simulated
208    //
209    1:
210    // Enabling Enable relays
211    sToCylinder1.xEnableRelay      := TRUE;
212    sToCylinder2.xEnableRelay      := TRUE;
213    sToCylinder3.xEnableRelay      := TRUE;
214
215    // Checking if all cylinders have reached start positon
216    // if they have, the system will start running in simulated mode
217    IF(xC1PosReached AND xC2PosReached AND xC3PosReached)THEN
218        xActivateSinGen          := TRUE;
219    // Cylinder1 PID OpMode
220    IF(sFromCylinder1.rPV - sFromCylinder1.rPosSP > 0) THEN
221        sPID1.iMode              := 3;
222        rRCVC1                   := sFromCylinder1.rRCV;
223    ELSE
224        sPID1.iMode              := 2;
225        rRCVC1                   := sFromCylinder1.rRCV * -1.0;
226    END_IF;
227    IF(sFromCylinder2.rPV - sFromCylinder2.rPosSP > 0) THEN
228        sPID2.iMode              := 3;
229        rRCVC2                   := sFromCylinder2.rRCV;
230    ELSE
231        sPID2.iMode              := 2;
232        rRCVC2                   := sFromCylinder2.rRCV * -1.0;
233    END_IF;
234    IF(sFromCylinder3.rPV - sFromCylinder3.rPosSP > 0) THEN
235        sPID3.iMode              := 3;
236        rRCVC3                   := sFromCylinder3.rRCV;
237    ELSE

```

PHOENIX CONTACT GmbH & Co. KG Flachmarkstraße 8 32825 Blomberg, Germany	Demoplattform_Control_V1	21/05/2023
	PLCnext Engineer	Page 36

Components / Plattform / fbOperation / Code

```

238     sPID3.iMode          := 2;
239     rRCVC3               := sFromCylinder3.rRCV * -1.0;
240     END_IF;
241
242     sPID1.rPosSP         := sFromCylinder1.rPosSP;
243     sPID2.rPosSP         := sFromCylinder2.rPosSP;
244     sPID3.rPosSP         := sFromCylinder3.rPosSP;
245     sToCylinder1.rSpeedCMD := fnFeedForwardC1(sFromCylinder1.rSpeedSP) + rRCVC1;//
246     sToCylinder2.rSpeedCMD := fnFeedForwardC2(sFromCylinder2.rSpeedSP) + rRCVC2;//
247     sToCylinder3.rSpeedCMD := fnFeedForwardC3(sFromCylinder3.rSpeedSP) + rRCVC3;//
248
249 ELSE
250 // Running to start position
251 IF(sFromCylinder1.rPV < rStartPosition AND NOT(xC1PosReached)) THEN
252     sToCylinder1.rSpeedCMD := fnFeedForwardC1(-rDefaultSpd);
253
254 ELSE
255     sToCylinder1.rSpeedCMD := 0;
256     xC1PosReached        := TRUE;
257     END_IF;
258 IF(sFromCylinder2.rPV < rStartPosition AND NOT(xC2PosReached)) THEN
259     sToCylinder2.rSpeedCMD := fnFeedForwardC2(-rDefaultSpd);
260 ELSE
261     sToCylinder2.rSpeedCMD := 0;
262     xC2PosReached        := TRUE;
263     END_IF;
264 IF(sFromCylinder3.rPV < rStartPosition AND NOT(xC3PosReached)) THEN
265     sToCylinder3.rSpeedCMD := fnFeedForwardC3(-rDefaultSpd);
266 ELSE
267     sToCylinder3.rSpeedCMD := 0;
268     xC3PosReached        := TRUE;
269     END_IF;
270 END_IF;
271
272 //
273 // Logfile
274 //
275 2:
276 // Enabling Enable relays
277 sToCylinder1.xEnableRelay      := TRUE;
278 sToCylinder2.xEnableRelay      := TRUE;
279 sToCylinder3.xEnableRelay      := TRUE;
280
281 // Checking if all cylinders have reached start positon
282 // if they have, the system will start running in simulated mode
283 IF(xC1PosReached AND xC2PosReached AND xC3PosReached)THEN
284     xActivateLogFile           := TRUE;
285
286 // Cylinder1 PID OpMode
287 IF(sFromCylinder1.rPV - sFromCylinder1.rPosSP > 0) THEN
288     sPID1.iMode              := 3;
289     rRCVC1                  := (sFromCylinder1.rRCV); // + rLastRCV1)/2;
290 ELSE
291     sPID1.iMode              := 2;
292     rRCVC1                  := ((sFromCylinder1.rRCV * -1.0)); // + rLastRCV1) * -1.0)/2;
293     END_IF;
294 IF(sFromCylinder2.rPV - sFromCylinder2.rPosSP > 0) THEN
295     sPID2.iMode              := 3;
296     rRCVC2                  := (sFromCylinder2.rRCV); // + rLastRCV2)/2;
297 ELSE
298     sPID2.iMode              := 2;
299     rRCVC2                  := ((sFromCylinder2.rRCV * -1.0)); // + rLastRCV2) * -1.0)/2;
300     END_IF;
301 IF(sFromCylinder3.rPV - sFromCylinder3.rPosSP > 0) THEN
302     sPID3.iMode              := 3;
303     rRCVC3                  := (sFromCylinder3.rRCV); // + rLastRCV3)/2;
304 ELSE
305     sPID3.iMode              := 2;
306     rRCVC3                  := ((sFromCylinder3.rRCV * -1.0)); // + rLastRCV3) * -1.0)/2;
307     END_IF;
308
309     sPID1.rPosSP             := sFromCylinder1.rPosSP;
310     sPID2.rPosSP             := sFromCylinder2.rPosSP;
311     sPID3.rPosSP             := sFromCylinder3.rPosSP;
312     sToCylinder1.rSpeedCMD   := fnFeedForwardC1(-sFromCylinder1.rSpeedSP) + rRCVC1;
313     sToCylinder2.rSpeedCMD   := fnFeedForwardC2(-sFromCylinder2.rSpeedSP) + rRCVC2;
314     sToCylinder3.rSpeedCMD   := fnFeedForwardC3(-sFromCylinder3.rSpeedSP) + rRCVC3;
315
316 ELSE
317
318 // Running to start position

```

PHOENIX CONTACT GmbH & Co. KG Flachsmarktstraße 8 32825 Blomberg, Germany	Demoplattform_Control_V1	21/05/2023
	PLCnext Engineer	Page 37

Components / Plattform / fbOperation / Code

```

319     IF(sFromCylinder1.rPV < (sDataFromHMI.rC1HeavePosLogF[0] + rStartPosition) AND NOT(xC1PosReached)) THEN
320         sToCylinder1.rSpeedCMD          := fnFeedForwardC1(-rDefaultSpd);
321     ELSE
322         sToCylinder1.rSpeedCMD        := 0;
323         xC1PosReached                := TRUE;
324     END_IF;
325     IF(sFromCylinder2.rPV < (sDataFromHMI.rC2_C3HeavePosLogF[0] + rStartPosition) AND NOT(xC2PosReached)) THEN
326         sToCylinder2.rSpeedCMD          := fnFeedForwardC2(-rDefaultSpd);
327     ELSE
328         sToCylinder2.rSpeedCMD        := 0;
329         xC2PosReached                := TRUE;
330     END_IF;
331     IF(sFromCylinder3.rPV < (sDataFromHMI.rC2_C3HeavePosLogF[0] + rStartPosition) AND NOT(xC3PosReached)) THEN
332         sToCylinder3.rSpeedCMD          := fnFeedForwardC3(-rDefaultSpd);
333     ELSE
334         sToCylinder3.rSpeedCMD        := 0;
335         xC3PosReached                := TRUE;
336     END_IF;
337 END_IF;
338
339 ELSE
340 END_CASE;
341
342 //
343 // Reset
344 //
345 2:
346 // Check which cylinder has the longest way to travel
347 IF((sFromCylinder1.rPV <= sFromCylinder2.rPV) AND NOT(xtravelCalculated))THEN
348     xC2C3_LongestWay              := TRUE;
349     xtravelCalculated            := TRUE;
350 ELSIF((sFromCylinder1.rPV > sFromCylinder2.rPV) AND NOT(xtravelCalculated))THEN
351     xC2C3_LongestWay              := FALSE;
352     xtravelCalculated            := TRUE;
353 END_IF;
354
355 // Cylinder2 and cylinder3 longest travel way
356 IF(xC2C3_LongestWay)THEN
357
358     // Calculating cylinder2 and 3 traveltimes
359     IF(NOT(xTempTimeCalculated))THEN
360         rTempTime                  := ABS(sFromCylinder2.rPV)/rDefaultSpd;
361
362     // Check if valid temp time.
363     IF((rTempTime > 0) AND (rTempTime < 20)) THEN
364         // Calculating speed for cylinder1
365         rTempSPD_C1                 := fnFeedForwardC1((sFromCylinder1.rPV)/rTempTime);
366     ELSE
367         rTempSPD_C1                 := fnFeedForwardC1(rDefaultSpd);
368     END_IF;
369     xTempTimeCalculated          := TRUE;
370 END_IF;
371
372
373 // Check if cylinders has reached pos and not moving
374 if(iWaitCounter > 40) THEN
375
376     If(iResetCounter > 5)THEN
377         iResetCounter              := 0;
378     // Cylinder 1 resetting
379     if((uLastPulse1 <> TO_UDINT(sFromCylinder1.dwPulses)) AND NOT(xC1PosReached)) THEN
380         uLastPulse1                := TO_UDINT(sFromCylinder1.dwPulses);
381         sToCylinder1.rSpeedCMD      := rTempSPD_C1;
382         sToCylinder1.xEnableRelay   := TRUE;
383     ELSE
384         sToCylinder1.rSpeedCMD      := 0;
385         sToCylinder1.xEnableRelay   := FALSE;
386         sToCylinder1.xResetPos      := TRUE;
387         xC1PosReached                := TRUE;
388     END_IF;
389
390     // Cylinder 2 resetting
391     if((uLastPulse2 <> TO_UDINT(sFromCylinder2.dwPulses)) AND NOT(xC2PosReached)) THEN
392         uLastPulse2                := TO_UDINT(sFromCylinder2.dwPulses);
393         sToCylinder2.rSpeedCMD      := fnFeedForwardC2(rDefaultSpd);
394         sToCylinder2.xEnableRelay   := TRUE;
395     ELSE
396         sToCylinder2.rSpeedCMD      := 0;
397         sToCylinder2.xEnableRelay   := FALSE;
398         sToCylinder2.xResetPos      := TRUE;
399 
```

PHOENIX CONTACT GmbH & Co. KG Flachmarkstraße 8 32825 Blomberg, Germany	Demoplattform_Control_V1	21/05/2023
	PLCnext Engineer	Page 38

Components / Plattform / fbOperation / Code

```

400      xC2PosReached           := TRUE;
401      END_IF;
402
403      // Cylinder 3 resetting
404      if((uLastPulse3 <> TO_UDINT(sFromCylinder3.dwPulses)) AND NOT(xC3PosReached)) THEN
405          uLastPulse3            := TO_UDINT(sFromCylinder3.dwPulses);
406          sToCylinder3.rSpeedCMD := fnFeedForwardC3(rDefaultSpd);
407          sToCylinder3.xEnableRelay := TRUE;
408      ELSE
409          sToCylinder3.rSpeedCMD    := 0;
410          sToCylinder3.xEnableRelay := FALSE;
411          sToCylinder3.xResetPos   := TRUE;
412          xC3PosReached           := TRUE;
413          END_IF;
414      ELSE
415          iResetCounter          := iResetCounter + 1;
416          END_IF; // End reset counter if.
417  ELSE
418      iWaitCounter             := iWaitCounter + 1;
419      sToCylinder1.rSpeedCMD   := rTempSPD_C1;
420      sToCylinder2.rSpeedCMD   := fnFeedForwardC2(rDefaultSpd);
421      sToCylinder3.rSpeedCMD   := fnFeedForwardC3(rDefaultSpd);
422      sToCylinder1.xEnableRelay := TRUE;
423      sTOcylinder2.xEnableRelay := TRUE;
424      sTOcylinder3.xEnableRelay := TRUE;
425
426  END_IF;
427
428  ELSE // Cylinder 1 longest travel way
429
430      //Calculating cylinder1
431      IF(NOT(xTempTimeCalculated))THEN
432          rTempTime              := ABS(sFromCylinder1.rPV)/rDefaultSpd;
433
434      // Check if valid temp time.
435      IF((rTempTime > 0) AND (rTempTime < 20)) THEN
436          // Calculating speed for cylinder2 and cylinder 3
437          rTempSPD_C2              := fnFeedForwardC2((sFromCylinder2.rPV)/rTempTime);
438          rTempSPD_C3              := fnFeedForwardC3((sFromCylinder3.rPV)/rTempTime);
439      ELSE
440          rTempSPD_C2              := fnFeedForwardC2(rDefaultSpd);
441          rTempSPD_C3              := fnFeedForwardC3(rDefaultSpd);
442          END_IF;
443      xTempTimeCalculated       := TRUE;
444      END_IF;
445
446      // Check if cylinders has reached pos and not moving
447  if(iWaitCounter > 40) THEN
448
449      If(iResetCounter > 5)THEN
450          iResetCounter           := 0;
451      // Cylinder 1 resetting
452      if((uLastPulse1 <> TO_UDINT(sFromCylinder1.dwPulses)) AND NOT(xC1PosReached)) THEN
453          uLastPulse1            := TO_UDINT(sFromCylinder1.dwPulses);
454          sToCylinder1.rSpeedCMD := fnFeedForwardC1(rDefaultSpd);
455          sToCylinder1.xEnableRelay := TRUE;
456      ELSE
457          sToCylinder1.rSpeedCMD    := 0;
458          sToCylinder1.xEnableRelay := FALSE;
459          sToCylinder1.xResetPos   := TRUE;
460          xC1PosReached           := TRUE;
461          END_IF;
462
463      // Cylinder 2 resetting
464      if((uLastPulse2 <> TO_UDINT(sFromCylinder2.dwPulses)) AND NOT(xC2PosReached)) THEN
465          uLastPulse2            := TO_UDINT(sFromCylinder2.dwPulses);
466          sToCylinder2.rSpeedCMD   := rTempSPD_C2;
467          sToCylinder2.xEnableRelay := TRUE;
468      ELSE
469          sToCylinder2.rSpeedCMD    := 0;
470          sToCylinder2.xEnableRelay := FALSE;
471          sToCylinder2.xResetPos   := TRUE;
472          xC2PosReached           := TRUE;
473          END_IF;
474
475      // Cylinder 3 resetting
476      if((uLastPulse3 <> TO_UDINT(sFromCylinder3.dwPulses)) AND NOT(xC3PosReached)) THEN
477          uLastPulse3            := TO_UDINT(sFromCylinder3.dwPulses);
478          sToCylinder3.rSpeedCMD   := rTempSPD_C3;
479          sToCylinder3.xEnableRelay := TRUE;
480  ELSE

```

PHOENIX CONTACT GmbH & Co. KG Flachsmarktstraße 8 32825 Blomberg, Germany	Demoplattform_Control_V1	21/05/2023
	PLCnext Engineer	Page 39

Components / Plattform / fbOperation / Code

```

481      sToCylinder3.rSpeedCMD      := 0;
482      sToCylinder3.xEnableRelay  := FALSE;
483      sToCylinder3.xResetPos    := TRUE;
484      xC3PosReached            := TRUE;
485      END_IF;
486
487  ELSE
488      iResetCounter           := iResetCounter + 1;
489
490  ELSE
491      iWaitCounter            := iWaitCounter + 1;
492      sToCylinder1.rSpeedCMD  := fnFeedForwardC1(rDefaultSpd);
493      sToCylinder2.rSpeedCMD  := rTempSPD_C2;
494      sToCylinder3.rSpeedCMD  := rTempSPD_C3;
495      sToCylinder1.xEnableRelay:= TRUE;
496      sTOCylinder2.xEnableRelay:= TRUE;
497      sTOCylinder3.xEnableRelay:= TRUE;
498
499 END_IF;
500
501     END_IF;
502
503
504 // Check if cylinders are moving
505 If(xC1PosReached AND xC2PosReached AND xC3PosReached) THEN
506     xRunning                := FALSE;
507     ELSE
508         xRunning              := TRUE;
509     END_IF;
510
511
512 ELSE
513 END_CASE;
514
515

```

Components / Plattform / fbPhaseConversion / Variables

Input

Name	Type	Usage	Translate	Comment	Init	Access	Retain	Constant	OPC	HMI	Proficloud	I/Q
rPhaseDiff	REAL	Input		Phase diff from UI in deg								

Output

Name	Type	Usage	Translate	Comment	Init	Access	Retain	Constant	OPC	HMI	Proficloud	I/Q
rSinDelay	REAL	Output		Sinus delay								
rCosDelay	REAL	Output		Cosinus delay								

Local

Name	Type	Usage	Translate	Comment	Init	Access	Retain	Constant	OPC	HMI	Proficloud	I/Q
rCos90Delay	REAL	Local		Constant		REAL#0.25	Private					

Components / Plattform / fbPhaseConversion / Code

```
1  /*****************************************************************************  
2  * Code information:  
3  * Functionblock that calculates sinus and cosinus delay based on phase difference from UI.  
4  *  
5  * Author: Sander V. Andersen and Lars Askild S. Aarvik  
6  * Date: 02.02.2023  
7  ****************************************************************************/  
8  
9  rSinDelay           := rPhaseDiff/360;  
10 rCosDelay          := rSinDelay - rCos90Delay;
```

Components / Plattform / fbResetCom / Variables

Input

Name	Type	Usage	Translate	Comment	Init	Access	Retain	Constant	OPC	HMI	Proficloud	I/Q
tResetTime	TIME	Input										
xNotActive	BOOL	Input										

Output

Name	Type	Usage	Translate	Comment	Init	Access	Retain	Constant	OPC	HMI	Proficloud	I/Q
xOutput	BOOL	Output										

Local

Name	Type	Usage	Translate	Comment	Init	Access	Retain	Constant	OPC	HMI	Proficloud	I/Q
TON1	TON	Local										
TON2	TON	Local										
iState	INT	Local										

Components / Plattform / fbResetCom / Code

```

1 // Used to restart the communication if there is a timeout
2
3 IF xNotActive THEN
4
5 CASE iState OF
6   0 : xOutput := FALSE;
7   iState := 10;
8
9   10 : TON1(IN := NOT(TON1.Q), PT := tResetTime);
10
11   IF TON1.Q THEN
12     iState := 20;
13   END_IF;
14
15   20 : xOutput := TRUE;
16   iState := 30;
17
18   30 : TON2(IN := NOT(TON2.Q), PT := tResetTime);
19
20   IF TON2.Q THEN
21     iState := 0;
22   END_IF;
23 END_CASE
24
25 ELSE
26   xOutput := TRUE;
27 END_IF;

```

Components / Plattform / fbSinCosConversion / Variables

Input

Name	Type	Usage	Translate	Comment	Init	Access	Retain	Constant	OPC	HMI	ProfiCloud	I/Q
tPeriodeSin	TIME	Input		Periode from UI								
rAmplitudeSin	REAL	Input		Amplitude from UI								

Output

Name	Type	Usage	Translate	Comment	Init	Access	Retain	Constant	OPC	HMI	ProfiCloud	I/Q
tPeriodeCos	TIME	Output		Calculated periode cos								
rAmplitudeCos	REAL	Output		Calculated amplitude cos								

Local

Name	Type	Usage	Translate	Comment	Init	Access	Retain	Constant	OPC	HMI	ProfiCloud	I/Q
PI	REAL	Local		constant	REAL#3.141592 65359	Private						

Components / Plattform / fbSinCosConversion / Code

```
1  ****
2  Code information:
3  Function block that convert periode and amplitude for sinus to period and amplitud for cos (sin').
4  finding the amplitude and periode for the derivative of sin.
5
6  Author: Sander V. Andersen and Lars Askild S. Aarvik
7  Date: 02.02.2023
8  ****
9
10 IF(NOT(TO_REAL(TO_DINT(tPeriodeSin))*0.001 = 0))THEN
11   tPeriodeCos           := tPeriodeSin;
12   rAmplitudeCos        := rAmplitudeSin * ((2*PI)/(TO_REAL(TO_DINT(tPeriodeSin))*0.001));
13 END_IF;
```

Components / Plattform / fbSpeedTest / Variables

Input

Name	Type	Usage	Translate	Comment	Init	Access	Retain	Constant	OPC	HMI	Proficloud	I/Q
xActivate	BOOL	Input		Activate test								
rSpeedCmd	REAL	Input		Speed cmd for test								
rCylinderPos	REAL	Input		Cylinder position [m]								
rTestRunLength	REAL	Input		Test run length								

Output

Name	Type	Usage	Translate	Comment	Init	Access	Retain	Constant	OPC	HMI	Proficloud	I/Q
xEnableRelay	BOOL	Output		Cylinder enable relay								
rSpeedCmdOut	REAL	Output		Speed command cylinder								
iTimeElapsed	INT	Output		Time elapsed								
rAvgVelocity	REAL	Output		Calculated velocity [m/s]								

Local

Name	Type	Usage	Translate	Comment	Init	Access	Retain	Constant	OPC	HMI	Proficloud	I/Q
iTimerCount	INT	Local										
rStartPos	REAL	Local										

Components / Plattform / fbSpeedTest / Code

```

1  ****
2  Code information:
3  Function block which is used to speedtest the cylinders.
4  For feedforward calibration for cylinders.
5
6  Author: Sander V. Andersen and Lars Askild S. Aarvik
7  Date: 18.02.2023
8  ****
9
10
11
12 IF(xActivate) THEN
13   // Run speedtest
14   IF(ABS(rCylinderPos - rStartPos) < rTestRunLength) THEN
15     rSpeedCmdOut      := rSpeedCmd;
16     xEnableRelay      := TRUE;
17     iTimerCount       := iTimerCount + 1;
18     iTimeElapsed      := iTimerCount * 100;
19   ELSE
20     rSpeedCmdOut      := 0;
21     xEnableRelay      := FALSE;
22     iTimeElapsed      := iTimerCount * 100;
23     rAvgVelocity      := 1000.0* ABS(rCylinderPos - rStartPos)/(iTimeElapsed*0.001);
24   END_IF;
25
26
27 ELSE
28   // Reset variables
29   iTimerCount        := 0;
30   rStartPos          := rCylinderPos;
31   rAvgVelocity       := 0;
32   iTimeElapsed       := 0;
33   rSpeedCmdOut       := 0;
34   xEnableRelay       := FALSE;
35 END_IF;

```

Input

Name	Type	Usage	Translate	Comment	Init	Access	Retain	Constant	OPC	HMI	Proficloud	I/Q
iOperationMode	INT	Input		Switch OpMode								
rSinC1_PosSP	REAL	Input		PosSP_C1_Simulated								
rSinC2_C3_PosSP	REAL	Input		PosSP_C2_C3_Simulated								
rSinC1_SpdSP	REAL	Input		VelSP_C1_Simulated								
rSinC2_C3_SpdSP	REAL	Input		VelSP_C2_C3_Simulated								
rLogFileC1_PosSP	REAL	Input		PosSP_C1_Logfile								
rLogFileC2_C3_PosSP	REAL	Input		PosSP_C2_C3_Logfile								
rLogFileC1_SpdSP	REAL	Input		VelSP_C1_Logfile								
rLogFileC2_C3_SpdSP	REAL	Input		VelSP_C2_C3_Logfile								
rManualC1_PosSP	REAL	Input		PosSP_C1_Manual								
rManualC2_C3_PosSP	REAL	Input		PosSP_C2_C3_Manual								

Output

Name	Type	Usage	Translate	Comment	Init	Access	Retain	Constant	OPC	HMI	Proficloud	I/Q
rC1_PosSP	REAL	Output		PosSP_C1_Output								
rC2_C3_PosSP	REAL	Output		PosSP_C2_C3_Output								
rC1_SpdSP	REAL	Output		VelSP_C1_Output								
rC2_C3_SpdSP	REAL	Output		VelSP_C2_C3_Output								

Components / Plattform / fbSwitchOPmode / Code

```

1  ****
2  Code information:
3  Functionblock that switches pos/vel setpoints between differents operation modes.
4  Manual control, Simulated control and Logfile mode.
5
6  Author: Sander V. Andersen and Lars Askild S. Aarvik
7  Date: 10.03.2023
8  ****
9
10 CASE iOperationMode OF
11   /**
12   // Manual
13   /**
14   0:
15   rC1_PosSP           := rManualC1_PosSP;
16   rC1_SpdSP           := 0;
17
18   rC2_C3_PosSP        := rManualC2_C3_PosSP;
19   rC2_C3_SpdSP        := 0;
20
21 /**
22 // Simulated
23 /**
24 1:
25   rC1_PosSP           := rSinC1_PosSP;
26   rC1_SpdSP           := rSinC1_SpdSP;
27
28   rC2_C3_PosSP        := rSinC2_C3_PosSP;
29   rC2_C3_SpdSP        := rSinC2_C3_SpdSP;
30
31 /**
32 // Logfile
33 /**
34 2:
35
36   rC1_PosSP           := rLogFileC1_PosSP;
37   rC1_SpdSP           := rLogFileC1_SpdSP;
38
39   rC2_C3_PosSP        := rLogFileC2_C3_PosSP;
40   rC2_C3_SpdSP        := rLogFileC2_C3_SpdSP;
41
42 ELSE
43 END_CASE;
44
45
46

```

Components / Plattform / fbWaveGenerator / Variables

Input

Name	Type	Usage	Translate	Comment	Init	Access	Retain	Constant	OPC	HMI	Proficloud	I/Q
xActivate	BOOL	Input		Activate wave generator								
tPeriode	TIME	Input		Periode [s]								
rAmplitude	REAL	Input		Amplitude [m]								
rPhaseDiff	REAL	Input		Phase shift [deg]								

Output

Name	Type	Usage	Translate	Comment	Init	Access	Retain	Constant	OPC	HMI	Proficloud	I/Q
rPosSP_Front	REAL	Output		Positionsetpunkt C2_C3								
rPosSP_Rear	REAL	Output		Positionsetpunkt C1								
rSpeedSP_Front	REAL	Output		Velocitysetpunkt C2_C3								
rSpeedSP_Rear	REAL	Output		Velocitysetpunkt C1								

Local

Name	Type	Usage	Translate	Comment	Init	Access	Retain	Constant	OPC	HMI	Proficloud	I/Q
tPeriodeCos	TIME	Local										
rAmplitudeCos	REAL	Local										
rCos90Delay	REAL	Local		REAL#-0.234								
rSinDelayRear	REAL	Local										
rCosDelayRear	REAL	Local										
rPosOffset	REAL	Local		REAL#0.15								

Default

Name	Type	Usage	Translate	Comment	Init	Access	Retain	Constant	OPC	HMI	Proficloud	I/Q
PxCSE_SIG_GenSin1	PxCSE_SIG_GenSin	Local										
PxCSE_SIG_GenSin2	PxCSE_SIG_GenSin	Local										
fbSinCosConversion1	fbSinCosConversion	Local										
PxCSE_SIG_GenSin3	PxCSE_SIG_GenSin	Local										
PxCSE_SIG_GenSin4	PxCSE_SIG_GenSin	Local										
fbPhaseConversion1	fbPhaseConversion	Local										

PHOENIX CONTACT GmbH & Co. KG Flachsmarktstraße 8 32825 Blomberg, Germany	Demoplattform_Control_V1	21/05/2023
	PLCnext Engineer	Page 51

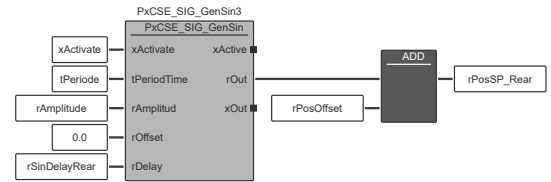
Front Cylinder

Position SP

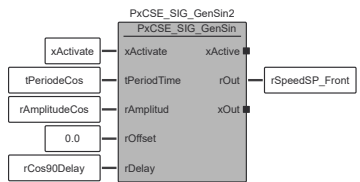


Rear Cylinder

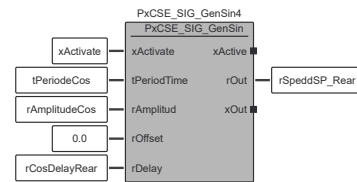
Position SP



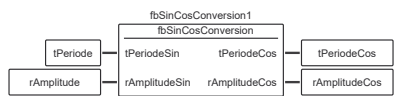
Speed SP



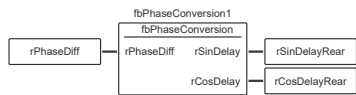
Speed SP



Find Cos period and Amplitude



Find sin/cos delay based on phaseshift



Components / Plattform / fnFeedForwardC1 / Signature

Access Specifier: Public

Return Type: REAL

Components / Plattform / fnFeedForwardC1 / Code

```

1  /*****************************************************************************  
2   Code information:  
3   Feed-forward function that returns speedcommand for the cylinder1.  
4   Input-argument: Velocity setpoint [m/s]  
5   Output: Speed command [+/-10V]  
6  
7   Author: Sander V. Andersen and Lars Askild S. Aarvik  
8   Date: 08.03.2023  
9   ***************************************************************************/  
10 // Only for calculation reasons  
11 IF(rSpeedSP = 1000.0)THEN  
12     rSpeedCmdLocal      := p10v;  
13  
14 ELSIF(rSpeedSP = -1000.0)THEN  
15     rSpeedCmdLocal      := n10v;  
16  
17  
18 // Positiv speed  
19 ELSIF(rSpeedSP >= p10v) THEN  
20     rSpeedCmdLocal      := 10.0;  
21  
22 ELSIF(rSpeedSP < p10v AND rSpeedSP >= p6_5v) THEN  
23     rSpeedCmdLocal      := 10.0;  
24  
25 ELSIF(rSpeedSP < p6_5v AND rSpeedSP >= p6v) THEN  
26     rSpeedCmdLocal      := ((6.5 - 6.0)/(p6_5v - p6v))*(rSpeedSP - p6_5v) + 6.5;  
27  
28 ELSIF(rSpeedSP < p6v AND rSpeedSP >= p5_5v) THEN  
29     rSpeedCmdLocal      := ((6.0 - 5.5)/(p6v - p5_5v))*(rSpeedSP - p6v) + 6.0;  
30  
31 ELSIF(rSpeedSP < p5_5v AND rSpeedSP >= p5v) THEN  
32     rSpeedCmdLocal      := ((5.5 - 5.0)/(p5_5v - p5v))*(rSpeedSP - p5_5v) + 5.5;  
33  
34 ELSIF(rSpeedSP < p5v AND rSpeedSP >= p4_5v) THEN  
35     rSpeedCmdLocal      := ((5.0 - 4.5)/(p5v - p4_5v))*(rSpeedSP - p5v) + 5.0;  
36  
37 ELSIF(rSpeedSP < p4_5v AND rSpeedSP >= p4v) THEN  
38     rSpeedCmdLocal      := ((4.5 - 4.0)/(p4_5v - p4v))*(rSpeedSP - p4_5v) + 4.5;  
39  
40 ELSIF(rSpeedSP < p4v AND rSpeedSP >= p3_5v) THEN  
41     rSpeedCmdLocal      := ((4.0 - 3.5)/(p4v - p3_5v))*(rSpeedSP - p4v) + 4.0;  
42  
43 ELSIF(rSpeedSP < p3_5v AND rSpeedSP >= p3v) THEN  
44     rSpeedCmdLocal      := ((3.5 - 3.0)/(p3_5v - p3v))*(rSpeedSP - p3_5v) + 3.5;  
45  
46 ELSIF(rSpeedSP < p3v AND rSpeedSP >= p2_5v) THEN  
47     rSpeedCmdLocal      := ((3.0 - 2.5)/(p3v - p2_5v))*(rSpeedSP - p3v) + 3.0;  
48  
49 ELSIF(rSpeedSP < p2_5v AND rSpeedSP >= p2v) THEN  
50     rSpeedCmdLocal      := ((2.5 - 2.0)/(p2_5v - p2v))*(rSpeedSP - p2_5v) + 2.5;  
51  
52 ELSIF(rSpeedSP < p2v AND rSpeedSP >= p1_5v) THEN  
53     rSpeedCmdLocal      := ((2.0 - 1.5)/(p2v - p1_5v))*(rSpeedSP - p2v) + 2.0;  
54  
55 ELSIF(rSpeedSP < p1_5v AND rSpeedSP >= p1v) THEN  
56     rSpeedCmdLocal      := ((1.5 - 1.0)/(p1_5v - p1v))*(rSpeedSP - p1_5v) + 1.5;  
57  
58 ELSIF(rSpeedSP < p1v AND rSpeedSP >= p0_5v) THEN  
59     rSpeedCmdLocal      := ((1.0 - 0.5)/(p1v - p0_5v))*(rSpeedSP - p1v) + 1.0;  
60  
61 ELSIF(rSpeedSP < p0_5v AND rSpeedSP > 0.0) THEN  
62     rSpeedCmdLocal      := ((0.5 - 0.0)/(p0_5v - 0.0))*(rSpeedSP - p0_5v) + 0.5;  
63  
64 ELSIF(rSpeedSP = 0.0) THEN  
65     rSpeedCmdLocal      := 0.0;  
66  
67  
68  
69 // Negativ speed  
70 ELSIF(rSpeedSP < n0_5v AND rSpeedSP > n1v) THEN  
71     rSpeedCmdLocal      := ((-0.5 - (-1.0))/(n0_5v - n1v))*(rSpeedSP - n0_5v) - 0.5;  
72  
73 ELSIF(rSpeedSP <= n1v AND rSpeedSP > n1_5v) THEN  
74     rSpeedCmdLocal      := ((-1.0 - (-1.5))/(n1v - n1_5v))*(rSpeedSP - n1v) - 1.0;  
75  
76 ELSIF(rSpeedSP <= n1_5v AND rSpeedSP > n2v) THEN  
77     rSpeedCmdLocal      := ((-1.5 - (-2.0))/(n1_5v - n2v))*(rSpeedSP - n1_5v) - 1.5;  
78  
79 ELSIF(rSpeedSP <= n2v AND rSpeedSP > n2_5v) THEN  
80  
81

```

PHOENIX CONTACT GmbH & Co. KG Flachsmarktstraße 8 32825 Blomberg, Germany	Demoplattform_Control_V1	21/05/2023
	PLCnext Engineer	Page 54

Components / Plattform / fnFeedForwardC1 / Code

```

82      rSpeedCmdLocal           := ((-2.0 - (-2.5))/(n2v - n2_5v))*(rSpeedSP - n2v) - 2.0;
83
84  ELSIF(rSpeedSP <= n2_5v AND rSpeedSP > n3v)THEN
85      rSpeedCmdLocal           := ((-2.5 - (-3.0))/(n2_5v - n3v))*(rSpeedSP - n2_5v) - 2.5;
86
87  ELSIF(rSpeedSP <= n3v AND rSpeedSP > n3_5v)THEN
88      rSpeedCmdLocal           := ((-3.0 - (-3.5))/(n3v - n3_5v))*(rSpeedSP - n3v) - 3.0;
89
90  ELSIF(rSpeedSP <= n3_5v AND rSpeedSP > n4v)THEN
91      rSpeedCmdLocal           := ((-3.5 - (-4.0))/(n3_5v - n4v))*(rSpeedSP - n3_5v) - 3.5;
92
93  ELSIF(rSpeedSP <= n4v AND rSpeedSP > n4_5v)THEN
94      rSpeedCmdLocal           := ((-4.0 - (-4.5))/(n4v - n4_5v))*(rSpeedSP - n4v) - 4.0;
95
96  ELSIF(rSpeedSP <= n4_5v AND rSpeedSP > n5v)THEN
97      rSpeedCmdLocal           := ((-4.5 - (-5.0))/(n4_5v - n5v))*(rSpeedSP - n4_5v) - 4.5;
98
99  ELSIF(rSpeedSP <= n5v AND rSpeedSP > n5_5v)THEN
100     rSpeedCmdLocal           := ((-5.0 - (-5.5))/(n5v - n5_5v))*(rSpeedSP - n5v) - 5.0;
101
102 ELSIF(rSpeedSP <= n5_5v AND rSpeedSP > n6v)THEN
103     rSpeedCmdLocal           := ((-5.5 - (-6.0))/(n5_5v - n6v))*(rSpeedSP - n5_5v) - 5.5;
104
105 ELSIF(rSpeedSP <= n6v AND rSpeedSP > n10v)THEN
106     rSpeedCmdLocal           := -10.0;
107
108 ELSIF(rSpeedSP <= n10v)THEN
109     rSpeedCmdLocal           := -10.0;
110
111 END_IF;
112
113
114
115
116
117
118 // Return SpeedCommandvalue
119 rSpeedCmd      := rSpeedCmdLocal;
120 fnFeedForwardC1 := rSpeedCmd;

```

Components / Plattform / fnFeedForwardC1 / Variables

Input

Name	Type	Usage	Comment	Init	Constant
rSpeedSP	REAL	Input	Velocity setpoint [m/s]		

Output

Name	Type	Usage	Comment	Init	Constant
rSpeedCmd	REAL	Local	Speed command [+10V]		

Components / Plattform / fnFeedForwardC1 / Variables

Local

Name	Type	Usage	Comment	Init	Constant
n0_5v	REAL	Local			
n1v	REAL	Local		REAL#-0.00604	
n1_5v	REAL	Local		REAL#-0.01282	
n2v	REAL	Local		REAL#-0.01969	
n2_5v	REAL	Local		REAL#-0.02645	
n3v	REAL	Local		REAL#-0.03322	
n3_5v	REAL	Local		REAL#-0.03981	
n4v	REAL	Local		REAL#-0.0443	
n4_5v	REAL	Local		REAL#-0.04668	
n5v	REAL	Local		REAL#-0.04679	
n5_5v	REAL	Local		REAL#-0.04688	
n6v	REAL	Local		REAL#-0.0469	
n10v	REAL	Local		REAL#-0.0469	
p0_5v	REAL	Local		REAL#0.00752	
p1v	REAL	Local		REAL#0.01401	
p1_5v	REAL	Local		REAL#0.02041	
p2v	REAL	Local		REAL#0.02674	
p2_5v	REAL	Local		REAL#0.03294	
p3v	REAL	Local		REAL#0.03904	
p3_5v	REAL	Local		REAL#0.0451	
p4v	REAL	Local		REAL#0.04929	
p4_5v	REAL	Local		REAL#0.05066	
p5v	REAL	Local		REAL#0.05108	
p5_5v	REAL	Local		REAL#0.05121	
p6v	REAL	Local		REAL#0.05148	
p6_5v	REAL	Local		REAL#0.05157	
p10v	REAL	Local		REAL#0.05157	
rSpeedCmdLocal	REAL	Local			

PHOENIX CONTACT GmbH & Co. KG Flachsmarktstraße 8 32825 Blomberg, Germany	Demoplattform_Control_V1	21/05/2023
	PLCnext Engineer	Page 57

Components / Plattform / fnFeedForwardC2 / Signature

Access Specifier: Public

Return Type: REAL

Components / Plattform / fnFeedForwardC2 / Code

```

1  /*****************************************************************************  
2   Code information:  
3   Feed-forward function that returns speedcommand for the cylinder2.  
4   Input-argument: Velocity setpoint [m/s]  
5   Output: Speed command [+/-10V]  
6  
7   Author: Sander V. Andersen and Lars Askild S. Aarvik  
8   Date: 08.03.2023  
9   *****/  
10 // Only for calculation reasons  
11 IF(rSpeedSP = 1000.0)THEN  
12     rSpeedCmdLocal      := p10v;  
13  
14 ELSIF(rSpeedSP = -1000.0)THEN  
15     rSpeedCmdLocal      := n10v;  
16  
17  
18 // Positiv speed  
19 ELSIF(rSpeedSP >= p10v) THEN  
20     rSpeedCmdLocal      := 10.0;  
21  
22 ELSIF(rSpeedSP < p10v AND rSpeedSP >= p6_5v) THEN  
23     rSpeedCmdLocal      := 10.0;  
24  
25 ELSIF(rSpeedSP < p6_5v AND rSpeedSP >= p6v) THEN  
26     rSpeedCmdLocal      := ((6.5 - 6.0)/(p6_5v - p6v))*(rSpeedSP - p6_5v) + 6.5;  
27  
28 ELSIF(rSpeedSP < p6v AND rSpeedSP >= p5_5v) THEN  
29     rSpeedCmdLocal      := ((6.0 - 5.5)/(p6v - p5_5v))*(rSpeedSP - p6v) + 6.0;  
30  
31 ELSIF(rSpeedSP < p5_5v AND rSpeedSP >= p5v) THEN  
32     rSpeedCmdLocal      := ((5.5 - 5.0)/(p5_5v - p5v))*(rSpeedSP - p5_5v) + 5.5;  
33  
34 ELSIF(rSpeedSP < p5v AND rSpeedSP >= p4_5v) THEN  
35     rSpeedCmdLocal      := ((5.0 - 4.5)/(p5v - p4_5v))*(rSpeedSP - p5v) + 5.0;  
36  
37 ELSIF(rSpeedSP < p4_5v AND rSpeedSP >= p4v) THEN  
38     rSpeedCmdLocal      := ((4.5 - 4.0)/(p4_5v - p4v))*(rSpeedSP - p4_5v) + 4.5;  
39  
40 ELSIF(rSpeedSP < p4v AND rSpeedSP >= p3_5v) THEN  
41     rSpeedCmdLocal      := ((4.0 - 3.5)/(p4v - p3_5v))*(rSpeedSP - p4v) + 4.0;  
42  
43 ELSIF(rSpeedSP < p3_5v AND rSpeedSP >= p3v) THEN  
44     rSpeedCmdLocal      := ((3.5 - 3.0)/(p3_5v - p3v))*(rSpeedSP - p3_5v) + 3.5;  
45  
46 ELSIF(rSpeedSP < p3v AND rSpeedSP >= p2_5v) THEN  
47     rSpeedCmdLocal      := ((3.0 - 2.5)/(p3v - p2_5v))*(rSpeedSP - p3v) + 3.0;  
48  
49 ELSIF(rSpeedSP < p2_5v AND rSpeedSP >= p2v) THEN  
50     rSpeedCmdLocal      := ((2.5 - 2.0)/(p2_5v - p2v))*(rSpeedSP - p2_5v) + 2.5;  
51  
52 ELSIF(rSpeedSP < p2v AND rSpeedSP >= p1_5v) THEN  
53     rSpeedCmdLocal      := ((2.0 - 1.5)/(p2v - p1_5v))*(rSpeedSP - p2v) + 2.0;  
54  
55 ELSIF(rSpeedSP < p1_5v AND rSpeedSP >= p1v) THEN  
56     rSpeedCmdLocal      := ((1.5 - 1.0)/(p1_5v - p1v))*(rSpeedSP - p1_5v) + 1.5;  
57  
58 ELSIF(rSpeedSP < p1v AND rSpeedSP >= p0_5v) THEN  
59     rSpeedCmdLocal      := ((1.0 - 0.5)/(p1v - p0_5v))*(rSpeedSP - p1v) + 1.0;  
60  
61 ELSIF(rSpeedSP < p0_5v AND rSpeedSP > 0.0) THEN  
62     rSpeedCmdLocal      := ((0.5 - 0.0)/(p0_5v - 0.0))*(rSpeedSP - p0_5v) + 0.5;  
63  
64 ELSIF(rSpeedSP = 0.0) THEN  
65     rSpeedCmdLocal      := 0.0;  
66  
67 // Negativ speed  
68  
69 ELSIF(rSpeedSP < 0.0 AND rSpeedSP > n0_5v) THEN  
70     rSpeedCmdLocal      := ((0.0 - (-0.5))/(0.0 - n0_5v))*(rSpeedSP - 0.0) + 0.0;  
71  
72 ELSIF(rSpeedSP <= n0_5v AND rSpeedSP > n1v) THEN  
73     rSpeedCmdLocal      := ((-0.5 - (-1.0))/(n0_5v - n1v))*(rSpeedSP - n0_5v) - 0.5;  
74  
75 ELSIF(rSpeedSP <= n1v AND rSpeedSP > n1_5v) THEN  
76     rSpeedCmdLocal      := ((-1.0 - (-1.5))/(n1v - n1_5v))*(rSpeedSP - n1v) - 1.0;  
77  
78 ELSIF(rSpeedSP <= n1_5v AND rSpeedSP > n2v) THEN  
79     rSpeedCmdLocal      := ((-1.5 - (-2.0))/(n1_5v - n2v))*(rSpeedSP - n1_5v) - 1.5;  
80  
81

```

PHOENIX CONTACT GmbH & Co. KG Flachsmarktstraße 8 32825 Blomberg, Germany	Demoplattform_Control_V1	21/05/2023
	PLCnext Engineer	Page 59

Components / Plattform / fnFeedForwardC2 / Code

```

82     ELSIF(rSpeedSP <= n2v AND rSpeedSP > n2_5v) THEN
83         rSpeedCmdLocal           := ((-2.0 - (-2.5))/(n2v - n2_5v))*(rSpeedSP - n2v) - 2.0;
84
85     ELSIF(rSpeedSP <= n2_5v AND rSpeedSP > n3v) THEN
86         rSpeedCmdLocal           := ((-2.5 - (-3.0))/(n2_5v - n3v))*(rSpeedSP - n2_5v) - 2.5;
87
88     ELSIF(rSpeedSP <= n3v AND rSpeedSP > n3_5v) THEN
89         rSpeedCmdLocal           := ((-3.0 - (-3.5))/(n3v - n3_5v))*(rSpeedSP - n3v) - 3.0;
90
91     ELSIF(rSpeedSP <= n3_5v AND rSpeedSP > n4v) THEN
92         rSpeedCmdLocal           := ((-3.5 - (-4.0))/(n3_5v - n4v))*(rSpeedSP - n3_5v) - 3.5;
93
94     ELSIF(rSpeedSP <= n4v AND rSpeedSP > n4_5v) THEN
95         rSpeedCmdLocal           := ((-4.0 - (-4.5))/(n4v - n4_5v))*(rSpeedSP - n4v) - 4.0;
96
97     ELSIF(rSpeedSP <= n4_5v AND rSpeedSP > n5v) THEN
98         rSpeedCmdLocal           := ((-4.5 - (-5.0))/(n4_5v - n5v))*(rSpeedSP - n4_5v) - 4.5;
99
100    ELSIF(rSpeedSP <= n5v AND rSpeedSP > n5_5v) THEN
101        rSpeedCmdLocal           := ((-5.0 - (-5.5))/(n5v - n5_5v))*(rSpeedSP - n5v) - 5.0;
102
103    ELSIF(rSpeedSP <= n5_5v AND rSpeedSP > n6v) THEN
104        rSpeedCmdLocal           := ((-5.5 - (-6.0))/(n5_5v - n6v))*(rSpeedSP - n5_5v) - 5.5;
105
106    ELSIF(rSpeedSP <= n6v AND rSpeedSP > n10v) THEN
107        rSpeedCmdLocal           := -10.0;
108
109    ELSIF(rSpeedSP <= n10v) THEN
110        rSpeedCmdLocal           := -10.0;
111
112
113 END_IF;
114
115
116 // Return SpeedCommandvalue
117 rSpeedCmd := rSpeedCmdLocal;
118 fnFeedForwardC2 := rSpeedCmd;

```

Components / Plattform / fnFeedForwardC2 / Variables

Input

Name	Type	Usage	Comment	Init	Constant
rSpeedSP	REAL	Input	Velocity setpoint [m/s]		

Output

Name	Type	Usage	Comment	Init	Constant
rSpeedCmd	REAL	Local	Speed command [+10V]		

Components / Plattform / fnFeedForwardC2 / Variables

Local

Name	Type	Usage	Comment	Init	Constant
rSpeedCmdLocal	REAL	Local			
n0_5v	REAL	Local		REAL#-0.00195	
n1v	REAL	Local		REAL#-0.00868	
n1_5v	REAL	Local		REAL#-0.01544	
n2v	REAL	Local		REAL#-0.02223	
n2_5v	REAL	Local		REAL#-0.02902	
n3v	REAL	Local		REAL#-0.03576	
n3_5v	REAL	Local		REAL#-0.04252	
n4v	REAL	Local		REAL#-0.04837	
n4_5v	REAL	Local		REAL#-0.05031	
n5v	REAL	Local		REAL#-0.05079	
n5_5v	REAL	Local		REAL#-0.05079	
n6v	REAL	Local		REAL#-0.05082	
n10v	REAL	Local		REAL#-0.05082	
p0_5v	REAL	Local		REAL#0.00716	
p1v	REAL	Local		REAL#0.01367	
p1_5v	REAL	Local		REAL#0.02011	
p2v	REAL	Local		REAL#0.02642	
p2_5v	REAL	Local		REAL#0.03277	
p3v	REAL	Local		REAL#0.03911	
p3_5v	REAL	Local		REAL#0.0452	
p4v	REAL	Local		REAL#0.04872	
p4_5v	REAL	Local		REAL#0.05006	
p5v	REAL	Local		REAL#0.05054	
p5_5v	REAL	Local		REAL#0.05082	
p6v	REAL	Local		REAL#0.05095	
p6_5v	REAL	Local		REAL#0.05108	
p10v	REAL	Local		REAL#0.05108	

PHOENIX CONTACT GmbH & Co. KG Flachsmarktstraße 8 32825 Blomberg, Germany	Demoplattform_Control_V1	21/05/2023
	PLCnext Engineer	Page 62

Components / Plattform / fnFeedForwardC3 / Signature

Access Specifier: Public

Return Type: REAL

PHOENIX CONTACT GmbH & Co. KG Flachsmarktstraße 8 32825 Blomberg, Germany	Demoplattform_Control_V1	21/05/2023
	PLCnext Engineer	Page 63

Components / Plattform / fnFeedForwardC3 / Code

```

1  /**************************************************************************
2   * Code information:
3   * Feed-forward function that returns speedcommand for the cylinder3.
4   * Input-argument: Velocity setpoint [m/s]
5   * Output: Speed command [+/-10V]
6
7   Author: Sander V. Andersen and Lars Askild S. Aarvik
8   Date: 08.03.2023
9   ****
10
11 // Only for calculation reasons
12 IF(rSpeedSP = 1000.0)THEN
13     rSpeedCmdLocal      := p10v;
14
15 ELSIF(rSpeedSP = -1000.0)THEN
16     rSpeedCmdLocal      := n10v;
17
18
19 // Positiv speed
20 ELSIF(rSpeedSP >= p10v) THEN
21     rSpeedCmdLocal      := 10.0;
22
23 ELSIF(rSpeedSP < p10v AND rSpeedSP >= p7v) THEN
24     rSpeedCmdLocal      := 10.0;
25
26 ELSIF(rSpeedSP < p7v AND rSpeedSP >= p6_5v) THEN
27     rSpeedCmdLocal      := ((7.0 - 6.5)/(p7v - p6_5v))*(rSpeedSP - p7v) + 7.0;
28
29 ELSIF(rSpeedSP < p6_5v AND rSpeedSP >= p6v) THEN
30     rSpeedCmdLocal      := ((6.5 - 6.0)/(p6_5v - p6v))*(rSpeedSP - p6_5v) + 6.5;
31
32 ELSIF(rSpeedSP < p6v AND rSpeedSP >= p5_5v) THEN
33     rSpeedCmdLocal      := ((6.0 - 5.5)/(p6v - p5_5v))*(rSpeedSP - p6v) + 6.0;
34
35 ELSIF(rSpeedSP < p5_5v AND rSpeedSP >= p5v) THEN
36     rSpeedCmdLocal      := ((5.5 - 5.0)/(p5_5v - p5v))*(rSpeedSP - p5_5v) + 5.5;
37
38 ELSIF(rSpeedSP < p5v AND rSpeedSP >= p4_5v) THEN
39     rSpeedCmdLocal      := ((5.0 - 4.5)/(p5v - p4_5v))*(rSpeedSP - p5v) + 5.0;
40
41 ELSIF(rSpeedSP < p4_5v AND rSpeedSP >= p4v) THEN
42     rSpeedCmdLocal      := ((4.5 - 4.0)/(p4_5v - p4v))*(rSpeedSP - p4_5v) + 4.5;
43
44 ELSIF(rSpeedSP < p4v AND rSpeedSP >= p3_5v) THEN
45     rSpeedCmdLocal      := ((4.0 - 3.5)/(p4v - p3_5v))*(rSpeedSP - p4v) + 4.0;
46
47 ELSIF(rSpeedSP < p3_5v AND rSpeedSP >= p3v) THEN
48     rSpeedCmdLocal      := ((3.5 - 3.0)/(p3_5v - p3v))*(rSpeedSP - p3_5v) + 3.5;
49
50 ELSIF(rSpeedSP < p3v AND rSpeedSP >= p2_5v) THEN
51     rSpeedCmdLocal      := ((3.0 - 2.5)/(p3v - p2_5v))*(rSpeedSP - p3v) + 3.0;
52
53 ELSIF(rSpeedSP < p2_5v AND rSpeedSP >= p2v) THEN
54     rSpeedCmdLocal      := ((2.5 - 2.0)/(p2_5v - p2v))*(rSpeedSP - p2_5v) + 2.5;
55
56 ELSIF(rSpeedSP < p2v AND rSpeedSP >= p1_5v) THEN
57     rSpeedCmdLocal      := ((2.0 - 1.5)/(p2v - p1_5v))*(rSpeedSP - p2v) + 2.0;
58
59 ELSIF(rSpeedSP < p1_5v AND rSpeedSP >= p1v) THEN
60     rSpeedCmdLocal      := ((1.5 - 1.0)/(p1_5v - p1v))*(rSpeedSP - p1_5v) + 1.5;
61
62 ELSIF(rSpeedSP < p1v AND rSpeedSP >= p0_5v) THEN
63     rSpeedCmdLocal      := ((1.0 - 0.5)/(p1v - p0_5v))*(rSpeedSP - p1v) + 1.0;
64
65 ELSIF(rSpeedSP < p0_5v AND rSpeedSP > 0.0) THEN
66     rSpeedCmdLocal      := ((0.5 - 0.0)/(p0_5v - 0.0))*(rSpeedSP - p0_5v) + 0.5;
67
68 ELSIF(rSpeedSP = 0.0)THEN
69     rSpeedCmdLocal      := 0.0;
70
71 // Negativ speed
72
73 ELSIF(rSpeedSP < 0.0 AND rSpeedSP > n0_5v) THEN
74     rSpeedCmdLocal      := ((0.0 - (-0.5))/(0.0 - n0_5v))*(rSpeedSP - 0.0) + 0.0;
75
76 ELSIF(rSpeedSP <= n0_5v AND rSpeedSP > n1v) THEN
77     rSpeedCmdLocal      := ((-0.5 - (-1.0))/(n0_5v - n1v))*(rSpeedSP - n0_5v) - 0.5;
78
79 ELSIF(rSpeedSP <= n1v AND rSpeedSP > n1_5v) THEN
80     rSpeedCmdLocal      := ((-1.0 - (-1.5))/(n1v - n1_5v))*(rSpeedSP - n1v) - 1.0;
81

```

PHOENIX CONTACT GmbH & Co. KG Flachsmarktstraße 8 32825 Blomberg, Germany	Demoplattform_Control_V1	21/05/2023
	PLCnext Engineer	Page 64

Components / Plattform / fnFeedForwardC3 / Code

```

82     ELSIF(rSpeedSP <= n1_5v AND rSpeedSP > n2v)THEN
83         rSpeedCmdLocal      := ((-1.5 - (-2.0))/(n1_5v - n2v))*(rSpeedSP - n1_5v) - 1.5;
84
85     ELSIF(rSpeedSP <= n2v AND rSpeedSP > n2_5v)THEN
86         rSpeedCmdLocal      := ((-2.0 - (-2.5))/(n2v - n2_5v))*(rSpeedSP - n2v) - 2.0;
87
88     ELSIF(rSpeedSP <= n2_5v AND rSpeedSP > n3v)THEN
89         rSpeedCmdLocal      := ((-2.5 - (-3.0))/(n2_5v - n3v))*(rSpeedSP - n2_5v) - 2.5;
90
91     ELSIF(rSpeedSP <= n3v AND rSpeedSP > n3_5v)THEN
92         rSpeedCmdLocal      := ((-3.0 - (-3.5))/(n3v - n3_5v))*(rSpeedSP - n3v) - 3.0;
93
94     ELSIF(rSpeedSP <= n3_5v AND rSpeedSP > n4v)THEN
95         rSpeedCmdLocal      := ((-3.5 - (-4.0))/(n3_5v - n4v))*(rSpeedSP - n3_5v) - 3.5;
96
97     ELSIF(rSpeedSP <= n4v AND rSpeedSP > n4_5v)THEN
98         rSpeedCmdLocal      := ((-4.0 - (-4.5))/(n4v - n4_5v))*(rSpeedSP - n4v) - 4.0;
99
100    ELSIF(rSpeedSP <= n4_5v AND rSpeedSP > n5v)THEN
101        rSpeedCmdLocal      := ((-4.5 - (-5.0))/(n4_5v - n5v))*(rSpeedSP - n4_5v) - 4.5;
102
103    ELSIF(rSpeedSP <= n5v AND rSpeedSP > n5_5v)THEN
104        rSpeedCmdLocal      := ((-5.0 - (-5.5))/(n5v - n5_5v))*(rSpeedSP - n5v) - 5.0;
105
106    ELSIF(rSpeedSP <= n5_5v AND rSpeedSP > n6v)THEN
107        rSpeedCmdLocal      := ((-5.5 - (-6.0))/(n5_5v - n6v))*(rSpeedSP - n5_5v) - 5.5;
108
109    ELSIF(rSpeedSP <= n6v AND rSpeedSP > n10v)THEN
110        rSpeedCmdLocal      := -10.0;
111
112    ELSIF(rSpeedSP <= n10v)THEN
113        rSpeedCmdLocal      := -10.0;
114
115
116    END_IF;
117
118
119
120 // Return SpeedCommandvalue
121 rSpeedCmd      := rSpeedCmdLocal;
122 fnFeedForwardC3:= rSpeedCmd;

```

Components / Plattform / fnFeedForwardC3 / Variables

Input

Name	Type	Usage	Comment	Init	Constant
rSpeedSP	REAL	Input	Velocity setpoint [m/s]		

Output

Name	Type	Usage	Comment	Init	Constant
rSpeedCmd	REAL	Local	Speed command [+10V]		

Components / Plattform / fnFeedForwardC3 / Variables

Local

Name	Type	Usage	Comment	Init	Constant
rSpeedCmdLocal	REAL	Local			
n0_5v	REAL	Local		REAL#-0.00235	
n1v	REAL	Local		REAL#-0.00876	
n1_5v	REAL	Local		REAL#-0.01566	
n2v	REAL	Local		REAL#-0.02245	
n2_5v	REAL	Local		REAL#-0.02919	
n3v	REAL	Local		REAL#-0.03595	
n3_5v	REAL	Local		REAL#-0.04278	
n4v	REAL	Local		REAL#-0.04908	
n4_5v	REAL	Local		REAL#-0.0507	
n5v	REAL	Local		REAL#-0.05082	
n5_5v	REAL	Local		REAL#-0.05092	
n6v	REAL	Local		REAL#-0.05095	
n10v	REAL	Local		REAL#-0.05095	
p0_5v	REAL	Local		REAL#0.00676	
p1v	REAL	Local		REAL#0.01319	
p1_5v	REAL	Local		REAL#0.0195	
p2v	REAL	Local		REAL#0.02567	
p2_5v	REAL	Local		REAL#0.03174	
p3v	REAL	Local		REAL#0.03764	
p3_5v	REAL	Local		REAL#0.04363	
p4v	REAL	Local		REAL#0.04723	
p4_5v	REAL	Local		REAL#0.04814	
p5v	REAL	Local		REAL#0.0486	
p5_5v	REAL	Local		REAL#0.04872	
p6v	REAL	Local		REAL#0.04896	
p6_5v	REAL	Local		REAL#0.04896	
p7v	REAL	Local		REAL#0.04908	
p10v	REAL	Local		REAL#0.04908	

PHOENIX CONTACT GmbH & Co. KG Flachsmarktstraße 8 32825 Blomberg, Germany	Demoplattform_Control_V1	21/05/2023
	PLCnext Engineer	Page 67

Components / Plattform / fbPerformanceTest / Code

```

1  /*****************************************************************************  
2  Code information:  
3  Functionblock that is used to performance test plattform and winch.  
4  Calculates a sinus position setpoint with wanted startperiod which is decreasing each cycle.  
5  Outputs sinus setpoint with static amplitude and decreasing periode.  
6  
7  Author: Sander V. Andersen and Lars Askild S. Aarvik  
8  Date: 02.02.2023  
9  **************************************************************************/  
10  
11  
12 IF(xActivateP_test) THEN  
13     rB           := (2*rPI)/rPeriode;  
14  
15     rPosSP_out   := rAmplitude * SIN(rB * rX) + 0.15;  
16     rVelSP_out    := ((rAmplitude * ((2*rPI)/rPeriode)) * COS(rB * (rX-0.5))) * -1;  
17  
18     rX           := rX + 0.01;  
19  
20     rPeriode      := rStartPeriod - rCycleCount;  
21     rCycleCount    := rCycleCount + 0.001;  
22 ELSE  
23     rPosSP_out   := 0;  
24     rVelSP_out    := 0;  
25     rCycleCount    := 0;  
26     rX           := 0;  
27     rPeriode      := rStartPeriod;  
28 END_IF;

```

Components / Plattform / fbPerformanceTest / Variables

Input

Name	Type	Usage	Translate	Comment	Init	Access	Retain	Constant	OPC	HMI	Profilcloud	I/Q
xActivateP_test	BOOL	Input		Activates function block								
rStartPeriod	REAL	Input		Chosen startPeriod for test								
rAmplitude	REAL	Input		Chosen amplitude for test								

Output

Name	Type	Usage	Translate	Comment	Init	Access	Retain	Constant	OPC	HMI	Profilcloud	I/Q
rPosSP_out	REAL	Output		Calculated position setpoint								
rVelSP_out	REAL	Output		Calculated velocity setpoint								

Local

Name	Type	Usage	Translate	Comment	Init	Access	Retain	Constant	OPC	HMI	Profilcloud	I/Q
rCycleCount	REAL	Local		Cycle counter variable								
rB	REAL	Local		Variable B for calculate sinus and cosinus								
rPI	REAL	Local		Constant PI	REAL#3. 14							
rX	REAL	Local		Variable X for calculate sinus and cosinus								
rPeriode	REAL	Local		Period variable used to calculate sin and cos								

Components / PlattformControl / Variables

Input											
Name	Type	Usage	Translate	Comment	Init	Retain	Constant	OPC	HMI	Proficloud	I/Q
dwEncoder_Cyl1	DWORD	InputPort		Raw data value from Encoder connected on cylinder 1 [0 - ...]							
dwEncoder_Cyl2	DWORD	InputPort		Raw data value from Encoder connected on cylinder 2 [0 - ...]							
dwEncoder_Cyl3	DWORD	InputPort		Raw data value from Encoder connected on cylinder 3 [0 - ...]							

Output											
Name	Type	Usage	Translate	Comment	Init	Retain	Constant	OPC	HMI	Proficloud	I/Q
wAnalogOut_Cyl1	WORD	OutputPort									
wAnalogOut_Cyl2	WORD	OutputPort									
wAnalogOut_Cyl3	WORD	OutputPort									
xEnableRelay_Cyl1	BOOL	OutputPort									
xEnableRelay_Cyl2	BOOL	OutputPort									
xEnableRelay_Cyl3	BOOL	OutputPort									
xResetInc_Cyl1	BOOL	OutputPort		Bool to reset incremental encoder cylinder 1							
xResetInc_Cyl2	BOOL	OutputPort		Bool to reset incremental encoder cylinder 2							
xResetInc_Cyl3	BOOL	OutputPort		Bool to reset incremental encoder cylinder 3							

Local											
Name	Type	Usage	Translate	Comment	Init	Retain	Constant	OPC	HMI	Proficloud	I/Q
xActivateSinGen	BOOL	Local									
rP	REAL	Local		Gain for P regulator	REAL# 1500.0						
sToC1	sToCylinder	Local		Struct for data to cylinder 1							
sToC2	sToCylinder	Local		Struct for data to cylinder 2							
sToC3	sToCylinder	Local		Struct for data to cylinder 3							
sPID1	sPID	Local		Struct for PID regulator cylinder 1							
sPID2	sPID	Local		Struct for PID regulator cylinder 2							
sPID3	sPID	Local		Struct for PID regulator cylinder 3							
tVariabelPeriode	TIME	Local			TIME#1 0s						
AmplitudeVar	REAL	Local									

PHOENIX CONTACT GmbH & Co. KG Flachsmarktstraße 8 32825 Blomberg, Germany	Demoplattform_Control_V1	21/05/2023
	PLCnext Engineer	Page 70

Components / PlattformControl / Variables

External

Name	Type	Usage	Translate	Comment	Init	Retain	Constant	OPC	HMI	Profilcloud	I/Q
sFromC1	sFromCylinder	External		Struct for data from cylinder 1							
sFromC2	sFromCylinder	External		Struct for data from cylinder 2							
sFromC3	sFromCylinder	External		Struct for data from cylinder 3							
DataFromHMI	sFromUI	External		Struct for all data from HMI							
DataToHMI	sToUI	External		Struct for all data to HMI							
rC1SpdSp_LogFile	REAL	External		SpeedSetpoint to cylinder 1 calculated from logfile							
rC1PosSp_LogFile	REAL	External		PositionSetpoint to cylinder 1 calculated from logfile							
rC2_C3PosSp_LogFile	REAL	External		PositionSetpoint to cylinder 2 and 3 calculated from logfile							
rC2_C3SpdSp_LogFile	REAL	External		SpeedSetpoint to cylinder 2 and 3 calculated from logfile							
xActivateLogFile	BOOL	External		Bool used to activate logfile mode							

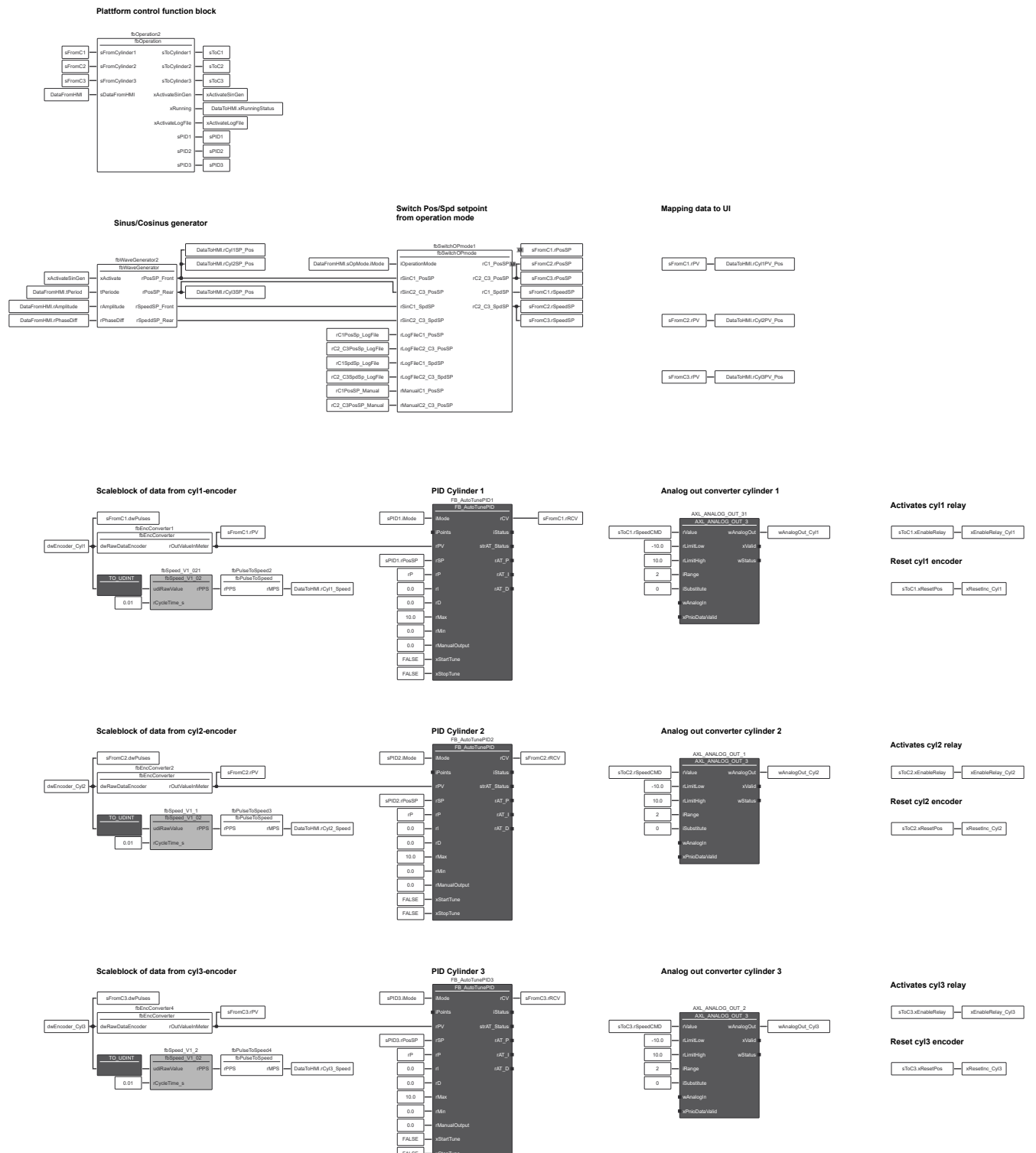
Components / PlattformControl / Variables

Default

Name	Type	Usage	Translate	Comment	Init	Retain	Constant	OPC	HMI	ProfiCloud	I/Q
FB_AutoTunePID1	FB_AutoTunePID	Local									
AXL_ANALOG_OUT_31	AXL_ANALOG_O	Local	UT_3								
fbWaveGenerator2	fbWaveGenerator	Local									
fbOperation2	fbOperation	Local									
fbSwitchOPmode1	fbSwitchOPmode	Local									
FB_AutoTunePID2	FB_AutoTunePID	Local									
FB_AutoTunePID3	FB_AutoTunePID	Local									
AXL_ANALOG_OUT_1	AXL_ANALOG_O	Local	UT_3								
AXL_ANALOG_OUT_2	AXL_ANALOG_O	Local	UT_3								
rC1PosSP_Manual	REAL	External		External cylinder 1 position setpoint in manual mode							
rC2_C3PosSP_Manual	REAL	External		External cylinder 2 and 3 position setpoint in manual mode							
fbSpeed_V1_021	fbSpeed_V1_02	Local									
fbPulseToSpeed2	fbPulseToSpeed	Local									
fbSpeed_V1_1	fbSpeed_V1_02	Local									
fbPulseToSpeed3	fbPulseToSpeed	Local									
fbSpeed_V1_2	fbSpeed_V1_02	Local									
fbPulseToSpeed4	fbPulseToSpeed	Local									
fbEncConverter1	fbEncConverter	Local									
fbEncConverter2	fbEncConverter	Local									
fbEncConverter4	fbEncConverter	Local									
fbPerformanceTest1	fbPerformanceTe st	Local									

PHOENIX CONTACT GmbH & Co. KG Flachsmarktstraße 8 32825 Blomberg, Germany	Demoplattform_Control_V1	21/05/2023
	PLCnext Engineer	Page 72

Components / PlattformControl / Code



PHOENIX CONTACT GmbH & Co. KG Flachsmarktstraße 8 32825 Blomberg, Germany	Demoplattform_Control_V1	21/05/2023
	PLCnext Engineer	Page 73

Components / Vacon / fbFromDrive / Code

```
1 //*****
2 Code information:
3 Function block that maps data from Vacon drive to PLC.
4
5
6 Author: Sander V. Andersen and Lars Askild S. Aarvik
7 Date: 05.04.2023
8 *****/
9
10
11 // Mapping from Drive
12 DataFromDrive.xReady           := Rawdata[1].X0;
13 DataFromDrive.xRun             := Rawdata[1].X1;
14 DataFromDrive.xCCW              := Rawdata[1].X2;
15 DataFromDrive.xFault            := Rawdata[1].X3;
16 DataFromDrive.xWarning           := Rawdata[1].X4;
17 DataFromDrive.xAtRefSpd          := Rawdata[1].X5;
18 DataFromDrive.xZeroSpd           := Rawdata[1].X6;
19 DataFromDrive.xFluxRdy           := Rawdata[1].X7;
20
21 DataFromDrive.iPar3             := fnWordToInt(FALSE, Rawdata[4]);
22 DataFromDrive.iMotorRPM          := fnWordToInt(FALSE, Rawdata[5]);
23 DataFromDrive.iPar6             := fnWordToInt(FALSE, Rawdata[7]);
24
25
```

Components / Vacon / fbFromDrive / Variables

Input

Name	Type	Usage	Translate	Comment	Init	Access	Retain	Constant	OPC	HMI	ProfiCloud	I/Q
Rawdata	MB_TCP_ARR_W_1_125	Input		Rawdata modbus registers								

Output

Name	Type	Usage	Translate	Comment	Init	Access	Retain	Constant	OPC	HMI	ProfiCloud	I/Q
DataFromDrive	FromVaconDriveEng	Output		Struct with data from drive								

Components / Vacon / fbToDrive / Code

```
1 //*****
2 Code information:
3 Function block that maps data to Vacon drive from PLC.
4
5
6 Author: Sander V. Andersen and Lars Askild S. Aarvik
7 Date: 05.04.2023
8 *****/
9
10
11 // Mapping to drive
12 wToDriveRaw[1].X0      := sVaconDrive.xRun;
13 wToDriveRaw[1].X1      := sVaconDrive.xDir;
14 wToDriveRaw[1].X2      := sVaconDrive.xRstErr;
15 wToDriveRaw[3]          := sVaconDrive.wSpeedCMD;
16 wToDriveRaw[4]          := sVaconDrive.wTorqueCMD;
17
```

Components / Vacon / fbToDrive / Variables

Input

Name	Type	Usage	Translate	Comment	Init	Access	Retain	Constant	OPC	HMI	ProfiCloud	I/Q
sVaconDrive	ToVaconDriveEng	Input		Struct with data to drive								

Output

Name	Type	Usage	Translate	Comment	Init	Access	Retain	Constant	OPC	HMI	ProfiCloud	I/Q
wToDriveRaw	MB_TCP_ARR_W_1 _125	Output		modbus registers to drive								

Default

Name	Type	Usage	Translate	Comment	Init	Access	Retain	Constant	OPC	HMI	ProfiCloud	I/Q
sOpPanelIf	sPanelInterface	External		Struct with data to/from op panel								
sToDrive	ToVaconDriveEng	External		Struct with data to drive								

Components / VaconDrive

```

1  ****
2  Code information:
3  Datatype for drive data
4
5  Author: Sander V. Andersen and Lars Askild S. Aarvik
6  Date: 02.04.2023
7  ****
8
9  TYPE
10 WORD_0_3          : ARRAY[0..3]OF WORD;
11 WORD_0_7          : ARRAY[0..7]OF WORD;
12 END_TYPE
13
14 TYPE
15 // Structs to VACON:
16 ToVaconDriveRaw   : STRUCT
17     wCtrl          : WORD;      (* X0: Run, X1: Dir, X2: RstErr*)
18     wSpare
19     wSpeed
20     wTorque
21     END_STRUCT
22
23 ToVaconDriveEng   : STRUCT
24     xRun           : BOOL;     // Run command
25     xDir            : BOOL;     // Direction command
26     xRstErr
27     wSpeedCMD
28     wTorqueCMD
29     END_STRUCT
30
31
32 // Structs From Vacon:
33 FromVaconDriveRaw : STRUCT
34     wStatus
35     wSpare1
36     wSpare2
37     wSpare3
38     wSpare4
39     wSpare5
40     wSpare6
41     wSpare7
42     END_STRUCT
43
44 FromVaconDriveEng : STRUCT
45     xReady
46     xRun
47     xCCW
48     xFault
49     xWarning
50     xAtRefSpd
51     xZeroSpd
52     xFluxRdy
53     iPar3
54     iMotorRPM
55     iPar6
56     END_STRUCT
57
58 END_TYPE

```

Components / Winch / fbPulseToSpeed / Code

```
1  /*****************************************************************************  
2  * Code information:  
3  * Function block that calculates pulses per second to meter/second for winch.  
4  *  
5  * Author: Sander V. Andersen and Lars Askild S. Aarvik  
6  * Date: 14.04.2023  
7  * *****/  
8  *  
9  rMPS      :=  rPPS    *   (  rDistance/iPulses  );
```

Components / Winch / fbPulseToSpeed / Variables

Input

Name	Type	Usage	Translate	Comment	Init	Access	Retain	Constant	OPC	HMI	Proficloud	I/Q
rPPS	REAL	Input		Pulses per second from encoder								

Output

Name	Type	Usage	Translate	Comment	Init	Access	Retain	Constant	OPC	HMI	Proficloud	I/Q
rMPS	REAL	Output		Speed per second for cylinder								

Local

Name	Type	Usage	Translate	Comment	Init	Access	Retain	Constant	OPC	HMI	Proficloud	I/Q
rDistance	REAL	Local		TravelDistance cylinder	REAL#0.3	Private						
iPulses	INT	Local		Number of pulses encoder has	INT#800	Private						

Components / Winch / fbWinchScale / Code

```
1  /*****************************************************************************  
2  * Code information:  
3  * Function block that calculates winch position in meter, using encoder pulses.  
4  * GearRatio = 1/10  
5  * iPPR = pulses per rotation  
6  *  
7  * Author: Sander V. Andersen and Lars Askild S. Aarvik  
8  * Date: 13.04.2023  
9  ***************************************************************************/  
10  
11  
12 rWinchPos           := TO_REAL(diEncoderWinch) * ( rCircumference/ (iPPR*rGearRatio*4) ) * -1; // position in  
13 [m]
```

Components / Winch / fbWinchScale / Variables

Input

Name	Type	Usage	Translate	Comment	Init	Access	Retain	Constant	OPC	HMI	Proficloud	I/Q
diEncoderWinch	DINT	Input		Encoder pulses								

Output

Name	Type	Usage	Translate	Comment	Init	Access	Retain	Constant	OPC	HMI	Proficloud	I/Q
rWinchPos	REAL	Output		Wire length								

Local

Name	Type	Usage	Translate	Comment	Init	Access	Retain	Constant	OPC	HMI	Proficloud	I/Q
rGearRatio	REAL	Local			REAL#10.0	Private						
rCircumference	REAL	Local			REAL#0.278	Private						
iPPR	INT	Local		Pulses per revolution	INT#1024	Private						

Components / Winch / fnPosToPulse / Signature

Access Specifier: Public

Return Type: UDINT

Components / Winch / fnPosToPulse / Code

```
1  /*****************************************************************************  
2   Code information:  
3   Function that converts a given position in meter to pulses.  
4   Returns UDINT variable.  
5  
6  
7   Author: Sander V. Andersen and Lars Askild S. Aarvik  
8   Date: 13.04.2023  
9  ***************************************************************************/  
10  
11  udiPulse           := TO_UDINT(rPosition * ((iPPR * rGearRatio * 4) / Omkrets));  
12  
13 // Returns pulse  
14 fnPosToPulse      := udiPulse;
```

Components / Winch / fnPosToPulse / Variables

Input

Name	Type	Usage	Comment	Init	Constant
rPosition	REAL	Input	Position in meter		

Local

Name	Type	Usage	Comment	Init	Constant
udiPulse	UDINT	Local	Pulses		
rGearRatio	REAL	Local		REAL#10.0	
Omkrets	REAL	Local	Circumference	REAL#0.279	
iPPR	INT	Local	Pulses per revolution	INT#1024	

Components / Winch / fbSpeedTestWinch / Code

```

1  /**************************************************************************
2   * Code information:
3   * Function block that automatic speedtests the winch, with ramping signals [0-100)% in each direction
4   * Returns array with RPM for each speedcommand.
5
6   * Author: Sander V. Andersen and Lars Askild S. Aarvik
7   * Date: 27.04.2023
8   **************************************************************************/
9
10
11  IF(xActivate)THEN
12
13    IF(NOT(xTestDone))THEN
14      xRun          := TRUE;
15      wTorqueCMD   := 3000;
16      xDir         := xDirection;
17
18      If(iTimerCount < iTestTime)THEN
19
20        iTimerCount      := iTimerCount + 1;
21      ELSE
22        IF(wSpeedCMD <> 0)THEN
23          rSpeedArray[uiSpdCmdLocal/1000]      := iRPM / rGearRatio;
24          END_IF;
25          uiSpdCmdLocal      := uiSpdCmdLocal + TO_UINT(rSpdStep);
26          wSpeedCMD          := TO_WORD(uiSpdCmdLocal);
27          iTimerCount        := 0;
28        IF(wSpeedCMD > 10000)THEN
29          xTestDone       := TRUE;
30          END_IF;
31        END_IF;
32
33      ELSE
34        xRun          := FALSE;
35        wTorqueCMD   := 0;
36        wSpeedCMD    := 0;
37        END_IF;
38
39    ELSE // Reset all variables
40
41      wSpeedCMD      := 0;
42      wTorqueCMD    := 0;
43      xRun          := FALSE;
44      rSpdStep       := 10000 / iSteps;
45      iTimerCount    := iTestTime + 1;
46      uiSpdCmdLocal  := 0;
47      xTestDone      := FALSE;
48
49      FOR i := 0 TO iSteps DO
50        rSpeedArray[i]      := 0;
51      END_FOR;
52
53    END_IF;

```

Components / Winch / fbSpeedTestWinch / Variables

Input												
Name	Type	Usage	Translate	Comment	Init	Access	Retain	Constant	OPC	HMI	Proficloud	I/Q
xActivate	BOOL	Input		Activate speedtest								
xDirection	BOOL	Input		Set direction								
rGearRatio	REAL	Input		Set gear ratio								
iRPM	INT	Input		Measurres RPM								
Output												
Name	Type	Usage	Translate	Comment	Init	Access	Retain	Constant	OPC	HMI	Proficloud	I/Q
rSpeedArray	REAL_0_10	Output		Array with RPM for each step								
wSpeedCMD	WORD	Output		Speed command to drive								
wTorqueCMD	WORD	Output		Torque command to drive								
xDir	BOOL	Output		Driection to drive								
xRun	BOOL	Output		Run signal to drive								
xTestDone	BOOL	Output		Bool test done								
Local												
Name	Type	Usage	Translate	Comment	Init	Access	Retain	Constant	OPC	HMI	Proficloud	I/Q
iSteps	INT	Local		Number of steps	INT#10	Private						
i	INT	Local				Private						
iTimerCount	INT	Local				Private						
rSpdStep	REAL	Local				Private						
iTestTime	INT	Local			INT#30 0	Private						
uiSpdCmdLocal	UINT	Local				Private						
Default												
Name	Type	Usage	Translate	Comment	Init	Access	Retain	Constant	OPC	HMI	Proficloud	I/Q
sFromDrive	FromVaconDriveEng	External		Struct with data from drive								
sToDrive	ToVaconDriveEng	External		Struct with data to drive								

PHOENIX CONTACT GmbH & Co. KG Flachsmarktstraße 8 32825 Blomberg, Germany	Demoplattform_Control_V1	21/05/2023
	PLCnext Engineer	Page 87

Components / Winch / fnCalculateMpPos / Signature

Access Specifier: Public

Return Type: REAL

Components / Winch / fnCalculateMpPos / Code

```
1 //*****
2 Code information:
3 Function for calculating MpPos.
4 Takes cylinder 1,2,3 positions as input arguments and returns Mp position with given y and z offsets.
5
6 Author: Sander V. Andersen and Lars Askild S. Aarvik
7 Date: 29.04.2023
8 *****/
9
10 // Calulate heave pos and roll angle for center of plattform
11 rRollAngle           := ASIN((rCyl1Pos - ((rCyl2Pos + rCyl3Pos) / 2)) / rPlattformCC) * (180 / PI);
12 rHeavePos            := rCyl1Pos - (((SIN(rRollAngle * (PI / 180))) * rPlattformCC) / 2);
13
14 // Calculate crane tip position relativ to plattform and return position relativ to center of wave (0.15m)
15 rMpPos               := (rTipVectY * SIN(rRollAngle * (PI / 180))) + (rTipVectZ * COS(rRollAngle * (PI / 180)))
16 - rTipVectZ + rHeavePos - rPlattformCenter;
17
18 // Return MpPos
19 fnCalculateMpPos      := rMpPos;
```

Components / Winch / fnCalculateMpPos / Variables

Input

Name	Type	Usage	Comment	Init	Constant
rCyl1Pos	REAL	Input	Cyl1 position [m]		
rCyl2Pos	REAL	Input	Cyl2 position [m]		
rCyl3Pos	REAL	Input	Cyl3 position [m]		

Output

Name	Type	Usage	Comment	Init	Constant
rMpPos	REAL	Local	Mp position [m]		

Local

Name	Type	Usage	Comment	Init	Constant
rPlattformCC	REAL	Local	CC disctance front-rear cylinders	REAL#0.425	
rTipVectX	REAL	Local	From center of plattform to cranetip		
rTipVectY	REAL	Local	From center of plattform to cranetip	REAL#-0.465	
rTipVectZ	REAL	Local	From center of plattform to cranetip	REAL#-0.26	
PI	REAL	Local		REAL#3.14159265359	
rPlattformCenter	REAL	Local	Cente point for plattform	REAL#0.15	
rHeavePos	REAL	Local			
rRollAngle	REAL	Local			

Components / Winch / fbCalculateMpSpd / Code

```

1  /**************************************************************************
2   * Code information:
3   * Functionblock for calculating Mp Speed.
4   * Takes MpPos as input and finds the derivative and returns the Mp speed as output.
5   * Lowpass filters Mp speed based on ICounterconstant filtertime
6
7   Author: Sander V. Andersen and Lars Askild S. Aarvik
8   Date: 30.04.2023
9  *****/
10
11 IF(xActivate)THEN
12   IF(iCount >= iCountconstant)THEN
13     rMpSpd          := (rMpPos - rLastMpPos) / (rCycleTime * iCountconstant);
14     rLastMpPos      := rMpPos;
15     iCount          := 0;
16   ELSE
17     iCount          := iCount + 1;
18   END_IF;
19
20 ELSE
21   rLastMpPos      := 0;
22 END_IF;
23
24
25
26

```

Components / Winch / fbCalculateMpSpd / Variables

Input												
Name	Type	Usage	Translate	Comment	Init	Access	Retain	Constant	OPC	HMI	Proficloud	I/Q
xActivate	BOOL	Input		Activate fb								
rMpPos	REAL	Input		Mp Position								
Output												
Name	Type	Usage	Translate	Comment	Init	Access	Retain	Constant	OPC	HMI	Proficloud	I/Q
rMpSpd	REAL	Output		Filtered Mp velocity								
Local												
Name	Type	Usage	Translate	Comment	Init	Access	Retain	Constant	OPC	HMI	Proficloud	I/Q
rCycleTime	REAL	Local			REAL#0.01	Private						
rLastMpPos	REAL	Local				Private						
rLastMpSpd	REAL	Local				Private						
rMpSpdTemp	REAL	Local				Private						
iCount	INT	Local				Private						
iCountconstant	INT	Local		Filter time	INT#8	Private						

PHOENIX CONTACT GmbH & Co. KG Flachsmarktstraße 8 32825 Blomberg, Germany	Demoplattform_Control_V1	21/05/2023
	PLCnext Engineer	Page 92

Components / Winch / fnFeedForwardWinch / Signature

Access Specifier: Public

Return Type: REAL

Components / Winch / fnFeedForwardWinch / Code

```

1  /*****************************************************************************  
2   Code information:  
3   Input: wanted speed [m/s]  
4   Output: +-100% speedCMD  
5   Feed-forward function that returns speedcommand for the winch.  
6  
7   Author: Sander V. Andersen and Lars Askild S. Aarvik  
8   Date: 27.04.2023  
9  ***************************************************************************/  
10  
11  
12 // Positiv speed  
13 IF(rSpeedSP >= p100) THEN  
14     rSpeedCmdLocal           := 100;  
15  
16 ELSIF(rSpeedSP < p100 AND rSpeedSP >= p90)THEN  
17     rSpeedCmdLocal           := (10 / (p100 - p90)) * (rSpeedSP - p100) + 100;  
18  
19 ELSIF(rSpeedSP < p90 AND rSpeedSP >= p80)THEN  
20     rSpeedCmdLocal           := (10 / (p90 - p80)) * (rSpeedSP - p90) + 90;  
21  
22 ELSIF(rSpeedSP < p80 AND rSpeedSP >= p70)THEN  
23     rSpeedCmdLocal           := (10 / (p80 - p70)) * (rSpeedSP - p80) + 80;  
24  
25 ELSIF(rSpeedSP < p70 AND rSpeedSP >= p60)THEN  
26     rSpeedCmdLocal           := (10 / (p70 - p60)) * (rSpeedSP - p70) + 70;  
27  
28 ELSIF(rSpeedSP < p60 AND rSpeedSP >= p50)THEN  
29     rSpeedCmdLocal           := (10 / (p60 - p50)) * (rSpeedSP - p60) + 60;  
30  
31 ELSIF(rSpeedSP < p50 AND rSpeedSP >= p40)THEN  
32     rSpeedCmdLocal           := (10 / (p50 - p40)) * (rSpeedSP - p50) + 50;  
33  
34 ELSIF(rSpeedSP < p40 AND rSpeedSP >= p30)THEN  
35     rSpeedCmdLocal           := (10 / (p40 - p30)) * (rSpeedSP - p40) + 40;  
36  
37 ELSIF(rSpeedSP < p30 AND rSpeedSP >= p20)THEN  
38     rSpeedCmdLocal           := (10 / (p30 - p20)) * (rSpeedSP - p30) + 30;  
39  
40 ELSIF(rSpeedSP < p20 AND rSpeedSP >= p10)THEN  
41     rSpeedCmdLocal           := (10 / (p20 - p10)) * (rSpeedSP - p20) + 20;  
42  
43 ELSIF(rSpeedSP < p10 AND rSpeedSP >= 0.0)THEN  
44     rSpeedCmdLocal           := (10 / (p10)) * (rSpeedSP - p10) + 10;  
45  
46 ELSIF(rSpeedSP = 0.0)THEN  
47     rSpeedCmdLocal           := 0;  
48  
49  
50  
51 // Negativ speed  
52  
53 ELSIF(rSpeedSP < 0.0 AND rSpeedSP > n10)THEN  
54     rSpeedCmdLocal           := ((10 / (-n10)) * (rSpeedSP));  
55  
56 ELSIF(rSpeedSP <= n10 AND rSpeedSP > n20)THEN  
57     rSpeedCmdLocal           := ((10 / (n10 - n20)) * (rSpeedSP - n10) - 10);  
58  
59 ELSIF(rSpeedSP <= n20 AND rSpeedSP > n30)THEN  
60     rSpeedCmdLocal           := ((10 / (n20 - n30)) * (rSpeedSP - n20) - 20);  
61  
62 ELSIF(rSpeedSP <= n30 AND rSpeedSP > n40)THEN  
63     rSpeedCmdLocal           := ((10 / (n30 - n40)) * (rSpeedSP - n30) - 30);  
64  
65 ELSIF(rSpeedSP <= n40 AND rSpeedSP > n50)THEN  
66     rSpeedCmdLocal           := ((10 / (n40 - n50)) * (rSpeedSP - n40) - 40);  
67  
68 ELSIF(rSpeedSP <= n50 AND rSpeedSP > n60)THEN  
69     rSpeedCmdLocal           := ((10 / (n50 - n60)) * (rSpeedSP - n50) - 50);  
70  
71 ELSIF(rSpeedSP <= n60 AND rSpeedSP > n70)THEN  
72     rSpeedCmdLocal           := ((10 / (n60 - n70)) * (rSpeedSP - n60) - 60);  
73  
74 ELSIF(rSpeedSP <= n70 AND rSpeedSP > n80)THEN  
75     rSpeedCmdLocal           := ((10 / (n70 - n80)) * (rSpeedSP - n70) - 70);  
76  
77 ELSIF(rSpeedSP <= n80 AND rSpeedSP > n90)THEN  
78     rSpeedCmdLocal           := ((10 / (n80 - n90)) * (rSpeedSP - n80) - 80);  
79  
80  
81

```

PHOENIX CONTACT GmbH & Co. KG Flachsmarktstraße 8 32825 Blomberg, Germany	Demoplattform_Control_V1 PLCnext Engineer	21/05/2023 Page 94
---	---	---------------------------

Components / Winch / fnFeedForwardWinch / Code

```
82 ELSIF (rSpeedSP <= n90 AND rSpeedSP > n100) THEN
83     rSpeedCmdLocal           := ((10 / (n90 - n100)) * (rSpeedSP - n90) - 90);
84
85 ELSIF (rSpeedSP <= n100) THEN
86
87     rSpeedCmdLocal           := -100;
88 END_IF;
89
90
91
92
93
94 // Return SpeedCommandvalue
95 rSpeedCmd           := rSpeedCmdLocal;
96 fnFeedForwardWinch := rSpeedCmd;
```

Components / Winch / fnFeedForwardWinch / Variables

Input					
Name	Type	Usage	Comment	Init	Constant
rSpeedSP	REAL	Input	Speed setpoint [m/s]		
Output					
Name	Type	Usage	Comment	Init	Constant
rSpeedCmd	REAL	Local	Speed command +-100%		
Local					
Name	Type	Usage	Comment	Init	Constant
n10	REAL	Local		REAL#-0.08293667	
n20	REAL	Local		REAL#-0.1668	
n30	REAL	Local		REAL#-0.2502	
n40	REAL	Local		REAL#-0.3336	
n50	REAL	Local		REAL#-0.41653667	
n60	REAL	Local		REAL#-0.5004	
n70	REAL	Local		REAL#-0.5838	
n80	REAL	Local		REAL#-0.6672	
n90	REAL	Local		REAL#-0.7506	
n100	REAL	Local		REAL#-0.834	
p10	REAL	Local		REAL#0.0834	
p20	REAL	Local		REAL#0.1668	
p30	REAL	Local		REAL#0.2502	
p40	REAL	Local		REAL#0.33313667	
p50	REAL	Local		REAL#0.41653667	
p60	REAL	Local		REAL#0.5004	
p70	REAL	Local		REAL#0.5838	
p80	REAL	Local		REAL#0.66673667	
p90	REAL	Local		REAL#0.75013667	
p100	REAL	Local		REAL#0.83353667	
rSpeedCmdLocal	REAL	Local			

PHOENIX CONTACT GmbH & Co. KG Flachsmarktstraße 8 32825 Blomberg, Germany	Demoplattform_Control_V1	21/05/2023
	PLCnext Engineer	Page 96

Components / WinchControl / Variables

Input

Name	Type	Usage	Translate	Comment	Init	Retain	Constant	OPC	HMI	ProfiCloud	I/Q
dwRawEncoderWinch	DWORD	InputPort		Encoder pulses winch							

Components / WinchControl / Variables

Local

Name	Type	Usage	Translate	Comment	Init	Retain	Constant	OPC	HMI	ProfiCloud	I/Q
iOperationMode	INT	Local		Operation mode winch							
rWinchPosition	REAL	Local		Wire length winch							
xActivateTOF	BOOL	Local			TRUE						
tBuzzerTime	TIME	Local			TIME#5s						
iLightCounter	INT	Local									
xFirstCycle	BOOL	Local			TRUE						
udiEncoderWinch	UDINT	Local									
diLastEncWinchVal	DINT	Local									
diWinchPulsCount	DINT	Local									
udiResetLenght	UDINT	Local									
rMinWireLengthAHC	REAL	Local			REAL#0.30						
rMaxWireLengthAHC	REAL	Local			REAL#0.90						
rRampTime	REAL	Local		Ramp time for joystick control	REAL#2.0						
rSpdCmdPercentage	REAL	Local									
xEnableRamping	BOOL	Local									
rMP_Pos	REAL	Local		Mp position							
rMP_Spd	REAL	Local		Mp velocity							
iModeAHC	INT	Local									
rP_AHC	REAL	Local		Gain for p regulator in AHC mode	REAL#200.0						
rRCV_AHC	REAL	Local		Output P-controller							
rAHC_CenterPos	REAL	Local									
rSpdCmd	REAL	Local									
rOffsetVar	REAL	Local									
rLastMP_Pos	REAL	Local									
rMP_PosNow	REAL	Local									
rLastLastMP_Pos	REAL	Local									
xAlarmDone	BOOL	Local									
xLastBuzzer	BOOL	Local									

PHOENIX CONTACT GmbH & Co. KG Flachsmarktstraße 8 32825 Blomberg, Germany	Demoplattform_Control_V1	21/05/2023
	PLCnext Engineer	Page 98

Components / WinchControl / Variables

External

Name	Type	Usage	Translate	Comment	Init	Retain	Constant	OPC	HMI	Proficloud	I/Q
sFromDrive	FromVaconDriveEng	External		Struct with data from drive							
DataToHMI	sToUI	External		Struct for all data to HMI							
rMpPos_Camera1	REAL	External		Mp position from camera							

Default

Name	Type	Usage	Translate	Comment	Init	Retain	Constant	OPC	HMI	Proficloud	I/Q
sToDrive	ToVaconDriveEng	External		Struct with data to drive							
sOpPanellf	sPanellInterface	External		Struct with data to/from op panel							
TOF1	TOF	Local									
fbEncoderCount_V1_001	fbEncoderCount_V1_00	Local									
fbWinchScale2	fbWinchScale	Local									
DataFromHMI	sFromUI	External		Struct for all data from HMI							
fbSpeedTestWinch1	fbSpeedTestWinch	Local									
fbSpeedTestWinch2	fbSpeedTestWinch	Local									
fbRamping_V1_001	fbRamping_V1_00	Local									
fbCalculateMpSpd1	fbCalculateMpSpd	Local									
sFromC1	sFromCylinder	External		Struct for data from cylinder 1							
sFromC2	sFromCylinder	External		Struct for data from cylinder 2							
sFromC3	sFromCylinder	External		Struct for data from cylinder 3							
fbCalculateMpSpd2	fbCalculateMpSpd	Local									
PID1	PID	Local									
FB_AutoTunePID1	FB_AutoTunePID	Local									
rMpPos_Camera	LREAL	External									

PHOENIX CONTACT GmbH & Co. KG Flachmarkstraße 8 32825 Blomberg, Germany	Demoplattform_Control_V1	21/05/2023
	PLCnext Engineer	Page 99

Components / WinchControl / Code

```

1 //*****
2 Code information:
3 Program that runs the plattform winch via operator panel commands and in AHC.
4 different modes; manual, Fault, AHC and standby.
5
6
7 Author: Sander V. Andersen and Lars Askild S. Aarvik
8 Date: 13.04.2023
9 *****/
10
11 // Timer for panelinterface alarm buzzer
12 TOF1(IN := xActivateTOF, PT := tBuzzerTime, Q => sOpPanelIf.xBuzzer, ET => );
13
14 // Calculate and filter Mp Position
15 rMP_PosNow := fnCalculateMpPos(sFromC1.rPV (* rCyl1Pos *), sFromC2.rPV (* rCyl2Pos *), sFromC3.rPV (* rCyl3Pos *));
16 rMP_Pos := (rMP_PosNow + rLastMP_Pos + rLastLastMP_Pos)/3;
17 rLastLastMP_Pos := rLastMP_Pos;
18 rLastMP_Pos := rMP_PosNow;
19
20
21 // Calculate Mp velocity
22 fbCalculateMpSpd2(xActivate := TRUE, rMpPos :=rMP_Pos, rMpSpd => rMP_Spd);
23
24 // Set operationmode based on button inputs
25 IF(sOpPanelIf.xStandBy)THEN
26     iOperationMode      :=  0;
27 END_IF;
28
29 IF(sOpPanelIf.xManual)THEN
30     iOperationMode      :=  1;
31 END_IF;
32
33 IF(sOpPanelIf.xAHC)THEN
34     // Only enter AHC if its safe
35     // Wire length is between safety margins
36     // Plattform is moving in simulated og logfile mode
37     IF((rWinchPosition < rMaxWireLengthAHC) AND (rWinchPosition > rMinWireLengthAHC)
38         AND (DataFromHMI.sOpMode.xSimulated OR DataFromHMI.sOpMode.xLogFile) AND DataFromHMI.sCommand.xStart)THEN
39         iOperationMode      :=  2;
40     END_IF;
41 END_IF;
42
43 IF(sFromDrive.xFault OR sFromDrive.xWarning)THEN
44     iOperationMode      :=  3;
45 END_IF;
46
47 IF(sOpPanelIf.xReset)THEN
48     sToDrive.xRstErr      :=  TRUE;
49 ELSE
50     sToDrive.xRstErr      :=  FALSE;
51 END_IF;
52
53
54
55 // Switch between operation modes for winch
56 CASE iOperationMode OF
57     // Standby
58     0:
59         sToDrive.xRun          :=  FALSE;
60         sOpPanelIf.xManualLight :=  FALSE;
61         sOpPanelIf.xStandbyLight :=  TRUE;
62         sOpPanelIf.xAHCLight   :=  FALSE;
63         sOpPanelIf.xResetLight :=  FALSE;
64         sOpPanelIf.xBuzzer      :=  FALSE;
65         xActivateTOF           :=  FALSE;
66         xAlarmDone              :=  FALSE;
67         iLightCounter           :=  -1;
68         rAHC_CenterPos          :=  0.0;
69         DataToHMI.wWinchOpMode  :=  0;
70         rOffsetVar               :=  0;
71
72     // Manual control
73     1:
74         sToDrive.xRun          :=  TRUE;
75         sOpPanelIf.xManualLight :=  TRUE;
76         sOpPanelIf.xStandbyLight :=  FALSE;
77         sOpPanelIf.xAHCLight   :=  FALSE;
78         sOpPanelIf.xResetLight :=  FALSE;
79         sOpPanelIf.xBuzzer      :=  FALSE;
80         rAHC_CenterPos          :=  0.0;
81         DataToHMI.wWinchOpMode  :=  1;

```

PHOENIX CONTACT GmbH & Co. KG Flachmarkstraße 8 32825 Blomberg, Germany	Demoplattform_Control_V1	21/05/2023
	PLCnext Engineer	Page 100

Components / WinchControl / Code

```

82
83
84 IF(sOpPanelIf.wJoySw = 1)THEN
85     // Pos direction
86     sToDrive.xDir           := FALSE;
87 ELSE // neg direction
88     sToDrive.xDir           := TRUE;
89 END_IF;
90
91 // Manual control with joystick and potmeter
92 IF(sOpPanelIf.wJoySw = 1 OR sOpPanelIf.wJoySw = 2)THEN
93     xEnableRamping          := TRUE;
94     sToDrive.wSpeedCMD      := TO_WORD(TO_UINT(rSpdCmdPercentage * 100.0 * (sOpPanelIf.rPot1/100)));
95     sToDrive.wTorqueCMD     := 3000;
96 ELSE
97     sToDrive.wSpeedCMD      := 0;
98     sToDrive.wTorqueCMD     := 0;
99     xEnableRamping          := FALSE;
100    rSpdCmdPercentage       := 0;
101 END_IF;
102
103
104 // AHC
105 2:
106 sToDrive.xRun           := TRUE;
107 sOpPanelIf.xManualLight := FALSE;
108 sOpPanelIf.xStandbyLight := FALSE;
109 sOpPanelIf.xAHCLight    := TRUE;
110 sOpPanelIf.xResetLight  := FALSE;
111 sOpPanelIf.xBuzzer      := FALSE;
112 sToDrive.wTorqueCMD     := 3000;
113 DataToHMI.wWinchOpMode  := 2;
114
115 //AHC
116 IF(rAHC_CenterPos = 0.0)THEN
117     rAHC_CenterPos        := rWinchPosition;
118 END_IF;
119
120 rOffsetVar              := (rWinchPosition-rAHC_CenterPos); //For test and plotting
121
122 // P-controller output
123 rRCV_AHC                := (rMP_Pos - (rWinchPosition-rAHC_CenterPos)) * rP_AHC;
124
125 // Max limits from P-controller
126 IF(rRCV_AHC < -100.0)THEN
127     rRCV_AHC              := -100.0;
128 ELSIF(rRCV_AHC > 100.0)THEN
129     rRCV_AHC              := 100.0;
130 END_IF;
131
132 // Joystick control in AHC
133 IF(sOpPanelIf.wJoySw = 1 OR sOpPanelIf.wJoySw = 2)THEN
134     xEnableRamping          := TRUE;
135     rAHC_CenterPos         := 0;
136
137 // If joystick is active, Winch only runs feedforward + joystick
138 // Sets new AHC center pos when joystick is done and puts P-controller back in control
139 IF(sOpPanelIf.wJoySw = 1)THEN
140     rSpdCmd                := fnFeedForwardWinch(rMP_Spd) + (rSpdCmdPercentage * (sOpPanelIf.rPot1/100) * -1);
141 ELSE
142     rSpdCmd                := fnFeedForwardWinch(rMP_Spd) + (rSpdCmdPercentage * (sOpPanelIf.rPot1/100));
143 END_IF;
144
145 ELSE
146     xEnableRamping          := FALSE;
147     // combination of P-controller and feedforward control
148     rSpdCmd                := rRCV_AHC + fnFeedForwardWinch(rMP_Spd);
149 END_IF;
150
151 // Speed command to drive [0 - 10000]
152 sToDrive.wSpeedCMD      := TO_WORD(TO_UINT(ABS(rSpdCmd * 100)));
153
154 // Direction command to drive
155 if(rSpdCmd < 0)THEN
156     sToDrive.xDir           := FALSE;
157 ELSE
158     sToDrive.xDir           := TRUE;
159 END_IF;
160
161
162 // Fault

```

PHOENIX CONTACT GmbH & Co. KG Flachsmarktstraße 8 32825 Blomberg, Germany	Demoplattform_Control_V1	21/05/2023
	PLCnext Engineer	Page 101

Components / WinchControl / Code

```

163      3:
164      sToDrive.xRun          := FALSE;
165      sOpPanelIf.xManualLight := FALSE;
166      sOpPanelIf.xStandbyLight := FALSE;
167      sOpPanelIf.xAHCLight   := FALSE;
168      DataToHMI.wWinchOpMode := 3;
169
170      // Alarm light blink
171      if(iLightCounter < 50)THEN
172          sOpPanelIf.xResetLight := TRUE;
173      ELSIF (iLightCounter >= 50 AND iLightCounter < 100)THEN
174          sOpPanelIf.xResetLight := FALSE;
175      ELSIF (iLightCounter >= 100)THEN
176          iLightCounter := -1;
177      END_IF;
178      iLightCounter := iLightCounter + 1;
179
180      IF(xLastBuzzer AND NOT(sOpPanelIf.xBuzzer))THEN
181          xAlarmDone := TRUE;
182      END_IF;
183      IF(NOT(xActivateTOF) AND NOT(xAlarmDone) AND NOT(sOpPanelIf.xBuzzer))THEN
184          xActivateTOF := TRUE;
185      ELSE
186          xActivateTOF := FALSE;
187      END_IF;
188      sOpPanelIf.xManualLight := FALSE;
189      sOpPanelIf.xStandbyLight := FALSE;
190
191      // If no drive alarm, go to standby
192      IF(NOT(sFromDrive.xFault OR sFromDrive.xWarning))THEN
193          iOperationMode := 0;
194      END_IF;
195
196      xLastBuzzer := sOpPanelIf.xBuzzer;
197
198
199      END_CASE;
200
201
202      // Reset winch encoder with given ResetLengthcommand from UI
203      udiEncoderWinch := TO_UDINT(dwRawEncoderWinch);
204      udiResetLenght := fnPosToPulse(DataFromHMI.rResetLength);
205      fbEncoderCount_V1_001(xFirstCycle := xFirstCycle, udiEncoderValue := udiEncoderWinch, xResetLengthCmd := DataFromHMI.xResetWinch, udiResetLengthValue := udiResetLenght, diLastValue := diLastEncWinchVal, xInitDone =>, diEncoderValueOut => diWinchPulsCount);
206      diLastEncWinchVal := diWinchPulsCount;
207      fbWinchScale2(diEncoderWinch := diWinchPulsCount, rWinchPos => rWinchPosition);
208
209      // Mapping winch speed and position to UI.
210      DataToHMI.rWinch_Pos := rWinchPosition;
211      DataToHMI.rWinch_Speed := sFromDrive.iMotorRPM;
212      DataToHMI.rAHC_CenterPos := rAHC_CenterPos;
213      xFirstCycle := FALSE;
214
215
216      // Ramping joystick in manual mode
217      fbRamping_V1_001(xEnable := xEnableRamping, rInput := sOpPanelIf.rJoy1, rRampTime_sec := rRampTime, uiMaxValue :=
```